

Marko Giacomelli, Gregor Omahen

**Poročilo o izpostavljenosti prebivalcev Slovenije
umetni radioaktivnosti v letu 2020**

Marko Giacomelli, Gregor Omahen

Poročilo o izpostavljenosti prebivalcev Slovenije umetni radioaktivnosti v letu 2020



ZVD Zavod za varstvo pri delu d.o.o.

Center za fizikalne meritve, Laboratorij za meritve specifičnih aktivnosti radionuklidov

© 2021 ZVD d.o.o.

V poročilu o obsevanosti prebivalcev Slovenije analiziramo meritve radioaktivnosti v okviru rednega monitoringa radioaktivnosti v Sloveniji, ki ga financirata Ministrstvo za okolje in prostor ter Ministrstvo za zdravje. Namen meritev je izračun doze umetnih radionuklidov v okolju, ki jo zaradi življenja v Sloveniji prejme povprečen prebivalec Slovenije. Poročilo o obsevanosti prebivalcev Slovenije nima namena prikazati sevalnih obremenitev, katerim je izpostavljeno prebivalstvo zaradi naravnih virov ali tehnološko modificiranih naravnih virov sevanja (radon v bivalnem okolju, rudnik urana Žirovski vrh), delovanja jedrske elektrarne Krško ali vpliva medicinskih virov.

V poročilu so zajeti predvsem podatki o stanju obstoječe radioaktivne kontaminacije življenjskega okolja kot posledice izvajanja preteklih jedrskeih eksplozij, černobilske in fukušimske jedrske nesreče ter morebitnih drugih sevalnih nesreč z večjimi izpusti v okolje.

Poročilo vsebuje skupaj 148 strani ter ga je dovoljeno reproducirati samo v celoti.

Izdal: ZVD ZAVOD ZA VARSTVO PRI DELU D.O.O., LJUBLJANA, marec 2021

Slika na naslovniči: Čebele pri delu, Ljubljana, © Marko Giacomelli

Slika na zadnji strani: Jutranje megllice, Podlipoglav, © Marko Giacomelli

marko.giacomelli@zvd.si

ZVD zavod za varstvo pri delu d.o.o.

Pot k izviru 6, 1260 Ljubljana-Polje, Slovenija

T: +386 (0)1 585 51 00; F: +386 (0)1 585 51 01; E: info@zvd.si; W: www.zvd.si

ID št. za DDV: SI21282692; Matična št.: 5055580

Vpis družbe: Okrožno sodišče v Ljubljani, vložna št.: 10024700



Zavod za varstvo pri delu d.o.o.

Naslov poročila:	Poročilo o izpostavljenosti prebivalcev Slovenije umetni radioaktivnosti v letu 2020
Izdelovalec:	ZVD Zavod za varstvo pri delu d.o.o., Center za fizikalne meritve, Laboratorij za meritve specifičnih aktivnosti radionuklidov, Pot k izviru 6, 1260 Ljubljana-Polje
Številka poročila:	LMSAR-20210004-MG
Datum poročila:	31.03.2021
Naročnik:	Ministrstvo za zdravje, Uprava RS za varstvo pred sevanji, Ajdovščina 4, 1000 Ljubljana
Številka pogodbe:	C2717-21-232003
Skrbnika pogodbe:	dr. Tomaž Šutej (URSVS), dr. Gregor Omahen (ZVD)
Program:	Radioaktivnost v življenjskem okolju Slovenije v letu 2020 Radioactivity in the living environment of Slovenia in the year 2020
Izvajalca programa:	ZVD Zavod za varstvo pri delu d.o.o. in Institut "Jožef Stefan"
Koordinatorja:	dr. Gregor Omahen (ZVD) dr. Benjamin Zorko (IJS)
Poslano:	naročnik (6 tiskanih izvodov, digitalna verzija) in arhiv ZVD (2 izvoda)

Poročilo pripravil: dr. MARKO GIACOMELLI, univ.dipl.fiz.

Pregledal in odobril: dr. GREGOR OMAHEN, univ.dipl.fiz.



Povzetek / Abstract

V pričajočem poročilu so zbrani, analizirani in komentirani rezultati meritev radioaktivnosti antropogenih umetnih in naravnih radionuklidov v vzorcih biosfere, kakor tudi v posameznih členih prehrambne verige. Umetna radioaktivnost okolja je posledica človekove dejavnosti, t.j. globalnega onesnaženja zaradi poskusnih jedrskih eksplozij v ozračju in jedrskih nesreč v Černobilu in Fukušimi (prispevek slednje je v Sloveniji zanemarljiv). Na podlagi rezultatov meritev radioaktivnosti v okviru različnih monitoringov, ki se izvajajo v Sloveniji pod okriljem Ministrstva za zdravje in Ministrstva za okolje in prostor, smo izdelali oceno doz prebivalstva zaradi izpostavljenosti dolgoživim umetnim radionuklidom (naravni so izvzeti). Ocenili smo doze sevanja po različnih ekspozicijskih prenosnih poteh. Ocenjena doza zaradi izpostavljenosti umetnim radionuklidom po vseh prenosnih poteh, znaša v letu 2020 za dojenčke $9,2 \mu\text{Sv}$ oziroma $< 10,2 \mu\text{Sv}$, za otroke od 7 do 12 let $7,8 \mu\text{Sv}$ oziroma $< 8,5 \mu\text{Sv}$ in za odrasle $6,6 \mu\text{Sv}$ oziroma $< 7,1 \mu\text{Sv}$. Ta vrednost predstavlja približno 1 % mejne letne doze za dolgoročno izpostavljenost posameznika iz prebivalstva ionizirajočemu sevanju.

In the present report the collected results of radioactivity measurements for manmade and natural radionuclides in the biosphere and in the particular elements of the food chain are analyzed and commented. Induced radioactivity of the environment is a consequence of human activities, *i.e.*, the general radioactive contamination due to the nuclear test explosions and Chernobyl and Fukushima accidents (the contribution of the latter is in Slovenia negligible). Based on the results of radioactivity measurement performed within the frameworks of various monitoring performed under the auspices of Ministry of Health and Ministry of Agriculture and the Environment we have assessed the doses to members of the public due to exposure to long-lived anthropogenic radionuclides (natural excluded). We have estimated doses for important exposure pathways. Dose estimates for infants, children for 7 up to 12 years and adults for manmade radionuclides in the year 2020 are $9,2 \mu\text{Sv}$ or $< 10,2 \mu\text{Sv}$, $7,8 \mu\text{Sv}$ or $< 8,5 \mu\text{Sv}$ and $6,6 \mu\text{Sv}$ or $< 7,1 \mu\text{Sv}$, respectively. These values represent approximately 1 % of the annual dose limit for the long term exposure of the individuals from the population, exposed to the man made sources of ionizing radiation.

Ključne besede / Keywords

radioaktivno onesnaženje okolja, umetni in naravni radionuklidi, koncentracija aktivnosti radionuklidov, reke, vodovodi, suhi in mokri used, zrak, aerosoli, zemlja, hrana, ingestija, doze zunanjega sevanja, ocena efektivnih doz

radioactive contamination of the environment, artificial and natural radionuclides, specific activity, rivers, tap water, dry and wet deposition, air, aerosols, soil, food, ingestion, external dose, effective dose assessments

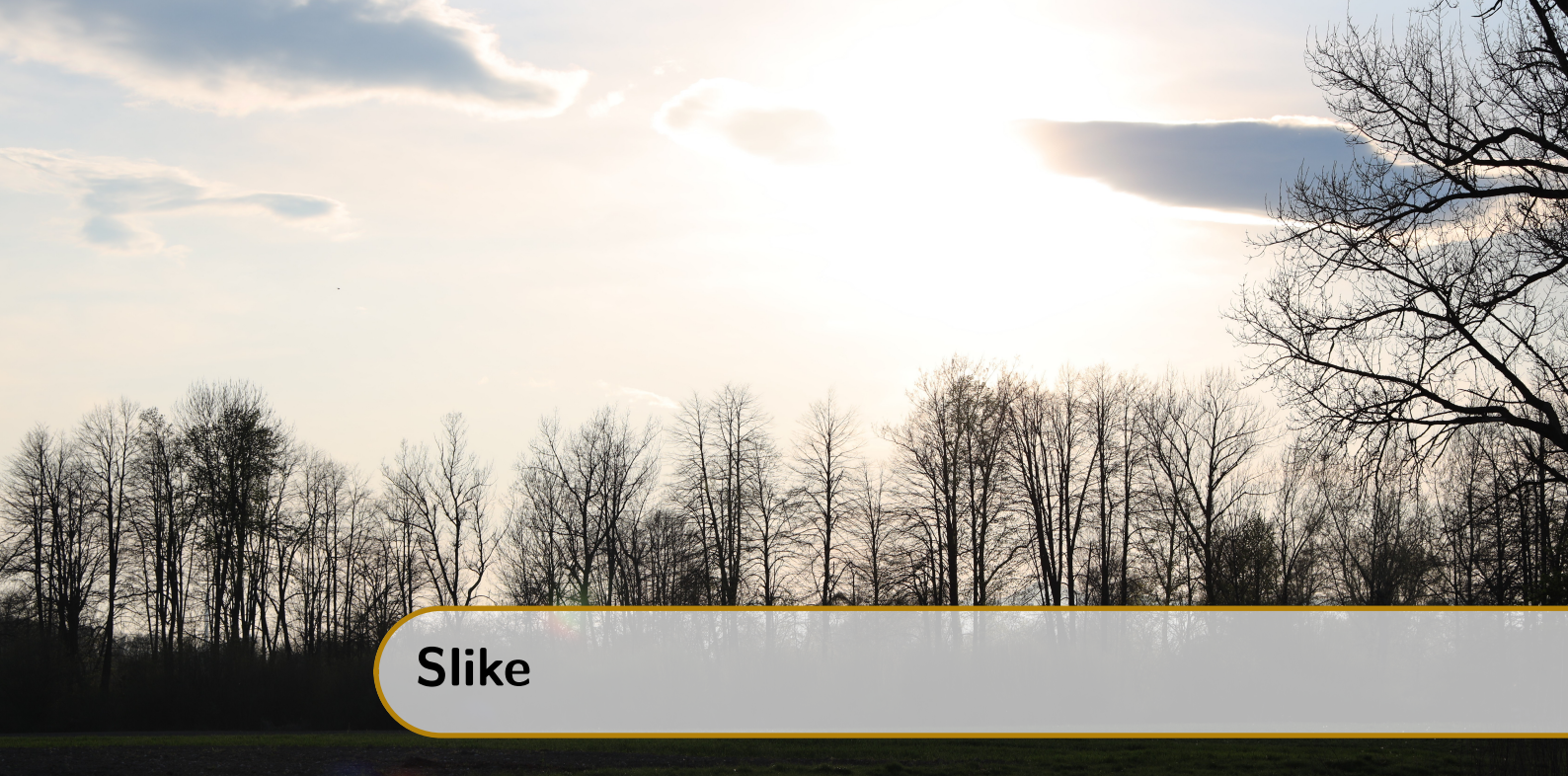


Kazalo

Povzetek / Abstract	5
Ključne besede / Keywords	6
1 Uvod	17
1.1 Zakonodajne podlage	17
1.2 Okvirni program meritev	17
1.3 Obseg poročila	18
2 Program in metodologija meritev	19
2.1 Vrste meritev	19
2.2 Lokacije vzorčenja	19
2.3 Metodologija meritev	23
2.4 Akreditirane meritve	23
2.4.1 Originalna poročila z meritvami	24
2.5 Izračuni koncentracij aktivnosti ali specifičnih aktivnosti	24
3 Okoljski monitoring	27
3.1 Zrak	27
3.1.1 Vzorčenje in rezultati meritev	27
3.1.2 Dolgoročni trend aktivnosti Cs-137	27
3.1.3 Sezonske variacije Cs-137	31
3.1.4 Lesna kuriva	36
3.1.5 Sezonske variacije Be-7 in Pb-210	40
3.1.6 Dolgoročni trend aktivnosti Be-7 in Pb-210	45

3.2	Padavine	50
3.2.1	Vzorčenje in rezultati meritev	50
3.2.2	Specifična aktivnost sevalcev gama in Sr-90	50
3.2.3	Koncentracija aktivnosti H-3	56
3.2.4	Specifična aktivnost kozmogenega Be-7	57
3.3	Tekoče vode	61
3.3.1	Vzorčenje in rezultati meritev	61
3.3.2	Dolgoročni trendi	61
3.3.3	Študija K-40 na poljedeljsko intenzivnih območjih	63
4	Monitoring zemlje in zunanjega sevanja	71
4.1	Zemlja	71
4.1.1	Vzorčenje in rezultati meritev	71
4.1.2	Dolgoročni trendi	74
4.2	TL dozimetri zunanjega sevanja	79
4.2.1	Lokacije meritev	79
4.2.2	Rezultati meritev	79
4.2.3	Dolgoročni trend doz	79
5	Monitoring pitne vode, hrane in krme	85
5.1	Pitna voda	85
5.2	Mleko	88
5.2.1	Dolgoročni trendi	88
5.3	Hrana	94
5.3.1	Živila živalskega izvora	94
5.3.2	Žitarice in žitni izdelki	94
5.3.3	Zelenjava	96
5.3.4	Sadje	97
5.3.5	Otroška hrana	98
5.4	Krmila	98
6	Ocena prejetih doz sevanja	101
6.1	Osnovne enačbe	101
6.2	Uporabljeni podatki in predpostavke	103
6.2.1	Umetni radionuklidi	103
6.2.2	Naravni radionuklidi	103
6.2.3	Starostne skupine	103
6.2.4	Prehranjevalne predpostavke	103
6.2.5	Privzete koncentracije aktivnosti	104
6.3	Doza zaradi ingestije in inhalacije	104
6.3.1	Ingestija	105
6.3.2	Inhalacija	106
6.3.3	Naravni radionuklidi (informativno)	106
6.3.4	Prispevki posameznih vrst hrane	106
6.3.5	Prispevki posameznih izotopov	109

6.4	Doza zaradi zunanjega sevanja	110
6.5	Skupna ocena doze	111
7	Zaključki	115
7.1	Ugotovitve	115
7.2	Priporočila	116
8	Rezultati meritev	117
8.1	Pojasnila k tabelam	117
8.1.1	Zapisi meritev ZVD	117
8.1.2	Zapisi meritev IJS	117
8.2	Zrak	119
8.3	Lesna kuriva	123
8.4	Padavine	124
8.5	Tekoče vode	128
8.6	Zemlja	135
8.7	Morje - voda in sedimenti	140
8.8	Zunanje sevanje	141
8.9	Pitna voda	142
8.10	Hrana	144
8.11	Krmila	147
	Literatura	149



Slike

3.1	Lokacije vzorčenja vzorcev zraka	28
3.2	Povprečne mesečne koncentracije aktivnosti Cs-137 v zraku na lokaciji Ljubljana od leta 1981 dalje	29
3.3	Slika požara iz letala (april 2020)	30
3.4	Obseg in posledice požara v okolici Černobila	30
3.5	Različni viri prašnih delcev PM ₁₀ (za leto 2016).	31
3.6	Temperaturna korelacija prašnih delcev PM ₁₀ za preteklo leto na lokaciji v Ljubljani – oznake ob merskih točkah predstavljajo mesec meritve, barvna oznaka pa količino padavin.	32
3.7	Zgodovinski pregled temperaturne korelacije prašnih delcev PM ₁₀ na lokaciji v Ljubljani.	33
3.8	Sezonske korelacje med aktivnostjo Cs-137 v zraku in koncentracijo prašnih delcev PM ₁₀ oziroma temperaturo na lokaciji Ljubljana.	34
3.9	Sezonske korelacje med aktivnostjo naravnih radionuklidov, Th-228 in Pb-210, v zraku in koncentracijo prašnih delcev PM ₁₀ oziroma temperaturo na lokaciji Ljubljana.	35
3.10	Raba obnovljivih virov energije - les in druga trdna biomasa (ARSO) oziroma OVE za ogrevanje (EUROSTAT). Pri vsakem letu je zapisna povprečna zimska temperatura (v času kurilne sezone)	36
3.11	Končna poraba energije lesnih kuriv v gospodinjstvih izračunana s pomočjo modela rabe energije v gospodinjstvih (IJS-CEU). Vrednosti za leto 2020 so ocenjene z linearno ekstrapolacijo trenda preteklih 5 let.	37
3.12	Lokacije vzorčenja ali lokacija izvora vzorcev lesnih kuriv.	39
3.13	Sezonska variacija koncentracij atmosferskega Pb-210 in Be-7 v zraku in padavin na bližnjih lokacijah.	40
3.14	S površine Sonca izhaja t.i. solarni veter, ki praktično ne more prodreti v zemljino atmosfero (shematski prikaz); slika: ESA/ATG medialab.	41
3.15	Zimske in poletne korelacje med izmerjenimi koncentracijami atmosferskega Pb-210 in Be-7 v zraku na različnih lokacijah v letu 2020 – številka ob meritvi pomeni mesec vzorčenja.	43
3.16	Vetrovne razmere na lokacijah vzorčenja zraka ali v neposredni bližini.	44

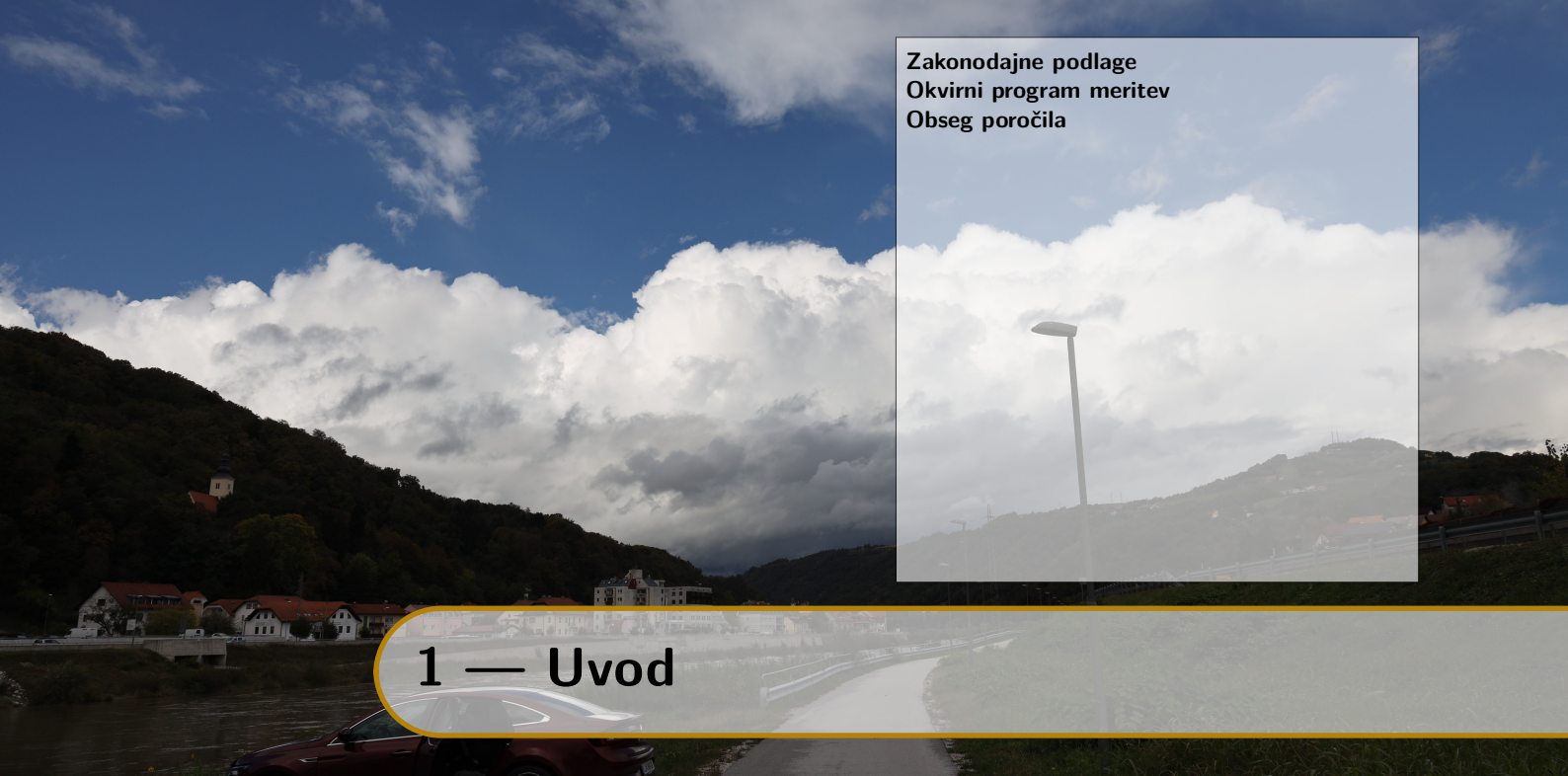
3.17	Povprečne celoletne koncentracije aktivnosti Pb-210 in Be-7 v zraku za obdobje od leta 1996 dalje za Slovenijo (povprečje vseh treh lokacij vzorčenja)	45
3.18	V času večje sončeve aktivnosti heliosfera zmanjšuje fluks galaktičnih kozmičnih žarkov do zemljine atmosfere.	46
3.19	Sončeve pege so merilo za sončovo aktivnost in solarni veter; slika: NASA.	47
3.20	Povprečno mesečno število sončevih peg – neprekinjena črta predstavlja drseče povprečje zadnjih 13 mesecev.	47
3.21	Antikorelacija sončevega cikla z letnimi koncentracijami Be-7 v zraku od leta 1996 dalje.	48
3.22	Antikorelacija sončevega cikla z mesečnimi koncentracijami Be-7 v zraku od leta 2000 dalje z delnim upoštevanjem izpiranja zaradi padavin.	49
3.23	Lokacije vzorčenja vzorcev padavin.	51
3.24	Povprečni letni used Cs-137, Sr-90 in Pb-210 na enoto površine za obdobje od leta 2000 dalje (povprečje vseh lokacij po Sloveniji)	53
3.25	Povprečni letni used Cs-137, Sr-90 in Pb-210 na enoto površine za obdobje od leta 2010 dalje na posamičnih lokacijah: Ljubljana, Novo mesto, Murska Sobota in Bovec.	54
3.26	Korelacija količine padavin s povprečnim letnim usedom Cs-137, Sr-90 in Pb-210 na različnih lokacijah po Sloveniji od leta 2000 dalje.	55
3.27	Povprečne letne koncentracije aktivnosti H-3 v padavinah iz Ljubljane za obdobje od leta 1990 dalje.	56
3.28	Specifične aktivnosti Be-7 v padavinah iz Ljubljane za obdobje od leta 1996 dalje.	58
3.29	Korelacija skupnega letnega useda, povprečnega mesečnega useda in specifičnega letnega ter specifičnega mesečnega useda Be-7 s sončevim ciklom od leta 1996 dalje.	59
3.30	Korelacija izmerjenega mesečnega useda Be-7 v padavinah v Ljubljani in količino padavin oziroma številom deževnih dni (za leto 2020).	60
3.31	Lokacije vzorčenja tekočih vod.	62
3.32	Povprečne letne koncentracije aktivnosti Cs-137, I-131 in H-3 v reki Savi (povprečje lokacij Ljubljana in Brežice) in Dravi od leta 2002 dalje.	63
3.33	Lokacije vzorčenja rečne vode, zemlje in poljščin na poljedelsko intenzivnih področjih Slovenije.	65
3.34	Koncentracije K-40 in Cs-137 v obdelani zemlji na poljedelsko intenzivnih območjih	66
3.35	Koncentracije K-40 in Cs-137 v nefiltrirani rečni vodi na različnih lokacijah intenzivnega poljedelstva	67
3.36	Koncentracije K-40 v poljščinah na različnih lokacijah intenzivnega poljedelstva	67
3.37	Analiza korelacije izotopa K-40 v obdelani zemlji in nefiltrirani rečni vodi.	68
3.38	Analiza korelacije izotopa K-40 v zemlji in poljščinah.	69
3.39	Analiza korelacije izotopa K-40 in Cs-137 v zemlji.	69
4.1	Lokacije vzorčenja vzorcev zemlje.	72
4.2	Povprečna letna koncentracija aktivnosti K-40, Cs-137 in Sr-90 v zemlji	73
4.3	Specifične aktivnosti — depozit – Cs-137, Cs-134 in Sr-90 v Ljubljani v različnih plasteh ter preračun radioaktivnega razpada od leta 1986 dalje.	75
4.4	Specifične aktivnosti — depozit – Cs-137, Cs-134 in Sr-90 v Kobaridu v različnih plasteh ter preračun radioaktivnega razpada od leta 1986 dalje.	77
4.5	Specifične aktivnosti — depozit – Cs-137, Cs-134 in Sr-90 v Murski Soboti v različnih plasteh ter preračun radioaktivnega razpada od leta 1986 dalje.	78

Leto	Sr-90	Cs-137	Pb-210	Letni usred (Bq/m ³)	Radionuklid
2000	0,77	2,7	2,7	36	Pb-210
2001	0,37	1,9	2,2	36	Pb-210
2002	0,35	1,9	2,2	36	Pb-210
2003	0,36	1,9	2,2	36	Pb-210
2004	0,49	1,92	2,2	36	Pb-210
2005	0,30	0,33	0,30	60	Pb-210
2006	0,30	0,33	0,30	60	Pb-210
2007	0,36	1,9	2,2	36	Pb-210
2008	0,36	1,9	2,2	36	Pb-210
2009	0,36	1,9	2,2	36	Pb-210
2010	0,36	1,9	2,2	36	Pb-210
2011	0,36	1,9	2,2	36	Pb-210
2012	0,36	1,9	2,2	36	Pb-210
2013	0,36	1,9	2,2	36	Pb-210
2014	0,36	1,9	2,2	36	Pb-210
2015	0,36	1,9	2,2	36	Pb-210
2016	0,36	1,9	2,2	36	Pb-210
2017	0,36	1,9	2,2	36	Pb-210
2018	0,36	1,9	2,2	36	Pb-210
2019	0,36	1,9	2,2	36	Pb-210
2020	0,36	1,9	2,2	36	Pb-210

Tabele

2.1	Program meritev radioaktivnosti v življenjskem okolju v Sloveniji v 2020	20
2.2	Program meritev radioaktivnosti v živil, pitne vode in krmil v Sloveniji v 2020	21
2.3	Orientacijske vrednosti meje detekcije za različne vzorce in radionuklide	25
3.1	Izpusti Cs-137 v zrak zaradi uporabe lesnih kuriv	38
3.2	Povprečne letne vsote specifičnih aktivnosti Cs-137, Sr-90 in Pb-210 na enoto površine za obdobje od leta 2000 dalje (povprečje vseh lokacij)	52
3.3	Najvišje izmerjene, A_{\max} , in povprečne koncentracije, \bar{A} , radionuklidov v vzorcih tekočih vod	61
4.1	Seznam TL-dozimetrov v Republiki Sloveniji z GPS koordinatami	81
6.1	Podatki o letni količini zaužite hrane za starostne skupine	104
6.2	Povprečne koncentracije aktivnosti sevalcev gama in Sr-90 ter H-3 v hrani, pitni vodi in zraku za leto 2020	106
6.3	Efektivne doze zaradi ingestije in inhalacije umetnih radionuklidov za različne skupine prebivalstva v letu 2020.	107
6.4	Efektivne doze zaradi ingestije in inhalacije Pb-210 (le informativno) za različne skupine prebivalstva v letu 2020.	108
6.5	Predpostavke o deležih zadrževanja v zaprtih prostorih in na prostem za izračun doz zunanjega sevanja	111
6.6	Ocenjene doze zaradi zunanjega obsevanja odraslih prebivalcev v preteklih letih	112
6.7	Obsevna obremenitev prebivalstva v letu 2020 zaradi kontaminacije okolja z dolgoživimi umetnimi radionuklidji	113
8.1	Koncentracije aktivnosti izotopov v vzorcih zraka - Ljubljana ZIVS	120
8.2	Koncentracije aktivnosti izotopov v vzorcih zraka v aprilu - Ljubljana ZIVS .	121
8.3	Koncentracije aktivnosti izotopov v vzorcih zraka - Murska Sobota ZIVD	122
8.4	Koncentracije aktivnosti izotopov v vzorcih zraka - Predmeja ZIVD	122
8.5	Koncentracije aktivnosti izotopov v vzorcih lesa in lesnih kuriv ZIVD ZIVS	123
8.6	Specifične aktivnosti izotopov v vzorcih padavin - Novo mesto ZIVD	124
8.7	Specifične aktivnosti izotopov v vzorcih padavin - Murska Sobota ZIVD	124

8.8 Specifične aktivnosti izotopov v vzorcih padavin - Bovec	ZVD	125
8.9 Specifične aktivnosti izotopov v vzorcih padavin - Ljubljana	ZVD	126
8.10 Koncentracije aktivnosti H-3 v vzorci padavin - Ljubljana	IJS	127
8.11 Koncentracije aktivnosti izotopov v vzorcih rek - Sava	IJS	128
8.12 Koncentracije aktivnosti izotopov v vzorcih rek - Savinja	IJS	129
8.13 Koncentracije aktivnosti izotopov v vzorcih rek - Soča	IJS	129
8.14 Koncentracije aktivnosti izotopov v vzorcih rek - Krka	IJS	130
8.15 Koncentracije aktivnosti izotopov v vzorcih rek - Kolpa	IJS	130
8.16 Koncentracije aktivnosti izotopov v vzorcih rek - Drava	IJS	131
8.17 Koncentracije aktivnosti izotopov v vzorcih rek - Mura	IJS	131
8.18 Koncentracije aktivnosti izotopov v vzorcih neobdelane zemlje na poljedeljsko intenzivnih področjih	ZVD	132
8.19 Koncentracije aktivnosti izotopov v vzorcih nefiltrirane rečne vode na poljedeljsko intenzivnih področjih	ZVD	133
8.20 Koncentracije aktivnosti izotopov v vzorcih poljščin na poljedeljsko intenzivnih področjih	ZVD	134
8.21 Koncentracije aktivnosti izotopov v vzorcih zemlje - Ljubljana	IJS	136
8.22 Specifične aktivnosti izotopov v vzorcih zemlje - Ljubljana	IJS	137
8.23 Koncentracije aktivnosti izotopov v vzorcih zemlje - Kobarid	ZVD	138
8.24 Koncentracije aktivnosti izotopov v vzorcih zemlje - Murska Sobota	ZVD	139
8.25 Koncentracije aktivnosti izotopov v vzorcih morja - vode in sedimentov	IJS	140
8.26 Izmerjene vrednosti zunanjega sevanja s TL dozimetri	IJS	141
8.27 Koncentracije aktivnosti izotopov v vzorcih pitne vode	IJS	142
8.28 Koncentracije aktivnosti izotopov v vzorcih pitne vode – nadaljevanje	IJS	143
8.29 Koncentracije aktivnosti izotopov v vzorcih mleka - Ljubljana	ZVD	144
8.30 Koncentracije aktivnosti izotopov v vzorcih mleka - Kobarid	ZVD	144
8.31 Koncentracije aktivnosti izotopov v vzorcih mleka - Bohinjska Bistrica	ZVD	144
8.32 Koncentracije aktivnosti izotopov v vzorcih mleka - Murska Sobota	ZVD	145
8.33 Koncentracije aktivnosti izotopov v vzorcih živil živalskega izvora	ZVD	145
8.34 Koncentracije aktivnosti izotopov v vzorcih kruha in žitaric	ZVD	145
8.35 Koncentracije aktivnosti izotopov v vzorcih sadja	ZVD	146
8.36 Koncentracije aktivnosti izotopov v vzorcih zelenjave	ZVD	146
8.37 Koncentracije aktivnosti izotopov v vzorcih obroka hrane	ZVD	146
8.38 Koncentracije aktivnosti izotopov v vzorcih krme	ZVD	148



1 — Uvod

1.1 Zakonodajne podlage

Zakon o varstvu pred ionizirajočimi sevanji in jedrski varnosti (ZVISJV) [1] ureja varstvo pred ionizirajočimi sevanji z namenom zmanjšanja škode za zdravje ljudi in radioaktivne kontaminacije življenjskega okolja zaradi uporabe virov ionizirajočih sevanj do najmanjše možne mere tako, da se hkrati mogoči uporaba virov sevanj in izvajanje sevalnih dejavnosti. V 158. in 159. členu ZVISJV so podane zahteve za spremeljanje stanja radioaktivnosti okolja, na podlagi katerih se izvajajo meritve v okolju, ki jih podrobneje ureja Pravilnik o monitoringu radioaktivnosti (JV10) [2]. V 35. členu ZVISJV so podane zahteve za mejne doze za prebivalstvo, ki jih podrobneje razčlenjujeta Pravilnik o posebnih zahtevah varstva pred sevanji in načinu ocene doz (SV5) [3] in Uredba o mejnih dozah, referenčnih ravneh in radioaktivni kontaminaciji (UV2) [4]. V 63. členu ZVISJV so podane zahteve za izdelavo poročila o ocenah prejetih doz za prebivalstvo, ki temelji na prej omenjenih pravilnikih in uredbi.

V pravilniku JV10 so navedene metode vzorčenja in merjenja ter program meritev, ki upošteva vse pomembne načine izpostavljenosti prebivalstva ionizirajočim sevanjem, prenosne poti razširjanja radioaktivnosti in radionuklide, ki pomembno prispevajo k efektivni dozi.

1.2 Okvirni program meritev

Program zajema merjenje zunanjega sevanja, radioaktivne kontaminacije zraka, vode, tal, živil, kmetijskih proizvodov, hrane in krme.

V celotnem programu so zajeti vzorci vzorčeni na različne načine, in sicer:

- enkratni vzorci (npr. vzorci živil),
- vzorci, ki se sprotno posamično odvzemajo, kumulativno zbirajo, ovrednoti pa se radioaktivnost celotnega zbranega vzorca v daljšem časovnem obdobju (npr. mleko kot dvomesečni kompozitni vzorec) ter
- vzorci, ki se zbirajo kontinuirano skozi celotni mesec, meri pa se mesečni kompozitni vzorec (npr. vzorci zraka, padavin).

Izvajalca nadzornih meritev v življenjskem okolju Republike Slovenije sta Zavod za varstvo pri delu d.o.o. (ZVD) in Institut "Jožef Stefan" (IJS). Oba izvajalca se redno

udeležujeta tudi mednarodnih interkomparacijskih meritov z namenom, da se zagotovi in preverja kakovost meritov. Dodatne primerjalne meritve vzorcev sta izvajalca opravljala v sklopu nadzornih meritov v programu nadzora radioaktivnosti v okolici NE Krško in pri rednih obhodih mobilnih enot v okolici NEK.

1.3 Obseg poročila

V poročilu o obsevanosti prebivalcev Slovenije analiziramo meritve radioaktivnosti v okviru rednega monitoringa radioaktivnosti v Sloveniji, ki ga financirata Ministrstvo za okolje in prostor ter Ministrstvo za zdravje. Namen meritov je izračun doze umetnih radionuklidov v okolju, ki jo zaradi življenja v Sloveniji prejme povprečen prebivalec Slovenije. Poročilo o obsevanosti prebivalcev Slovenije nima namena prikazati sevalnih obremenitev, katerim je izpostavljen prebivalstvo zaradi naravnih virov ali tehnološko modificiranih naravnih virov sevanja (radon v bivalnem okolju, rudnik urana Žirovski vrh), delovanja jedrske elektrarne Krško ali vpliva medicinskih virov.

V poročilu so zajeti predvsem podatki o stanju obstoječe radioaktivne kontaminacije življenjskega okolja kot posledice izvajanja preteklih jedrskeih eksplozij, černobilske in fukušimske jedrske nesreče ter morebitnih drugih sevalnih nesreč z večjimi izpusti v okolje.

Vrste meritev
Lokacije vzorčenja
Metodologija meritev
Akreditirane meritve
Originalna poročila z meritvami
Izračuni koncentracij aktivnosti ali specifičnih aktivnosti

2 — Program in metodologija meritev

2.1 Vrste meritev

Program meritev radioaktivne kontaminacije življenjskega okolja v Republiki Sloveniji je bil v letu 2020 podoben kot v prejšnjih letih, dodane so bile nove globine vzorčenja zemlje (30 - 40 cm in 40 - 50 cm). Način zbiranja in odvzema vzorcev, priprava in obdelava ter meritve radioaktivnosti so v skladu z enotno metodologijo, predpisano s Pravilnikom JV10 [2].

Program meritev v Sloveniji v letu 2020 je prikazan v tabelah 2.1 in 2.2. V posebnem stolpcu so označene meritve, ki ji je opravil bodisi ZVD bodisi IJS.

Stalen nadzor nad kontaminacijo okolja s sevalci gama, Sr-90, I-131 in H-3 je tudi v letu 2020 zajel najpomembnejše člene prehrambne verige in tako kot v prejšnjih letih, upošteval padavinsko različna področja. Na podlagi černobilskih izkušenj so v programu tudi termoluminiscentni (TL) dozimetri in sicer na več krajih v Sloveniji, ki služijo za indikacijo nihanj zunanjega sevanja gama oziroma za določevanje prejetih doz prebivalstva zaradi zunanjega sevanja gama (vključno z naravnimi radionuklidji in kozmičnim sevanjem).

2.2 Lokacije vzorčenja

Lokacije vzorčenja zraka, padavin, zemlje, tekočih in pitnih vod ter merilna mesta doz zunanjega sevanja so ostala v splošnem enaka kot v prejšnjih letih in so prikazane v na zemljevidih v posameznih pripadajočih poglavjih, in sicer:

- zrak – slika 3.1 na strani 28
- lesna kuriva – slika 3.12 na strani 39
- padavine – slika 3.23 na strani 51
- tekoče vode – slika 3.31 na strani 62
- zemlja – slika 4.1 na strani 72
- zunanje sevanje – slika 4.6 na strani 80
- pitna voda – slika 5.1 na strani 86
- hrana – slika 5.8 na strani 95
- krma – slika 5.14 na strani 100

Tabela 2.1 | Program meritev radioaktivnosti v življenjskem okolju v Sloveniji v 2020

Vrsta in opis meritev	Vzorčevalno mesto	Vrsta vzorca	Pogostost in št. meritev	Izvajalec
ZRAK - partikulati				
VL spektronom. gama	Ljubljana	kontinuirano črpanje skozi filter	mesecno, 12	IJS
	Murska Sobota		mesecno, 12	ZVD
Predmeja			mesecno, 12	ZVD
LESNA KURIVA				
VL spektronom. gama	različni dobavitelji	peleti, briketi, drva	letno, 8	ZVD, IJS
TRDE IN TEKOČE PADAVINE				
VL spektronom. gama	Ljubljana	Zbirna količina skupnega useda	mesecno, 12	ZVD
	Bovec		trimestrno, 4	ZVD
	Murska Sobota		trimestrno, 4	ZVD
	Novo mesto		trimestrno, 4	ZVD
Specif. analiza Sr-90	Ljubljana	Zbirna količina skupnega useda	trimestrno, 4	ZVD
	Bovec		trimestrno, 4	ZVD
	Murska Sobota		trimestrno, 4	ZVD
	Novo mesto		trimestrno, 4	ZVD
Specifična analiza H-3	Ljubljana	Zbirna količina skupnega useda	mesecno, 12	IJS
REKE, MORJE				
VL spektronom. gama	SAVA (Ljubljana)	voda	polletno, 2	IJS
	SAVA (Brežice)	voda	polletno, 2	IJS
	DRAVA (Dravograd)	voda	polletno, 2	IJS
	SOČA (Solkan)	voda	polletno, 2	IJS
	SAVINJA (Celje)	voda	polletno, 2	IJS
	MURA (Petanjci)	voda	polletno, 2	IJS
	KRKA (Otocec)	voda	polletno, 2	IJS
	KOLPA (Vinica)	voda	polletno, 2	IJS
	MORJE (Piran)	voda	polletno, 2	IJS
nadaljevanje na naslednji strani –				

Tabela 2.1 | – nadaljevanje s prejšnje strani

Vrsta	Vzorečevalno mesto	Vrsta vzorca	Pogostost in št. meritev	Izvajalec
MORJE (Piran)	MORJE (Piran)	sediment	poletno, 2	IJS
Specifična analiza H-3	SAVA (Ljubljana) SAVA (Brežice)	voda voda	poletno, 2	IJS
DRAVA (Dravograd)	DRAVA (Petanjci)	voda voda	poletno, 2	IJS
Specif. analiza Sr-90	SAVA (Ljubljana) DRAVA (Maribor) MURJA (Petanjci)	voda voda voda	poletno, 2	IJS
ZEMELJIŠČE - neobdelano zemljišče v različnih globinah				
VL spektrom. gama	Ljubljana Kobarid Murska Sobota	0-10-20-30-40-50 cm 0-10-20-30-40-50 cm 0-10-20-30-40-50 cm	poletno, 10	IJS
Specif. analiza Sr-90	Ljubljana Kobarid Murska Sobota	0-10-20-30-40-50 cm 0-10-20-30-40-50 cm 0-10-20-30-40-50 cm	poletno, 10	ZVD
TLD	50 lokacij po Sloveniji	H*(10)	poletno, 100	IJS

Tabela 2.2 | Program meritev radioaktivnosti v živil, pitne vode in krmil v Sloveniji v 2020

Vrsta in opis meritev	Vzorečevalno mesto	Vrsta vzorca	Pogostost in št. meritev	Izvajalec
PITNA VODA				
VL spektrom. gama	15 lokacij po Sloveniji	vodovodi - enkratni vzorec	letno, 15	IJS
Specifična analiza H-3	15 lokacij po Sloveniji	vodovodi - enkratni vzorec	letno, 15	IJS
Specif. analiza Sr-90	15 lokacij po Sloveniji	vodovodi - enkratni vzorec	letno, 15	IJS
nadaljevanje na naslednji strani –				

**Tabela 2.2 | – nadaljevanje s prejšnje strani**

Vrsta	Vzorčevalno mesto	Vrsta vzorca	Pogostost in št. meritiv	Izvajalec
HRANA				
Hrana rastlinskega porekla				
VL spektrom. gama	Večja mesta po Sloveniji	<i>Sez. zelenjava:</i> npr. krompir, solata, špinaca, korenje, zelje, fižol, paradžnik	letno, 6	ZVD
Specif. analiza Sr-90	Večja mesta po Sloveniji	<i>Sez. zelenjava:</i> npr. krompir, solata, špinaca, korenje, zelje, fižol, paradžnik	letno, 6	ZVD
VL spektrom. gama	Večja mesta po Sloveniji	<i>Sezonsko sadje:</i> npr. jabolka, breskve, česnje, slive, hruške, jagode, češnje	letno, 6	ZVD
Specif. analiza Sr-90	Večja mesta po Sloveniji	<i>Sezonsko sadje:</i> npr. jabolka, breskve, česnje, slive, hruške, jagode, češnje	letno, 6	ZVD
VL spektrom. gama	Večja mesta po Sloveniji	<i>Žito, kruh:</i> npr. pšenica, koruza, rž, ječmen, kruh, bela moka	letno, 6	ZVD
Specif. analiza Sr-90	Večja mesta po Sloveniji	<i>Žito, kruh:</i> npr. pšenica, koruza, rž, ječmen, kruh, bela moka	letno, 6	ZVD
Hrana živalskega porekla				
VL spektrom. gama	Večja mesta po Sloveniji	sir, jajca, goveje meso, svinjsko meso, ribe, perutnina, med, divjačina	letno, 8	ZVD
Specif. analiza Sr-90	Večja mesta po Sloveniji	sir, jajca, goveje meso, svinjsko meso, ribe, perutnina, med, divjačina	letno, 8	ZVD
Ljubljana				
VL spektrom. gama	Kobarid	mleko	dvomesečno, 6	ZVD
Specif. analiza Sr-90	Bohinjska Bistrica		dvomesečno, 6	ZVD
Murska Sobota				
Ljubljana				
VL spektrom. gama	Kobarid	mleko	dvomesečno, 6	ZVD
Specif. analiza Sr-90	Bohinjska Bistrica		dvomesečno, 6	ZVD
Murska Sobota				
Celovit obrok hrane				
VL spektrom. gama	Vrtci po različnih mestih	obrok	letno, 5	ZVD
Specif. analiza Sr-90	Vrtci po različnih mestih	obrok	letno, 5	ZVD
KRMILA, GNOJILA, FOSFATI				
VL spektrom. gama	10 lokacij	enkratni vzorec	letno, 12	ZVD
Specif. analiza Sr-90	10 lokacij	enkratni vzorec	letno, 12	ZVD

2.3 Metodologija meritov

Meritve v okviru rednega monitoringa življenjskega okolja v Republiki Sloveniji v letu 2020 sta izvajala ZVD in IJS. Za določanje koncentracij aktivnosti radionuklidov v vzorcih iz okolja smo uporabljali visoko ločljivostno spektrometrijo gama (ZVD in IJS), radiokemično analizo Sr-90 (ZVD in IJS), radiokemično analizo H-3 (IJS) in radiokemično analizo I-131 (ZVD). Za meritve doze zunanjega sevanja smo uporabljali TL dozimetre (IJS).

ZVD Zavod za varstvo pri delu d.o.o.

Vzorce zraka, padavin, neobdelane zemlje, krmil ter hrane rastlinskega in živalskega porekla smo v letu 2020 na ZVD vzorčili, pripravili in merili v skladu z odobrenimi delovnimi postopki za vzorčenje, pripravo vzorcev in izvajanje meritov koncentracij aktivnosti gama in beta sevalcev v vzorcih iz življenjskega okolja [5–14].

IJS Institut "Jožef Stefan".

IJS je v letu 2020 izvajal meritve radioaktivnosti tekočih vod, pitnih vod, sedimenta, zemlje in zraka v Ljubljani ter zunanjega sevanja. Vzorce so na IJS vzorčili, pripravili in merili v skladu s sprejetimi postopki IJS. Sevalce gama določajo po internih postopkih ali navodilih z visokoločljivo spektrometrijo gama v laboratoriju, vsebnost Sr-89/90 z beta štetjem in vsebnost tritija s tekočinskim scintilacijskim štetjem [15–19].

Zagtavljanje kakovosti meritov.

Stalno izvajanje kontrolnih meritov v laboratorijih po definiranih programih, udeležba na primerjalnih meritvah doma in v tujini, uporaba standardnih virov radioaktivnosti s certifikati, zagotavljajo kakovostne meritve, zanesljivost rezultatov in sledljivost do mednarodnih etalonov za merila.

2.4 Akreditirane meritve

ZVD in IJS sta za izvajanje meritov z metodo visoko ločljivostne spektrometrije gama, radiokemične analize Sr-89, Sr-90 in H-3 (samo IJS) ter meritve doze zunanjega sevanja akreditirana v skladu s standardi SIST EN ISO/IEC 17025 – akreditacijske listine številka LP-022, LP-032 in LP-090. Radiokemične analize I-131 se ne izvajajo po akreditirani metodi, vendar izvajalci meritov vzdržujejo sistem kakovosti in nenehnega izboljševanja. V poglavju 8 pričajočega poročila (od strani 117 naprej) so zbrane in predstavljene tabele z rezultati meritov monitoringa radioaktivnosti v okolju. Meritve označene z znakom # in v **odebeljenem tisku** se nanašajo na neakreditirano dejavnost.

Ker sta meritve izvajala ZVD Zavod za varstvo pri delu in Institut »Jožef Stefan«, je vsaka tabela poglavja 8 ob strani posebej označena z logotipom organizacije, in sicer z **ZVD** za meritve ZVD in **IJS** za meritve IJS.

Koncentracije aktivnosti ali specifične aktivnosti radionuklidov v vzorcih so preračunane na datum vzorčenja. Število podano za znakom \pm je skupna standardna negotovost in se nanaša na interval zaupanja z 68% zanesljivostjo (v kolikor ni drugače navedeno). Število podano za znakom < je spodnja meja aktivnosti, ki jo lahko določimo za dani izotop in se nanaša na interval zaupanja z 68% zanesljivostjo. Aktivnosti navedene v poročilu v poglavju 8 se nanašajo le na izmerjeni vzorec in ne na celotni vzorčeni material. Podrobnejša pojasnila k zapisom rezultatov meritov so navedena v poglavju 8.1.

2.4.1 Originalna poročila z meritvami

Rezultati navedeni v tabelah v poglavju 8 so pridobljeni iz naslednjih akreditiranih poročil ZVD in IJS v okviru izvajanja rednih monitoringov, in sicer:

- Monitoring radioaktivnosti v življenjskem okolju [20–22], naročnik Uprava RS za jedrsko varnost (Ministrstvo za okolje in prostor)
- Monitoring radioaktivnosti živil [23], naročnik Uprava RS za varstvo pred sevanji (Ministrstvo za zdravje)
- Monitoring radioaktivnosti pitne vode [24], naročnik Uprava RS za varstvo pred sevanji (Ministrstvo za zdravje)
- Monitoring radioaktivnosti živalske krme [25], naročnik Uprava RS za varno hrano, veterinarstvo in varstvo rastlin (Ministrstvo za kmetijstvo)
- Izdelava študije koncentracije radionuklida K-40 in drugih zaznanih gama sevalcev na poljedelskih območjih [26], naročnik Uprava RS za jedrsko varnost (Ministrstvo za okolje in prostor)

2.5 Izračuni koncentracij aktivnosti ali specifičnih aktivnosti

Koncentracije aktivnosti radionuklidov v vzorcih zraka podajamo v Bq/m^3 , v vzorcih tekočih in pitnih vod v Bq/m^3 , v vzorcih padavin bodisi kot radioaktivni used na enoto prestrezne površine v Bq/m^2 bodisi preračunano na količino padavin v Bq/m^3 . V vzorcih zemlje podajamo koncentracije aktivnosti radionuklidov bodisi v Bq/kg bodisi specifične aktivnosti preračunane na enoto površine v Bq/m^2 . Koncentracije aktivnosti radionuklidov v vzorcih hrane (mleko, meso, sadje, zelenjava in močnati izdelki) podajamo v Bq/kg . Doze zaradi zunanjega sevanja in efektivne doze za prebivalstvo podajamo v mSv oziroma μSv .

Za vsako vrsto vzorca smo v tem poročilu izračunali povprečno letno vrednost koncentracije aktivnosti ali specifične aktivnosti in njeno negotovost, ki ju kasneje upoštevamo v izračunu doz prebivalcev. Izračun povprečij ZVD poteka po internem navodilu [27] oziroma na naslednji način:

- neizmerjena vrednost v danem obdobju k povprečju prispeva vrednost 0;
- poročana spodnja meja detekcije k povprečju prispeva polovico njene vrednosti, če je vsaj ena meritev v letu bila poročana nad mejo detekcije;
- poročana spodnja meja detekcije k povprečju prispeva vrednost 0, če v letu ni bila poročana nobena vrednost nad mejo detekcije.

Negotovosti posameznih meritev so podane v tabelah v poglavju 8. K negotovosti izračunanega povprečja koncentracij aktivnosti vzorca prispevajo tako negotovosti posameznih meritev σ_{x_i} in raztres vrednosti oziroma standardna deviacija posameznih meritev od povprečne vrednosti σ_{stdev} , kot je prikazano v spodnjih enačbah.

$$\sigma_{stdev} = \sqrt{\sum_{i=1}^n \frac{(\bar{x} - x_i)^2}{n-1}} \quad (2.1)$$

$$\bar{\sigma} = \sqrt{\sum_{i=1}^n \frac{\sigma_{x_i}}{n}} \quad (2.2)$$

$$\sigma_{\bar{x}} = \sqrt{\sigma_{stdev}^2 + \bar{\sigma}^2} \quad (2.3)$$

kjer je $\sigma_{\bar{x}}$ negotovost povprečne vrednosti. To pomeni, da bo, na primer, pri izmerjenih vzorcih, ki imajo velik razpon vrednosti prevladovala negotovost zaradi velike

standardne deviacije od povprečja, pri vzorcih s konstantnimi vrednostmi pa negotovost zaradi negotovosti posamičnih meritov. Zato se je v primeru velikih negotovosti za povprečne vrednosti koncentracij aktivnosti vzorcev v tem poročilu potrebno zavedati, da te v večini primerov niso posledica merske negotovosti, ampak predvsem širokega razpona aktivnosti v posameznih vzorcih iste vrste.

V spodnji tabeli 2.3 so prikazane orientacijske vrednosti meje detekcije za različne vzorce in radionuklide za metodo visoko ločljivostne spektrometrije gama.

Tabela 2.3 | Orientacijske vrednosti meje detekcije za različne vzorce in radionuklide

Vrsta vzorca	zemlja	voda	sediment	zrak
Količina vzorca	1 kg	0,02 m ³	1 kg	10000 m ³
Trajanje meritve	1 dan	1 dan	2 dni	1 dan
Spodnja meja detekcije				
Radionuklid	Bq/kg	Bq/m ³	Bq/kg	µBq/m ³
K-40	0,9	18	0,7	35
Co-60	0,1	4,1	0,8	54
I-131	0,089	3,2	0,7	43
Cs-134	0,096	3,6	0,8	51
Cs-137	0,1	3,8	0,8	54
Pb-210	1,1	13	0,7	26
Ra-228	0,5	7,0	0,4	14
Th-228	0,2	4,0	0,2	8,0
Ra-226	0,3	2,3	0,2	4,5
U-238	0,8	12	0,6	23
Am-241	0,15	3,5	1,0	51

Zrak

Vzorčenje in rezultati meritev
Dolgoročni trend aktivnosti Cs-137
Sezonske varijacije Cs-137
Lesna kuriva
Sezonske varijacije Be-7 in Pb-210
Dolgoročni trend aktivnosti Be-7 in Pb-210

Padavine

Vzorčenje in rezultati meritev
Specifična aktivnost sevalcev gama in Sr-90
Koncentracija aktivnosti H-3
Specifična aktivnost kozmogenega Be-7

Tekoče vode

Vzorčenje in rezultati meritev
Dolgoročni trendi
Študija K-40 na poljedeljsko intenzivnih območjih

3 — Okoljski monitoring

3.1 Zrak

3.1.1 Vzorčenje in rezultati meritev

Meritve so se v letu 2020 izvajale na lokacijah Ljubljana¹, Predmeja in Murska Sobota². Lokacije so označene na zemljevidu na sliki 3.1.

Zrak se kontinuirano vzorči, analize sevalcev gama sestavljenih vzorcev pa se opravljajo mesečno. Rezultati so podani v poglavju 8 v tabelah 8.1, 8.3 in 8.4.

Umetni radionuklidi

Celoletna letna povprečna vrednost koncentracije aktivnosti Cs-137 na lokaciji vzorčenja v Ljubljani je bila $1,6 \pm 0,1 \mu\text{Bq}/\text{m}^3$, na lokaciji vzorčenja v Murski Soboti $0,9 \pm 0,1 \mu\text{Bq}/\text{m}^3$ in na lokaciji vzorčenja na Predmeji³ $5,1 \pm 4,0 \mu\text{Bq}/\text{m}^3$.

Naravni radionuklidi

Poleg umetnih radionuklidov so v vzorcih zraka opazni tudi naravnih radionuklidov (k dozi največ prispeva Pb-210) in kozmogeni Be-7. Povprečna letna vrednost koncentracije aktivnosti je bila:

- v Ljubljani za Be-7 $4,6 \pm 0,1 \text{ mBq}/\text{m}^3$ oziroma za Pb-210 $0,79 \pm 0,02 \text{ mBq}/\text{m}^3$,
- v Murski Soboti za Be-7 $3,1 \pm 1,0 \text{ mBq}/\text{m}^3$ oziroma za Pb-210 $0,42 \pm 0,20 \text{ mBq}/\text{m}^3$ in
- na Predmeji za Be-7 $4,2 \pm 2,0 \text{ mBq}/\text{m}^3$ oziroma za Pb-210 $0,36 \pm 0,20 \text{ mBq}/\text{m}^3$.

3.1.2 Dolgoročni trend aktivnosti Cs-137

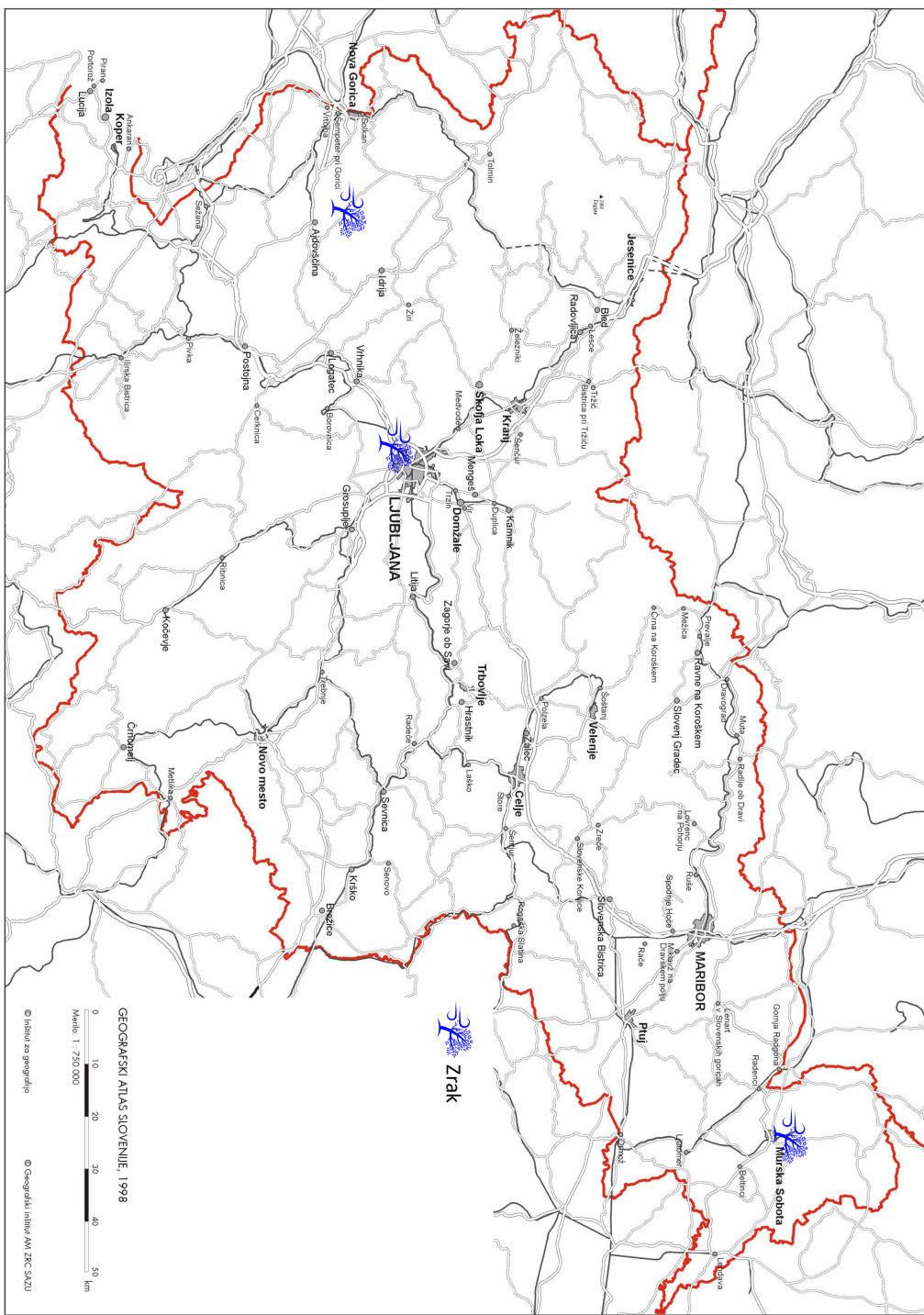
Na spodnji sliki 3.2 so prikazane povprečne mesečne koncentracije aktivnosti za Cs-137 za Ljubljano za obdobje od leta 1981 dalje.

Mesečne koncentracije Cs-137 po letu 1986, ko so bile najvišje zaradi černobilske nesreče, padajo. Povprečne letne koncentracije Cs-137 v zraku v Ljubljani se po letu

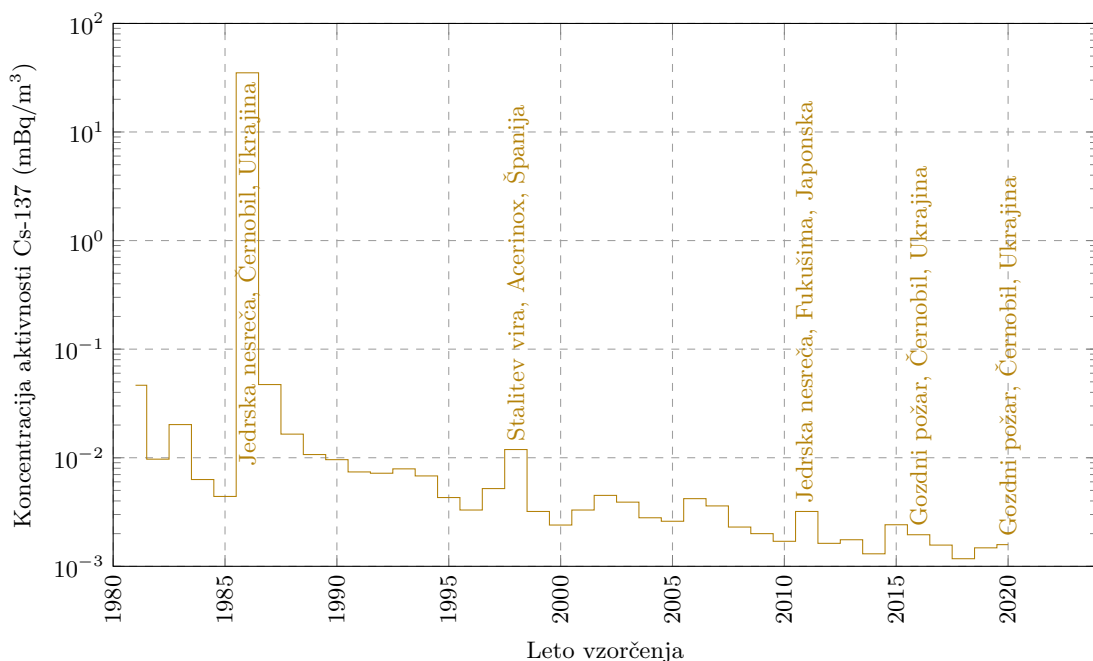
¹Od avgusta 2009 se vzorčenje v Ljubljani namesto na lokaciji Reaktorskega centra Podgorica izvaja na lokaciji IJS na Jamovi cesti

²Namesto lokacije na Jareninskem vrhu pri Mariboru od leta 2018 dalje poteka vzorčenje zraka v Murski Soboti (Rakičan)

³Večina meritev Cs-137 na Predmeji je bila pod mejo detekcije, ki je zaradi manjše kapacitete črpalke, precej višja kot na ostalih lokacijah. Skladno s postopki izračuna povprečij so le-ta nerealno visoka.



Slika 3.1 | Lokacije vzorčenja vzorcev zraka.



Slika 3.2 | Povprečne mesečne koncentracije aktivnosti Cs-137 v zraku na lokaciji Ljubljana od leta 1981 dalje

2000 gibljejo v območju vrednosti $1 - 5 \mu\text{Bq}/\text{m}^3$ in kažejo rahel trend padanja.

Letno povprečje mesečnih koncentracij Cs-137 v letu 2020 je na nivoju vrednosti letnih povprečij v preteklih letih (z izjemo 2011).

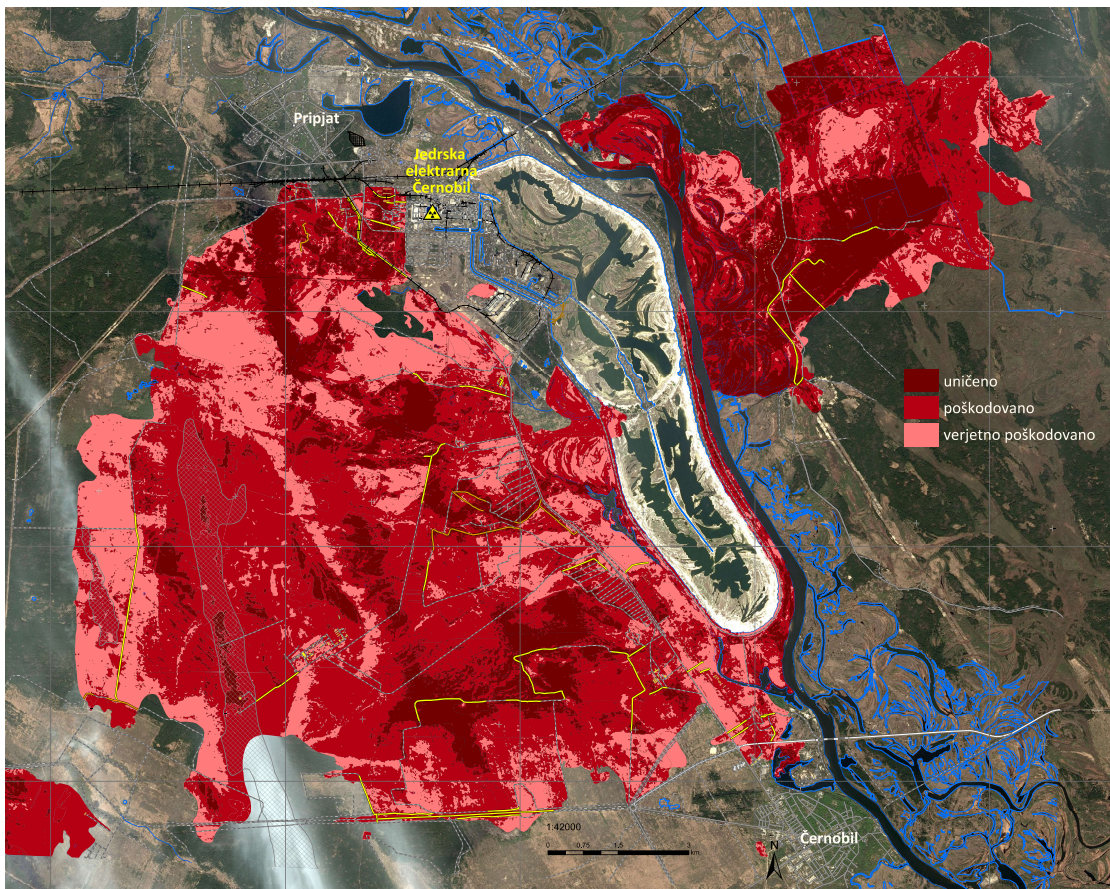
Odstopanja koncentracij Cs-137

Edino povišanje po černobilski nesreči je bilo vidno leta **1998**, v času nezgode v jeklarni Acerinox v Španiji (Algeciras), kjer so stalili radioaktivni vir Cs-137, zaradi česar so bile izmerjene vrednosti okoli $10 \mu\text{Bq}/\text{m}^3$, ter prvih nekaj mesecev po nesreči v jedrski elektrarni v Fukušimi na Japonskem marca **2011**. Zaradi velike oddaljenosti in posledične razredčitve vpliv nesreče v Sloveniji ni bil močno opazen, povišane vrednosti za velikostni red od siceršnjih vrednosti so bile opazne le v prvih dveh mesecih po nesreči. Julija **2016** je prišlo do gozdnega požara v černobilski izključitveni coni oziroma v t.i. rdečem gozdu [28]. Požar je bil pogašen v enem dnevu, bistvenih vplivov na Evropo ni bilo, z meritvami nismo zaznali nikakršnega odstopanja. V letu **2020** je ponovno prišlo do požara v izključitveni coni (glej sliko 3.3 [29]), in sicer naj bi se začel 4. aprila 2020 [30]. Obseg požara je bil večji kot leta 2016 (glej sliko 3.4 [31]) in je trajal dlje, kjer je bil v večini pogašen šele v naslednjih dveh tednih.

V tabeli 8.2 na strani 121 so predstavljene podrobnejše meritve na lokaciji Ljubljana v času med in po požaru. V prvi oziroma drugi polovici aprila 2020 sta bila izmerjeni koncentraciji aktivnosti Cs-137 $2.7 \pm 0.3 \mu\text{Bq}/\text{m}^3$ oziroma $1.6 \pm 0.3 \mu\text{Bq}/\text{m}^3$, ki sta višji kot meseca marca ($1.1 \pm 0.2 \mu\text{Bq}/\text{m}^3$) in maja (prav tako $1.1 \pm 0.2 \mu\text{Bq}/\text{m}^3$). Iz meritev lahko sklepamo, da je vpliv požara v Sloveniji sicer bil zaznan, ni pa imel bistvenega učinka na prejete doze, saj je dodaten prispevek na letni ravni praktično zanemarljiv.



Slika 3.3 | Slika požara iz letala (april 2020)



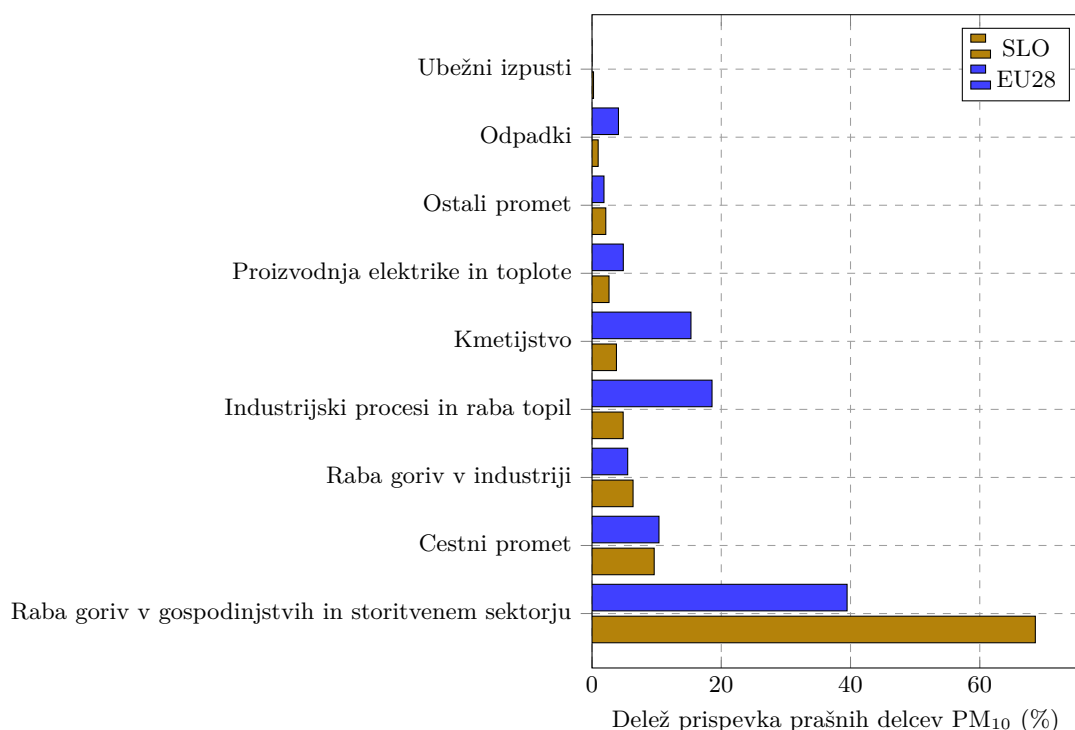
Slika 3.4 | Obseg in posledice požara v okolici Černobila

3.1.3 Sezonske variacije Cs-137

Nekatera tuja literatura navaja pojav izmerkov povišane koncentracije Cs-137, ki so bile do tedaj pod mejami detekcije, kar pripisujejo povišani uporabi drv in lesne biomase (peleti, briketi), ki vsebujejo višje aktivnosti Cs-137 zaradi kontaminacije po černobilski nesreči [32]. V literaturi [32–37] je moč najti potrditve, da zaradi prenosnih mehanizmov prihaja do akumulacije Cs-137 v drevesih, posebej so povišane vrednosti v lubju. Na podlagi predpostavk in ugotovitev v teh znanstvenih člankih smo potrdili, da je takšen pojav viden tudi v Sloveniji, kjer bi lahko znaten vir Cs-137 v zraku prispeval ravno uporaba biomase. V preteklih letih smo z analizami ugotovili korelacijo aktivnosti Cs-137 z nizkimi temperaturami in koncentracijo prašnih delcev PM_{10} (velikosti delcev z aerodinamičnim premerom pod $10 \mu m$) [38–40]. Tako na izmerjenih podatkih povprečnih mesečnih koncentracij Cs-137 na filtrih vzorčevalnih črpalk na lokaciji v Ljubljani, kjer je kapaciteta zračne črpalke največja in s tem zanesljivost merskih podatkov velika (meja detekcije je dovolj nizka, da dobimo izmerke tudi v poletnih mesecih), potrdimo, da je uporaba lesne biomase glavni vir Cs-137 v zraku v zimskih mesecih, ne pa resuspenzija Cs-137 iz zemlje, kot se je smatralo pred letom 2013 [41, 42] in ki prispeva glavnino Cs-137 v poletnih mesecih.

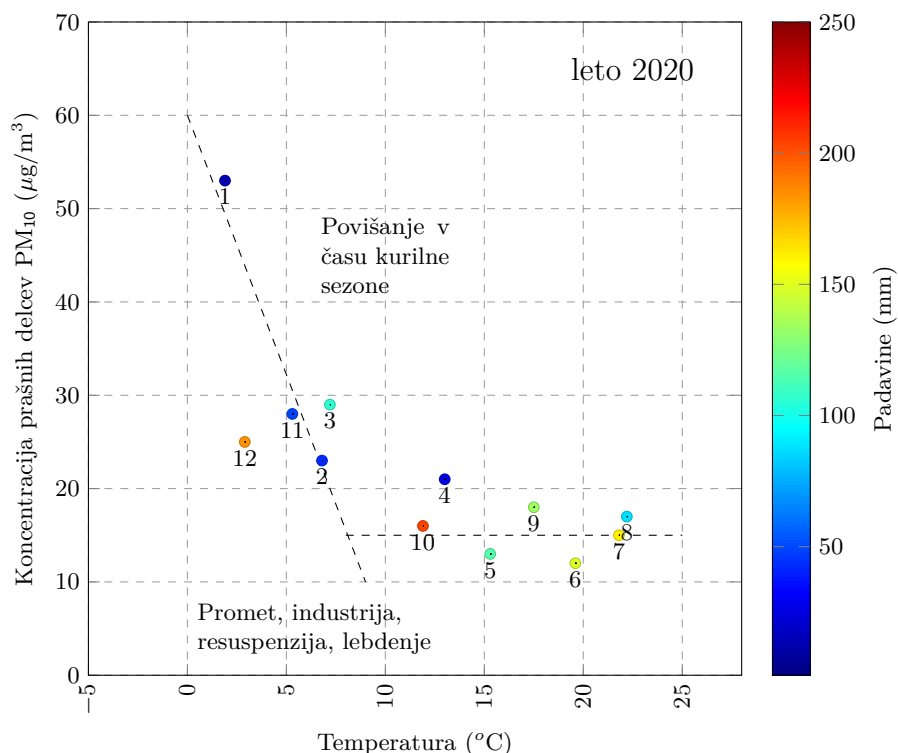
Prašni delci PM_{10} .

Na podlagi rednih meritev Agencija RS za okolje spremlja različne kazalce okolja v Sloveniji, kjer so lahko identificirali različne vire delcev PM_{10} [43]. Deleži posameznih prispevkov so prikazani na sliki 3.5, za primerjavo pa so dodani še podatki povprečja vseh držav EU, kjer je razvidno, da k onesnaženju z delci daleč največ prispevajo individualna kurišča (drvna, briketa, peleti), deloma in v precej manjši meri pa tudi promet, industrija in ponovni dvig ter lebdenje delcev v ozračju.



Slika 3.5 | Različni viri prašnih delcev PM_{10} (za leto 2016).

Iz meritev prašnih delcev PM_{10} tipično ugotovimo, da so koncentracije povišane predvsem v hladnejših mesecih [44–51]. To je tudi razvidno na slikah 3.6 in 3.7, kjer primerjamo koncentracije prašnih delcev PM_{10} in povprečne mesečne temperature za več zaporednih let. Tako je med kurilno sezono lepo viden dvig koncentracij PM_{10} , v toplih mesecih izven kurielne sezone so koncentracije dokaj stalne zaradi ostalih omenjenih virov PM_{10} . Velik vpliv na koncentracijo delcev imajo vremenske razmere in, ker so koncentracije lahko zmanjšane zaradi padavin (izpiranje z dežjem), tako v grafu na slikah 3.6 in 3.7 dodatna barvna oznaka odraža količino padavin v posameznem mesecu.

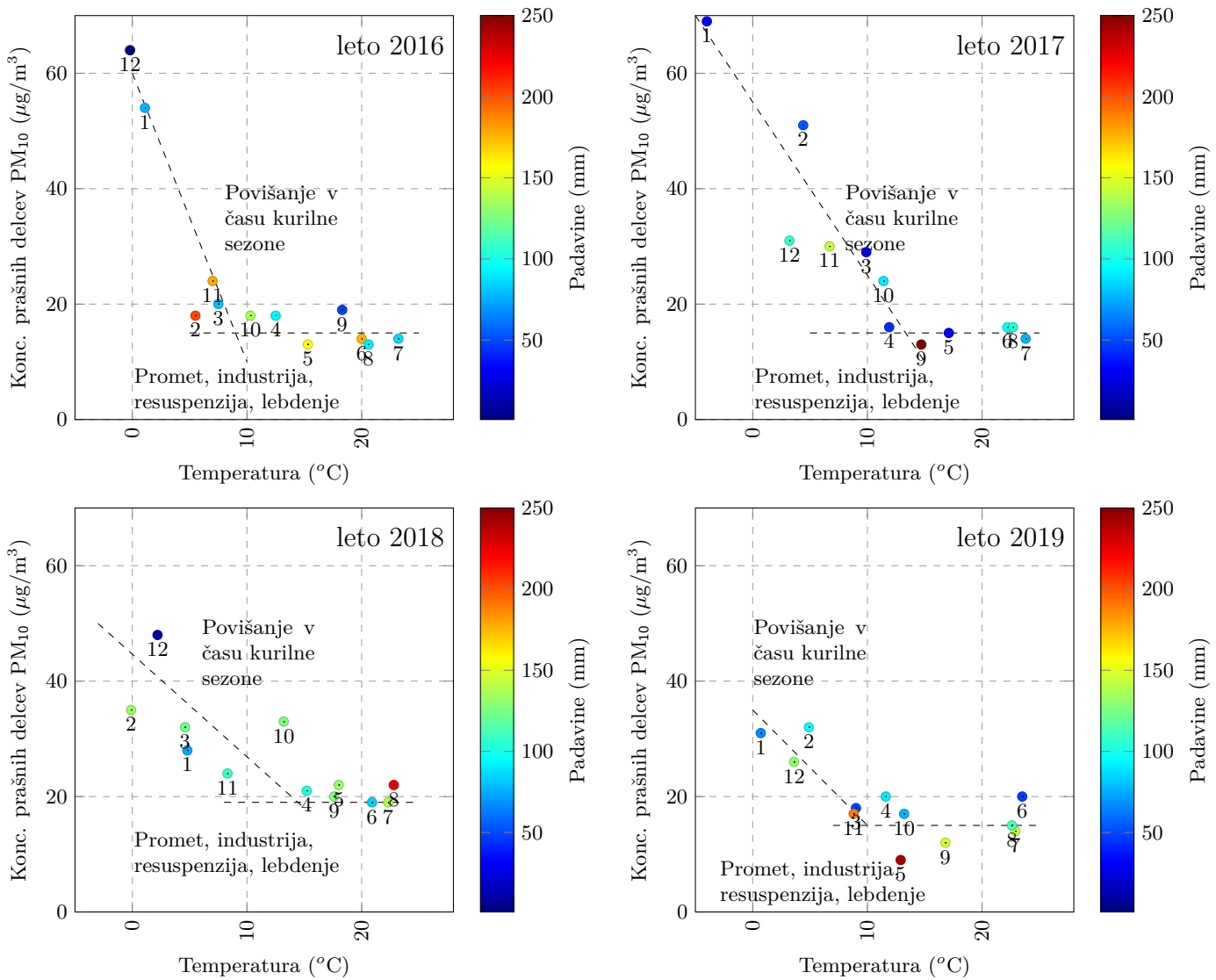


Slika 3.6 | Temperaturna korelacija prašnih delcev PM_{10} za preteklo leto na lokaciji v Ljubljani – oznake ob merskih točkah predstavljajo mesec meritve, barvna oznaka pa količino padavin.

Odvisnost koncentracij aktivnosti od prašnih delcev oziroma temperature.

Na slikah 3.8 in 3.9 smo primerjali odvisnost izmerjenih aktivnosti nekaterih radionuklidov v zraku (Cs-137 , Th-228 , Pb-210) od povprečnih mesečnih temperatur oziroma koncentracij prašnih delcev.

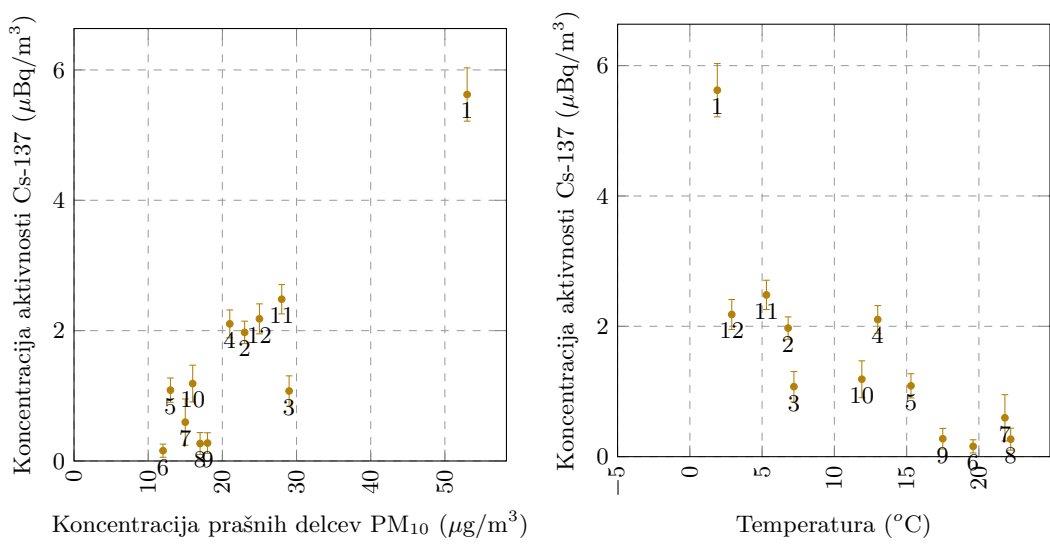
Predvsem za koncentracije aktivnosti Cs-137 lahko ugotovimo močno variacijo med oziroma izven kurielne sezone, tj. korelacijo s koncentracijami prašnih delcev oziroma močno antikorelacijo s temperaturo (kot indikator za kurielno sezono) (glej sliko 3.8). Korelacija je precej manj izrazita za naravni radionuklid Pb-210 ali pa le-ta sploh ni prisotna za izotop Th-228 , kot je razvidno na sliki 3.9. Iz zgornjih ugotovitev izhaja, da je se zaradi uporabe lesnih kuriv s Cs-137 v hladnih mesecih povišajo vrednosti Cs-137 tudi v ozračju. To potrjujejo tudi meritve, kjer so aktivnosti Cs-137 izmerjene v hladnejših mesecih lahko tudi za velikostni red višje od vrednosti v toplejših mesecih, na nekaterih merilnih postajah pa so te velikokrat celo pod mejo detekcije. Ugibamo lahko, da so mehanizmi vezave radionuklidov na aerosole (prašne delce) različni, in sicer se Cs-137 veže močno, Pb-210 manj, medtem ko Th-228 skoraj nič oziroma je le-ta v



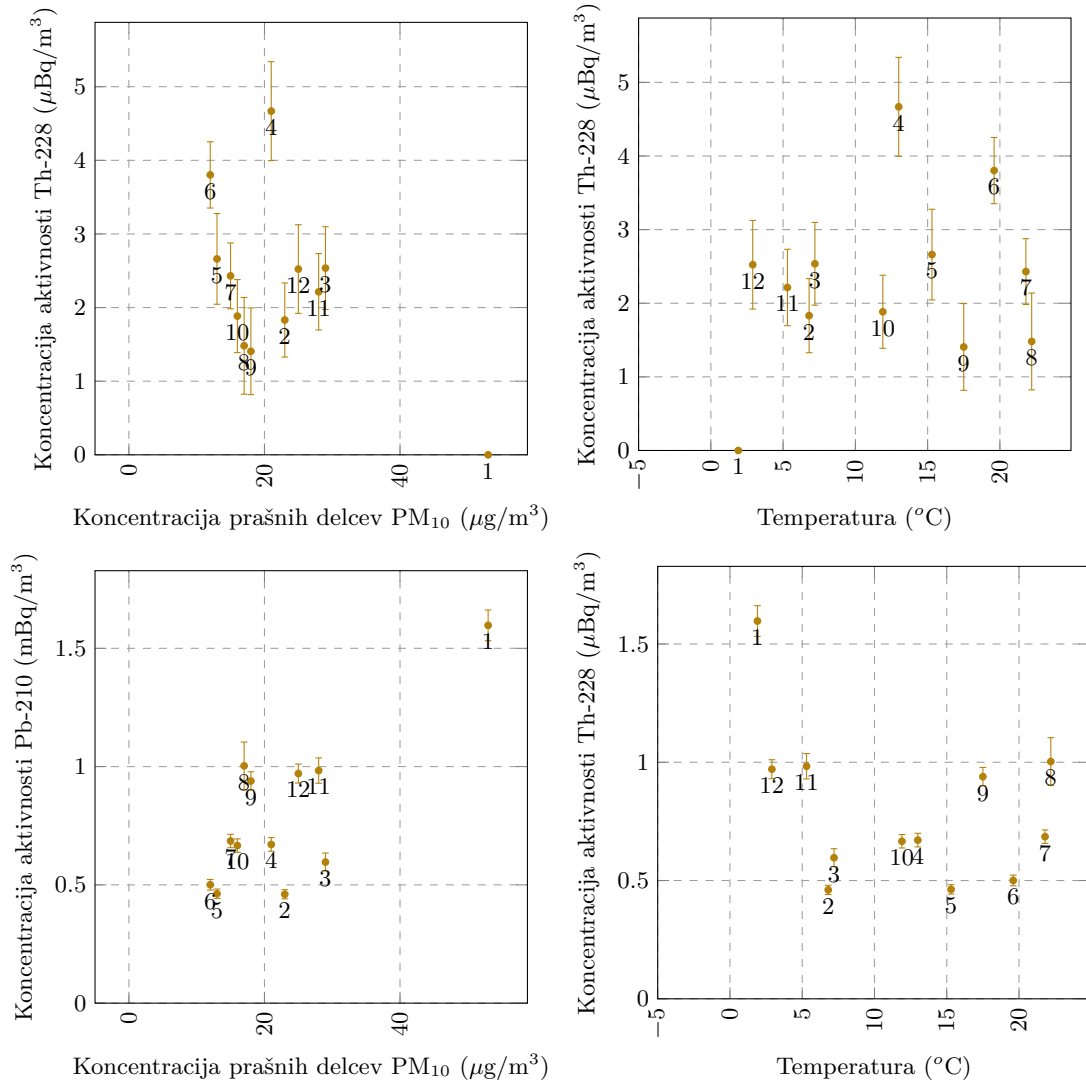
Slika 3.7 | Zgodovinski pregled temperaturne korelacije prašnih delcev PM_{10} na lokaciji v Ljubljani.

zraku posledica drugih virov in ne lesnih kuriv.

Iz tega lahko zaključimo, da je prispevek k specifični aktivnosti Cs-137 v zraku v hladnih mesecih v veliki meri posledica uporabe trdih goriv (predvsem lesa, briketov in peletov). V toplih mesecih pa je prispevek manj izrazit in je najverjetneje posledica več faktorjev, v prvi meri zaradi resuspenzije iz tal in lebdenja delcev v ozračju ter v manjši meri zaradi prometa in industrije.



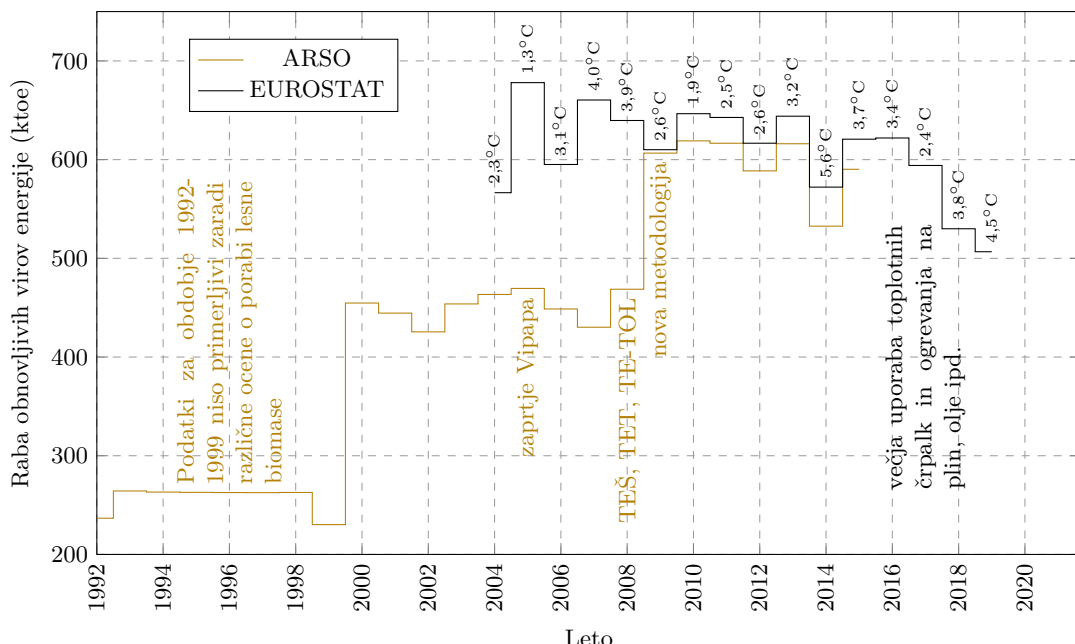
Slika 3.8 | Sezonske korelacije med aktivnostjo Cs-137 v zraku in koncentracijo prašnih delcev PM₁₀ oziroma temperaturo na lokaciji Ljubljana.



Slika 3.9 | Sezonske korelacije med aktivnostjo naravnih radionuklidov, Th-228 in Pb-210, v zraku in koncentracijo prašnih delcev PM_{10} oziroma temperaturo na lokaciji Ljubljana.

3.1.4 Lesna kuriva

Visoka rabe lesne biomase v Sloveniji je glede na veliko pokritost z gozdovi pričakovana in smotrna. Poleg lesa trdna biomasa zajema tudi kostno moko in maščobe, papirni mulj ter lužnico, ki se uporablja v industriji. Les je leta 2011 predstavljal 98 % rabe trdne biomase. Variacija po letih je lahko odvisna od različnih faktorjev, največkrat hladnejših ali toplejših zim, industrijske proizvodnje ali tudi zaradi zamenjave starih kotov na lesno biomaso z novejšimi učinkovitejšimi in zaradi energetske obnove stavb. Na sliki 3.10 so predstavljeni podatki, ki jih je zbiral ARSO [52] in EUROSTAT [53]. Pri vsakem letu je zapisna tudi povprečna temperatura v kurilni sezoni (meseci januar, februar, november in december).



Slika 3.10 | Raba obnovljivih virov energije - les in druga trdna biomasa (ARSO) oziroma OVE za ogrevanje (EUROSTAT). Pri vsakem letu je zapisna povprečna zimska temperatura (v času kurilne sezone)

Podatki ARSO

Po podatkih ARSO se največ trdne biomase porabi v gospodinjstvih (leta 2011 415 ktoe⁴), sledita industrija s 50 ktoe in pridobivanje energije s 46 ktoe, poraba je po letih prikazana na sliki 3.10 [52]. Leta 2009 se je raba v gospodinjstvih navidezno močno povečala glede na predhodna leta. Povečanje je zlasti posledica izboljšanja metodologije spremjanja rabe lesne biomase v gospodinjstvih. Preračuni za nazaj niso bili narejeni. V obdobju 2002-2008 je bila raba konstanta, leta 2009 pa se je na podlagi rezultatov ankete o porabi energije v gospodinjstvih izdelal model, s katerim se vsako leto oceni raba lesne biomase [52]. V industriji se je raba biomase po letih rasti od leta 2005 zmanjševala. Glavni vzrok je zaprtje proizvodnje celuloze v podjetju Vipap. Leta 2011 je bila za 23 % nižja kot leta 2000. Raba v transformacijah je bila leta 2011 za 94 % višja kot leta 2000. Znatno se je povečala leta 2008, ko so začele les uporabljati tudi velike termoelektrarne TEŠ, TET in TE-TOL. V letih 2009-2013 je les od velikih TE

⁴kilotonne of oil equivalent

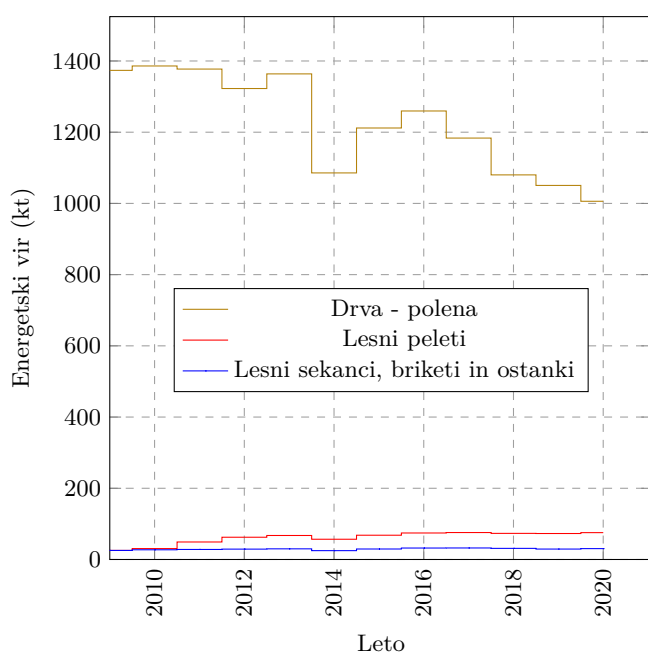
uporabljala le TE-TOL. Narašča tudi poraba lesa v daljinskem ogrevanju, saj se povečuje število manjših sistemov na lesno biomaso [54]. Od leta 2015 naprej ni mogoče več najti podatkov ARSO o porabi lesnih kuriv in druge trdne biomase.

Podatki EUROSTAT

V zbirnih tabelah SHARES [53]⁵ so podrobnejši podatki o uporabi obnovljivih virov energije za ogrevanje, ki jih zbira EUROSTAT. Podatki so na voljo od vstopa Slovenije v EU, torej od 2004, in so prikazani na sliki 3.10, kjer je bila poraba v letih do 2016 dokaj stalna z nekaterimi variacijami, od leta 2016 pa je viden trend upadanja. Manjšanje uporabe gre na račun večjega deleža ogrevanja s pomočjo toplotnih črpalk in ogrevanja na plin, olje ipd., deloma pa lahko vpliva tudi prenova hiš in posledično manjše toplotne izgube.

Podatki SURS

Statistični urad RS spremišča končno porabo energije v gospodinjstvih po vrsti energetskega vira (naravne enote) od leta 2009 dalje [55]. Poraba lesnih kuriv je določena na podlagi zbranih podatkov SURS in s pomočjo preračuna Instituta "Jožef Stefan" – Center za energetsko učinkovitost (IJS-CEU) in je prikazana na sliki 3.11 [55]. Iz slike je razviden izrazit trend naraščanja uporabe lesnih peletov, sekancev, briketov in ostankov, uporaba drv oziroma polen pa rahlo upada, po letih pa odraža hladnejše ali toplejše zime (npr. izrazit minimum v letu 2014).



Slika 3.11 | Končna poraba energije lesnih kuriv v gospodinjstvih izračunana s pomočjo modela rabe energije v gospodinjstvih (IJS-CEU). Vrednosti za leto 2020 so ocenjene z linearno ekstrapolacijo trenda preteklih 5 let.

Meritve in analiza koncentracij aktivnosti

V preteklem letu smo vzorčili in analizirali osem vzorcev lesa oziroma lesnih kuriv:

⁵v letu 2019 je bil po posodobljeni metodologiji in/ali podatkih narejen preračun za vsa leta nazaj do 2004

- 8 vzorcev lesnih peletov in
- brez vzorcev lesnih briketov ali vzorcev žaganja lesa (ekvivalent drvom).

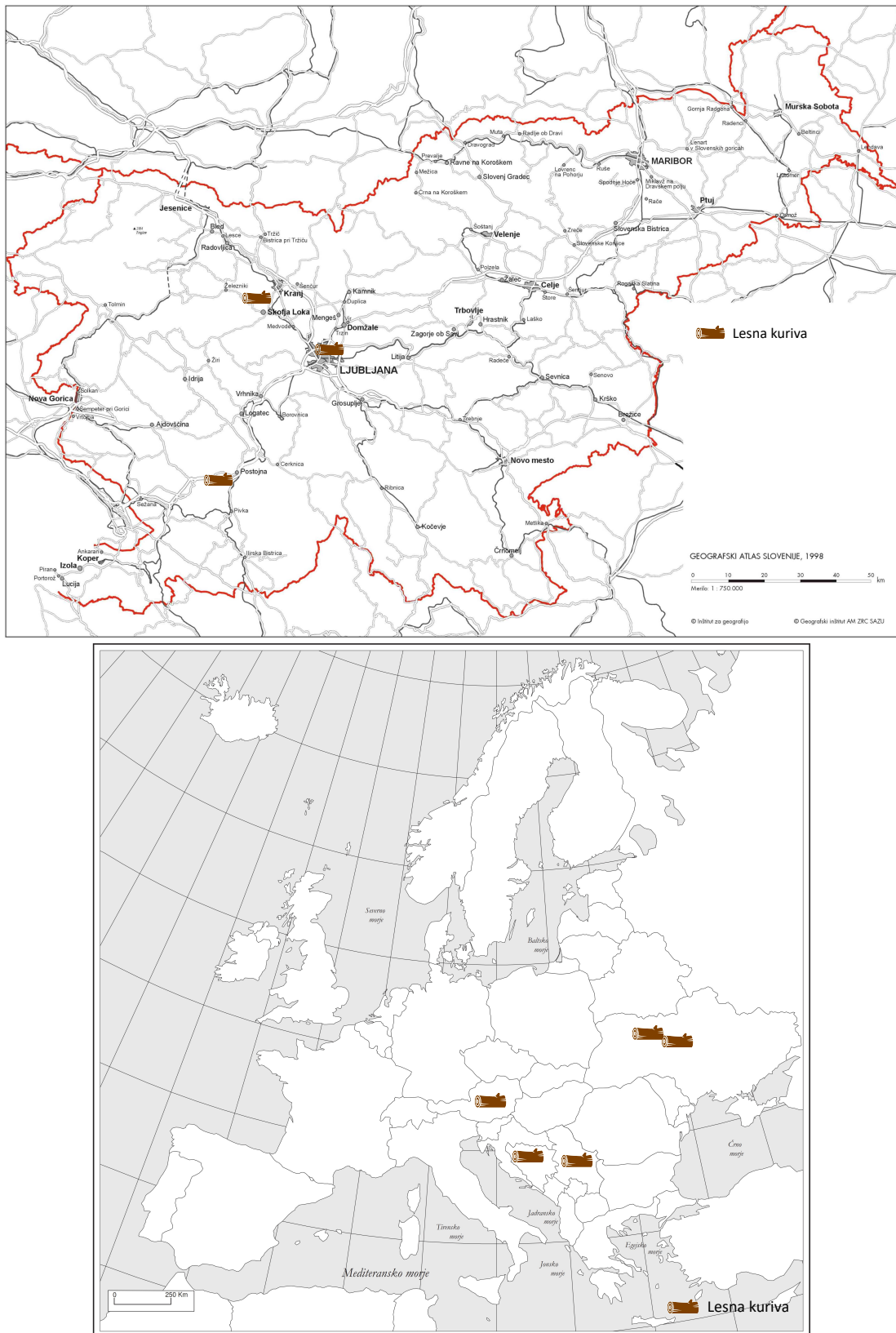
Lokacije vzorčenja domačih peletov oziroma briketov ali iz uvoza (Ukrajina, Srbija, Avstrija, Bosna in Hercegovina) so prikazane na zemljevidu na sliki 3.12.

Rezultati meritev so prikazani v poglavju 8 v tabeli 8.5, koncentracije aktivnosti Cs-137 so bile od 1,5 Bq/kg do 21 Bq/kg, z osamelcem iz Ukrajine 253 Bq/kg. Povprečna koncentracija aktivnosti Cs-137 v lesnih kurivih je $6,3 \pm 6,8$ Bq/kg (brez upoštevanja osamelca, saj tako povprečje ne bi bilo realno). Za leto 2020 še ni dostopnih podatkov o porabi lesnih kuriv. Povprečje letne porabe v obdobju zadnjih 5 let do leta 2019 znaša 1261 kt (skupaj polen, peletov in sekancev ter briketov), vendar se na sliki 3.11 zadnjih nekaj let kaže trend upadanja porabe. Tako lahko z linearno ekstrapolacijo trenda podatkov preteklih 5 let ocenimo, da je bilo v letu 2020 verjetno porabljenih okrog 1112 kt lesnih kuriv (v oceni ni upoštevana odvisnost od različnih faktorjev, kot na primer od zunanje temperature, toplotnih sanacij stavb, menjave kurišč ipd.). Ob upoštevanju povprečne vrednosti koncentracije aktivnosti Cs-137 je bilo v letu 2020 v zrak izpuščena ocenjena skupna aktivnost 7,1 GBq Cs-137. Če to vrednost primerjamo z izpusti Cs-137 skozi oddušnik Nuklearne elektrarne Krško, ugotovimo, da so te za približno milijon krat nižje: v letu 2020 je bilo izpuščeno 2,0 kBq, v letu 2019 je bilo izpuščeno 870 Bq, v letu 2018 ni bilo izpustov Cs-137, v letu 2017 je bilo izpuščeno 1 kBq Cs-137 in v letu 2016 0,7 MBq Cs-137. Podatki o dejanski, povprečni in napovedani porabi kuriv in posledičnih izpustih Cs-137 so pregledno zbrani v tabeli 3.1.

Iz podatkov o vsebnosti Cs-137 v lesnih kurivih lahko informativno ocenimo koncentracijo aktivnosti Cs-137 v zraku v bližini kurišč (do 500 m). V Sloveniji se približno četrtina (23%) od okrog 825.000 gospodinjstev ogreva z lesno biomaso. Pri zgoraj ocenjeni letni porabi lesne biomase, znaša povprečna letna poraba slovenskega gospodinjstva, ki se ogreva le z lesno biomaso, 5865 kg v letu 2020. Skupna letna izpuščena povprečna aktivnost na gospodinjstvo znaša 37,0 kBq. Ob zelo grobih predpostavkah, da se v okolje izpusti celotna količina Cs-137 pri zgorevanju lesa v peči in če informativno uporabimo arbitrarne vrednosti razredčitvenega faktorja na razdalji 500 m $\chi/Q = 10^{-4}$ s/m³ (talni izpust) [56] ter upoštevamo konstantni izpust s povprečno hitrostjo izpuščene aktivnosti 4,0 mBq/s (predpostavili smo, da se kuriva skurijo v 4 mesecih), dobimo oceno za koncentracijo aktivnosti Cs-137 v zraku okrog 0,33 μ Bq/m³ v bližini hiše, kjer se za ogrevanje uporablja peč na lesno biomaso. Ta vrednost je nižja od povprečne koncentracije aktivnosti Cs-137, 3,1 μ Bq/m³, v zraku v Ljubljani za štiri zimske mesece v letu 2020. Če upoštevamo prispevke nekaj gospodinjstev hkrati, pa dobimo že zelo primerljive vrednosti enakega velikostnega reda. Pri tej oceni je veliko neznank in gre za grobo vrednost, v prihodnje bi bilo smiselno uporabiti realne razredčitvene faktorje, reprezentativno porabo lesne biomase, bližina in število kurišč v bližini vzorčevalne postaje ipd.

Tabela 3.1 | Izpusti Cs-137 v zrak zaradi uporabe lesnih kuriv

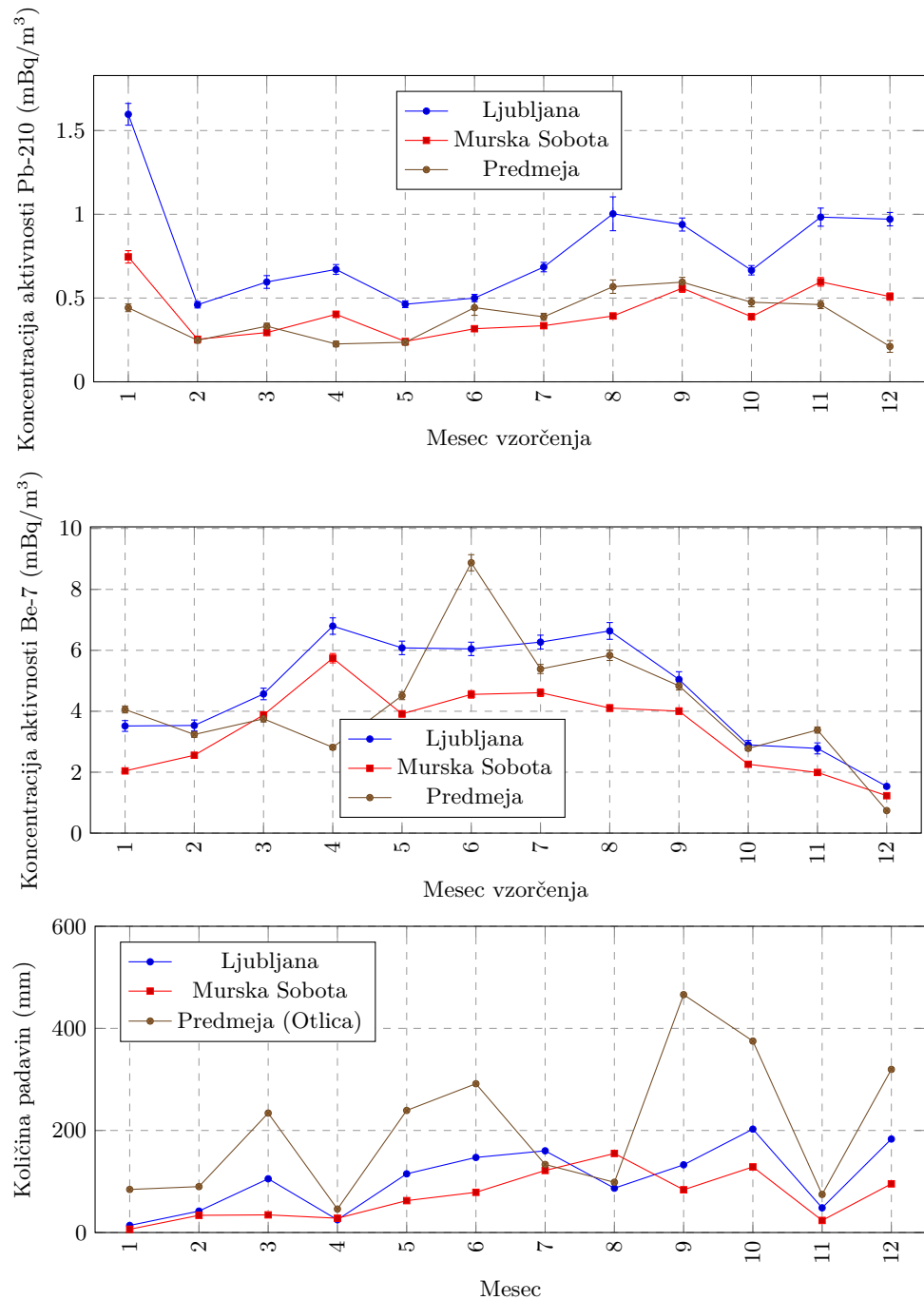
leto	poraba lesnih kuriv (kt)			izpust Cs-137 v zrak (GBq)		
	dej. poraba	5-letno povp.	napoved	dejanski	napovedani	NEK
2015	1272	1361	1224	-	-	
2016	1249	1344	1200	-	-	$0,6 \cdot 10^{-6}$
2017	1292	1319	1269	-	-	$1,0 \cdot 10^{-6}$
2018	1185	1264	1277	2,4	2,6	0
2019	1153	1261	1269	5,3	5,8	$0,9 \cdot 10^{-6}$
2020	-	-	1112	-	7,0	$2,0 \cdot 10^{-6}$



Slika 3.12 | Lokacije vzorčenja ali lokacija izvora vzorcev lesnih kuriv.

3.1.5 Sezonske variacije Be-7 in Pb-210

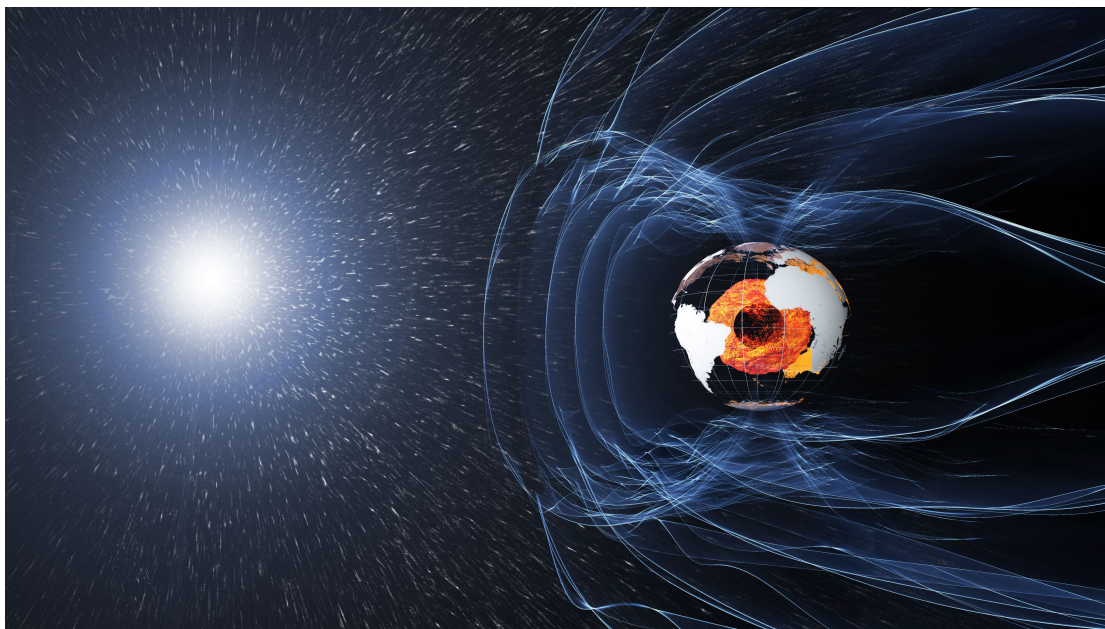
Analizirali smo sezonske variacije koncentracij aktivnosti Be-7 v letu 2020, ki so prikazane na sliki 3.13.



Slika 3.13 | Sezonska variacija koncentracij atmosferskega Pb-210 in Be-7 v zraku in padavin na bližnjih lokacijah.

Kozmogeni Be-7 nastaja kot fragmentacijski oziroma spalacijski produkt jader kisika in dušika pri trkih z bodisi visoko energijskimi galaktičnimi kozmičnimi žarki bodisi nizko energijskimi delci solarnega vetra v zemeljski atmosferi, pri čemer je prispevek

slednjih precej manjši. Solarni veter je sestavljen iz protonov in elektronov pospešenih v sončevi koroni ali ob solarnih izbruhih. Večinoma so energije teh delcev prenizke, da bi prispeli v zemljino atmosfero, saj se zaradi Zemljinega magnetnega polja uklanjajo (prikazano na sliki 3.14 [57]). Njihov sicer majhen vpliv je možen le na magnetnih polih, kjer je usmerjenost magnetnih silnic taka, da delci solarnega vetra lahko prodrejo do nižjih nadmorskih višin.



Slika 3.14 | S površine Sonca izhaja t.i. solarni veter, ki praktično ne more prodati v zemljino atmosfero (shematski prikaz); slika: ESA/ATG medialab.

Kozmogeni radionuklid Be-7 tako nastaja pretežno v jedrskih reakcijah fragmentacije ob interakcijah z galaktičnimi kozmičnimi žarki v zemeljski atmosferi [58]. Večina Be-7 tako nastane v spodnji stratosferi in nato počasi prehaja navzdol do nadmorskih višin zemeljskega površja, količina nastalega Be-7 je tako močno odvisna od sončeve aktivnosti.

Sezonske variacije koncentracij Be-7 v zraku so povezane z vsaj štirimi faktorji [58–60]:

- hitrost prehajanja zračnih mas med stratosfero (višine do 50-60 km) in troposfero (višine do 8-15 km)
- vertikalno mešanje zračnih mas v troposferi
- prehajanje zračnih mas iz srednjih do visokih nadmorskih višin v troposferi in
- izpiranje atmosferskih aerosolov iz zraka preko padavin.

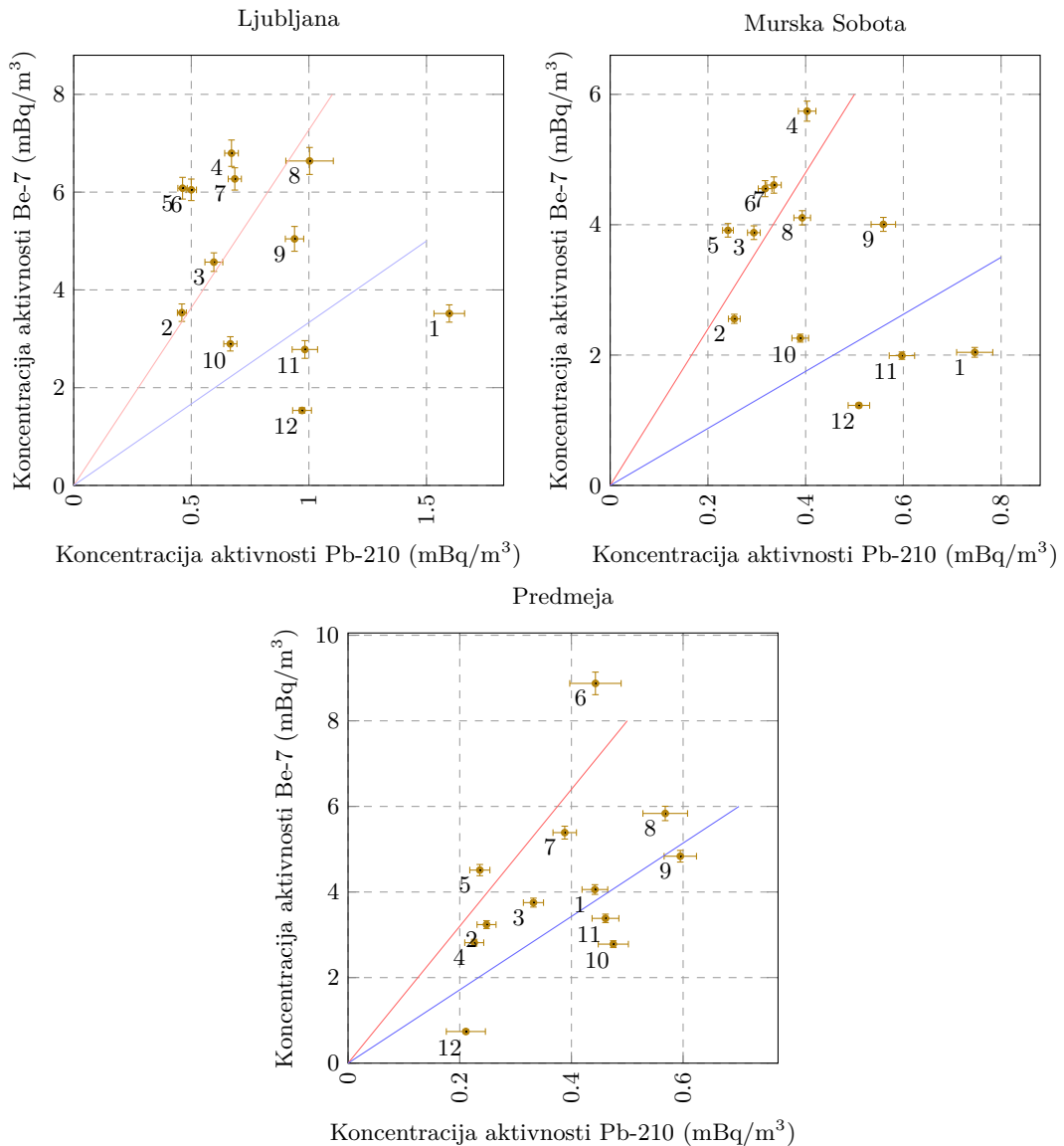
Izpiranje Be-7 s pomočjo padavin je dobro vidno na sliki 3.13, kjer so prikazane mesečne vrednosti aktivnosti Be-7 v zraku, dodatno pa za primerjavo še količina padavin v Ljubljani. Lepo je tudi vidna korelacija med količino padavin in mesečnim usedom Be-7 v padavinah na sliki 3.30 v poglavju 3.2.4.

Poleg izpiranja s padavinami, pa so sezonske variacije v obdobjih, kjer ni zaznanih velikih sprememb v količinah padavin – predvsem hladnejši meseci –, nedvomno povezane s premiki atmosferskih zračnih mas.

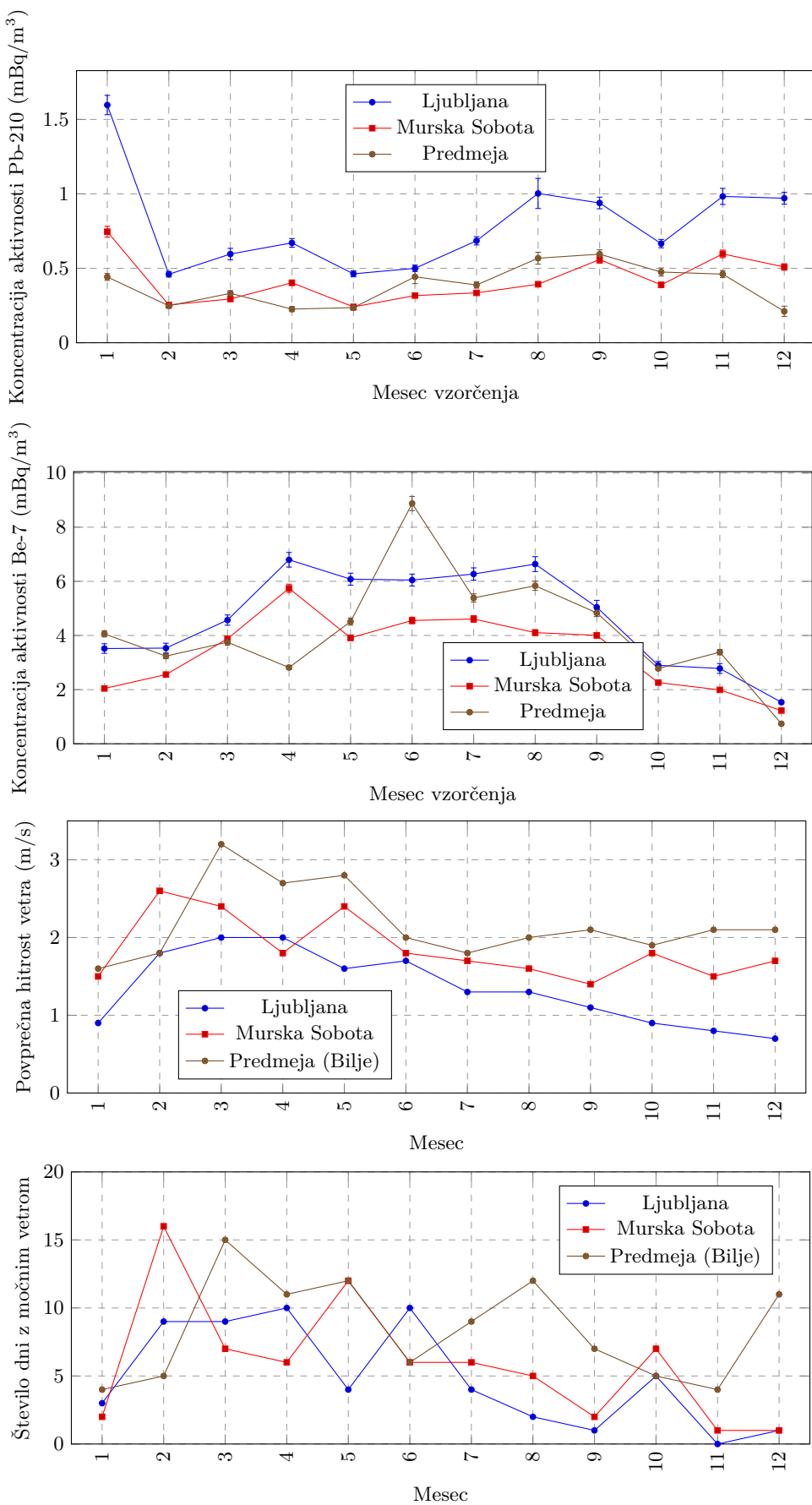
Na sliki 3.13 podrobneje analiziramo sezonske variacije, kjer poleg Be-7 analiziramo tudi koncentracije Pb-210. Oba radionuklida sta v literaturi uporabljeni kot dobra sledilca atmosferskih gibanj zraka, Pb-210 za aerosole v nizkih višinah atmosfere (saj izhaja iz tal), Be-7 pa za aerosole na visokih nadmorskih višinah (nastaja pri interakcijah

z galaktičnimi kozmičnimi žarki). V Sloveniji so koncentracije Pb-210 v zraku višje v zimskih mesecih, predvsem ob nizki vlažnosti, posledično manjših padavinah in majhnim usedom. Ob deževnih mesecih (tipično spomladi in jeseni) se koncentracije Pb-210 v zraku zmanjšajo. Koncentracija Be-7 v zraku najbolj naraste v poletnih mesecih, kjer najverjetneje poletni azorski anticiklon poskrbi za pretakanje zračnih mas iz višjih plasti troposfere oziroma stratosfere v nižje. Na ta način pride do povečanja koncentracij Be-7 na nadmorskih višinah ob zemeljskem površju.

Oba opisana pojava za koncentracije Pb-210 in Be-7 pomenita dvojno korelacijsko funkcijo za zimske in poletne mesece, ki sta lepo opazni na lokacijah Ljubljana in Murska Sobota na sliki 3.15. Odstopanja od te dvojne korelacije so predvsem posledica padavin in vetrovnih razmer z večjim mešanjem zraka. Lokacija v Predmeji je izpostavljena stalnim vetrovom, zato ta dvojna korelacija praktično ni opazna. Vetrovne razmere na lokacijah vzorčenja ali najbližji možni lokaciji so predstavljene na sliki 3.16 za Ljubljano, Mursko Soboto in Bilje pri Novi Gorici (najbližja Predmeji), kjer prikazujemo povprečno hitrost vetra in število dni v mesecu z močnim vetrom (nad 6 bf oziroma nad 11 m/s).



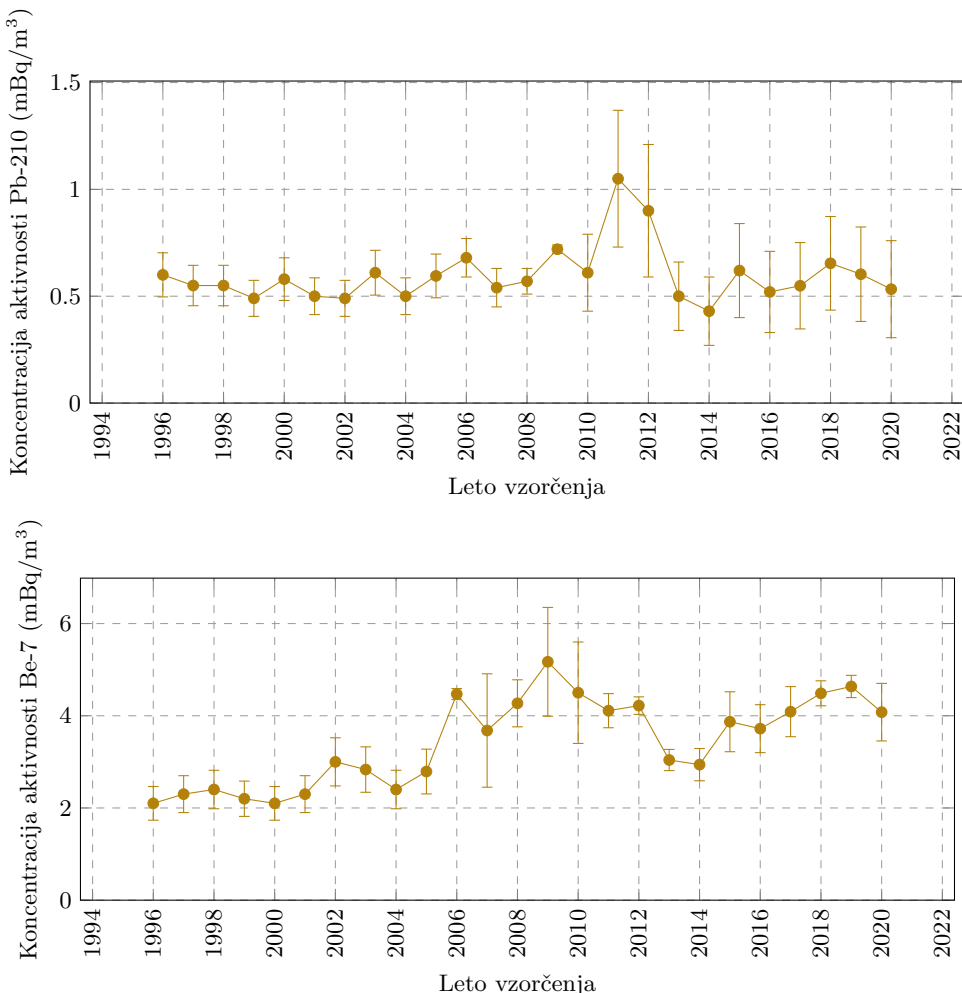
Slika 3.15 | Zimske in poletne korelacije med izmerjenimi koncentracijami atmosferskega Pb-210 in Be-7 v zraku na različnih lokacijah v letu 2020 – številka ob meritvi pomeni mesec vzorčenja.



Slika 3.16 | Vetrovne razmere na lokacijah vzorčenja zraka ali v neposredni bližini.

3.1.6 Dolgoročni trend aktivnosti Be-7 in Pb-210

Na spodnji sliki 3.17 so prikazane povprečne celoletne vrednosti koncentracij aktivnosti v zraku iz vseh treh lokacij vzorčenja za Pb-210 in kozmogeni Be-7 za obdobje od 1996 dalje.



Slika 3.17 | Povprečne celoletne koncentracije aktivnosti Pb-210 in Be-7 v zraku za obdobje od leta 1996 dalje za Slovenijo (povprečje vseh treh lokacij vzorčenja).

Iz slike 3.17 je razvidno, da je koncentracija aktivnosti Pb-210 skozi celotno obdobje spremeljanja dokaj konstantna in variira okrog povprečne vrednosti $0,6 \text{ mBq/m}^3$. Izjema sta leta 2011 in 2012, kjer je koncentracija aktivnosti skoraj dvakrat višja od povprečja. Ustrezne razlage nimamo,⁶ saj načeloma na koncentracije Pb-210 vplivajo atmosferski premiki zračnih mas (vertikalno in horizontalno mešanje) ter izpiranje aerosolov, na katere se veže Pb-210, s padavinami. Vrednosti koncentracij aktivnosti Be-7 se gibajo med $2,1\text{-}5,1 \text{ mBq/m}^3$. V letih 2006-2011 so izmerjene vrednost Be-7 v zraku za slabo polovico višje kot v prejšnjih letih (do 2005), dodatno je opazen rahel vrh okrog leta 2002.

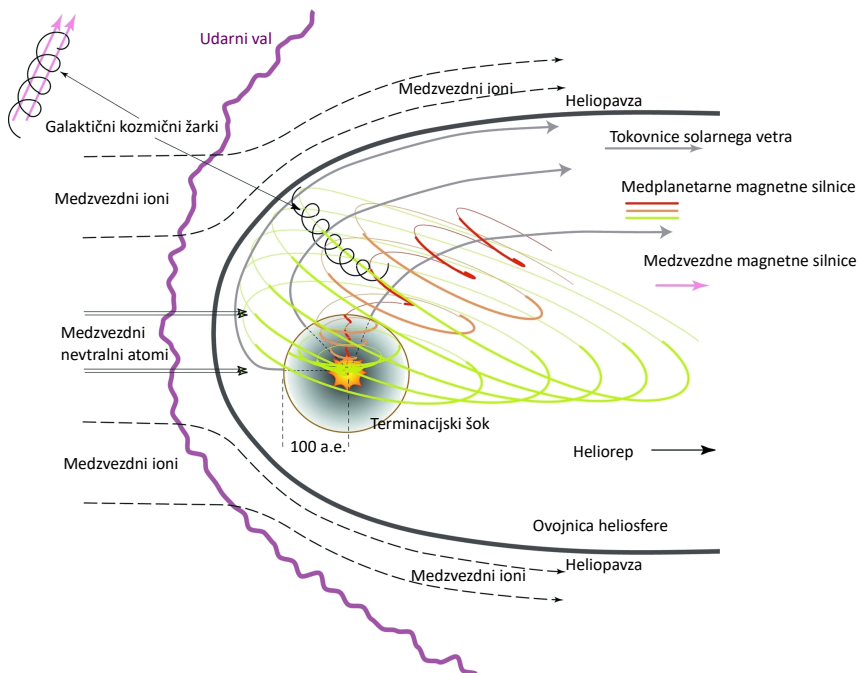
Podoben trend je možno opaziti tudi pri vrednostih Be-7 v vzorcih padavin (prikazane na sliki 3.28), kjer je tudi opazno povišanje koncentracij v letih 2006-2011 v primerjavi s

⁶Višja vrednost je predvsem posledica nekaterih višjih mesečnih vrednosti na lokaciji Jareninski vrh

preteklimi leti. Potrebno pa se je zavedati, da je vsebnost Be-7 v padavinah v kratkih vzorčevalnih obdobjih (npr. mesečnih) antikorelirana z vsebnostjo Be-7 v zraku, v letnih povprečjih pa so koncentracije korelirane.

Variacije glede na leta opazovanja v koncentracijah Be-7 bi lahko pojasnili s t.i. sončevim ciklusom. Solarni veter gledano v celotnem našem osončju pomeni tudi kontinuiran tok plazme (protoni in elektroni), območje vpliva te plazme pa imenujemo heliosfera in sega onkraj Plutonove orbite. Ker je plazma električno prevodna, prenaša del Sončevega magnetnega polja. Na ta način ima solarni veter močan vpliv na galaktične kozmične žarke.

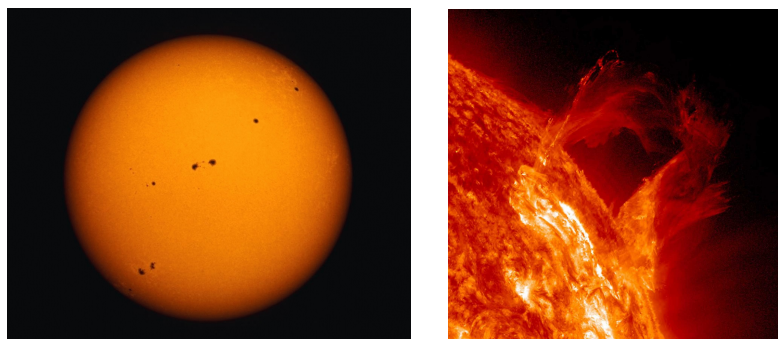
Galaktični kozmični žarki prihajajo tipično izven našega osončja iz medzvezdnega prostora naše galaksije. To so visoko energijski nabiti delci – protoni, elektroni in popolnoma ionizirana jedra lahkih elementov. Ko se galaktični kozmični žarki približajo našemu osončju, v heliosferi lahko izgubijo precejšen del svoje energije in posledično v manjši meri prodrejo v Zemljino atmosfero (slika 3.18 [61]). V tem primeru je verjetnost nastajanja kozmogenega Be-7 zmanjšana.



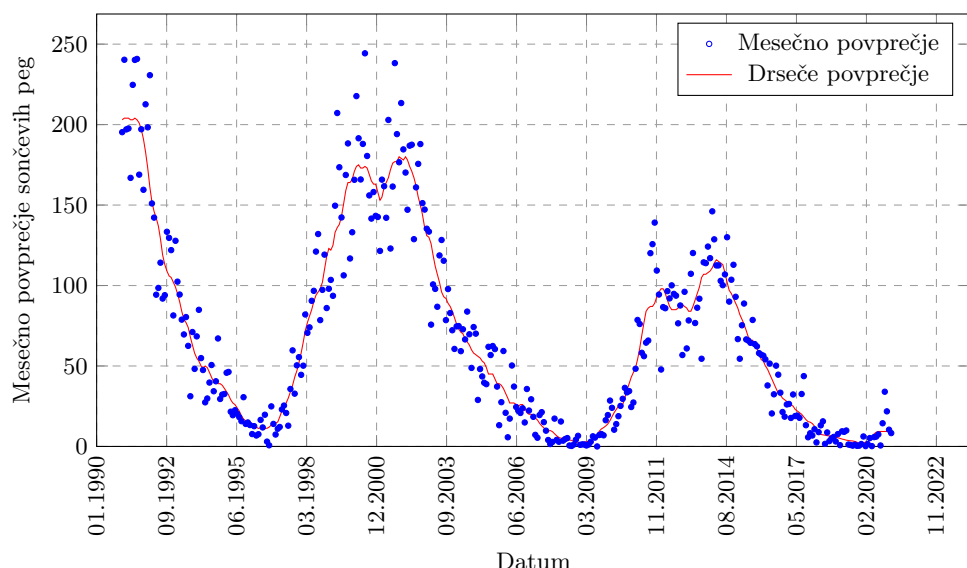
Slika 3.18 | V času večje sončeve aktivnosti heliosfera zmanjšuje fluks galaktičnih kozmičnih žarkov do zemljine atmosfere.

Sončeva aktivnost ima svoj tipični 11-letni ciklus [62]. Odraz aktivnosti je viden kot povečanje ali zmanjšanje števila sončevih peg (slika 3.19 [63]). V času solarnega maksimuma je število peg večje, v času minimuma pa manjše. Med sončevim maksimumom je tudi solarni veter močnejši, kar posledično preko močnejše heliosfere pomeni zmanjšan vpliv galaktičnih kozmičnih žarkov na Zemljino atmosfero. Časovna odvisnost sončeve aktivnosti je prikazana na spodnji sliki 3.20 [62].

Če primerjamo izmerjene koncentracije aktivnosti Be-7 v zraku (slika 3.17) in sončovo aktivnost (slika 3.20) ugotovimo močno antikorelacijo, ki je prikazana na sliki 3.21. V času sončevega minimuma (od 2006 do 2010) je zaradi večjega fluksa galaktičnih kozmičnih žarkov narasla koncentracija aktivnosti Be-7, v času sončevega maksimuma (od 1999 do 2003) pa so koncentracije aktivnosti Be-7 v zraku nizke, z izjemo lokalnega sončevega



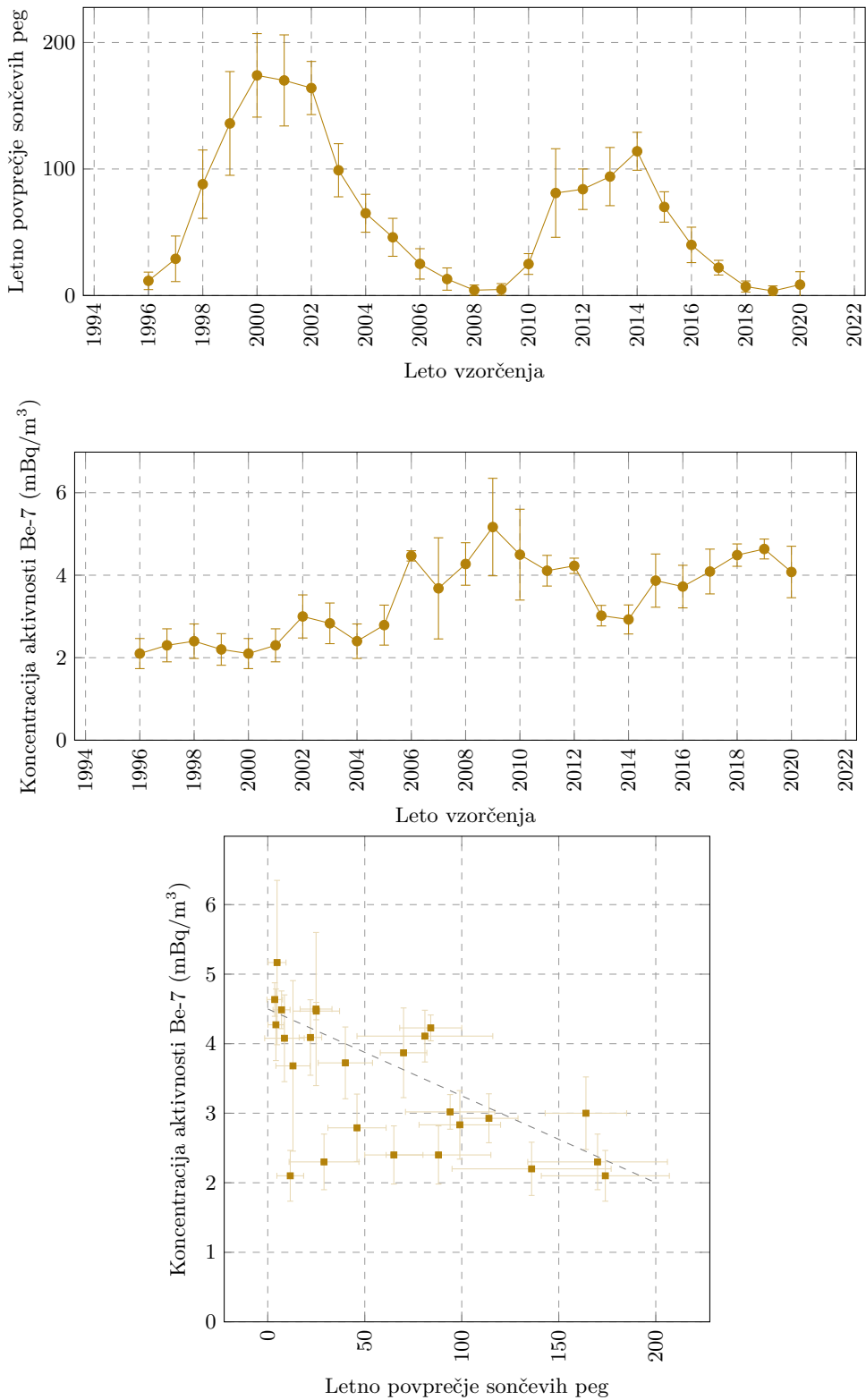
Slika 3.19 | Sončeve pege so merilo za sončovo aktivnost in solarni veter; slika: NASA.



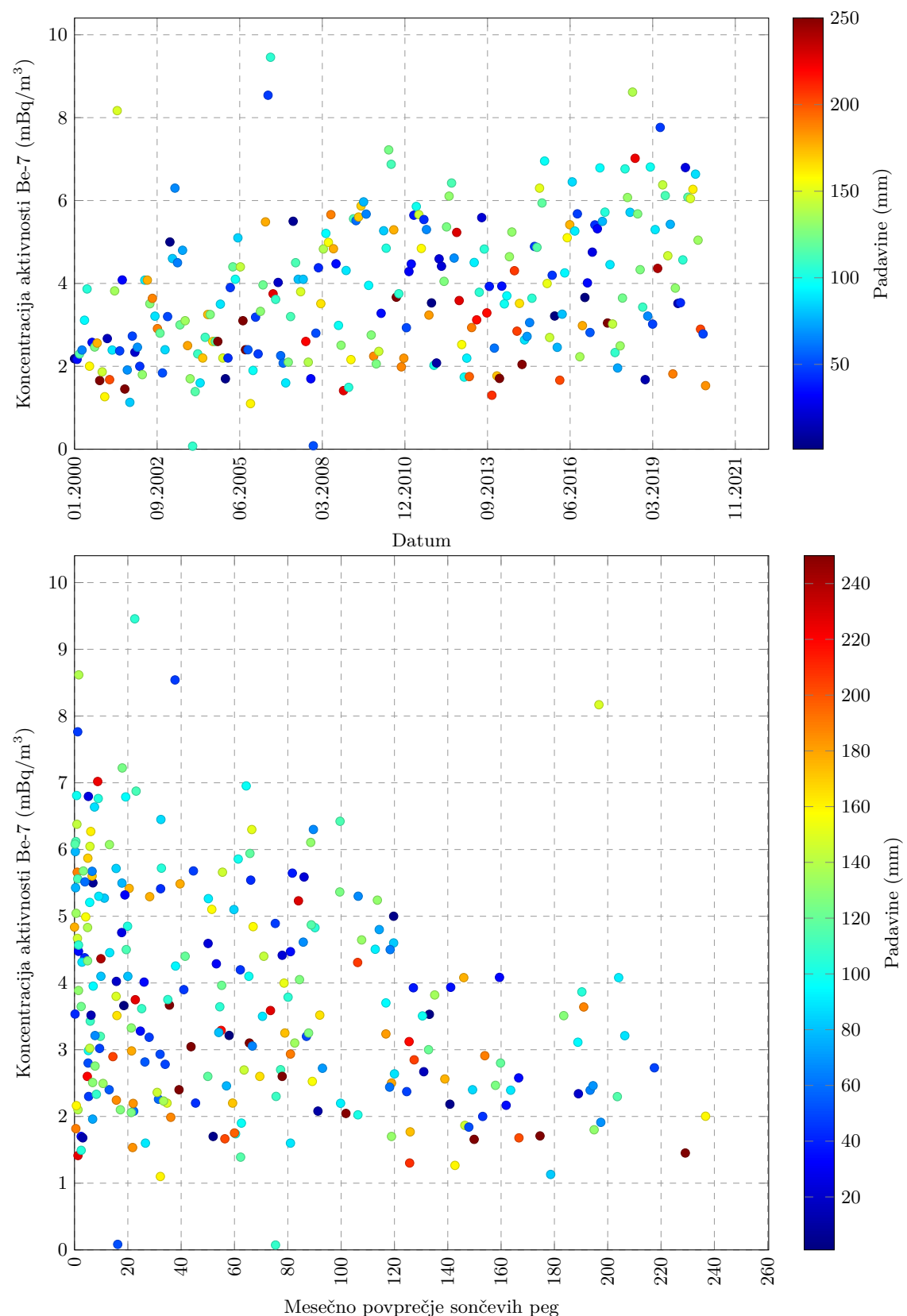
Slika 3.20 | Povprečno mesečno število sončevih peg – neprekinjena črta predstavlja drseče povprečje zadnjih 13 mesecev.

minimuma v letu 2001-2002, ki se prav tako odraža v lokalnem maksimumu izmerjene koncentracije aktivnosti Be-7 v zraku v letu 2002. Z letom 2011 se je začel nov sončev maksimum, zato so pričakovano koncentracije Be-7 v zraku nižje (glej sliko 3.17) do okrog leta 2016. Po letu 2016 že prehajamo v sončev minimum, zato so koncentracije Be-7 v zraku višje, kar bodo po pričakovovanju še nekaj let, nato pa ponovno padle, ko preidemo v nov sončev maksimum.

Delno na izmerjene koncentracije Be-7 v zraku vplivajo padavine, ki ga izpirajo iz ozračja, vendar se v letnih podatkih to dovolj povpreči, da je vpliv zmanjšan. Če analiziramo mesečne podatke, pa ta slika ni več tako izrazita in antikorelacije skoraj niso opazne. Na sliki 3.22 je prikazana časovna odvisnost mesečnih koncentracij Be-7 in antikorelacija sončevega cikla – število peg – z izmerjenimi mesečnimi koncentracijami Be-7 za merske podatke od leta 2000 dalje. Na grafih so za posamične meritve dodane tudi količine mesečnih padavin, ki so obarvane z ustrezno barvo glede na njihovo višino. Najverjetneje pa na slabše izrazito antikorelacijsko odvisnost vpliva tudi delna zakasnitev zaradi transporta izotopa Be-7 od mesta nastanka v atmosferi do tal, kjer vzorčimo zrak.



Slika 3.21 | Antikorelacija sončevega cikla z letnimi koncentracijami Be-7 v zraku od leta 1996 dalje.



Slika 3.22 | Antikorelacija sončevega cikla z mesečnimi koncentracijami Be-7 v zraku od leta 2000 dalje z delnim upoštevanjem izpiranja zaradi padavin.

3.2 Padavine

3.2.1 Vzorčenje in rezultati meritev

Padavine smo vzorčili kontinuirano v Ljubljani, Murski Soboti, Bovcu in Novem mestu, kjer v Ljubljani merimo mesečni kompozitni vzorec, na ostalih lokacijah pa merimo trimesečni kompozitni vzorec.

Rezultati meritev so zbrani v poglavju 8 v tabelah od 8.6 do 8.10.

Letna količina padavin v letu 2019 v Ljubljani je bila 1262 mm, v Bovcu 2452 mm, v Novem mestu 857 mm in v Murski Soboti 726 mm. Poleg umetnih radionuklidov Cs-137, Sr-90 in H-3 smo določali tudi naravne radionuklide U-238, Ra-226, Pb-210, Th-228, Ra-228, K-40 ter kozmogeni Be-7.

Primerjava rezultatov 2020 z leti pred tem kaže, da so se koncentracije posameznih radionuklidov v padavinah oziroma radioaktivni used ni bistveno spremenil, kar je normalna posledica podobne količine padavin glede na pretekla leta. Prisotnosti naravnih radionuklidov ni smiselno komentirati, saj ne predstavlja pravega atmosferskega useda.

Od umetnih radionuklidov sta dolgoročno opazna samo Cs-137 in Sr-90, vendar so specifične aktivnosti večkrat na meji detekcije, tako da so negotovosti pri meritvah precej velike. Najvišji letni used Cs-137 je bil izmerjen v Bovcu $1,6 \pm 0,3 \text{ Bq/m}^2$, v Ljubljani pa $1,1 \pm 0,1 \text{ Bq/m}^2$. Letni usedi Sr-90 so bili pod mejo detekcije na vseh lokacijah vzorčenja.

Od naravnih radionuklidov naj omenimo še skupne vrednosti kozmogenega Be-7, katerega rezultati znašajo od 260 Bq/m^2 v Novem mestu do 850 Bq/m^2 v Bovcu.

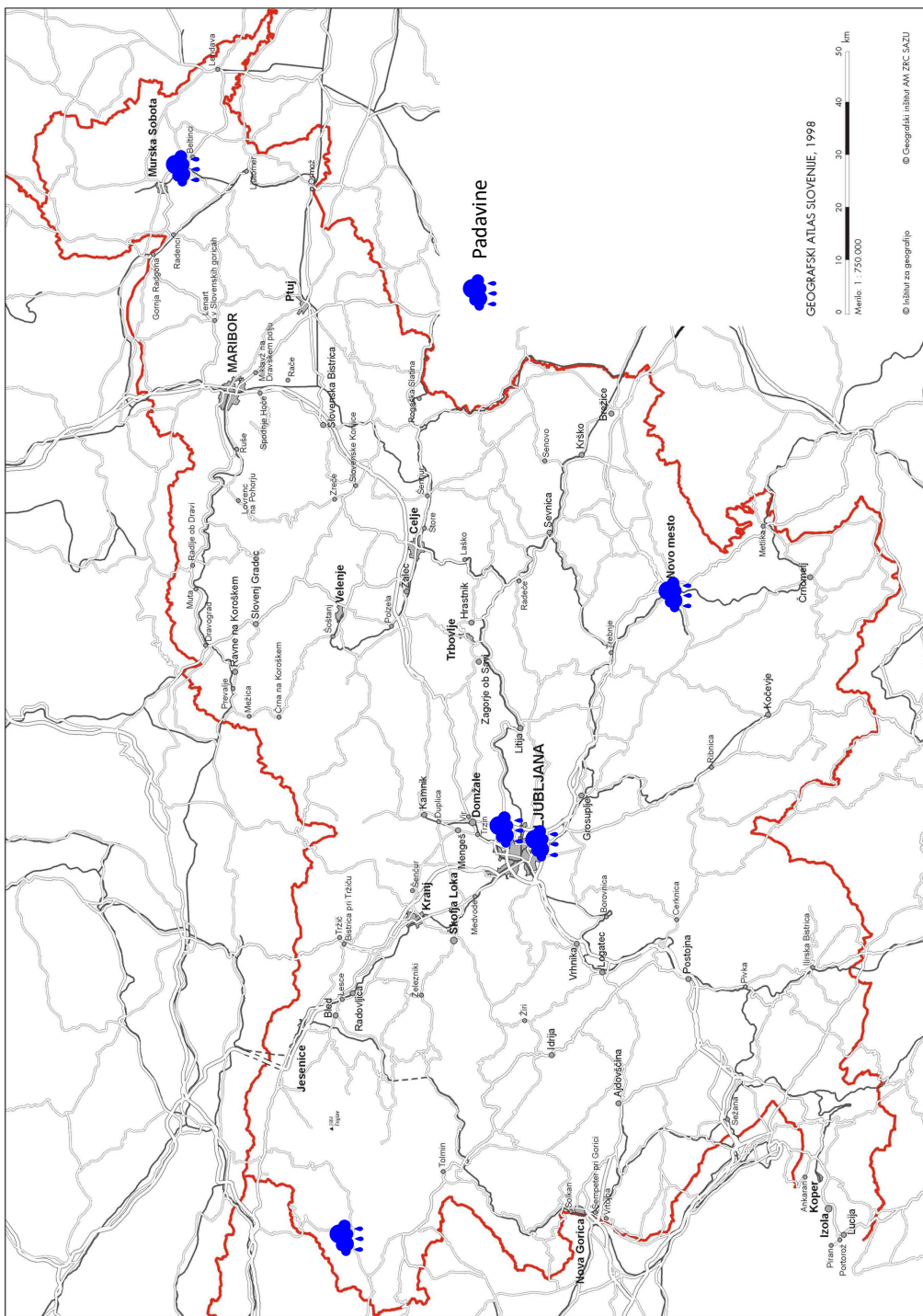
3.2.2 Specifična aktivnost sevalcev gama in Sr-90

V tabeli 3.2 so prikazane povprečne letne vsote specifičnih aktivnosti Cs-137, Sr-90 in Pb-210 na enoto površine povprečene na vse lokacije vzorčenja za obdobje od leta 2000 naprej. Dodane so tudi povprečne količine padavin na vseh merskih lokacijah za to obdobje.

Iz rezultatov v tabeli 3.2 je razvidno, da vrednosti specifičnih aktivnosti Cs-137 in Sr-90 na enoto površine povprečene po lokacijah Slovenije variirajo z leti. Na sliki 3.24 je časovna odvisnost letnega useda od leta 2000 dalje prikazana na grafu. Relativno visoka vrednost za Sr-90 v 2005 v Ljubljani je posledica ene same visoke vrednosti, izmerjene v marcu 2005 $41,0 \pm 0,2 \text{ Bq/m}^3$. Za leti 2012 in 2013 ugotavljamo, da je velika večina meritev aktivnosti Sr-90 pod mejo detekcije, ki ima dokaj velik razpon bodisi je nižja od tipično izmerjenih vrednosti bodisi višja. Ker v analizi pri izračunu povprečnih letnih vrednosti upoštevamo tudi vzorce z izmerki pod spodnjo mejo detekcije, je v teh letih potrebno povprečno vrednost upoštevati kot orientacijsko vrednost. Vendar pa, če primerjamo odvisnost letnega useda od letne količine padavin (prikazano na sliki 3.26), korelacija med njima ni zelo opazna. To najverjetneje pomeni, da ne glede na količino padavin, le-te izperejo praktično celotno aktivnost Sr-90 v zraku ali pa je metoda določevanja Sr-90 pri danih aktivnostih že nezanesljiva oziroma so aktivnosti že primerljive s spodnjo mejo detekcije. Zato tudi na letni ravni ni zaznati velikih variacij. Je pa na sliki 3.26 opazna korelacija za izotopa Cs-137 oziroma Pb-210, katerih koncentracija v zraku je višja (sploh v zimskih mesecih) oziroma bistveno višja.

Primerjava rezultatov za merjene radionuklide pokaže, da se koncentracije posameznih radionuklidov v padavinah niso bistveno spremenile v primerjavi s prejšnjimi leti. Dejstvo pa je, da so koncentracije pogosto blizu meje detekcije, tako da so tudi merske negotovosti relativno velike in prispevajo k vsakoletnemu in medletnemu sipanju rezultatov.

Največja odstopanja v rezultatih po posameznih trimesečjih povzročajo zimski meseci, ki so lahko zelo suhi ali pa obilni s padavinami (glej tabele z rezultati meritev od 8.6 do

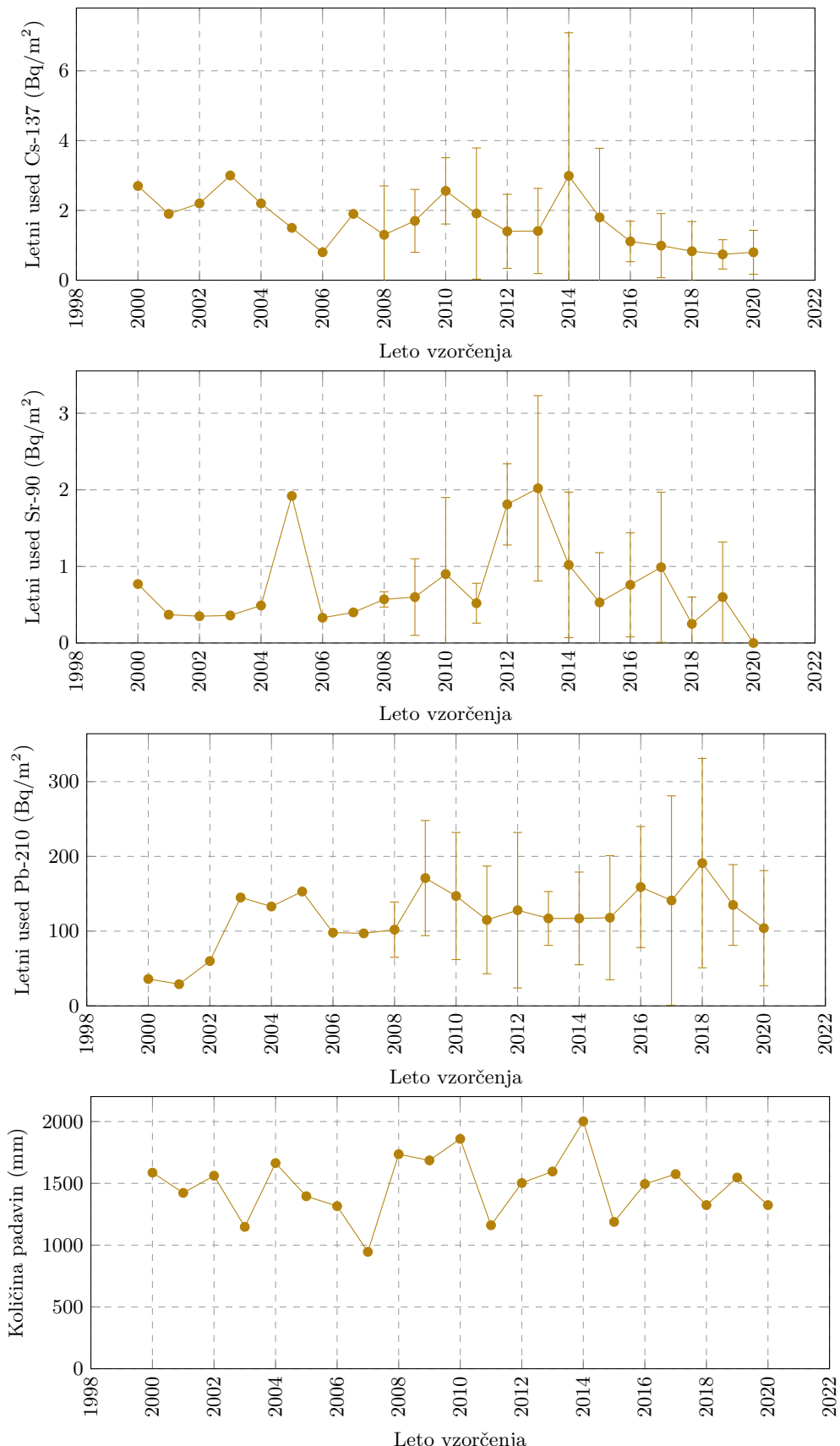


Slika 3.23 | Lokacije vzorčenja vzorcev padavin.

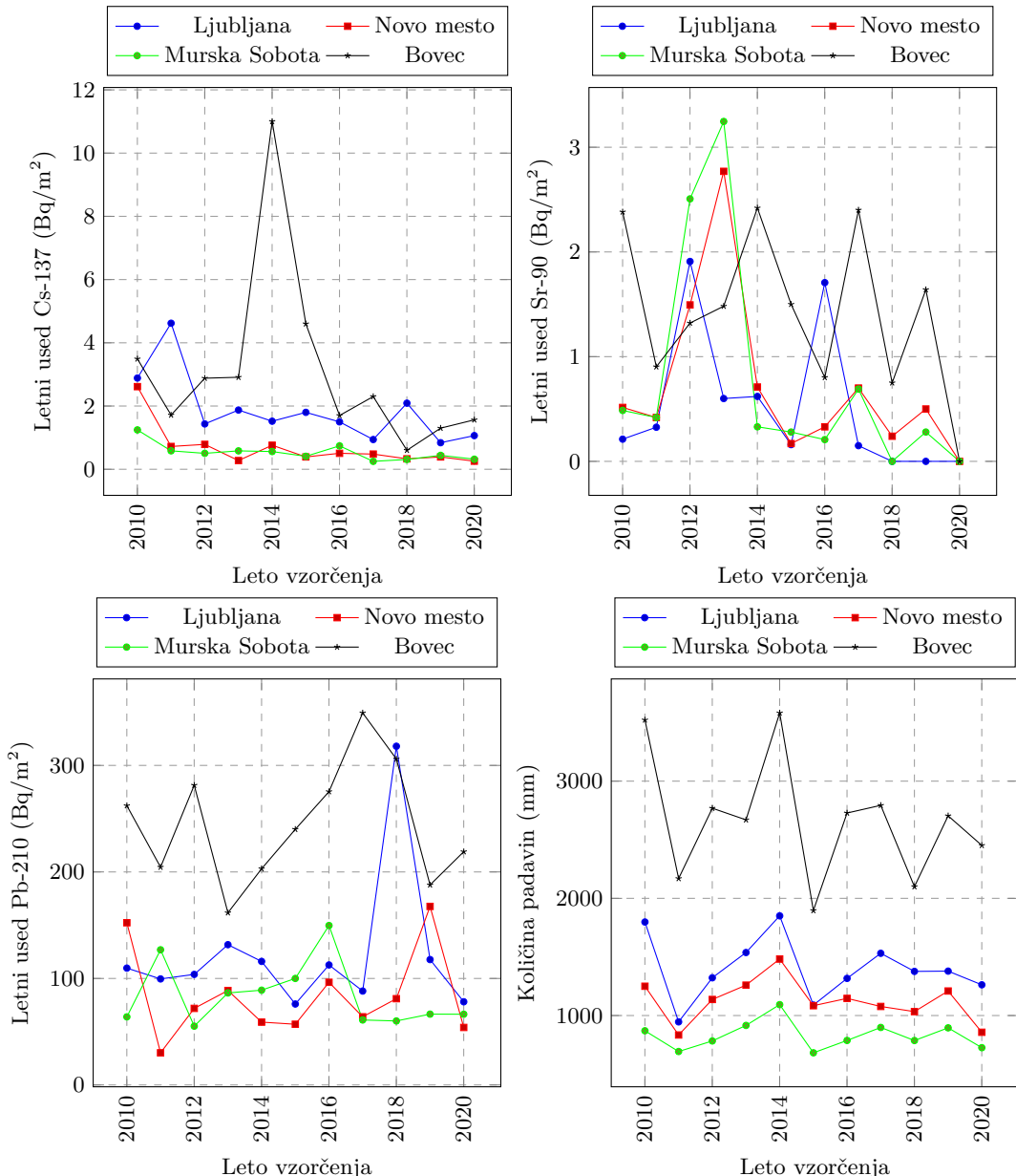
Tabela 3.2 | Povprečne letne vsote specifičnih aktivnosti Cs-137, Sr-90 in Pb-210 na enoto površine za obdobje od leta 2000 dalje (povprečje vseh lokacij)

Leto	Radionuklid			Količina padavin (mm)
	Sr-90	Cs-137	Pb-210	
	Letni used (Bq/m ²)			
2000	0,77	2,7	36	1587
2001	0,37	1,9	29	1423
2002	0,35	2,2	60	1562
2003	0,36	3,0	145	1148
2004	0,49	2,2	133	1664
2005	1,92	1,5	153	1396
2006	0,33	0,8	98	1316
2007	0,40	1,9	97	946
2008	0,57 ± 0,10	1,3 ± 1,4	102 ± 37	1736
2009	0,61 ± 0,47	1,73 ± 0,90	171 ± 77	1686
2010	0,90 ± 1,00	2,56 ± 0,95	147 ± 85	1860 ± 1172
2011	0,53 ± 0,26	1,9 ± 1,9	115 ± 72	1161 ± 680
2012	1,81 ± 0,53	1,40 ± 1,06	128 ± 104	1503 ± 873
2013	1,7 ± 1,2	1,41 ± 1,22	117 ± 36	1596 ± 760
2014	1,02 ± 0,95	3,0 ± 4,1	117 ± 62	2002 ± 1098
2015	0,53 ± 0,65	1,8 ± 2,0	118 ± 83	1188 ± 509
2016	0,76 ± 0,68	1,1 ± 0,6	159 ± 81	1495 ± 851
2017	1,0 ± 1,00	1,0 ± 0,9	141 ± 140	1575 ± 855
2018	0,25 ± 0,35	0,83 ± 0,85	191 ± 140	1324 ± 571
2019	0,60 ± 0,72	0,74 ± 0,42	135 ± 54	1547 ± 797
2020	0,0	0,80 ± 0,63	104 ± 77	1324 ± 786

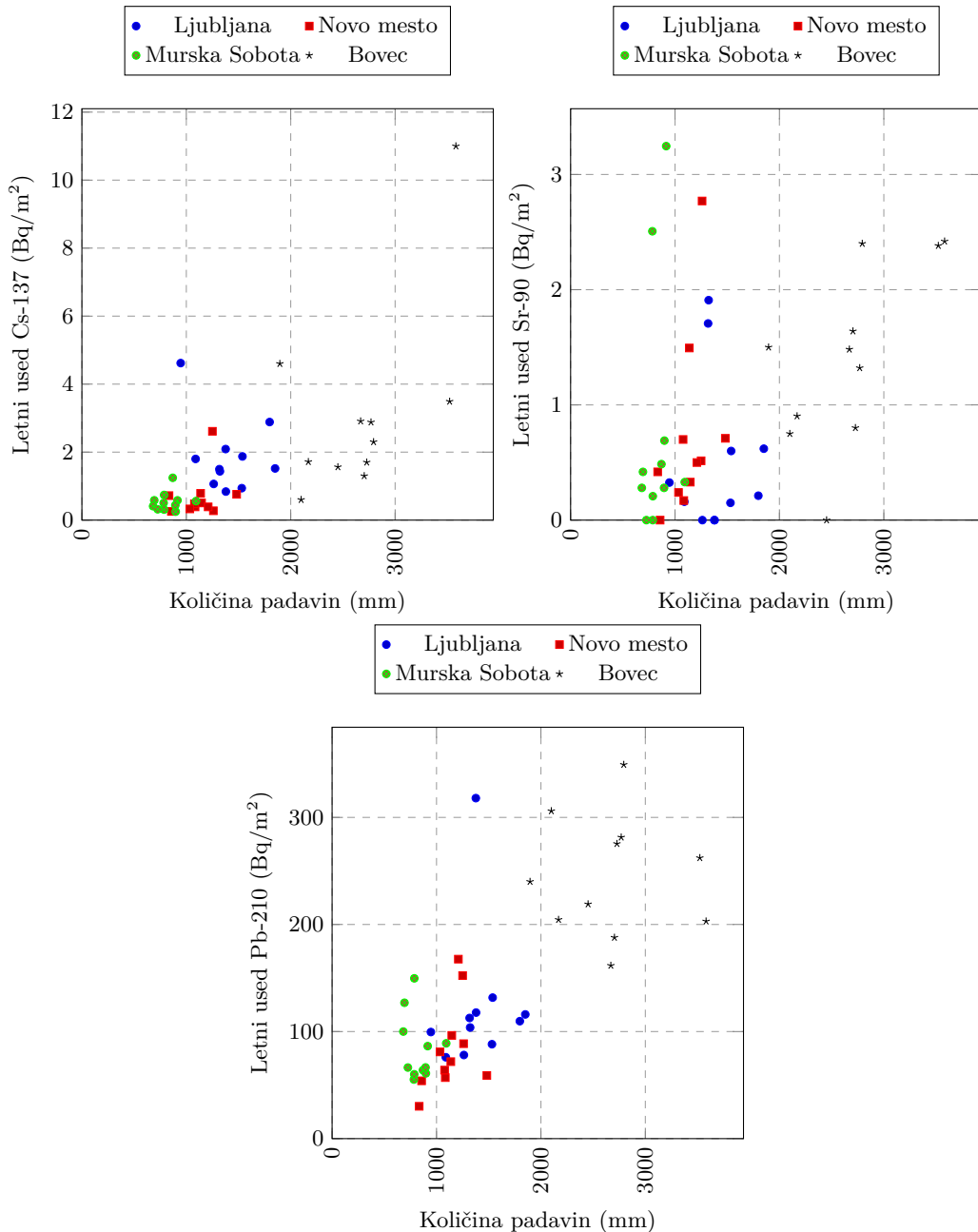
8.9 v poglavju 8).



Slika 3.24 | Povprečni letni used Cs-137, Sr-90 in Pb-210 na enoto površine za obdobje od leta 2000 dalje (povprečje vseh lokacij po Sloveniji)



Slika 3.25 | Povprečni letni used Cs-137, Sr-90 in Pb-210 na enoto površine za obdobje od leta 2010 dalje na posamičnih lokacijah: Ljubljana, Novo mesto, Murska Sobota in Bovec.

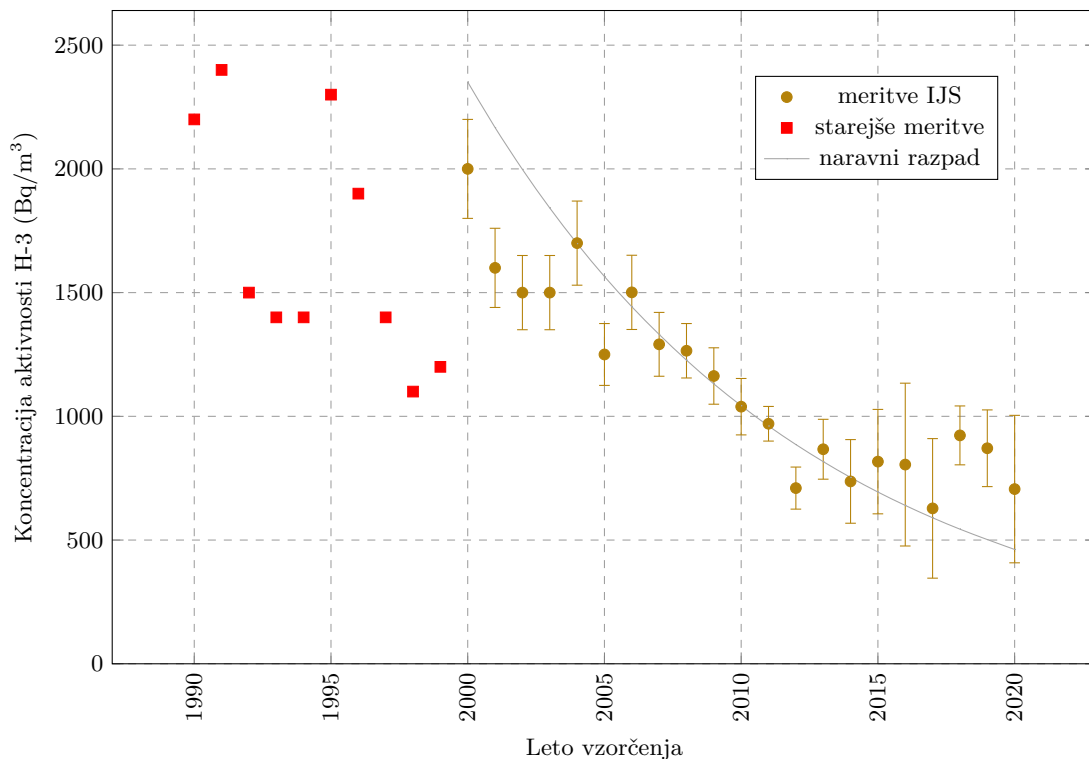


Slika 3.26 | Korelacija količine padavin s povprečnim letnim usedom Cs-137, Sr-90 in Pb-210 na različnih lokacijah po Sloveniji od leta 2000 dalje.

3.2.3 Koncentracija aktivnosti H-3

Meritve koncentracije aktivnosti H-3 v vzorcih padavin smo opravili le v mesečnih vzorcih iz Ljubljane (meritve je izvajal IJS). Rezultati meritev so prikazani v poglavju 8. Koncentracije aktivnosti H-3 v deževnici v letu 2020 so pod dolgoletnim povprečjem. Vrednosti koncentracij aktivnosti H-3 v obdobju od leta 1990 dalje se gibajo v območju $600\text{--}2400 \text{ Bq/m}^3$. Povprečna letna koncentracija H-3 v letu 2020 je znašala $706 \pm 298 \text{ Bq/m}^3$. Večja odstopanja med vrednostmi pri določenih letih pred 2000 so lahko posledica dveh različnih izvajalcev meritev, in sicer laboratorija IJS in Seibersdorf. V preteklosti smo preverili takšno domnevo in izvedli primerjavo meritev koncentracij H-3 v istih vzorcih v obeh laboratorijsih (IJS in Seibersdorf). Rezultati so pokazali odstopanje tudi za faktor 2 (IJS izmeri višje vrednosti). Zaradi konsistentnosti v zadnjih letih vedno meritve izvaja IJS (O2).

Na sliki 3.27 so prikazane vrednosti koncentracij aktivnosti H-3 v vzorcih padavin iz Ljubljane za obdobje od leta 1990 dalje. Dolgoročni trend kaže padanje vrednosti, po letu 2000 izmerjene količine H-3 sledijo trendu naravnega radioaktivnega razpada z razpolovno dobo H-3 12,3 let. V letu 2020 so vrednosti sicer višje od pričakovanih po trendu radioaktivnega razpada, kar lahko delno pojasnimo z minimumom sončevega cikla (večje nastajanje kozmogenega H-3) ter korelacijo izpustov H-3 iz NEK in padavin. Vrednosti pred letom 2000 so nižje od pričakovane ekstrapolacije za nazaj, vendar je to lahko posledica nezanesljivih meritev, kar delno potrdi tudi zgoraj ugotovljeno odstopanje izmerkov med dvema laboratorijsoma.



Slika 3.27 | Povprečne letne koncentracije aktivnosti H-3 v padavinah iz Ljubljane za obdobje od leta 1990 dalje.

Viri H-3 v okolju

V splošnem se je s pojavom atmosferskih poskusov jedrskega orožja in razvojem jedrske energije količina H-3 v okolju sprva sicer dvignila, vendar je zaradi radioaktivnega razpada okrog 90 % aktivnosti, nastale od leta 1945 do poznih 60ih let, že izginila.

Nastajanje z naravnimi procesi.

H-3 sicer v naravi nastaja predvsem v jedrskih reakcijah dušikovih in kisikovih jeder z visoko energijskimi kozmičnimi žarki v zgornjih plasteh atmosfere, kjer skoraj 99 % nastalega H-3 oksidira v tritirano vodo (HTO) in s padavinami preide v površinske vode. Letna naravna produkcija H-3 v atmosferi ob upoštevanju radioaktivnega ravnovesja tako znaša $0,15\text{-}0,20 \text{ kg oziroma } 5,0\text{-}7,0 \cdot 10^{16} \text{ Bq}$ [64]. Zaradi naravnega nastajanja zaradi kozmičnih žarkov je v okolju tako stalno okrog $3,5 \text{ kg H-3 oziroma } 1,2 \cdot 10^{18} \text{ Bq}$.

Umetni viri.

Veliko različnih radionuklidov, vključno s H-3, je bilo izpuščenih v okolje med izvajanjem atmosferskih poskusov jedrskega orožja, ki so bili izvedeni večinoma med letoma 1945 in 1963. Tako je z jedrskimi poskusi v okolju nastalo približno 650 kg H-3 oziroma $2,3 \cdot 10^{20} \text{ Bq}$ (80% na severni in 20% na južni polobli). Ob upoštevanju radioaktivnega razpada z razpolovnim časom 12,3 let je od teh poskusov v atmosferi leta 2007 prisotnih še 40 kg H-3 oziroma še $1,4 \cdot 10^{19} \text{ Bq}$ [65, 66].

Med jedrskimi objekti, ki prispevajo k izpustom H-3 v okolje, so tlačnovodni reaktorji in obrati za predelavo jedrskega goriva. Pri reaktorjih hlajenih in moderiranih s težko vodo H-3 nastaja z nevronsko aktivacijo devterija, kjer tako letno nastane okrog 1,9 g oziroma $6,8 \cdot 10^{14} \text{ Bq H-3}$ za reaktor z močjo 900 MWe, prispevek pa je mnogo večji od prispevka izpustov tlačnovodnih reaktorjev, kjer H-3 nastaja z zajetjem nevronov v B-10, ki je sestavni del primarnega hladila (borova kislina), in sicer letno okrog 0,03 g oziroma $1,1 \cdot 10^{13} \text{ Bq H-3}$ za reaktor z močjo 900 MWe ali 0,09 g oziroma $3,2 \cdot 10^{13} \text{ Bq H-3}$ za reaktor z močjo 1300 MWe. Zelo majhen del H-3 nastane tudi s cepitvijo nekaterih uranovih in plutonijevih izotopov, ki pa skoraj v celoti ostane v gorivu samem. Trenutna inštalirana moč vseh jedrskih reaktorjev je okrog 384000 MWe [67], od tega znaša delež težkovodnih reaktorjev okrog 5 % [68].

H-3 v obsevanem gorivu se večinoma izloči med predelavo goriva pri rezanju gorivnih palic, v okolje pa prehaja v obliki tritirane vode med tekočimi izpusti. V obratu La Hague (FR) izpustijo letno približno 30 g oziroma 10^{16} Bq H-3 za vsakih 1600 ton jedrskega materiala, v obratu Sellafield (VB) pa letno približno 8 g oziroma $2,8 \cdot 10^{15} \text{ Bq H-3}$ [64].

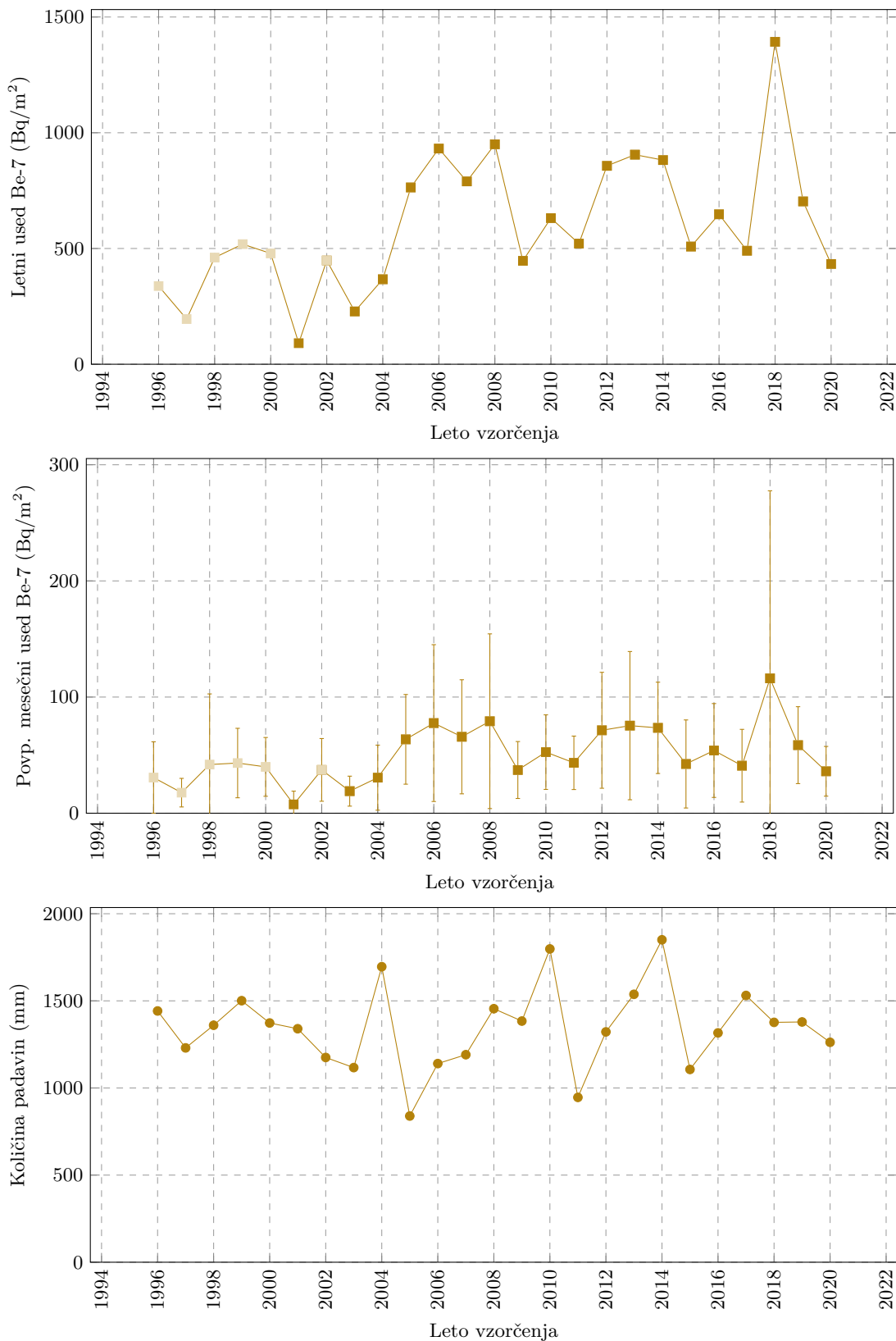
3.2.4 Specifična aktivnost kozmogenega Be-7

Na sliki 3.28 so predstavljene dolgoročne meritve vsebnosti kozmogenega Be-7 v padavinah iz Ljubljane (od leta 2000 dalje). Posebej podajamo skupni letni used (Bq/m^2) in povprečni mesečni used (Bq/m^2) ter za orientacijo še količino padavin.

Posebej so v grafih označene starejše vrednosti v letih do 2000 in v letu 2002, kjer so koncentracije useda Be-7 izračunane na podlagi koncentracije aktivnosti zbranega vzorca padavin na enoto mase. V obdobju enomesečnega zbiranja padavin lahko del vzorca tudi izpari, kar pomeni, da so vrednosti navedene v grafih lahko celo za faktor 1-2 previsoke.

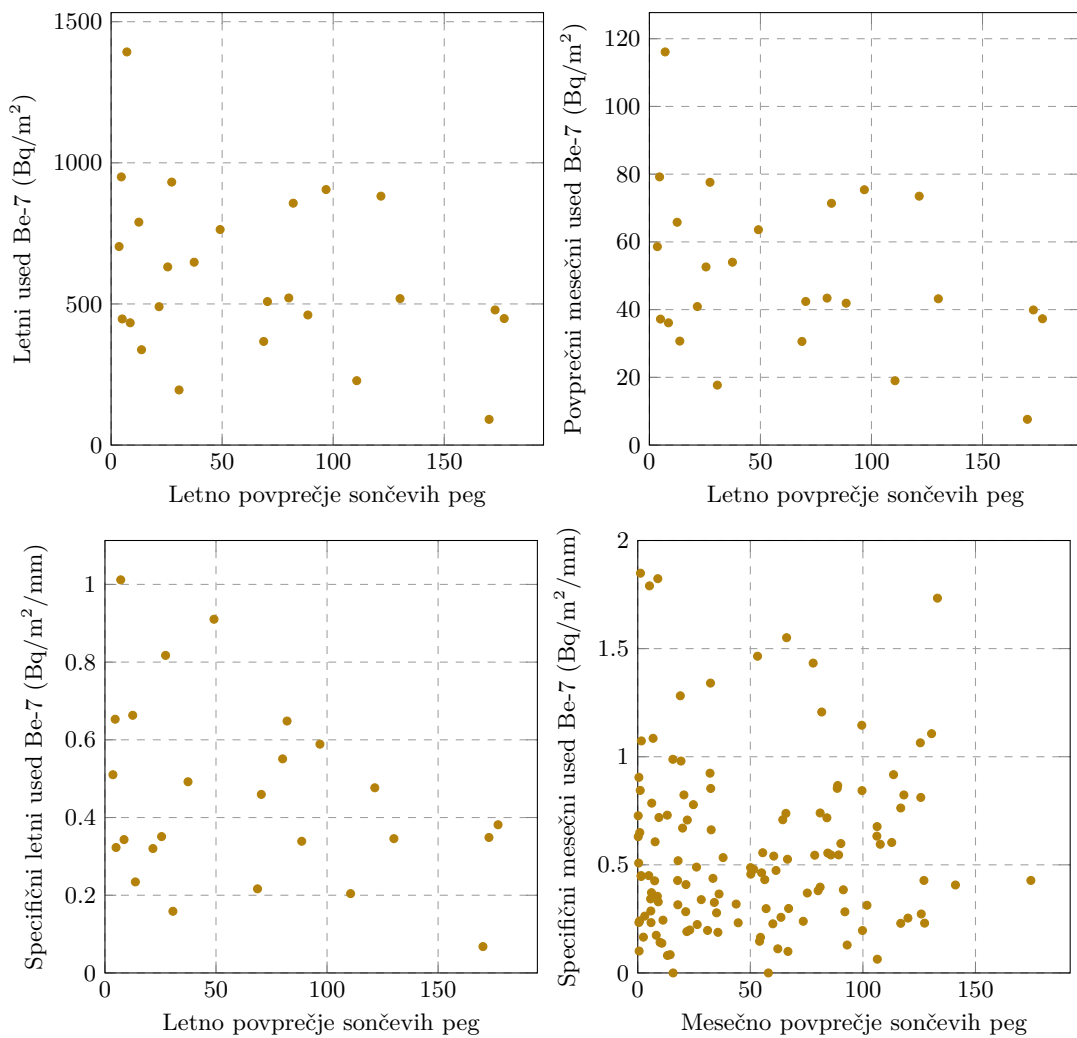
V letih okrog 2007 in v letu 2018 so opazne višje koncentracije Be-7 glede na prejšnja leta, in sicer približno za polovico. Podobno kot za vzorce zraka, lahko takšno povečanje pojasnimo s sončevim ciklusom, ki je podrobno opisan že v podpoglavlju 3.1.2.

Odvisnost useda Be-7 v padavinah od sončeve aktivnosti je vidna na sliki 3.29, kjer je zgoraj prikazana medsebojna odvisnost letnega oziroma povprečnega mesečnega



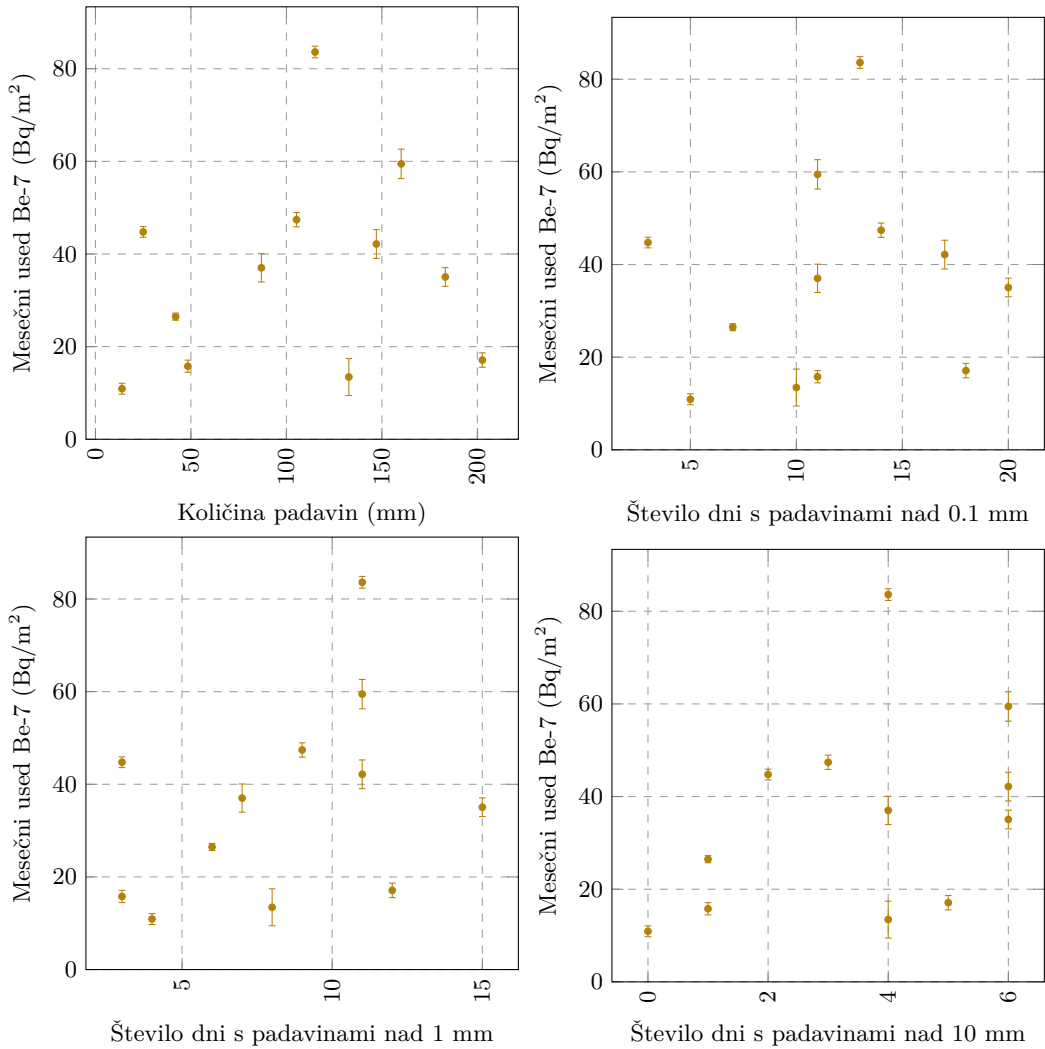
Slika 3.28 | Specifične aktivnosti Be-7 v padavinah iz Ljubljane za obdobje od leta 1996 dalje.

useda od števila sončevih peg. Used je jasno neposredno odvisen od količine padavin, ki izpirajo Be-7 iz zraka, zato je smiselno takšno izpiranje upoštevati. Tako lahko določimo nekakšen specifični letni oziroma mesečni used (letni oziroma mesečni used Be-7 preračunan na letno oziroma mesečno količino padavin), ki je prikazan na sliki 3.29 spodaj. Antikorelacija teh specifičnih usedov je le delno vidna le na letnem nivoju, ni pa tako izrazita kot pri zraku (slika 3.21). Razliko lahko pojasnimo s samo dinamiko izpiranja, saj v primeru obilnih padavin, lahko kmalu pride do popolnega izpiranja Be-7 iz zraka, preračun specifičnega useda pa zaradi velike količine padavin da zelo nizko vrednost, delno pa lahko prispeva tudi zgoraj omenjena izguba vzorca zaradi izparevanja.



Slika 3.29 | Korelacija skupnega letnega useda, povprečnega mesečnega useda in specifičnega letnega ter specifičnega mesečnega useda Be-7 s sončevim ciklom od leta 1996 dalje.

Pri mesečnem usedu pa ni pomembna samo količina padavin, ampak tudi način izpiranja, npr. kratke močne plohe ali dolgotrajne minimalne padavine. Smiselno je torej poleg količine padavin upoštevati še število dni z zadostnimi padavinami, saj pri dnevnih padavilih $< 1 \text{ mm}$ izpiranje ni nujno dovolj učinkovito. Zato so na sliki 3.30 prikazane korelacije tudi s takšnimi podatki – število dni s padavinami nad določeno količino.



Slika 3.30 | Korelacija izmerjenega mesečnega useda Be-7 v padavinah v Ljubljani in količino padavin oziroma številom deževnih dni (za leto 2020).

3.3 Tekoče vode

3.3.1 Vzorčenje in rezultati meritev

Meritve tekočih vod so bile opravljene na istih lokacijah kot v prejšnjih letih, in sicer v dveh enkratnih vzorcih rek Save v Ljubljani in Brežicah, Drave pri Dravogradu, Mure pri Petanjcih, Savinje pod Celjem, Krke pri Otočcu, Soče pri Solkanu in Kolpe pri Vinici ter morja in sedimenta v Piranu. V vzorcih rek Save, Drave in Mure so bile opravljene meritve koncentracije aktivnosti H-3 ter Sr-90.

Rezultati meritev so prikazani v poglavju 8 v tabelah od 8.11 do 8.17.

V vzorcih rek smo merili umetne radionuklide Cs-137, Sr-90 in H-3, ki so produkt človekovih dejavnosti, ter I-131, ki se uporablja v terapevtske namene v bolnišnicah v Sloveniji in v Avstriji, in sicer izpusti iz Onkološkega instituta in Univerzitetnega kliničnega centra Ljubljana v Savo, bolnice v Celovcu⁷ v Dravo in bolnice v Gradcu⁸ v Muro. Določali smo tudi koncentracije aktivnosti naravnih radionuklidov uranove in torijeve vrste ter K-40 in Be-7. Najvišje izmerjene koncentracije in povprečne vrednosti so predstavljene v spodnji tabeli 3.3.

Tabela 3.3 | Najvišje izmerjene, A_{\max} , in povprečne koncentracije, \bar{A} , radionuklidov v vzorcih tekočih vod

Radionuklid	A_{\max} (Bq/m ³)	Lokacija	\bar{A} (Bq/m ³)
Cs-137	9,6	Mura	$1,6 \pm 0,2$
Sr-90	2,3	Mura	$2,0 \pm 0,1$
I-131	14	Sainja	$1,9 \pm 0,2$
H-3	4018	Sava - Brežice	972 ± 95
Pb-210	62	Mura	10 ± 2
K-40	468	Savinja	108 ± 6
Be-7	93	Mura	14 ± 2

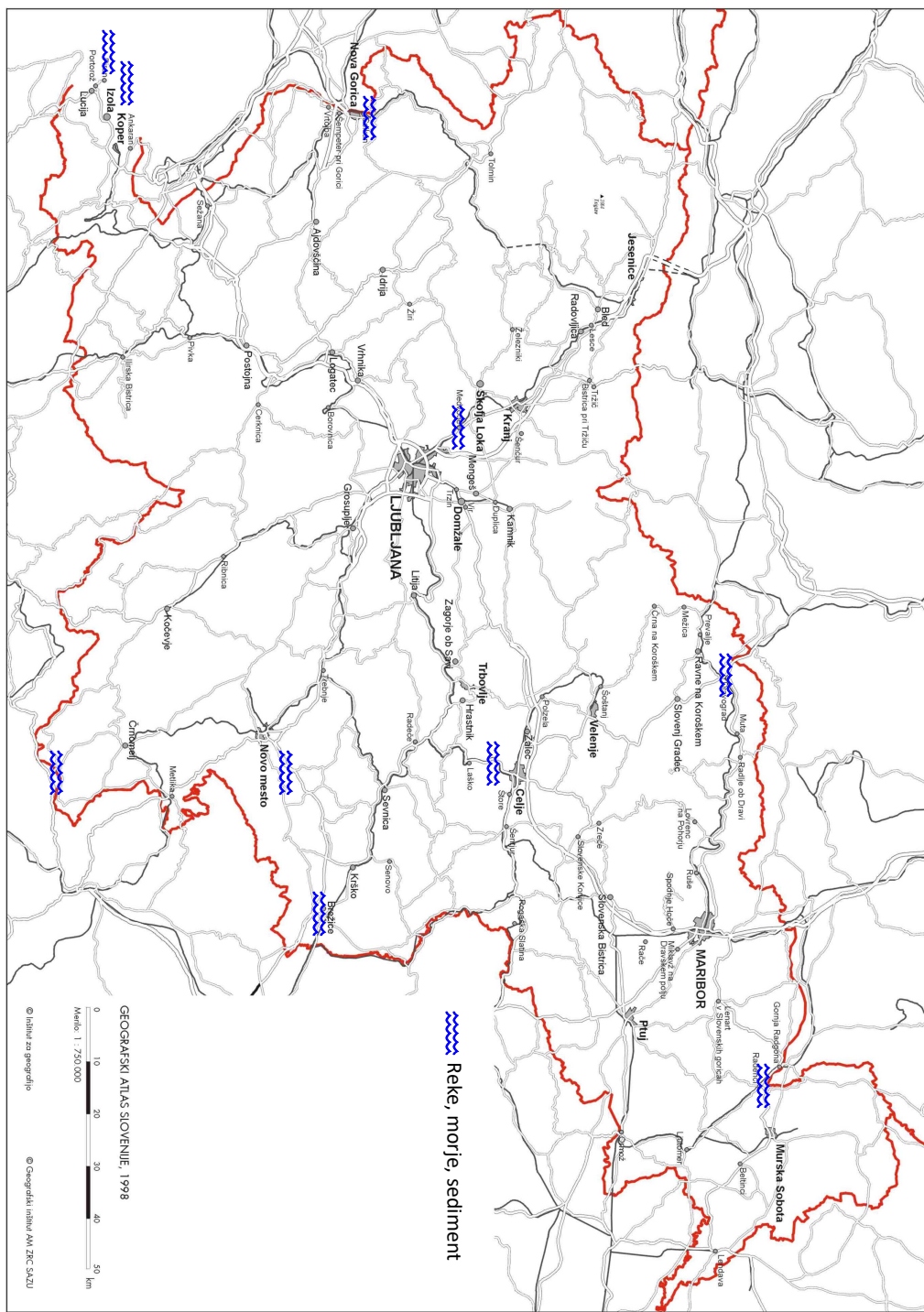
Iz tabele meritev 8.12 vidimo, da je koncentracija K-40 v Savinji pri Celju in v Muri pri Petanjcih za približno en velikostni red višja kot na drugih mestih. V leto 2020 je bila izvedena posebna študija na poljedelsko intenzivnih območjih Slovenije, kjer so bile poleg rečnih hkrati izmerjene koncentracije K-40 in ostalih radionuklidov v obdelovalni zemlji ter poljščinah. Izsledki študije so predstavljeni v podpoglavlju 3.3.3.

3.3.2 Dolgoročni trendi

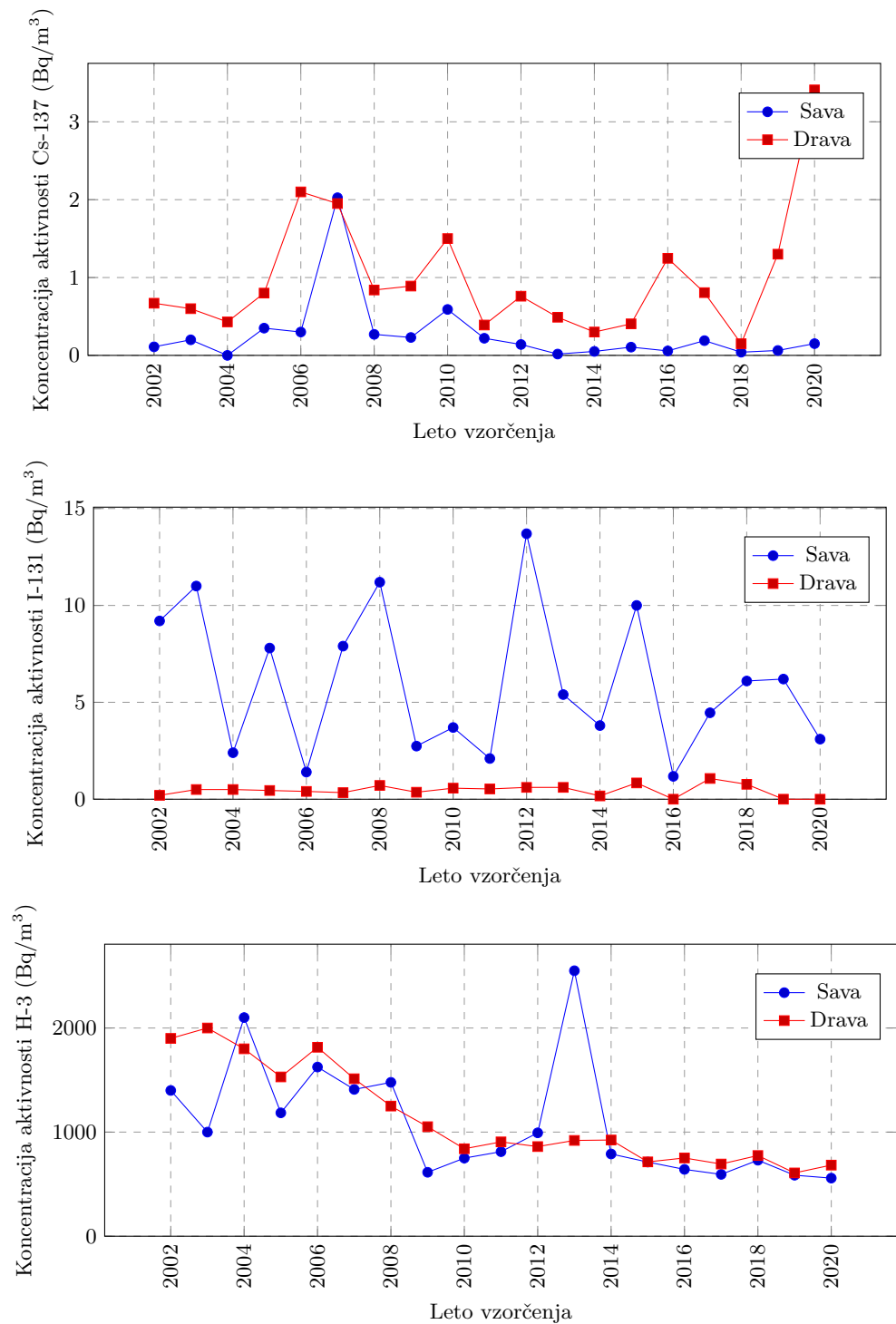
Na sliki 3.32 so prikazane povprečne vrednosti koncentracij aktivnosti Cs-137, I-131 in H-3 v rekah Savi (povprečje lokacije pri Ljubljani in Brežicah) in Dravi v Dravogradu za obdobje od leta 2002 dalje. V letu 2007 opazimo navidezno višjo vrednost koncentracij Cs-137 v reki Savi, vendar lahko ugotovimo, da je bila koncentracija pod mejo detekcije, ki je bila v tem primeru višja za to specifično meritev. Enako velja tudi za koncentracije Cs-137 v reki Dravi v letih 2006 in 2007. V okviru dolgoročnih meritev Opazimo lahko tudi, da je I-131 prisoten v Savi (Ljubljana in Brežice), Savinji in Dravi, kar je najbrž posledica izpustov I-131 iz Univerzitetnega kliničnega centra in Onkološkega instituta v Ljubljani, Splošne bolnišnice v Celju in iz avstrijskih bolnic gorvodno od Dravograda, kjer izvajajo terapijo z omenjenim izotopom in kjer so lahko izmerjene koncentracije močno odvisne od dneva vzorčenja. Zaključke o razmerjih izotopa v obeh rekah pa je zaradi narave izvajanja terapevtskih postopkov in le dveh letnih meritev enkratnih vzorcev težko podati.

⁷Klinikum Klagenfurt am Wörthersee

⁸Steiermärkische Krankenanstalten-GmbH, LKH-Univ. Klinikum Graz



Slika 3.31 | Lokacije vzočenja tekočih vod.



Slika 3.32 | Povprečne letne koncentracije aktivnosti Cs-137, I-131 in H-3 v reki Savi (povprečje lokacij Ljubljana in Brežice) in Dravi od leta 2002 dalje.

3.3.3 Študija K-40 na poljedeljsko intenzivnih območjih

V letu 2020 (julij–avgust) je bila izvedena posebna študija koncentracij radionuklida K-40 in drugih zaznanih gama sevalcev na poljedelskih območjih Slovenije [69], s katero bi lahko pojasnili zgoraj omenjene anomalije koncentracij aktivnosti K-40 v Savinji in

Muri. Lokacije vzorčenja so bile v grobem izbrane na poljedelsko intenzivnih območjih v bližini 11 rek v Sloveniji na 12 lokacijah in so prikazane na sliki 3.33.

Meritve so obsegale nadzor radioaktivnosti 12 vzorcev obdelane zemlje (do globine 15 cm), 12 vzorcev tekočih vod (rek) in 12 vzorcev sezonskih poljščin na naslednjih lokacijah:

- Ledava pri Lendavi
- Mura pri Murski Soboti
- Drava na Ptaju
- Savinja pri Celju
- Sava (2 lokaciji) na Zbilju in pri Blanci
- Krka pri Kostanjevici na Krki
- Kolpa pri Metliki
- Kamniška Bistrica pri Mengšu
- Sora pri Škofji Loki
- Reka pri Ilirske Bistrici
- Vipava pri Bilju pri Novi Gorici

Rezultati meritev so podani v tabelah 8.18, 8.19 in 8.20 na straneh od 132 do 134 v poglavju 8. Na slikah 3.34, 3.35 in 3.36 so grafično prikazani rezultati meritev izotopa K-40 in Cs-137 v zemljji, rečni vodi in poljščinah.

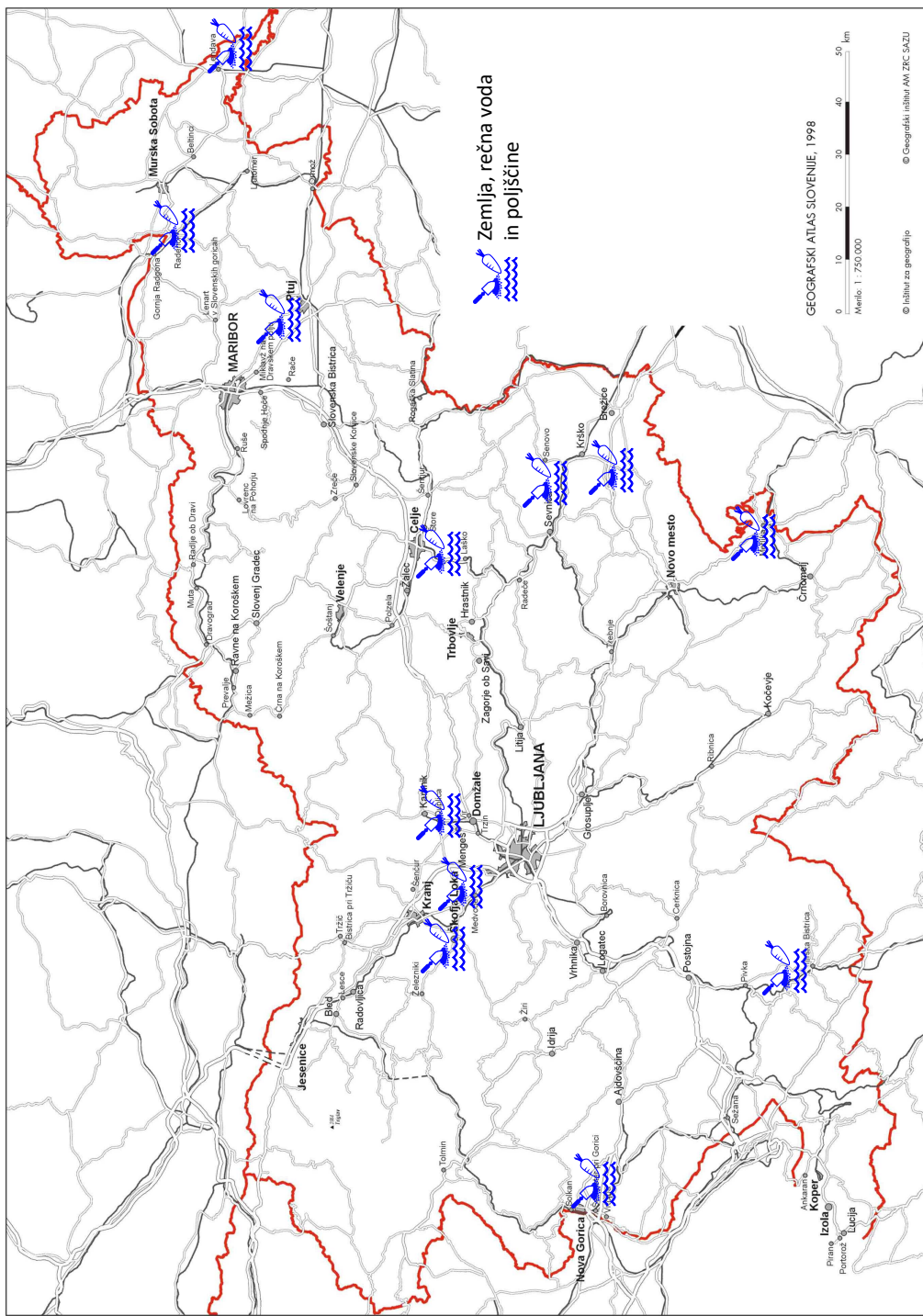
Obdelana zemlja

V vzorcih obdelane zemlje je največ K-40 izmerjenega v Škofiji Loki, Lendavi in na Ptaju. Žal ne razpolagamo s podatki o intenzivnosti gnojenja z umetnimi gnojili, ki lahko vsebujejo večje koncentracije K-40. Vse izmerjene koncentracije K-40 v vzorcih so v obsegu 200-700 Bq/kg, večjih anomalij ni opaziti. V okviru Monitoringa radioaktivnosti v življenjskem okolju v Republiki Sloveniji so rezultati meritev K-40 v vzorcih sicer neobdelane zemlje v primerljivem obsegu vrednosti.

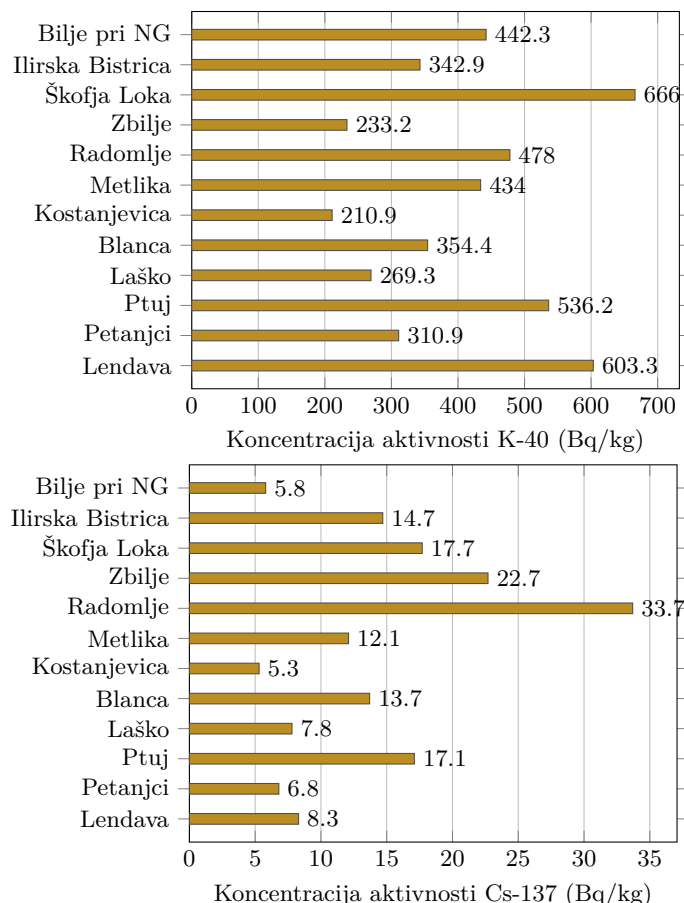
V vzorcih zemlje so bili izmerjeni tudi radionuklidi uranove oziroma torijeve razpadne verige (U-238 in Ra-226 oziroma Ra-228 in Th-228). Vse izmerjene koncentracije uranove in torijeve verige v vzorcih so v obsegu 20-60 Bq/kg, večjih anomalij ni opaziti. Poleg naravnih radionuklidov je bil v vzorcih zemlje izmerjen tudi umetni Cs-137, ki je posledica kontaminacije življenjskega okolja zaradi jedrske nesreče v Černobilu leta 1986. Vse izmerjene koncentracije Cs-137 v vzorcih so v obsegu 5-35 Bq/kg, večjih anomalij ni opaziti. Najvišje koncentracije Cs-137 v zemlji so bile izmerjene v Radomljah, na Zbilju in v Škofiji Loki. Meritve odražajo porazdelitev kontaminacije zaradi radioaktivnega useda po nesreči, kjer je bil ta največji v severozahodnem alpskem delu Slovenije. Tri največje izmerjene koncentracije so ravno v vzorcih s t.i. predalpskega območja. Primerjava z meritvami koncentracij v okviru Monitoringa radioaktivnosti v življenjskem okolju v Republiki Sloveniji ni smiselna, saj pri obdelani zemlji pride do mešanja plasti, pri neobdelani zemlji pa lahko ugotovimo značilen globinski profil, kjer koncentracije bistveno variirajo z globino.

Rečna voda

V vzorcih rečne vode je največ K-40 izmerjenega v Ledavi pri Lendavi, Muri pri Petanjcih in Savinji nad Laškim. Vse izmerjene koncentracije K-40 v vzorcih so v obsegu 20-140 Bq/m³, večjih anomalij ni opaziti, izstopa edino Ledava s približno dvakrat višjo koncentracijo kot v ostalih rekah. V okviru Monitoringa radioaktivnosti v življenjskem okolju v Republiki Sloveniji so rezultati meritev K-40 v vzorcih rečne vode v obsegu do okrog 100 Bq/m³, z izjemo sicer stalne anomalije koncentracije K-40 v Savinji. Po podrobnejši analizi lokacij vzorčenja v okviru monitoringa (pod čistilno napravo v Celju)



Slika 3.33 | Lokacije vzorčenja rečne vode, zemlje in poljščin na poljedelsko intenzivnih področjih Slovenije.



Slika 3.34 | Koncentracije K-40 in Cs-137 v obdelani zemlji na poljedeljsko intenzivnih območjih

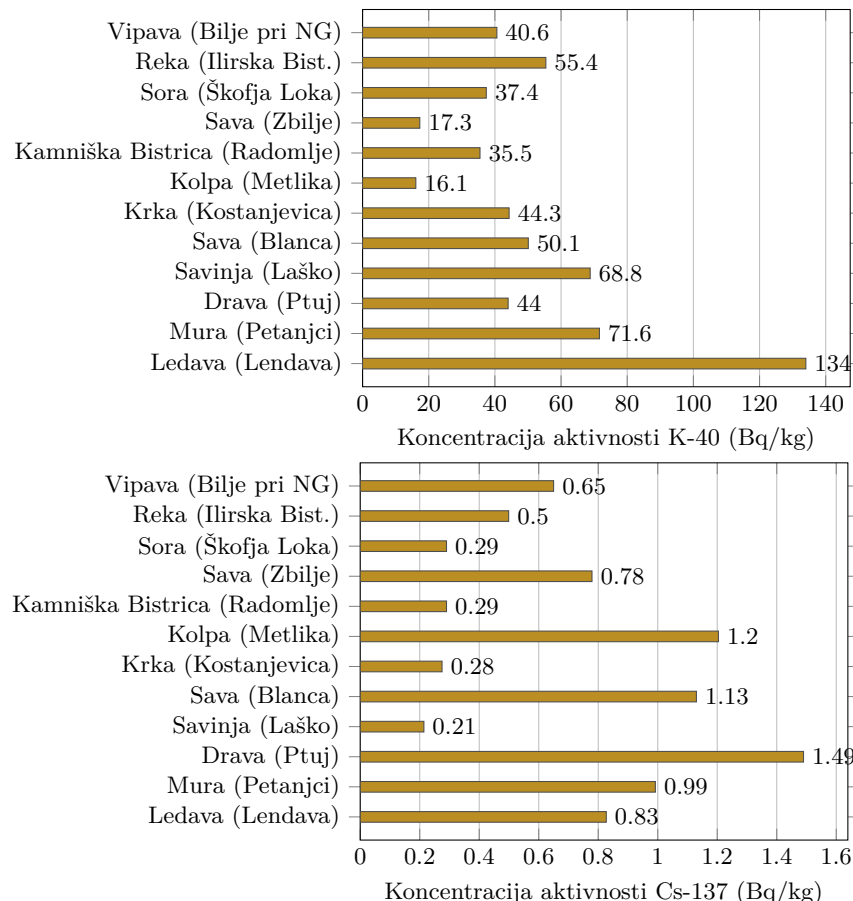
in pričujoče študije (nad Laškim, več kilometrov dolvodno) lahko zaključimo, da je bistveno višja koncentracija v okviru monitoringa (npr. 470 oziroma 320 Bq/m³ v letu 2020 oziroma 2019) najverjetneje posledica koncentriranih izpustov iz čistilne naprave.

Koncentracije radionuklidov uranove in torijeve razpadne verige so merljive, vendar so zelo blizu detekcijske meje, podobno velja za umetni izotop Cs-137. Koncentracije kozmogenega Be-7 sicer močno variirajo v obsegu 7,5-130 Bq/m³, vendar so močno odvisne od vzorčenja, predvsem nanje vpliva intenziteta padavin in pretekli čas od deževja pred vzorčenjem. Zato kakršen koli dodaten komentar ni smiseln. Med anomalijami lahko edino izpostavimo dva izmerka I-131, v Savi (Blanca) in Savinji (pod Celjem), ki sta posledica odplak pacientov z radioterapije ščitnice v UKC Ljubljana in SB Celje.

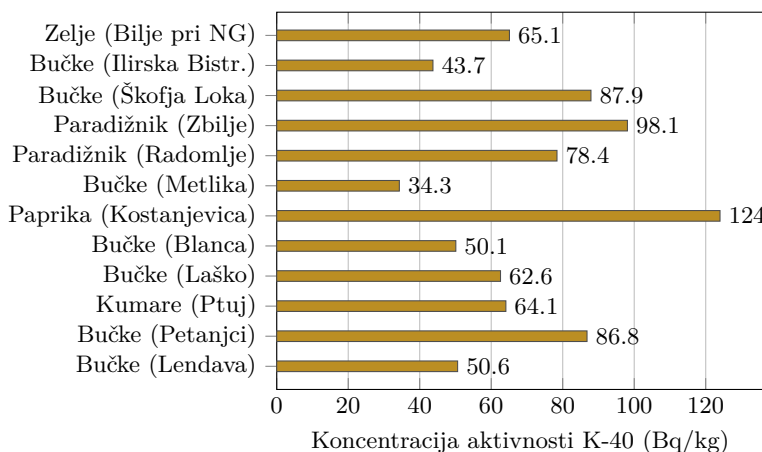
Poljščine

V vzorcih poljščin smo konsistentno lahko izmerili le K-40, koncentracije naravnih radionuklidov uranove in torijeve verige ter umetnega Cs-137 so le malo nad ali pod detekcijsko mejo, zato jih posebej ne analiziramo. Največ K-40 je izmerjenega v papriki iz Kostanjevice pri Krki, paradižniku iz Zbilj in bučkah iz Škofje Loke. Vse izmerjene koncentracije K-40 v vzorcih so v obsegu 40-130 Bq/kg, večjih anomalij ni opaziti. V okviru Monitoringa radioaktivnosti v življenjskem okolju v Republiki Sloveniji so rezultati meritev K-40 v vzorcih zelenjave v obsegu 50-140 Bq/kg (za leto 2020).

Vzorčili smo različne vrste poljščin, zato jih je zaradi morebitnih različnih prenosnih lastnosti K-40 iz zemlje težko primerjati med sabo.



Slika 3.35 | Koncentracije K-40 in Cs-137 v nefiltrirani rečni vodi na različnih lokacijah intenzivnega poljedelstva

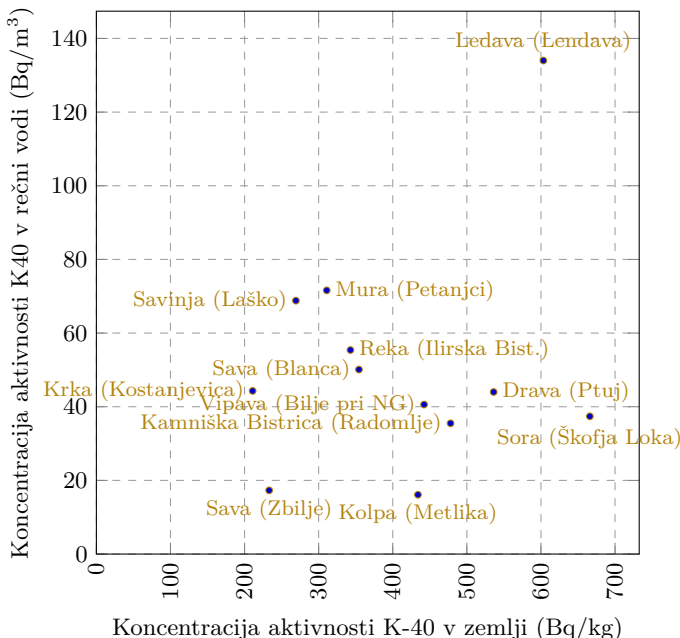


Slika 3.36 | Koncentracije K-40 v poljščinah na različnih lokacijah intenzivnega poljedelstva

Morebitne korelacije koncentracij

Na podlagi meritev koncentracij sevalcev gama v obdelani zemlji, rečni vodi in poljščinah smo analizirali morebitne medsebojne odvisnosti. Praktično nemogoče je oceniti, ali je višja koncentracija K-40 v zemlji posledica gnojenja z umetnimi gnojili ali geoloških lastnosti tal. Na sliki 3.37 je izrisana korelacija med koncentracijami K-40 v obdelani

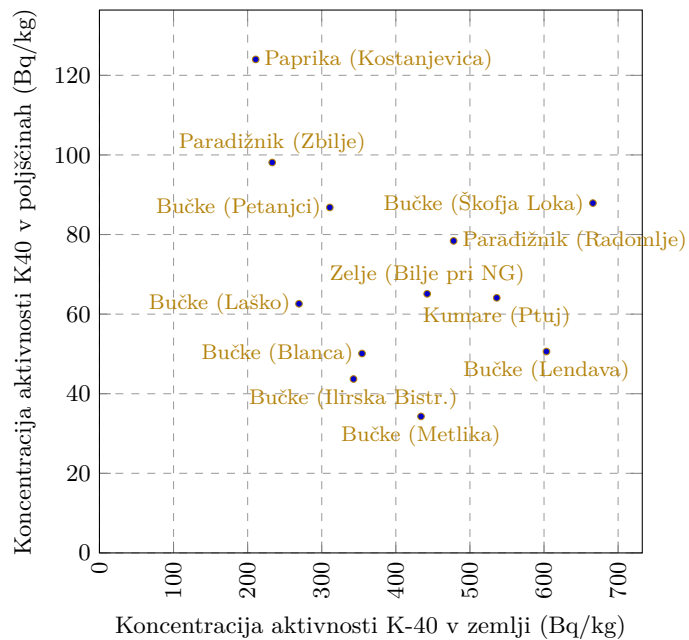
zemlji in K-40 v rečni vodi, ki bi bila posledica izpiranja iz okoliške obdelovalne zemlje. Načeloma lahko opazimo rahlo korelacijo, vendar je za takšno trditev premalo meritev v različnih pogojih. V grobem lahko opazimo, da višje koncentracije K-40 v zemlji načeloma povzročajo rahlo višje koncentracije K-40 v rečni vodi, najbolj je to sicer izrazito v Ledavi pri Lendavi. Najverjetnejše je tudi način in intenzivnost izpiranja posledica lastnosti tal, za kar v okviru te študije nimamo dovolj podatkov.



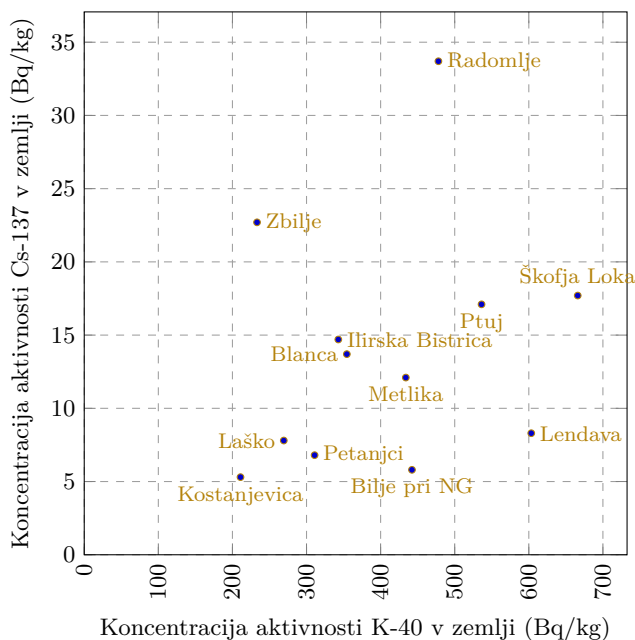
Slika 3.37 | Analiza korelacije izotopa K-40 v obdelani zemlji in nefiltrirani rečni vodi.

Na sliki 3.38 je izrisana korelacija med koncentracijami K-40 v obdelani zemlji in K-40 v poljščinah, ki bi bila posledica fiziologije oziroma metabolizma rastlin (procesi prenosa iz okoliške obdelovalne zemlje v plodove). Tudi tu je kakrsna koli trditev neutemeljena zaradi premajhnega števila podatkov in različnih vrst rastlin z morebitnimi različnimi prenosnimi mehanizmi. Na sliki sicer lahko interpretiramo grafični prikaz rezultatov kot rahlo antikorelacijo, torej da bi rastline na zemlji z več gnojila lahko bolje uspevale in posledično povzročile »osiromašenje« K-40 v preostali zemlji. Vendar je za takšno trditev preveč faktorjev, ki vplivajo na koncentracije, poleg vrste poljščin in uporabe umetnih gnojil s kalijem, najverjetnejše tudi intenzivnost pridelovanja, količina namakanja ipd.

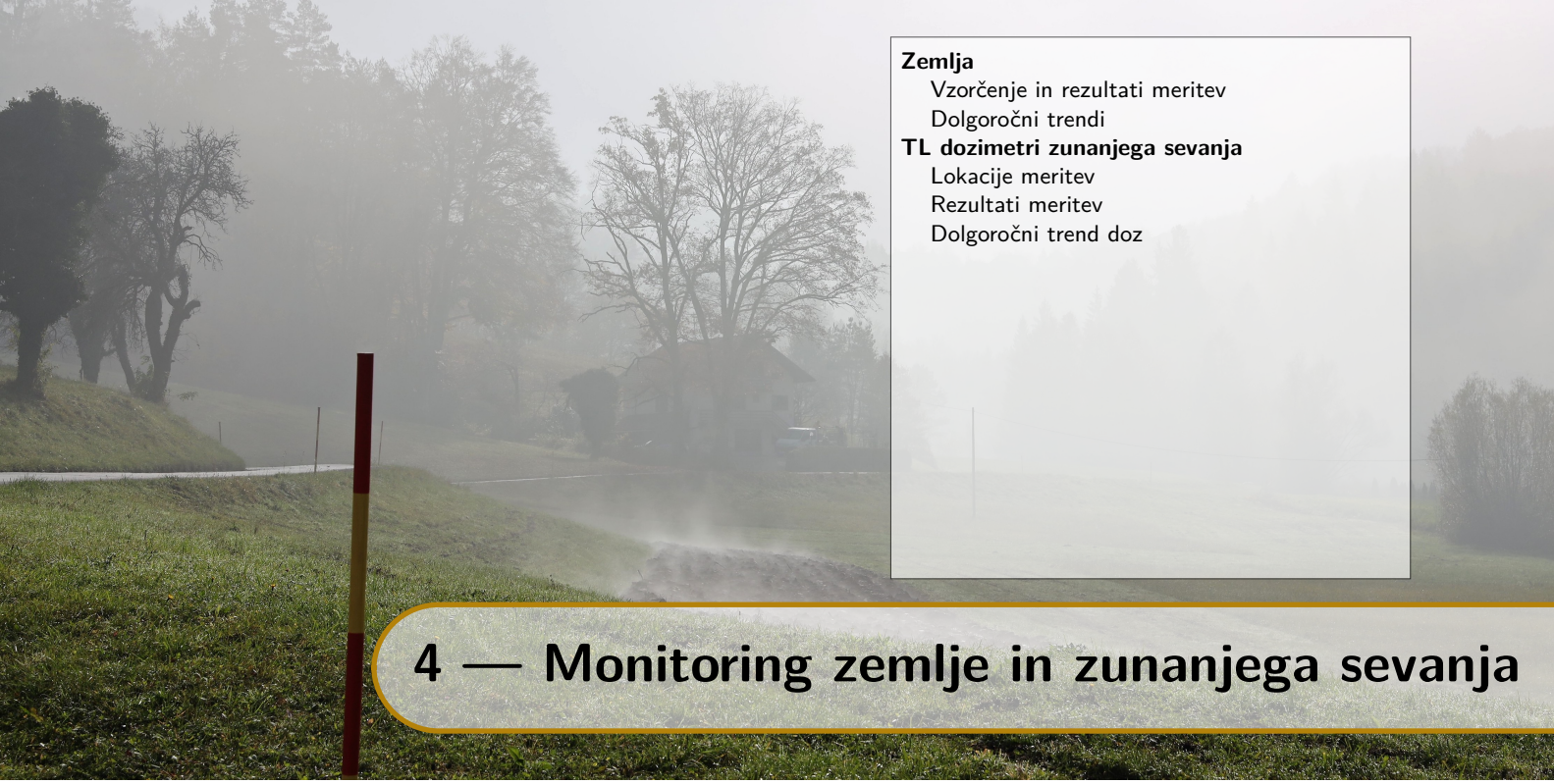
Na sliki 3.39 je izrisana korelacija med koncentracijami K-40 in Cs-137 v obdelani zemlji. V nekateri literaturi poročajo [70], da so pri nadzorovanih eksperimentalih ugotovili "dekontaminacijo" s Cs-137 kontaminiranih površin pri uporabi gnojil z višjo vsebnostjo kalija. V okviru raznih raziskav po jedrske nesreči v Fukušimi so prišli do ugotovitev, da je možna uspenejša dekontaminacija tal z uporabo gnojil, kjer zaradi boljše rasti specifičnih rastlin (trava perjanka) in posledično večje biomase le-ta fiziološko učinkoviteje veže nase radioaktivni Cs-137 ter na ta način zmanjšuje koncentracije Cs-137 v tleh. Na sliki 3.39 pa takšna morebitna antikorelacija ni vidna, saj so poljščine lahko takšne vrste, da prenos Cs-137 iz zemlje v plodove ni pretirano učinkovit ali izrazit.



Slika 3.38 | Analiza korelacije izotopa K-40 v zemlji in poljščinah.



Slika 3.39 | Analiza korelacije izotopa K-40 in Cs-137 v zemlji.



Zemlja

Vzorčenje in rezultati meritev

Dolgoročni trendi

TL dozimetri zunanjega sevanja

Lokacije meritev

Rezultati meritev

Dolgoročni trend doz

4 — Monitoring zemlje in zunanjega sevanja

4.1 Zemlja

4.1.1 Vzorčenje in rezultati meritev

Zemljo smo v letu 2020 vzorčili v spomladanskem in jesenskem obdobju na petih globinah 0-10 cm, 10-20 cm, 20-30 cm, 30-40 cm, 40-50 cm, in sicer na lokacijah Ljubljana (IJS), Kobarid in Murska Sobota (obe ZVD), ki so prikazane na sliki 4.1¹.

Rezultati meritev koncentracij aktivnosti radionuklidov v vzorcih zemlje so prikazani v poglavju 8 v tabelah od 8.22 do 8.24 ter na sliki 4.2.

Koncentracije aktivnosti v vseh petih plasteh so v poglavju 8 prikazane v enotah Bq/kg posušene presejane zemlje in tudi preračunane na enoto površine v Bq/m² (IJS). Pri tem so ponekod preračunane tudi vrednosti za naravne radionuklide, za katere pa vemo, da ne predstavljajo površinske kontaminacije.

Ljubljana.

V vzorcih zemlje iz Ljubljane je bilo povprečje koncentracije aktivnosti v vseh petih plasteh 43 ± 46 Bq/kg za Cs-137 in $3,1 \pm 1,8$ Bq/kg za Sr-90, po plasteh pa je vsebnost Cs-137 v globljih plasteh nižja, vsebnost Sr-90 pa z globino narašča in nato spet pada.

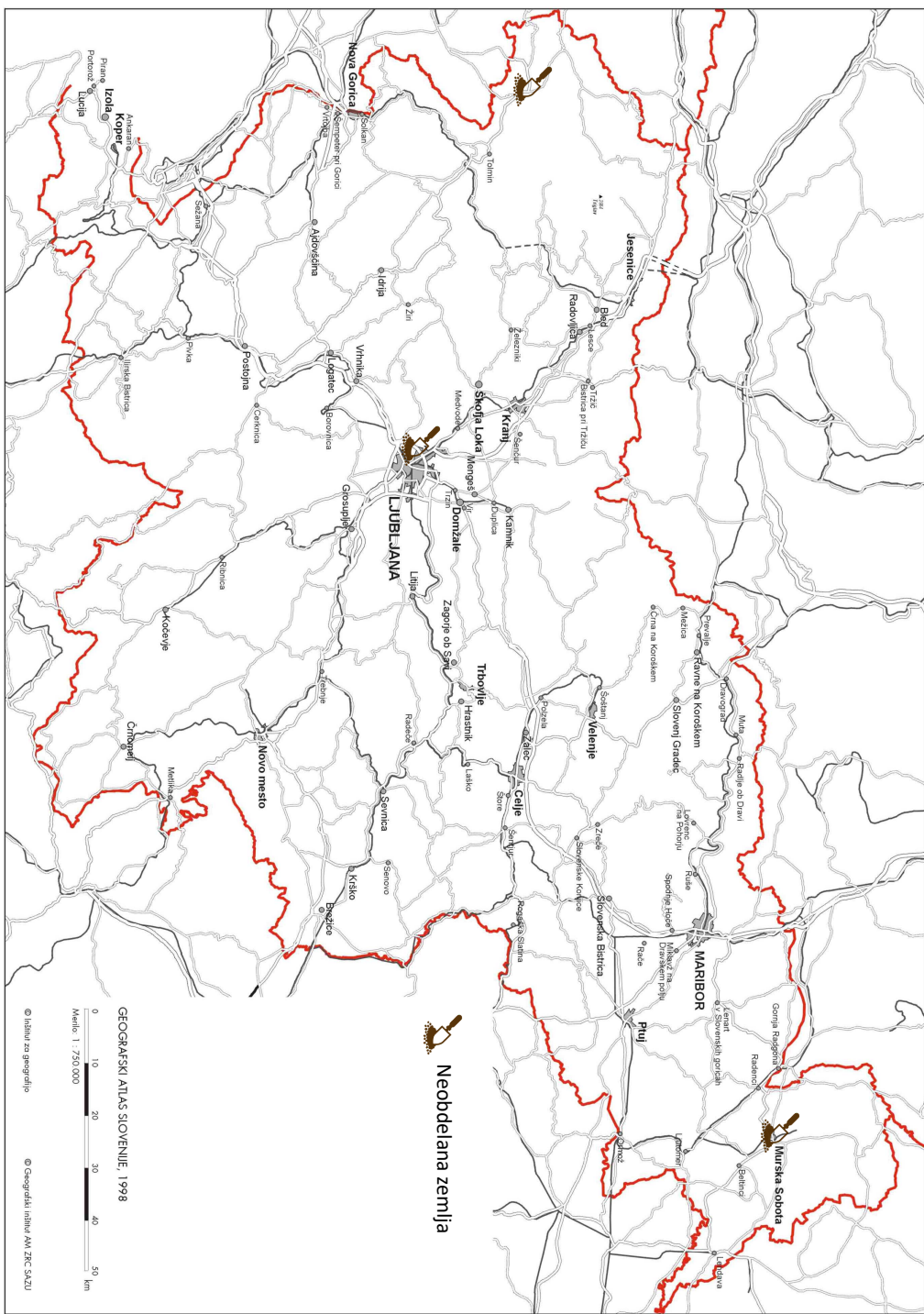
Kobarid.

V vzorcih zemlje iz Kobarida je bilo povprečje koncentracije aktivnosti 41 ± 41 Bq/kg za Cs-137 in $1,3 \pm 1,0$ Bq/kg za Sr-90, po plasteh pa je vsebnost Cs-137 in Sr-90 v globljih plasteh nižja.

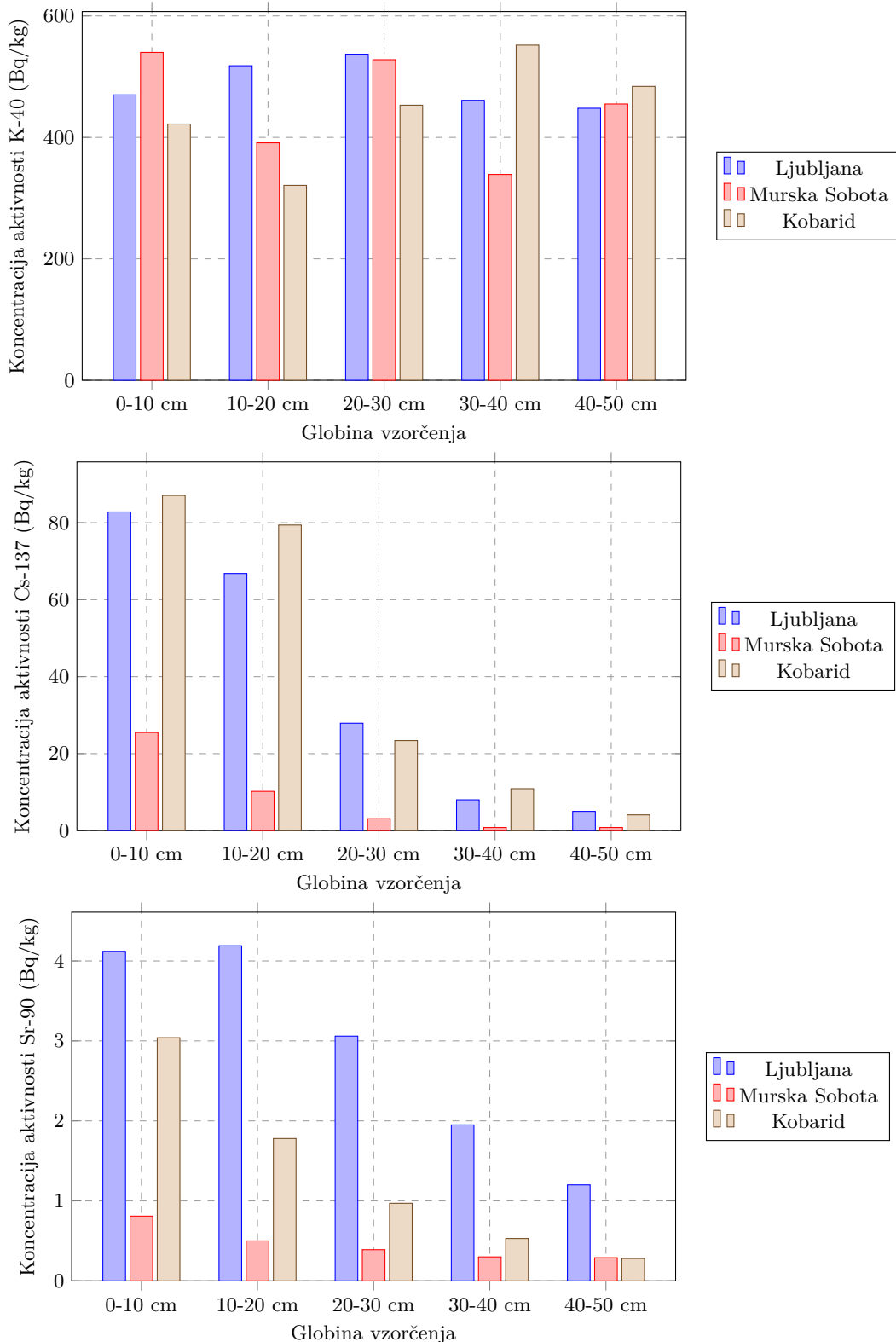
Murska Sobota.

V vzorcih zemlje iz Murske Sobote je bilo povprečje koncentracije aktivnosti $8,1 \pm 1,0$ Bq/kg za Cs-137 in $0,38 \pm 0,42$ Bq/kg za Sr-90, po plasteh pa je vsebnost Cs-137 in Sr-90 v globljih plasteh nižja.

¹Do leta 2017 smo vzorčili na teh istih lokacijah ampak na drugačnih globinah, in sicer 0-5 cm, 5-10 cm, 10-15 cm, leta 2018 pa na globinah 0-10 cm, 10-20 cm, 20-30 cm, od leta 2019 dalje pa še na globinah 30-40 cm in 40-50 cm,. Od leta 2009 dalje IJS vzorči zemljo v Ljubljani na lokaciji Ceste dveh cesarjev, prejšnja leta pa je na tej lokaciji vzorčil ZVD (v letu 2008 in 2006 je vzorčenje potekalo na lokaciji IJS Podgorica).



Slika 4.1 | Lokacije vzorčenja vzorcev zemlje.



Slika 4.2 | Povprečna letna koncentracija aktivnosti K-40, Cs-137 in Sr-90 v zemlji

Vpliv značilnosti mikrolokacij.

Zaradi značilnosti terena, kotanjavosti, nagnjenosti, difuzijskih lastnosti zemlje in lokalnih posebnosti padavin v času černobilske nesreče, se vrednosti koncentracij aktivnosti Cs-

137 ali Sr-90 močno razlikujejo že na lokalni ravni. Že na razdalji nekaj metrov med lokacijama vzorčenja se lahko koncentracije aktivnosti razlikujejo za nekajkrat. Očitno so difuzijski procesi Sr-90 in Cs-137 v različnih tipih zemlje različni, kar potrjujejo tudi različni globinski profili v prejšnjih letih, ki med seboj niso popolnoma konsistentni.

Menjava vzorčevalnih globin.

Z menjavo globin vzorčenja zemlje smo v letu 2018 prešli z 0–5 cm, 5–10 cm in 10–15 cm na 0–10 cm, 10–20 cm in 20–30 cm, v letu 2019 pa sta bili dodani še plasti na globinah 30–40 cm in 40–50 cm. Prejšnja leta smo ugotavljali vedno nižje koncentracije v zgornjih plasteh, kjer je najverjetneje že prišlo do prehajanja radionuklidov v globlje plasti. Z novimi meritvami smo to tudi potrdili.

4.1.2 Dolgoročni trendi

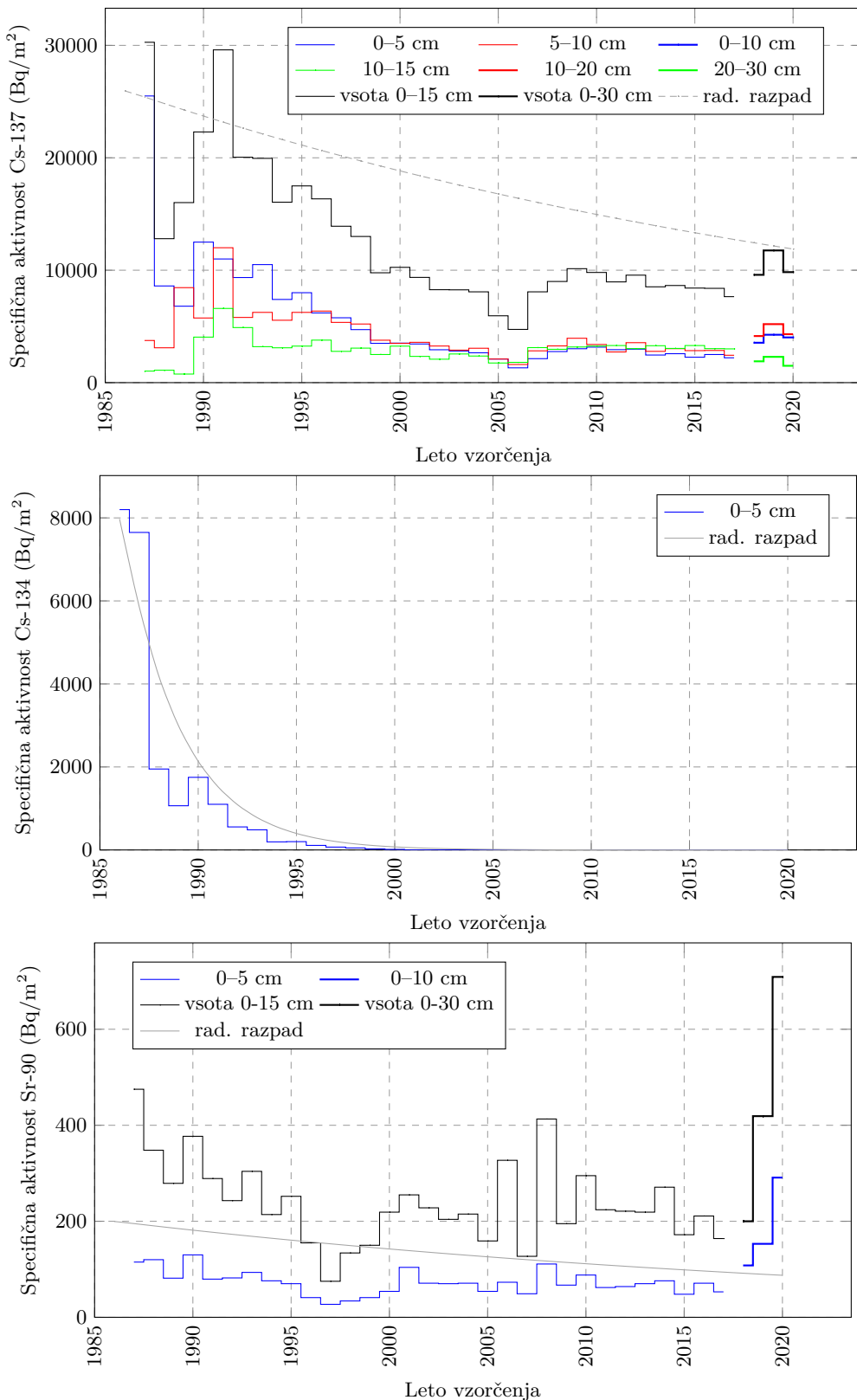
Na slikah 4.3, 4.4 in 4.5 so do vključno leta 2017 prikazane časovne odvisnosti specifične aktivnosti Cs-137, Cs-134 in Sr-90 v plasti 0–5 cm za Ljubljano, Kobarid in Mursko Sobo za obdobje od leta 1986 dalje (za izotop Cs-137 so prikazane vse plasti 0–5 cm, 5–10 cm in 10–15 cm). Poleg povprečnih letnih specifičnih aktivnosti so za primerjavo prikazane tudi vrednosti za naravni radioaktivni razpad omenjenih radionuklidov za isto obdobje za pripovršinsko plast (označene s polno črto), ob privzetih začetnih vrednostih, izmerjenih v aprilu 1986. Koncentracije radionuklidov v zemlji ne sledijo eksponentni funkciji radioaktivnega razpada, saj izotopi dodatno difundirajo v globlje plasti zemlje in so sedaj že tudi globlje od 15 cm, kar smo potrdili z meritvami v letu 2018, ko smo začeli vzorčiti zemljo z globin 0–10 cm, 10–20 cm in 20–30 cm, in v letu 2019, ko smo dodali še globini 30–40 cm in 40–50 cm. Te meritve na večjih globinah do 30 cm so na slikah 4.4 in 4.5 posebej označene, a jih je težko kvalitativno primerjati s starejšimi meritvami. Upoštevajoč vrednosti za radioaktivni used (Bq/m^2) je količina vzorca zaradi podvojenih debelin plasti približno dvakrat večja, pri večjih globinah je globinski profil drugačen ipd.

Iz slik 4.3, 4.4 in 4.5 je razviden trend padanja specifičnih aktivnosti Cs-137 in Sr-90 zaradi migracije v druge plasti in radioaktivnega razpada. Pri izotopu Cs-134 zaradi krajšega razpolovnega časa, procesov migracije ni opaziti, saj je npr. v Murski Soboti tako rekoč ostal le v prvi plasti in tam razpadel (pod mejo detekcije). Za zemljo v Murski Soboti podobno velja tudi za Sr-90, saj specifična aktivnost sledi zmanjševanju zaradi naravnega radioaktivnega razpada. Na slikah od 4.3 do 4.5, kjer posebej analiziramo obnašanje Cs-137, lahko iz primerjave njegove aktivnosti v različnih plasteh pri meritvah do leta 2017 ugotovimo, da počasi aktivnosti v globljih plasteh postajajo višje od aktivnosti v pripovršinski plasti (v Ljubljani in Kobaridu že od približno leta 2000 dalje, v Murski Soboti pa šele ob okvirno leta 2006). To potrjuje zgoraj omenjeno hipotezo, da so mehanizmi difundiranja v spodnje plasti zelo različni od vrste zemlje. V letu 2020 vzorčimo v globljih plasteh in meritve potrjujejo prehajanje radionuklidov v te plasti.

Zaradi migracije radionuklida Cs-137 v globlje plasti, je smiselna primerjava celotnega depozita v vsej globini vzorčenja do leta 2017 torej od 0 do 15 cm oziroma od leta 2018 dalje od 0 do 30 cm, in ne le depozita v zgornji plasti 5 cm.

V prvih letih po černobilski nesreči je v celotnem depozitu v globini 0–15 cm tudi depozit zaradi bombnih poskusov. Za zadnjih 10 let pa lahko rečemo, da je celotni depozit v globini 0–15 cm posledica černobilske nesreče, saj so radionuklidi sproščeni ob poskusih razstrelitev jedrske bombi že migrirali v plasti v globini 30 cm in več.

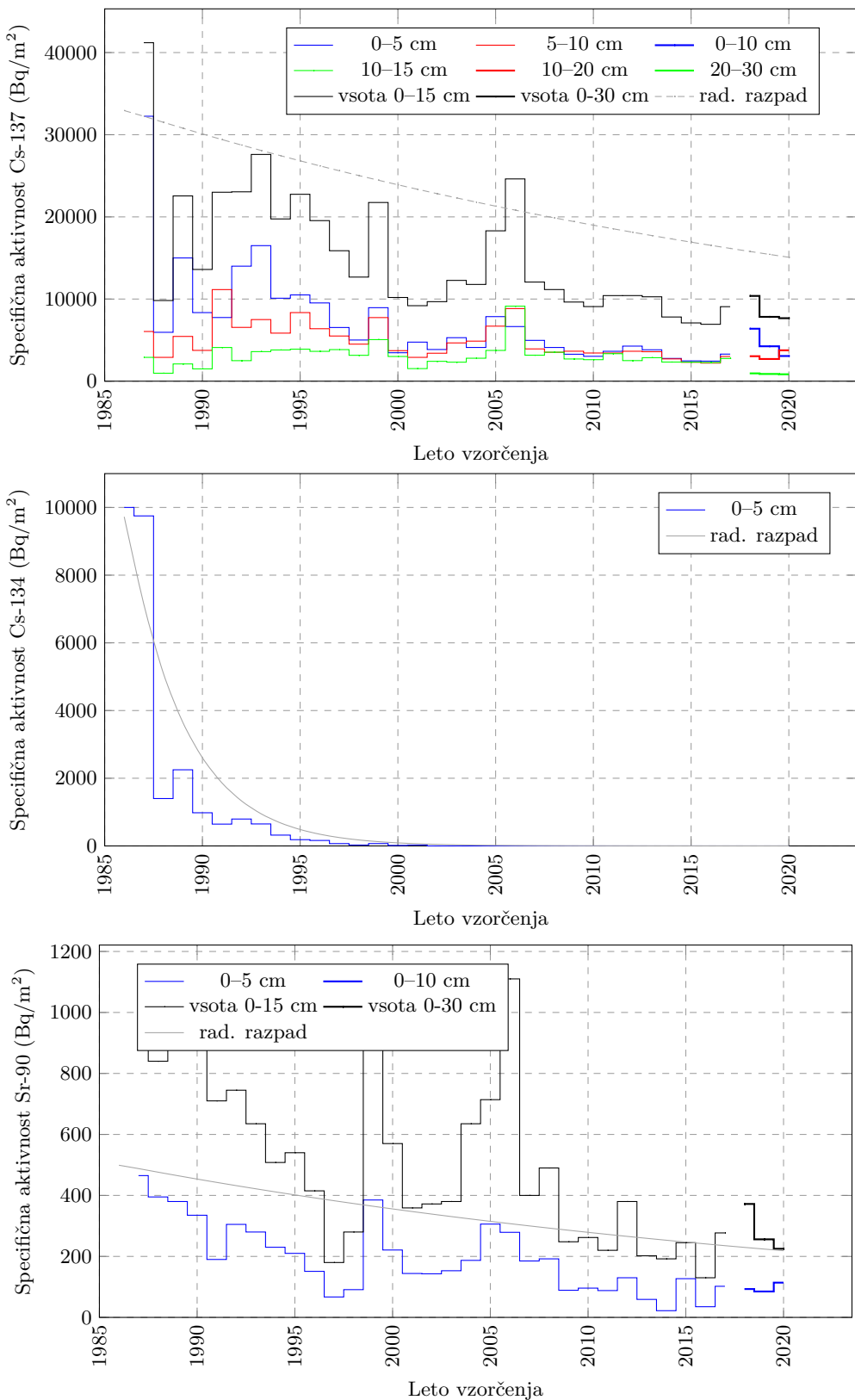
V Ljubljani, Murski Soboti in Kobaridu lahko tudi za depozit černobilske nesreče že lahko rečemo, da prehaja v globlje plasti, zato smo v letu 2018 začeli tudi z vzorčenjem plasti zemlje iz globine do 30 cm in v 2019 z vzorčenjem iz globin do 50 cm.



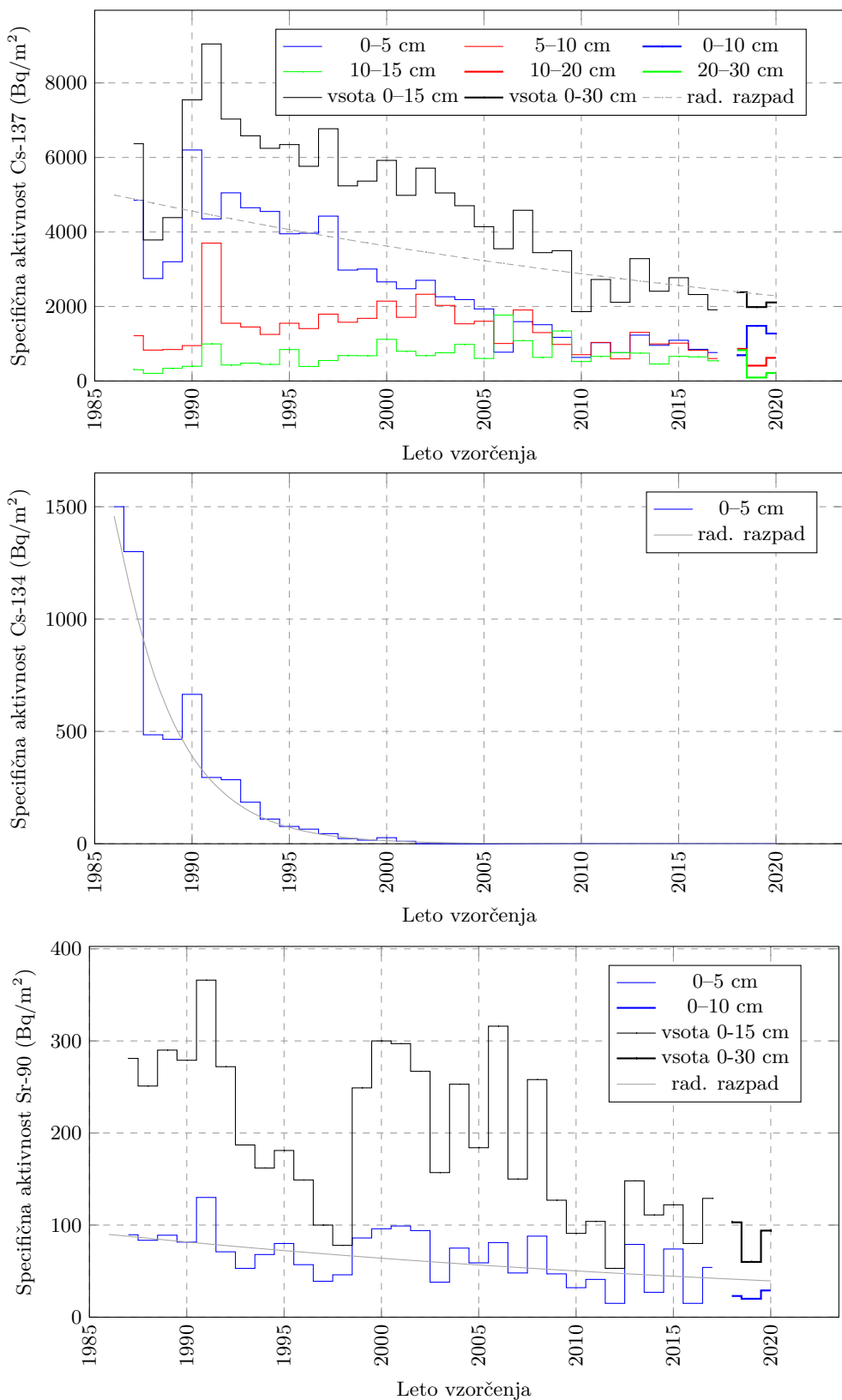
Slika 4.3 | Specifične aktivnosti — depozit — Cs-137, Cs-134 in Sr-90 v Ljubljani v različnih plasteh ter preračun radioaktivnega razpada od leta 1986 dalje.

Na grafih za lokacijo Kobarid vidimo odstopanja od trenda zmanjševanja koncentracij Cs-137 in Sr-90, in sicer v letih 2006 in 2008, ki jih lahko pojasnimo z dejstvom, da sta vzorčila na različnih lokacijah in analize izvajala dva različna laboratorija. V letu 2006 je IJS opravil analizo zemlje na vseh treh lokacijah, leta 2008 pa samo v Ljubljani. Lokacija vzorčenja v Ljubljani je bila različna glede na vzorčevalca, IJS je vzorčil na lokaciji Reaktorskega centra Podgorica v Brinju pri Ljubljani, ZVD pa na Cesti dveh cesarjev. Od leta 2009 naprej, je lokacija vzorčenja poenotena, in sicer na Cesti dveh cesarjev.

V letu 2011 je bilo moč zaznati delno povišane vrednosti Cs-137 v zgornji plasti glede na prejšnja leta, kar je vpliv posledic nesreče v elektrarni v Fukušimi na Japonskem. Vendar je povišanje na letni ravni v povprečju komaj opazno, prav tako ni vidno na grafih v slikah od 4.3 do 4.5.



Slika 4.4 | Specifične aktivnosti — depozit — Cs-137, Cs-134 in Sr-90 v Kobaridu v različnih plasteh ter preračun radioaktivnega razpada od leta 1986 dalje.



Slika 4.5 | Specifične aktivnosti — depozit – Cs-137, Cs-134 in Sr-90 v Murski Soboti v različnih plasteh ter preračun radioaktivnega razпадa od leta 1986 dalje.

4.2 TL dozimetri zunanjega sevanja

4.2.1 Lokacije meritev

Doze zaradi zunanjega sevanja se merijo na petdesetih različnih lokacijah po Sloveniji s termoluminiscenčnimi (TL) dozimetri, ki so prikazane na sliki 4.6, podrobnosti o merskih lokacijah pa so podane v tabeli 4.1.

4.2.2 Rezultati meritev

Rezultati meritev so prikazani v poglavju 8 v tabeli 8.26 in na sliki 4.7, kjer prikazana barva izmerka ustreza letni ekvivalentni dozi v μSv . Povprečni letni okoliški ekvivalent doze $H^*(10)$ zaradi zunanjega sevanja v letu 2020 je bil $873 \pm 157 \mu\text{Sv}$, največji izmerjen okoliški ekvivalent doze je bil $1332 \pm 187 \mu\text{Sv}$ na Vrhniku, najnižji pa $587 \pm 84 \mu\text{Sv}$ v Bilju pri Novi Gorici. Povprečna mesečna vrednost okoliškega ekvivalenta doze zaradi zunanjega sevanja je bila $73 \pm 21 \mu\text{Sv}$, območje vrednosti pa od $49 \mu\text{Sv}$ do $110 \mu\text{Sv}$.

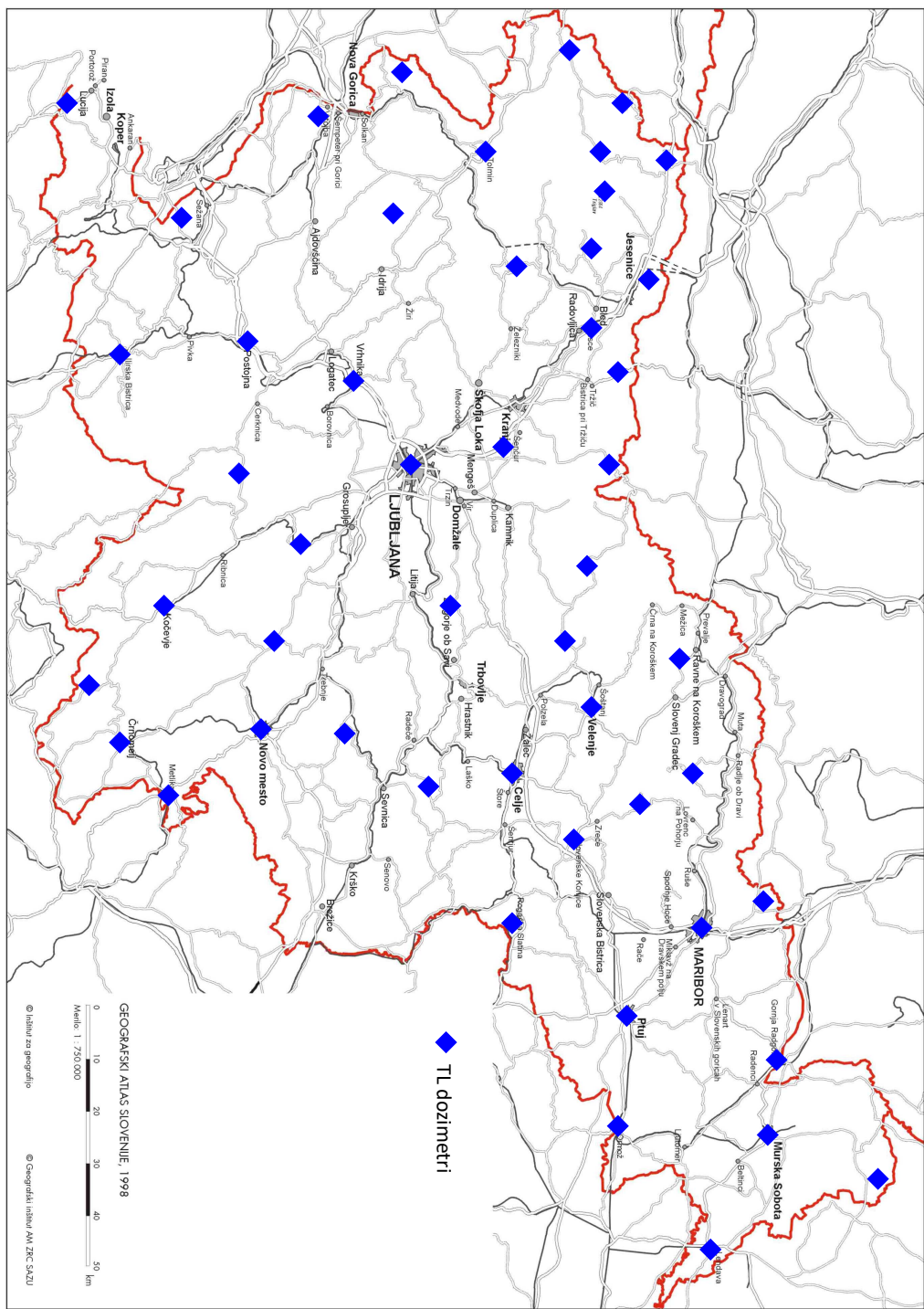
4.2.3 Dolgoročni trend doz

Na sliki 4.8 je prikazan dolgoročni trend doz na lokaciji Ljubljana izmerjenih s TL dozimetri. Do leta 2005 so izmerjene veličine H_x , od takrat pa $H^*(10)$. Kljub temu, da veličini nista povsem primerljivi, pa se pri energijah sevanja gama, ki ga merimo v okolju ne razlikujeta veliko, nekaj %, in jih na sliki 4.8 prikazujemo na skupnem grafu. Kot sledi v pojasnilih o H_x , lahko upoštevamo približni pretvorbeni faktor 1.05, s katerim so na grafu že pomnoženi izmerki H_x .

Termoluminiscentni dozimetri merijo okoliški ekvivalent zunanjega sevanja naravnih in umetnih radionuklidov, ki so prisotni v okolju. V letih po černobilski nesreči je predvsem Cs-137 znatno prispeval k obremenjenosti z zunanjim sevanjem, nato pa se je prispevek zaradi radioaktivnega razpada in difuzije radionuklida v globlje plasti zmanjšal. Trenutni prispevek Cs-137 k celotni dozi zunanjega sevanja je manj kot 1%. Iz slike 4.8 je razvidno, da je doza zunanjega sevanja po letu 1995 približno konstantna, od leta 2006 pa je moč opaziti trend povečevanja (deloma je to lahko posledica menjave merjenja H_x s $H^*(10)$). V letu 1986 so k dozi zunanjega sevanja prispevali tudi številni drugi sevalci gama, ki so bili posledica useda zaradi černobilske nesreče. Zato je zunanja doza v letu 1986 najvišja. Kratkoživi sevalci so nato razpadli in doza je že v letu 1987 znatno padla. Nato je bil poleg prispevka Cs-137 zaznaven še prispevek Cs-134, nato pa je tudi ta že preveč razpadel. Do približno leta 2000 je bila še zaznana razlika prispevka Cs-137 k dozi glede na prispevek naravnih radionuklidov, kar lahko sklepamo iz vidnega trenda, ki sledi radioaktivnemu razpadu Cs-137 in delno difundiranju Cs-137 v globlje plasti. V letih po 2000 se izmerjena letna doza ustali in večino doze povzročajo naravni radionuklidi.

Pojasnila o merski veličini H_x .

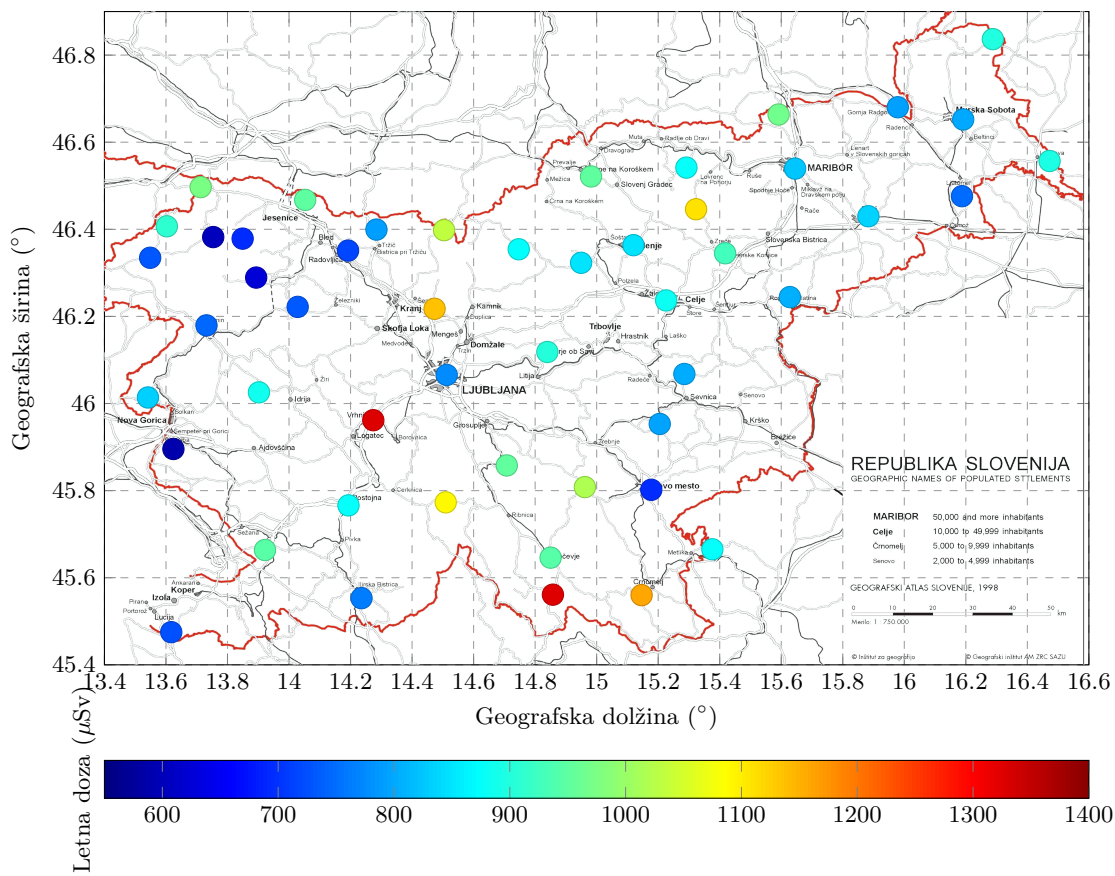
Veličina H_x je fotonski dozni ekvivalent (photon dose equivalent). Veličino so uporabljali predvsem v Nemčiji [71]. V Sloveniji je sekundarni dozimetrični laboratorij na Inštitutu Jožef Stefan v preteklosti izvajal umerjanja TL dozimetrov v tej veličini. Veličini nista povsem primerljivi. Pri energijah gama sevanja pod okoli 30 keV je kvocient med $H^*(10)/H_x$ manjši od 1, sicer pa je večji od energije 1 MeV do okoli 2 MeV, ko nato vrednost spet pade pod 1. Pri energiji Cs-137 je vrednost kvocienta približno 1,05. Natančnejša energijska odvisnost kvocienta je prikazana na sliki 4.9.



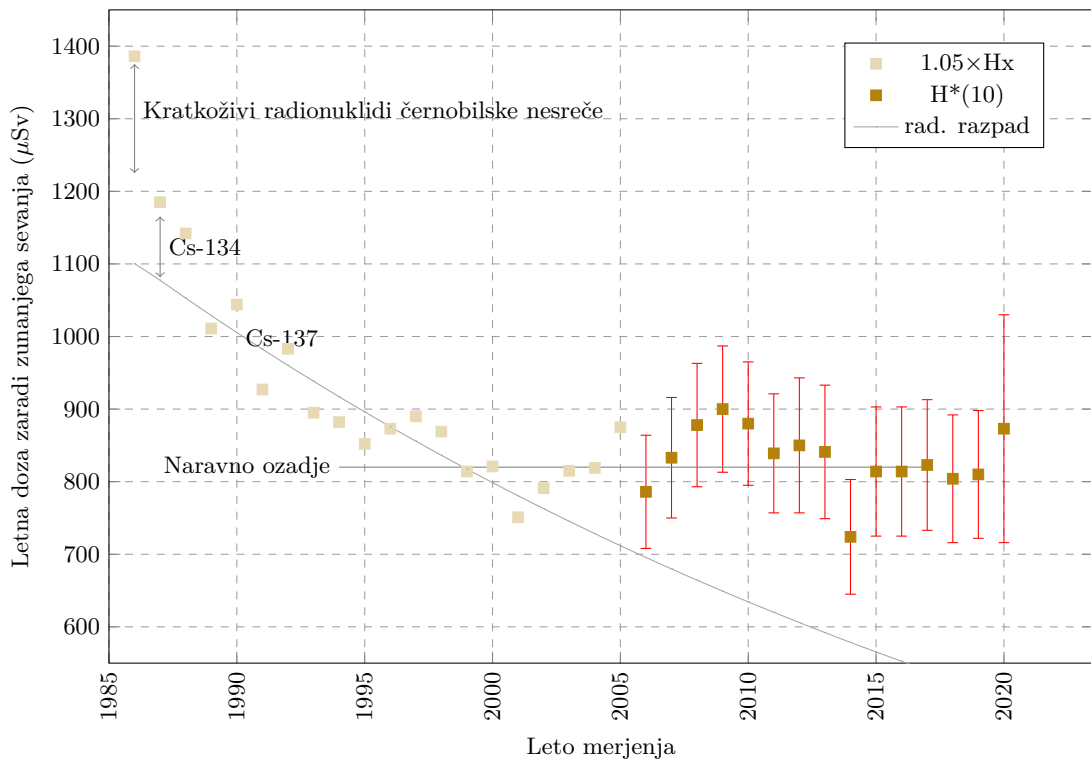
Slika 4.6 | Lokacije TL dozimetrov za meritve letne doze zunanjega sevanja.

Tabela 4.1 | Seznam TL-dozimetrov v Republiki Sloveniji z GPS koordinatami

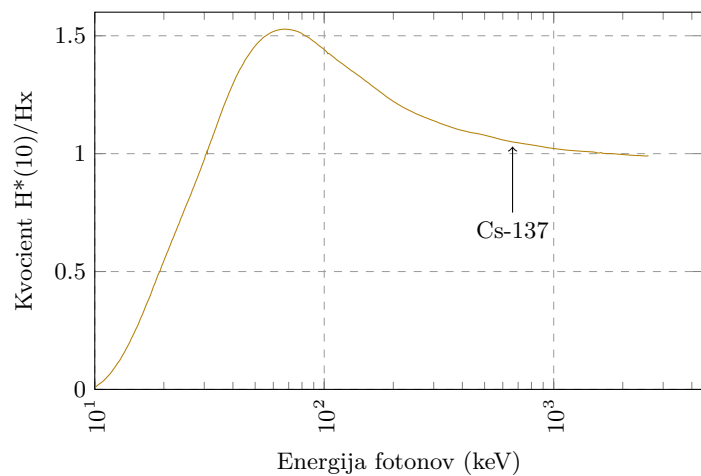
Št.	KRAJ	GPS-KOORDINATE
1	Kočevje	45°38'47" / 14°51'02"
2	Dvor pri Žužemberku	45°48'30" / 14°57'42"
3	Dobljice (Črnomelj)	45°33'36" / 15°08'46"
4	Drašiči (Metlika)	45°39'55" / 15°22'34"
5	Novo mesto	45°48'07" / 15°10'39"
6	Mokronog	45°56'29" / 15°09'01"
7	Lisca	46°04'04" / 15°17'06"
8	Celje	46°14'11" / 15°13'34"
9	Rogaška Slatina	46°14'40" / 15°37'41"
10	Slovenske Konjice	46°20'42" / 15°25'03"
11	Rogla	46°26'45" / 15°19'22"
12	Maribor	46°32'22" / 15°38'42"
13	Ptuj	46°25'48" / 15°52'58"
14	Jeruzalem (Ormož)	46°28'34" / 16°11'15"
15	Lendava	46°33'25" / 16°28'20"
16	Murska Sobota (Rakičan)	46°39'08" / 16°11'29"
17	Veliki Dolenci (Šalovci)	46°50'12" / 16°17'16"
18	Gornja Radgona	46°40'52" / 15°59'44"
19	Svečina (Plač)	46°39'49" / 15°35'29"
20	Ribnica na Pohorju	46°32'30" / 15°17'30"
21	Kotlje	46°31'17" / 14°58'54"
22	Velenje	46°21'51" / 15°07'11"
23	Nazarje (Mozirje)	46°19'23" / 14°56'58"
24	Luče Ob Savinji	46°21'15" / 14°44'48"
25	Vače	46°07'06" / 14°50'23"
26	LJ-Bežigrad (ARSO)	46°03'58" / 14°30'46"
27	Brnik (Aerodrom)	46°13'39" / 14°27'40"
28	Zgornje Jezersko	46°23'53" / 14°30'14"
29	Podljubelj	46°23'58" / 14°17'03"
30	Hlebce (Lesce)	46°21'55" / 14°10'28"
31	Planina pod Golico	46°28'03" / 14°03'09"
32	Zdenska vas	45°51'28" / 14°42'27"
33	Rateče	46°29'49" / 13°42'46"
34	Trenta	46°22'56" / 13°45'13"
35	Log pod Mangartom	46°24'25" / 13°36'10"
36	Bovec	46°20'05" / 13°32'55"
37	Tolmin	46°10'46" / 13°43'54"
38	Bilje (Nova Gorica)	45°53'46" / 13°37'28"
39	Vedrijan (Kojsko)	46°00'50" / 13°32'29"
40	Lokev Pri Lipici	45°39'51" / 13°55'21"
41	Portorož (Aerodrom)	45°28'29" / 13°37'01"
42	Koseze (Ilirska Bistrica)	45°33'11" / 14°14'05"
43	Zalog (Postojna)	45°45'57" / 14°11'35"
44	Nova vas na Blokah	45°46'23" / 14°30'34 "
45	Vrhnika	45°57'42" / 14°16'26"
46	Vojsko	46°01'31" / 13°54'09"
47	Sorica	46°13'19" / 14°01'41"
48	Stara Fužina	46°17'21" / 13°53'36"
49	Jelenja vas (Iskrba)	45°33'40" / 14°51'28"
50	Kredarica	46°22'59" / 13°50'59"



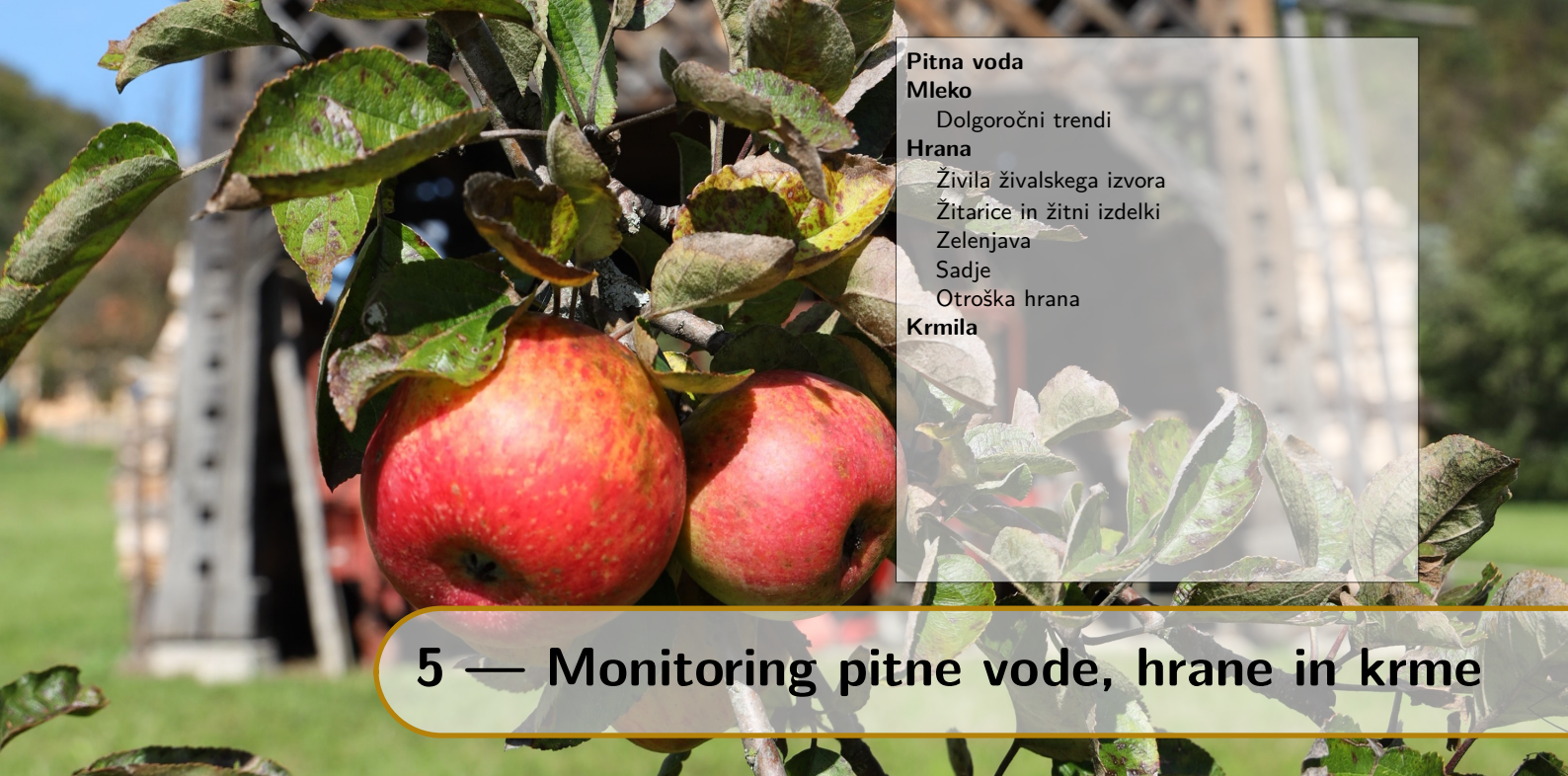
Slika 4.7 | Izmerjena letna doza s TL dozimetri na različnih lokacijah po Sloveniji.



Slika 4.8 | Doza zaradi zunanjega sevanja za Ljubljano za obdobje od leta 1986 dalje.



Slika 4.9 | Energijska odvisnost razmerja okoljskega, $H^*(10)$, in fotonskega doznega ekvivalenta, H_x .



Pitna voda

Mleko

Dolgoročni trendi

Hrana

Živila živalskega izvora

Žitarice in žitni izdelki

Zelenjava

Sadje

Otroška hrana

Krmila

5 — Monitoring pitne vode, hrane in krme

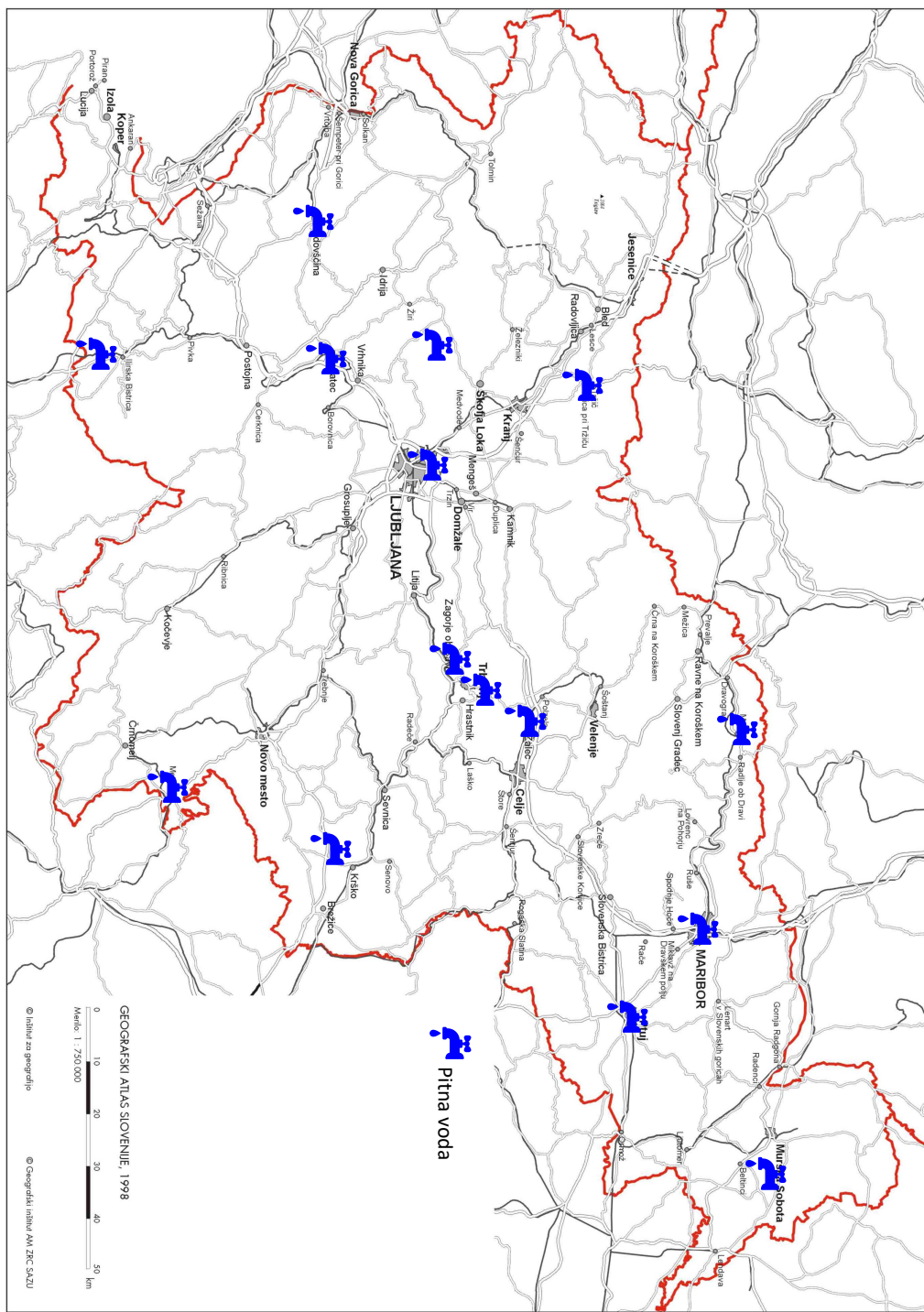
5.1 Pitna voda

V letu 2020 je bilo odvzetih petnajst enkratnih vzorcev pitne vode iz javnih objektov kot so šole, vrtci, bolnišnice ali gostišča na naslednjih lokacijah: Muta, Metlika (Obrh), Raka, Ajdovščina (Hubelj), Gaberje, Ptuj, Maribor, Ljubljana (Kleče), Trbovlje, Logatec, Zagorje ob Savi (Šemnik), Tržič, Gorenja vas, Ilirska Bistrica (Jelšane), Gomilsko (Tabor), ki se zaradi reprezentativnosti menjavajo vsako leto in so izbrane tako, da večinoma pokrijejo celotno področje Slovenije. Lokacije vzorčenja so prikazane na zemljevidu na sliki 5.1 na strani 86.

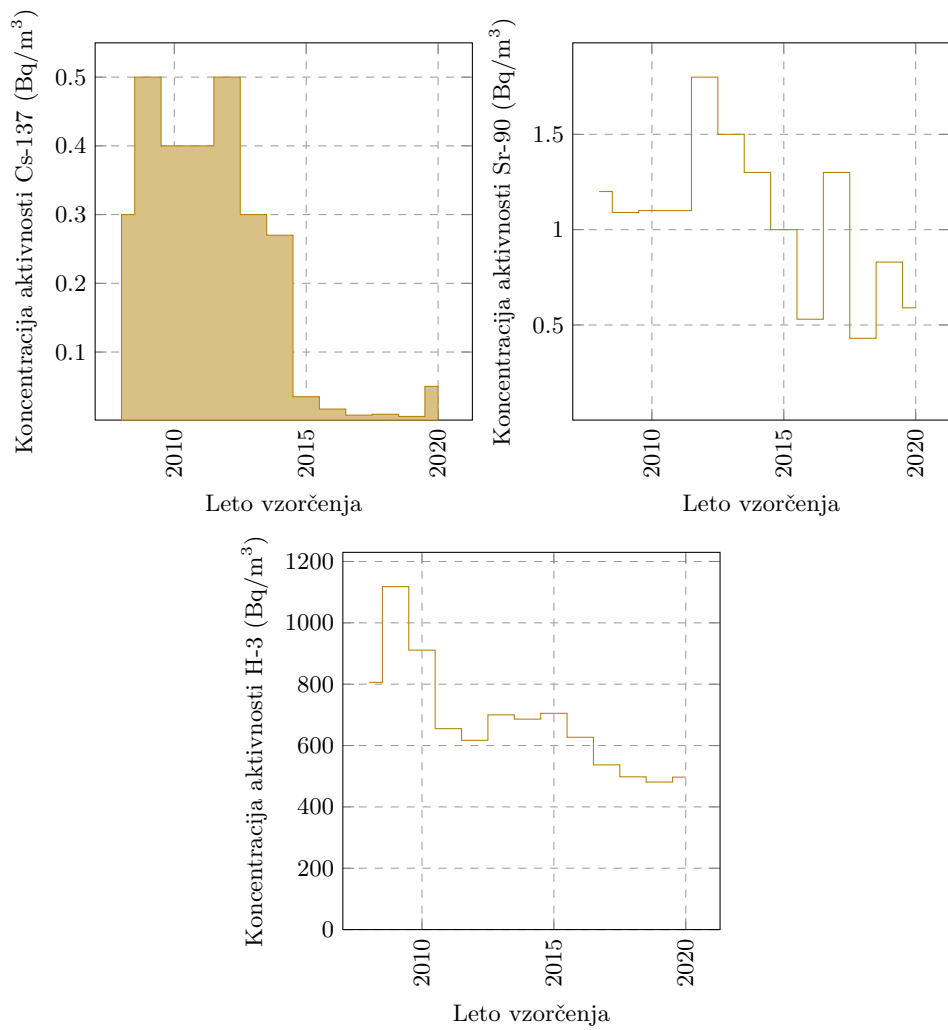
Rezultati meritev so prikazani v poglavju 8 v tabelah 8.27 in 8.28. Izotop cezija, Cs-137, je bilo opaziti večinoma le v sledeh ali pa so vrednosti izredno nizke in na meji detekcije, izmerjene vrednosti so bile $0,015 \pm 0,041 \text{ Bq/m}^3$. Povprečna vrednost koncentracij aktivnosti Sr-90 v vseh odvzetih vzorcih je $0,59 \pm 0,41 \text{ Bq/m}^3$, H-3 pa $497 \pm 200 \text{ Bq/m}^3$. Trendi povprečne vrednosti omenjenih radionuklidov so za večjo preglednost prikazane v grafih na spodnji sliki 5.2 za leta od 2008 naprej. Vrednost v grafu predstavlja povprečno aktivnost vseh odvzetih vzorcev pitnih vod, v primeru aktivnosti Cs-137 pa zgornjo vrednost, saj so izmerjene aktivnosti večinoma pod mejo detekcije.

Poleg umetnih radionuklidov so se določale tudi koncentracije aktivnosti naravnih radionuklidov in kozmogenega Be-7. Povprečne vrednosti so za

- U-238 $2,1 \pm 2,3 \text{ Bq/m}^3$,
- Ra-226 $4,8 \pm 5,7 \text{ Bq/m}^3$,
- Pb-210 $1,7 \pm 2,9 \text{ Bq/m}^3$,
- Ra-228 $0,9 \pm 0,8 \text{ Bq/m}^3$,
- Th-228 $0,6 \pm 0,5 \text{ Bq/m}^3$ in
- K-40 $24 \pm 26 \text{ Bq/m}^3$ ter
- Be-7 $1,1 \pm 2,2 \text{ Bq/m}^3$.



Slika 5.1 | Lokacije vzorčenja vzorcev pitne vode.



Slika 5.2 | Povprečne letne koncentracije aktivnosti Cs-137, Sr-90 in H-3 v pitni vodi od leta 2009 dalje (povprečje vseh vzetih vzorcev).

5.2 Mleko

V letu 2020 smo analizirali vzorce surovega mleka iz Ljubljane, Kobarida in Bohinjske Bistrike ter mleka v prahu iz Murske Sobote (glej zemljevid na sliki 5.3). Rezultati meritev koncentracij aktivnosti radionuklidov v vzorcih mleka za vse lokacije vzorčenja so prikazani v poglavju 8 v tabelah od 8.29 do 8.32.

Na sliki 5.4 so prikazane letne povprečne vrednosti (za preteklo leto) v vzorcih surovega mleka iz Ljubljane, Kobarida in Bohinjske Bistrike, na sliki 5.5 njihove posamične vrednosti dvomesečnega zbirnega vzorca in na sliki 5.6 posamične vrednosti dvomesečnega zbirnega mleka v prahu iz Murske Sobote, in sicer za različne izotope K-40, Cs-137 in/ali Sr-90. V Ljubljani je bila povprečna letna vrednost Cs-137 30 ± 13 mBq/kg in Sr-90 19 ± 10 mBq/kg, v Kobaridu Cs-137 34 ± 13 mBq/kg in Sr-90 25 ± 18 mBq/kg, v Bohinjski Bistrici Cs-137 26 ± 10 mBq/kg in Sr-90 24 ± 31 mBq/kg ter v Murski Soboti Cs-137 $0,38 \pm 0,14$ Bq/kg in Sr-90 $0,24 \pm 0,11$ Bq/kg. Slovensko povprečje za surovo mleko znaša za Cs-137 33 ± 10 mBq/kg in za Sr-90 24 ± 5 mBq/kg (brez mleka v prahu). Najvišje izmerjena vrednost Cs-137 je bila v vzorcu surovega mleka iz Kobarida v obdobju zbiranja julij-avgust, in sicer 49 ± 5 mBq/kg.

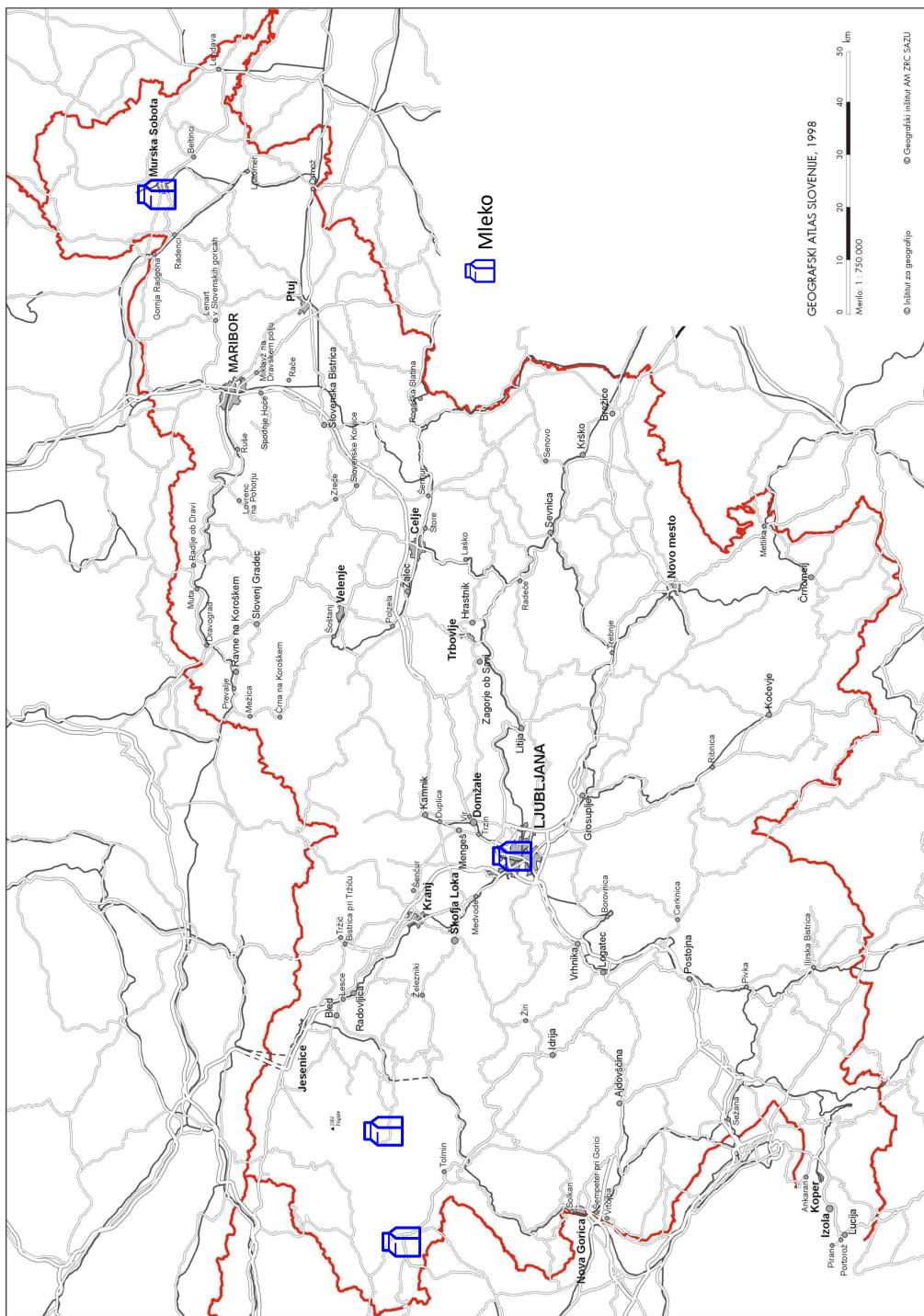
Na sliki 5.5, ki prikazuje koncentracije aktivnosti izotopov v dvomesečnih vzorcih mleka iz Ljubljane, Kobarida in Bohinjske Bistrike v splošnem ugotovimo v jesenskem obdobju porast aktivnosti Cs-137, kar lahko pripisemo pašni vzreji govedi v toplejših mesecih, kjer večje aktivnosti iz narave pridejo v organizem in mleko zaradi prenosnih poti, v hladnejših mesecih pa uporabi krmil, ki imajo lahko nižje vsebnosti Cs-137. Po nekaterih podatkih s terena se vedno bolj v zbiralnicah mleka meša mleko iz različnih lokacij, zato je težko ugotoviti specifične lastnosti med vzorci iz lokalne vzreje krav ali vzorci od drugod. V vzorcih mleka v prahu iz Murske Sobote (slika 5.6) je povisane vrednosti Cs-137 moč opaziti s časovnim zamikom, kar je najverjetneje posledica predelave surovega mleka.

5.2.1 Dolgoročni trendi

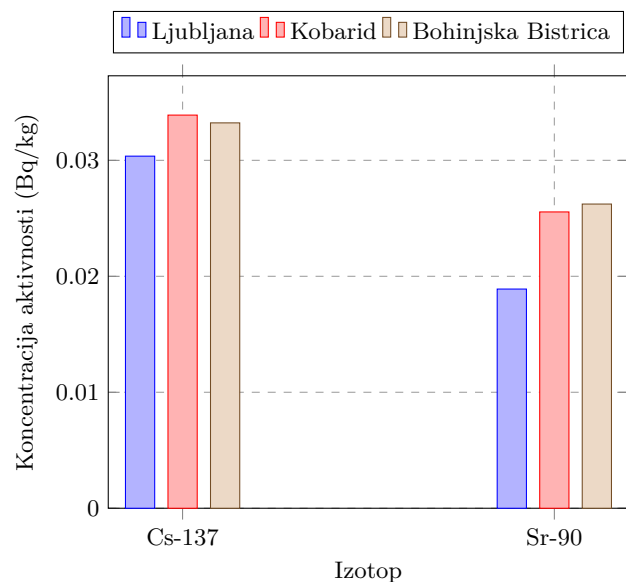
Ob eksploziji jedrskega reaktorja v Černobilu 26. aprila 1986 je bila v zrak sproščena velika količina radioaktivnih snovi, ki so se razpršile po Evropi izven tedanje Sovjetske zveze. V Sloveniji je v Alpah v času nezgode padlo okoli 100 mm/m^2 padavin, kar je povzročilo površinsko kontaminacijo tal preko 100 kBq/m^2 [72]. Pašniki v okolici Kobarida in Bohinjske Bistrike ležijo v alpskem predelu Slovenije, kjer je po nesreči v Černobilu padlo največ padavin, zato je tudi mleko iz tega področja bolj kontaminirano s Cs-137 kot drugje po Sloveniji.

Na sliki 5.7 so prikazane povprečne letne vrednosti koncentracij aktivnosti Cs-137, Cs-134 in Sr-90 v mleku iz Ljubljane, Kobarida, Bohinjske Bistrike in Murske Sobote za obdobje od leta 1986 dalje. Opazen je trend padanja koncentracij aktivnosti vseh treh radionuklidov, Cs-137, Cs-134 in Sr-90. Cs-134 je bil najdlje merljiv v mleku iz Bohinjske Bistrike, do leta 1999, v mleku z ostalih lokacij pa je bil že dosti prej pod mejo detekcije.

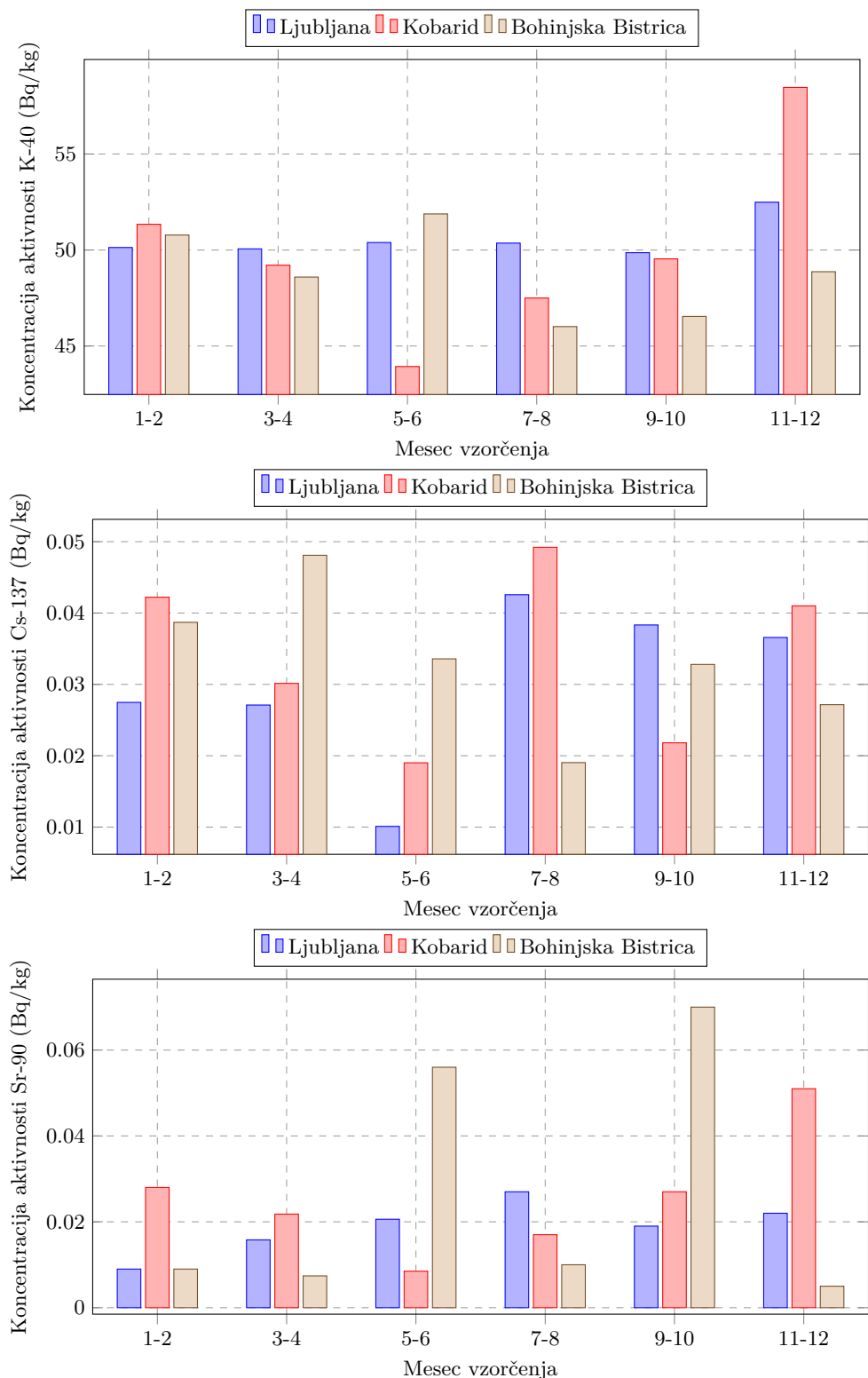
V grafih so sicer najvišje prikazane vrednosti za mleko v prahu iz Murske Sobote, kar je posledica koncentracije vzorca s sušenjem in posledično višje koncentracije aktivnosti ter zato vrednosti niso realno primerljive z vrednostmi v surovem mleku.



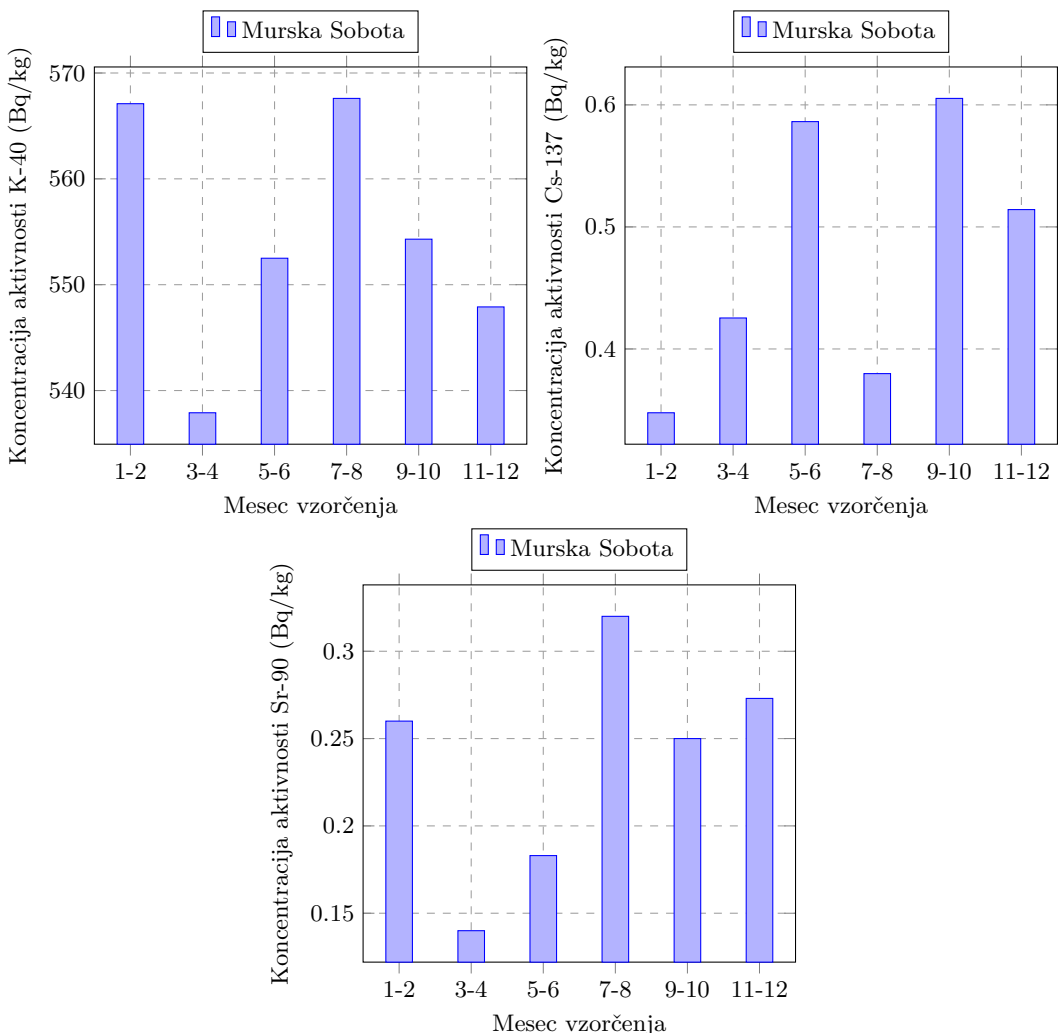
Slika 5.3 | Lokacije vzorčenja vzorcev mleka.



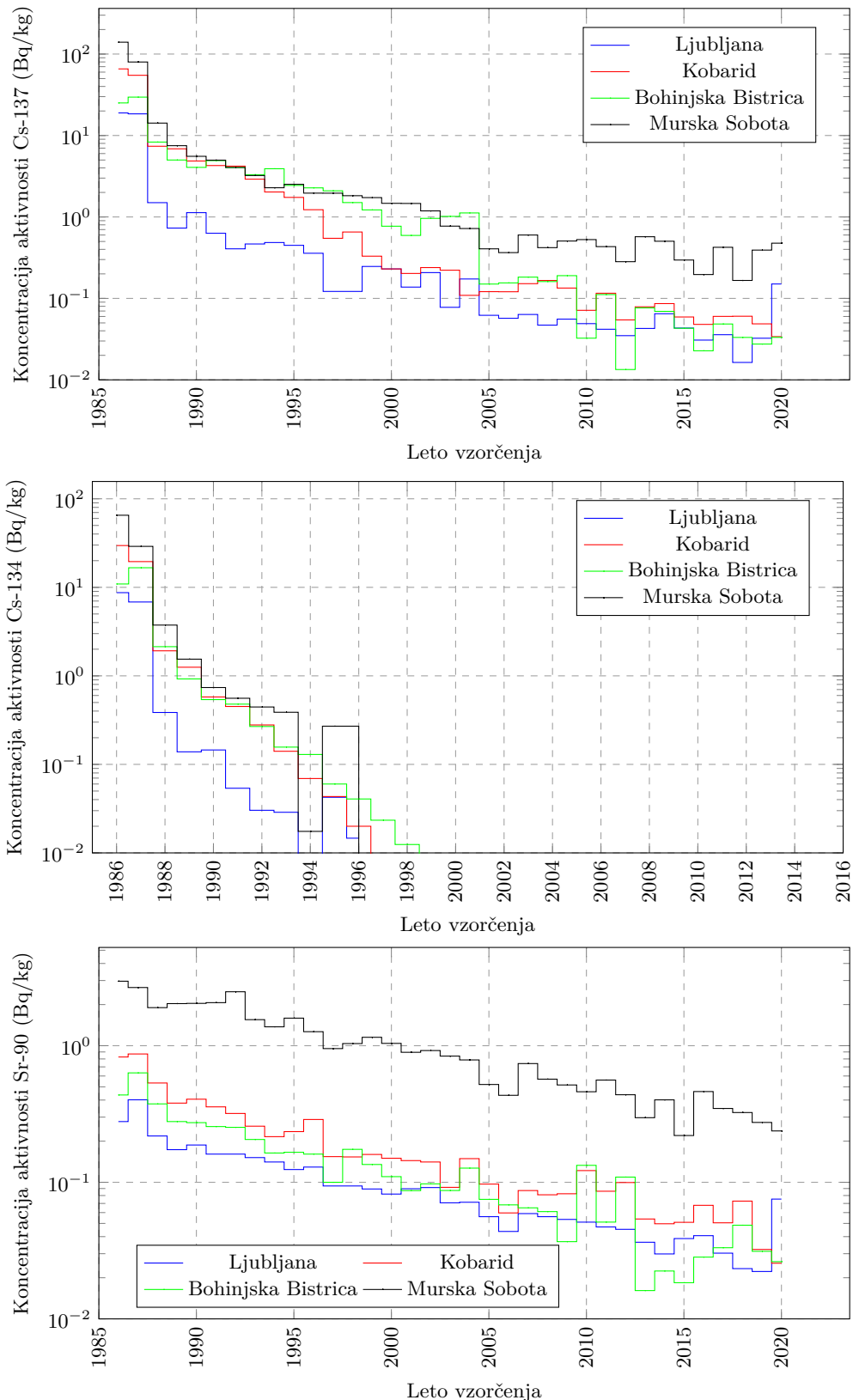
Slika 5.4 | Primerjava povprečnih letnih koncentracij aktivnosti Cs-137 in Sr-90 v surovem mleku na različnih lokacijah v Sloveniji za leto 2020.



Slika 5.5 | Koncentracije aktivnosti K-40, Cs-137 in Sr-90 v posamičnih dvomesečnih vzorcih surovega mleka iz Ljubljane, Kobarida in Bohinjske Bistrice.



Slika 5.6 | Koncentracije aktivnosti K-40, Cs-137 in Sr-90 v posamičnih dvomesečnih vzorcih mleka v prahu iz Murske Sobote.



Slika 5.7 | Povprečne letne koncentracije aktivnosti Cs-137, Cs-134 in Sr-90 v mleku z različnih lokacij od leta 1986 dalje.

5.3 Hrana

Program meritev radioaktivnosti v vzorcih hrane je bil v letu 2020 enak kot v prejšnjih letih in vsebuje meritve koncentracij aktivnosti radionuklidov v najpomembnejših živilih rastlinskega in živalskega porekla, ki se sezonsko jemljejo na različnih področjih po Sloveniji, v Prekmurju, na Štajerskem, na Gorenjskem, na Primorskem, na Notranjskem in na Dolenjskem. Lokacije vzorčenja so prikazane na zemljevidu na sliki 5.8. V letu 2008 smo začeli tudi z analizo celotnega obroka otroške hrane v vrtcih večjih mest.

5.3.1 Živila živalskega izvora

V preteklem letu smo vzorčili in analizirali osem vzorcev živil živalskega izvora:

- jajca (Pivka),
- svinjsko meso (Markovci),
- goveje meso (Sežana),
- postrvi (Podbočje),
- piščanče meso (Apače),
- med (Beltinci),
- divjačina – srnjak (Železniki) in
- kravji sir (Kobarid).

Rezultati meritev so prikazani v poglavju 8 v tabeli 8.33.

Povprečna koncentracija aktivnosti Cs-137 v vseh vzorcih je $0,45 \pm 0,79$ Bq/kg in Sr-90 $0,06 \pm 0,13$ Bq/kg. Najvišja vsebnost Cs-137 oziroma Sr-90 je bila izmerjena v vzorcu divjačine oziroma siru, in sicer $2,2 \pm 0,1$ Bq/kg oziroma $0,39 \pm 0,09$ Bq/kg.

Dolgoročni trendi

Trend povprečnih vrednosti koncentracij aktivnosti Cs-137 in Sr-90 v izbranih vzorcih je za večjo preglednost prikazan v grafih na spodnji sliki 5.9 od 2008 naprej. Zaradi dokaj naključne izbire vzorcev z različnimi aktivnostmi in z različnih lokacij je težko med seboj kvantitativno primerjati izmerjene vrednosti po letih, bi pa v primeru novih kontaminacij življenjskega okolja takšne anomalije na grafu vsekakor izstopale. Prav tako v letnih povprečjih izločimo zelo specifične vzorce, kjer zaradi metabolizmov pride do večje akumulacije umetnih radionuklidov.

5.3.2 Žitarice in žitni izdelki

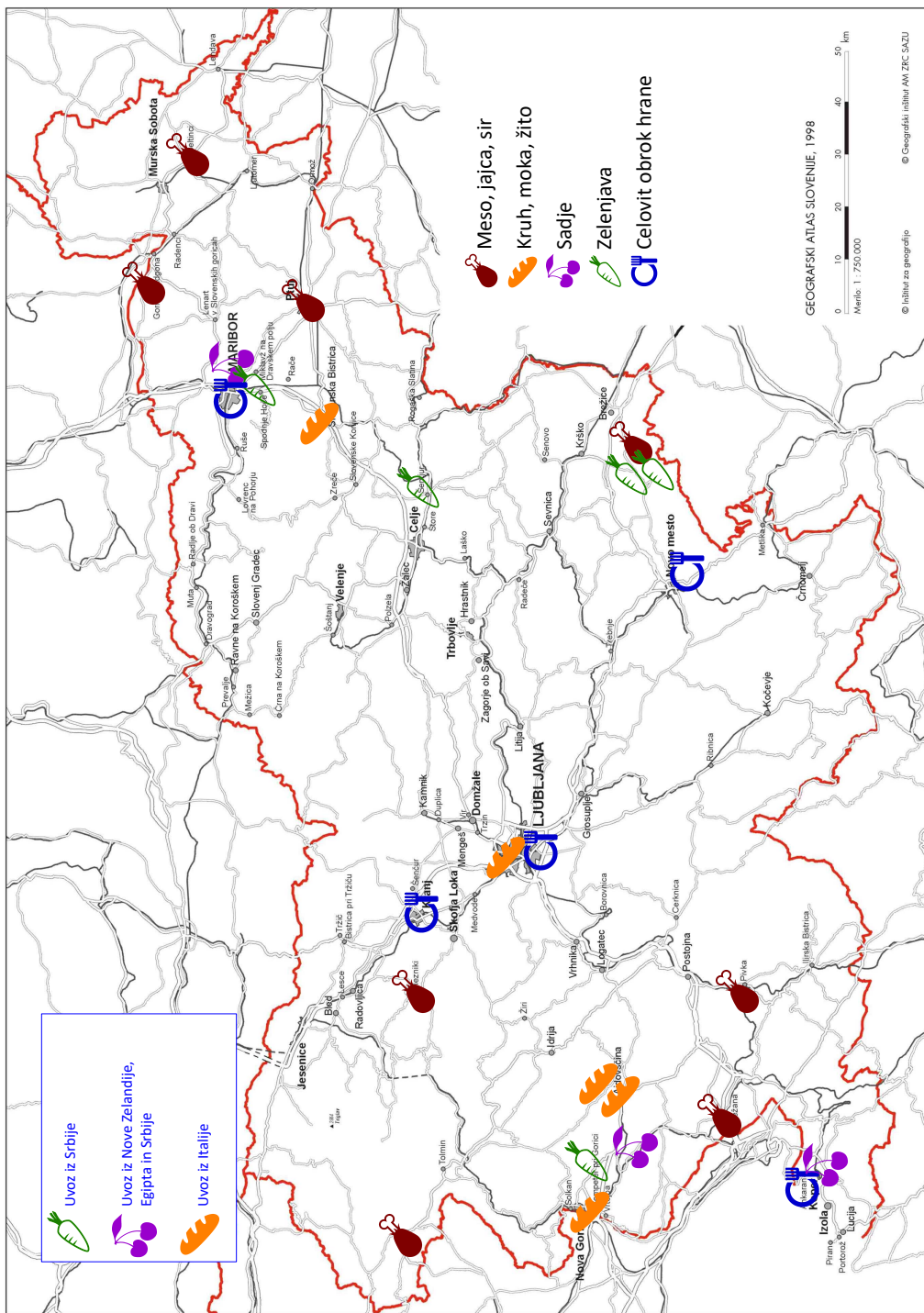
V preteklem letu smo vzorčili in analizirali šest vzorcev žitaric in žitnih izdelkov:

- polnozrnati kruh (Nova Gorica),
- bela moka (Ajdovščina),
- beli kruh (Ljubljana),
- bela moka (Ajdovščina),
- oves (Slovenska Bistrica) in
- koruza (Italija).

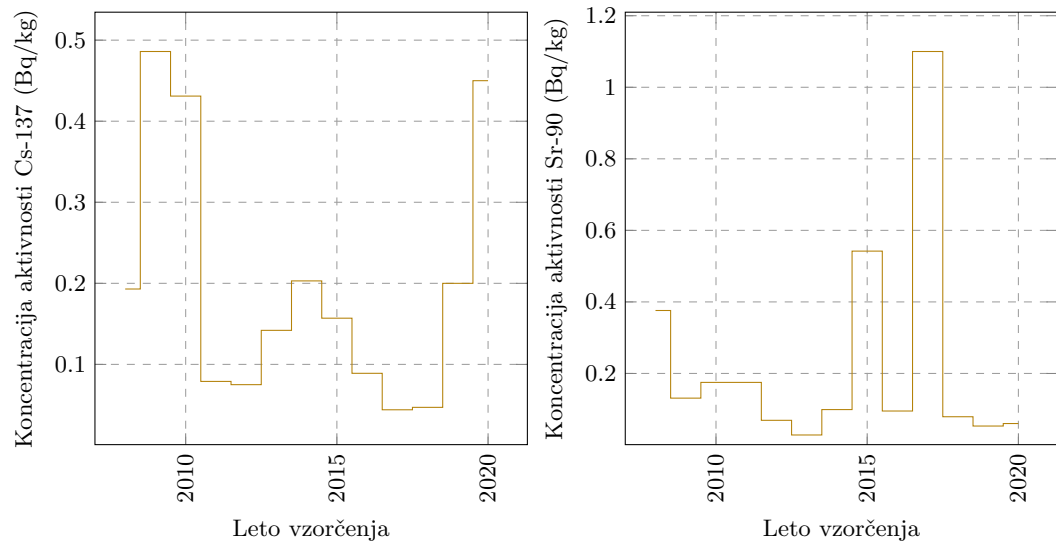
Rezultati meritev so prikazani v poglavju 8 v tabeli 8.34. Povprečna koncentracija aktivnosti Cs-137 je 65 ± 63 mBq/kg, Sr-90 pa nismo izmerili nad mejo detekcije v nobenem vzorcu.

Dolgoročni trendi

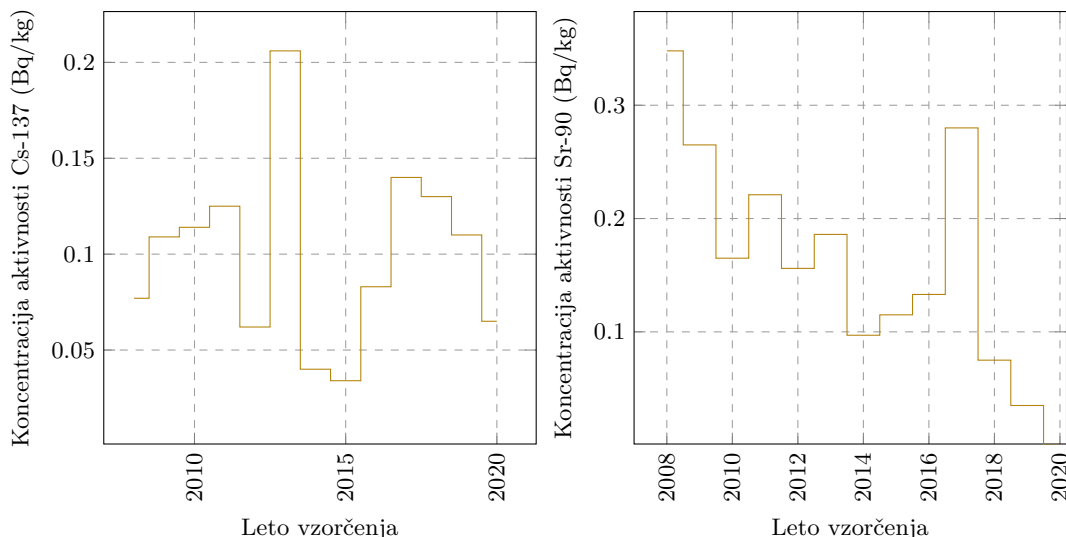
Trend povprečnih vrednosti koncentracij aktivnosti Cs-137 in Sr-90 v izbranih vzorcih je za večjo preglednost prikazan v grafih na spodnji sliki 5.10 od 2008 naprej. Zaradi dokaj naključne izbire vzorcev z različnimi aktivnostmi in z različnih lokacij je težko med seboj kvantitativno primerjati izmerjene vrednosti po letih, bi pa v primeru novih kontaminacij življenjskega okolja takšne anomalije na grafu vsekakor izstopale.



Slika 5.8 | Lokacije vzorčenja vzorcev živil.



Slika 5.9 | Povprečne letne koncentracije aktivnosti Cs-137 in Sr-90 v živilih živalskega izvora od leta 2008 dalje (povprečje vseh vzetih vzorcev razen medu in divjačine).



Slika 5.10 | Povprečne letne koncentracije aktivnosti Cs-137 in Sr-90 v žitaricah in žitnih izdelkih od leta 2008 dalje (povprečje vseh vzetih vzorcev).

5.3.3 Zelenjava

V preteklem letu smo vzorčili in analizirali šest vzorcev zelenjave:

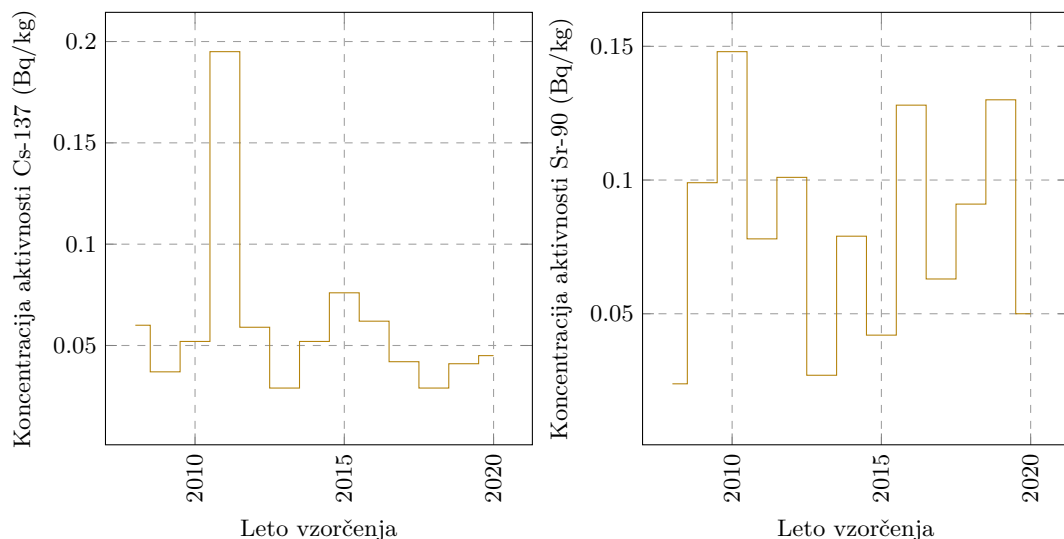
- solata (Podbočje),
- krompir (Podbočje),
- čebula (Orehovlje - Miren),
- jurčki (Srbija),
- paradižnik (Šentjur) in
- zelje (Maribor).

Rezultati meritev so prikazani v poglavju 8 v tabeli 8.36. Povprečna koncentracija

aktivnosti v vseh vzorcih (razen gob) Cs-137 je 64 ± 15 mBq/kg in Sr-90 50 ± 67 mBq/kg. Vsebnosti Cs-137 so bile le v sledovih in praviloma zelo nizke v večini vzorcev. Izjema so le gobe – sveži jurčki iz Srbije –, ki imajo za več velikostnih redov višjo aktivnost $2,2 \pm 0,1$ Bq/kg in jih v izračunu povprečja niti v izračunu doz ne upoštevamo, saj ne predstavljajo reprezentativnega vzorca za prehranjevalne navade.

Dolgoročni trendi

Trend povprečnih vrednosti koncentracij aktivnosti Cs-137 in Sr-90 v izbranih vzorcih je za večjo preglednost prikazan v grafih na spodnji sliki 5.11 od 2008 naprej. Zaradi dokaj naključne izbire vzorcev z različnimi aktivnostmi in z različnih lokacij je težko med seboj kvantitativno primerjati izmerjene vrednosti po letih, bi pa v primeru novih kontaminacij življenjskega okolja takšne anomalije na grafu vsekakor izstopale.



Slika 5.11 | Povprečne letne koncentracije aktivnosti Cs-137 in Sr-90 v zelenjavi od leta 2008 dalje (povprečje vseh vzetih vzorcev brez gob).

5.3.4 Sadje

V preteklem letu smo vzorčili in analizirali šest vzorcev sadja:

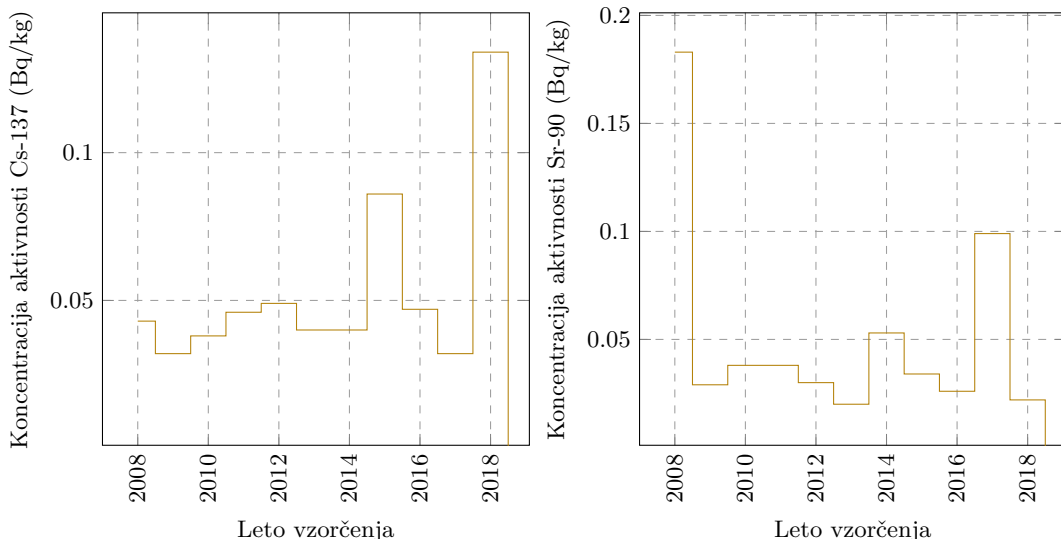
- kivi (Nova Zelandija),
- grozdje (Egipt),
- slive (Srbija),
- jabolka (Koper),
- hruške (Malečnik) in
- breskve (Dornberk).

Rezultati meritev so prikazani v poglavju 8 v tabeli 8.35. V vseh vzorcih so bili izmerki Cs-137 in Sr-90 pod mejo detekcije.

Dolgoročni trendi

Trend povprečnih vrednosti koncentracij aktivnosti Cs-137 in Sr-90 v izbranih vzorcih je za večjo preglednost prikazan v grafih na spodnji sliki 5.12 od 2008 naprej. Zaradi dokaj naključne izbire vzorcev z različnimi aktivnostmi in z različnih lokacij je težko med seboj kvantitativno primerjati izmerjene vrednosti po letih, bi pa v primeru novih

kontaminacij življenjskega okolja takšne anomalije na grafu vsekakor izstopale. Prav tako v letnih povprečjih izločimo zelo specifične vzorce, kjer zaradi metabolizmov pride do večje akumulacije umetnih radionuklidov.



Slika 5.12 | Povprečne letne koncentracije aktivnosti Cs-137 in Sr-90 v sadju od leta 2008 dalje (povprečje vseh vzetih vzorcev razen specifičnih z večjo akumulacijo).

5.3.5 Otroška hrana

V preteklem letu smo vzorčili in analizirali 5 vzorcev iz Kopra, Ljubljane, Novega mesta, Maribora in Kranja. Rezultati meritev so prikazani v poglavju 8 v tabeli 8.37. Povprečna koncentracija aktivnosti Cs-137 je 26 ± 17 mBq/kg, meritve Sr-90 so bile vse pod mejo detekcije.

Dolgoročni trendi

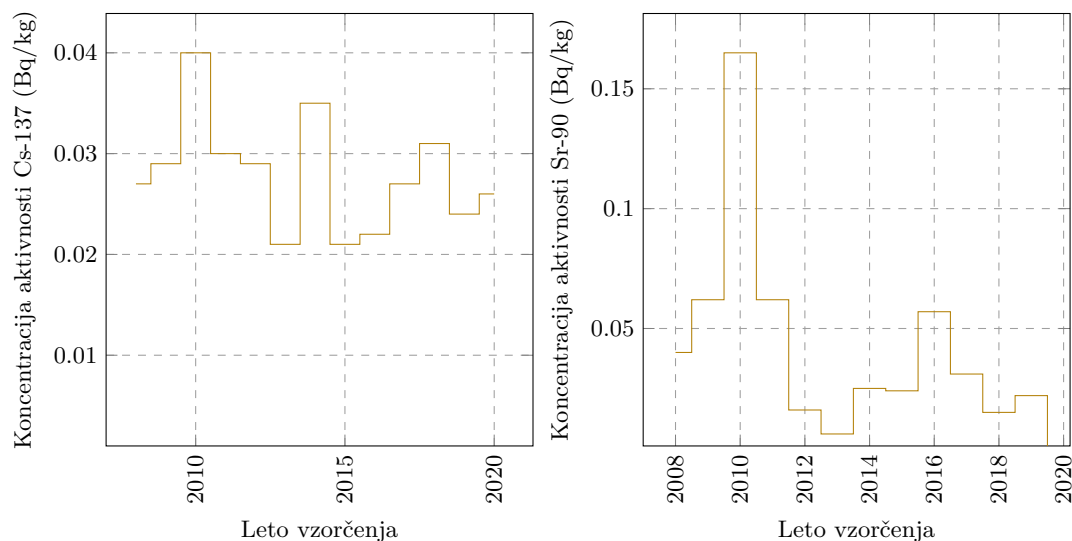
Trend povprečnih vrednosti koncentracij aktivnosti Cs-137 in Sr-90 v izbranih vzorcih je za večjo preglednost prikazan v grafih na spodnji sliki 5.13 od 2008 naprej. Zaradi dokaj naključne izbire vzorcev z različnimi aktivnostmi in z različnih lokacij je težko med seboj kvantitativno primerjati izmerjene vrednosti po letih, bi pa v primeru novih kontaminacij življenjskega okolja takšne anomalije na grafu vsekakor izstopale.

5.4 Krmila

V preteklem letu smo vzorčili in analizirali deset vzorcev krme:

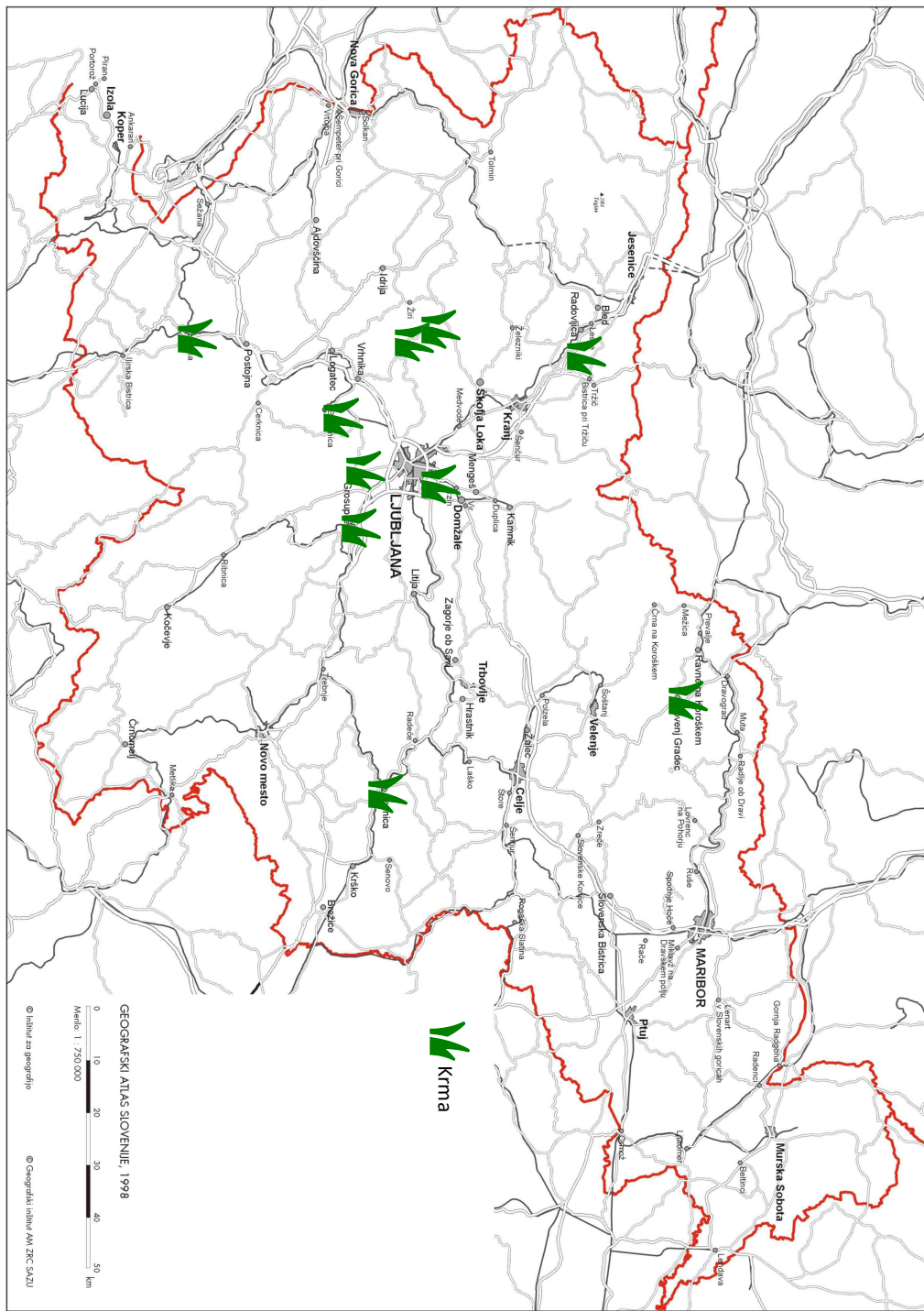
- 2 vzorca travne silaže,
- 2 vzorca koruzne silaže,
- 3 vzorci sena,
- 1 vzorec sveže trave in
- 2 vzorca krmne mešanice.

Lokacije vzorčenja (Žirovski vrh (2x), Sevnica, Slovenj Gradec, Ig, Grosuplje, Ljubljana, Pivka, Borovnica, Begunje na Gorenjskem) so prikazane na zemljevidu na sliki 5.14.

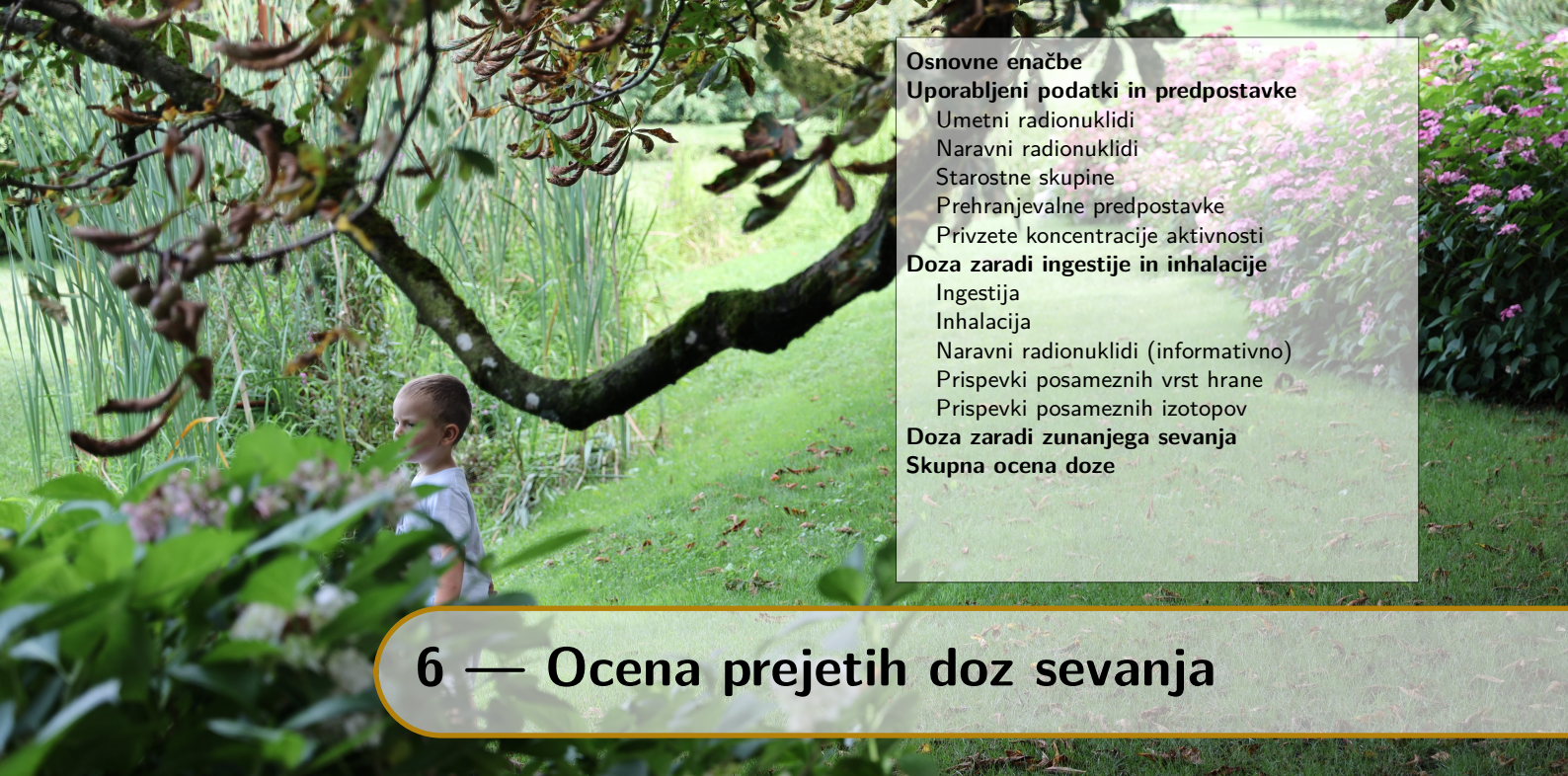


Slika 5.13 | Povprečne letne koncentracije aktivnosti Cs-137 in Sr-90 v obrokih otroške hrane od leta 2008 dalje (povprečje vseh vzetih vzorcev).

Rezultati meritev so prikazani v poglavju 8 v tabeli 8.38. Povprečna koncentracija aktivnosti Cs-137 je $1,9 \pm 3,0$ Bq/kg in Sr-90 $1,0 \pm 2,0$ Bq/kg.



Slika 5.14 | Lokacije vzorčenja vzorcev krme.



Osnovne enačbe
Uporabljeni podatki in predpostavke
Umetni radionuklidi
Naravni radionuklidi
Starostne skupine
Prehranjevalne predpostavke
Prizete koncentracije aktivnosti
Doza zaradi ingestije in inhalacije
Ingestija
Inhalacija
Naravni radionuklidi (informativno)
Prispevki posameznih vrst hrane
Prispevki posameznih izotopov
Doza zaradi zunanjega sevanja
Skupna ocena doze

6 — Ocena prejetih doz sevanja

6.1 Osnovne enačbe

Na podlagi meritev prikazanih v tabelah od 8.3 do 8.38 v poglavju 8 smo v prejšnjih poglavjih analizirali dobljene rezultate. V nadaljevanju tako ocenujemo doze posameznikov iz prebivalstva, ki so izpostavljeni sevanju zaradi dolgoživih umetnih radionuklidov, ki so posledica bodisi jedrskeih bombnih poskusov v preteklosti bodisi jedrskeh nesreč z velikimi izpusti (Černobil in Fukušima). Oceno doz smo izvedli samo za umetne radionuklide in ocenili njihov dodatni prispevek k izpostavljenosti prebivalstva poleg siceršnje izpostavljenosti naravnim radionuklidom (le-te tu ne ocenujemo).

Efektivno dozo sevanja, E , za posameznika iz starostne skupine prebivalstva, g, sestavljata efektivna doza zaradi zunanjega obsevanja zaradi radioaktivnega useda v zemlji¹, E_z , ter predvidena efektivna doza na enoto vnosa zaradi notranjega obsevanja, E_n . Slednja je vsota dveh prispevkov, prvi je predvidena efektivna doza zaradi zaužitja trdne in tekoče hrane (ingestija) ter vode, E_{ing} , in drugi predvidena efektivna doza zaradi vdihavanja radioaktivnih plinov in aerosolov (inhalacija), E_{inh} . Prenosne poti izpostavljenosti so shematsko prikazane na sliki 6.1. Efektivna doza E je torej

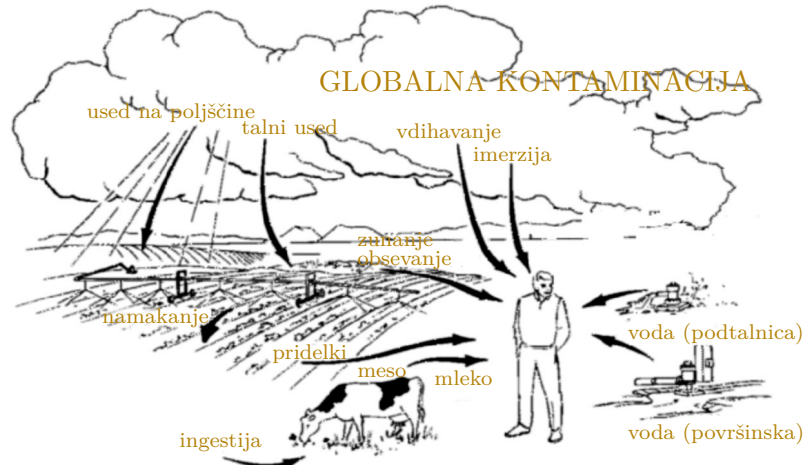
$$E = E_z + E_{ing} + E_{inh} \quad (6.1)$$

Efektivna doza zaradi zunanjega obsevanja, E_z , je vsota dveh prispevkov, prvi je enak produktu hitrosti osebnega ekvivalenta doze zunanjega sevanja, $H_p(10)/t$ (v $\mu\text{Sv}/\text{h}$) in času zadrževanja na prostem T_z (v urah), drugi pa je enak produktu hitrosti osebnega ekvivalenta doze zunanjega sevanja, $H_p(10)/t$ (v $\mu\text{Sv}/\text{h}$), času zadrževanja v bivalnem okolju T_n in faktorju ščitenja, $F = 0,9$, za prebivalce na deželi, za mestno populacijo pa lahko privzamemo faktor ščitenja, $F = 0,95$, ker je manj travnatih površin, ki so kontaminirane s Cs-137,

$$E_z = \frac{H_p(10)}{t} T_z + \frac{H_p(10)}{t} T_n (1 - F) \quad (6.2)$$

Običajno se upošteva celotno število ur v tekočem letu, T , in delež zadrževanja na

¹imerzijo v zraku lahko zanemarimo



Slika 6.1 | Shematski prikaz prenosnih poti za notranje in zunanje obsevanje.

prostemu 0,2 ter v bivalnem okolju 0,8, kar zapišemo

$$E_z = \frac{H_p(10)}{t} T(0,2 + 0,8(1 - F)) \quad (6.3)$$

Predvidena efektivna doza zaradi ingestije, E_{ing} , za posameznika iz prebivalstva za starostno skupino g je enaka produktu vnesene aktivnosti $A_{j,ing}$ (v Bq) posameznega radionuklida j in predvidene efektivne doze na enoto vnosa $h(g)_{j,ing}$ zaradi zaužitja hrane (v Sv/kg), ter sešteta po vseh radionuklidih, ki jih upoštevamo pri oceni doze,

$$E_{ing} = \sum_j h(g)_{j,ing} A_{j,ing} \quad (6.4)$$

kjer je vnesena aktivnost zaradi ingestije, $A_{j,ing}$, enaka produktu koncentracije aktivnosti radionuklida j , $c_{i,j,ing}$ (v Bq/kg) v posamezni vrsti hrane i in količini zaužite posamezne vrste hrane m_i (v kg) ter sešteta po vseh vrstah hrane i ,

$$E_{ing} = \sum_j c_{i,j,ing} m_i \quad (6.5)$$

Predvidena efektivna doza zaradi inhalacije, E_{inh} , za posameznika iz prebivalstva za starostno skupino g je enaka produktu vnesene aktivnosti $A_{j,inh}$ (v Bq) posameznega radionuklida j in predvidene efektivne doze na enoto vnosa $h(g)_{j,inh}$ zaradi vdihavanja (v Sv/Bq), ter sešteta po vseh radionuklidih,

$$E_{inh} = \sum_j h(g)_{j,in} A_{j,in} \quad (6.6)$$

kjer je vnesena aktivnost zaradi inhalacije, $A_{j,in}$, enaka produktu koncentracije aktivnosti radionuklida j , v zraku, $c_{j,in}$ (v Bq/m³), količini vdihanega zraka na uro Φ (v m³/h) in številu ur v predvidenem časovnem obdobju (tekoče leto), T (v urah),

$$A_{j,in} = c_{j,in} \Phi T \quad (6.7)$$

6.2 Uporabljeni podatki in predpostavke

Oceno efektivnih doz sevanja zaradi vnosa radionuklidov, ki so posledica jedrskih bombnih poskusov v preteklosti in černobilske nesreče, v organizem s prehranjevanjem in vdihavanjem ter zaradi zunanjih doz za posamezne starostne skupine (dojenčki do enega leta starosti; otroci, stari od 7 do 12 let in odrasli, starejši od 17 let) smo naredili na podlagi rezultatov meritev koncentracij aktivnosti v vzorcih hrane, zraka in pitne vode. Meritev zunanjih doz gama sevanja s TL dozimetri ne upoštevamo, saj zaradi večje merilne negotovosti ne moremo izluščiti prispevka naravnega ozadja od prispevka dolgoživih radionuklidov zaradi jedrskih poskusov in nesreče v Černobilu. Rezultati so podani v μSv .

6.2.1 Umetni radionuklidi

Efektivne doze za vse tri starostne skupine smo ocenili le za umetna radionuklida, Cs-137 in Sr-90, ki sta posledica globalne kontaminacije zaradi černobilske nesreče in bombnih poskusov. Efektivno dozo zaradi H-3 smo ocenili samo za pitno vodo, v ostalih vzorcih hrane in zraka se H-3 ni določal. H-3 se določa samo v vzorcih hrane iz okolice NE Krško, kar je zajeto v programu meritev radioaktivnosti v okolici NEK in kjer so doze analizirane v pripadajočih poročilih [42].

6.2.2 Naravni radionuklidi

Doze za K-40 ne podajamo, saj dozimetrični modeli upoštevajo, da se nahaja K-40 v organizmu v homeostatskem ravovesju, zato bi bili izračuni doz za ta izotop nerealni. Ocenili smo tudi efektivno dozo zaradi vnosa drugih naravnih radionuklidov v telo z ingestijo in inhalacijo, vendar smatramo, da je število meritev premajhno in nerepresentativno, da bi lahko dobili prave povprečne vrednosti koncentracij aktivnosti naravnih radionuklidov, ki se razlikujejo tudi za faktor 10 ali več v isti vrsti hrane. En sam lokalno odvzeti vzorec hrane je premalo za realno oceno doze, zato bi bile ocnjene doze lahko previsoke. Poleg tega so detekcijske meje merilnih metod blizu vrednostim koncentracij aktivnosti v vzorcih, meritev pa je obremenjena z veliko negotovostjo. Zato doz zaradi naravnih radionuklidov ne poročamo, v informacijo podajamo le izračun za Pb-210, zaradi njegovega visokega pretvorbenega doznega faktorja.

6.2.3 Starostne skupine

Do leta 2003 se je ocenjevala efektivna doza za dve starostni skupini, in sicer za otroke do 5 let in odrasle. Na podlagi pravilnika SV5 [3] se ocenjujejo efektivne doze za tri starostne skupine, in sicer dojenčke do enega leta starosti, otroke stare od 7 do 12 let in odrasle.

6.2.4 Prehranjevalne predpostavke

Po podatkih kuhinje Pediatrične klinike v Ljubljani (marec 2005) popijejo dojenčki do šestega meseca od 0,6–1,0 litra mleka na dan (v obliki adaptiranega kravjega mleka, če niso dojeni). Po šestih mesecih se količina mleka zmanjša na 0,5–0,7 litra na dan, ker začnejo uživati sadje, zelenjavno in meso. V naši oceni smo za dojenčke upoštevali podatke Pediatrične klinike v Ljubljani, ki so navedeni v tabeli 6.1.

Za otroke od 7 do 12 let smo upoštevali podatke IAEA (za Nemčijo), tabela III [73], ki združuje podatke o porabi hrane za otroke od 7 do 12 let, ker za Slovenijo ni ustreznih podatkov za to starostno skupino.

Za odrasle smo upoštevali zadnje dostopne podatke Statističnega urada RS, in sicer za zadnjih 5 let zbranih podatkov [74] (do leta 2018 smo uporabljali fiksne podatke

za leto 2004 [75]). V primeru odraslih smo poleg statističnega povprečja upoštevali dve referenčni skupini prebivalstva, živečih v urbanem in ruralnem območju, ki imajo hipotetično različne prehranjevalne navade (za ti dve skupini so količine arbitrarne popravljene, kjer v mestih upoštevamo 10% manjšo porabo sadja in zelenjave ter mleka, na podeželju pa 10% večjo porabo teh živil), dodatno je zanje privzet tudi različen delež časa zadrževanja na prostem ali v zaprtih prostorih (kot je opisano v podpoglavlju 6.4 in tabeli 6.5)

Privzete količine zaužite hrane in vode v enem letu so podane v tabeli 6.1.

Tabela 6.1 | Podatki o letni količini zaužite hrane za starostne skupine

Starostna skupina	Povprečna količina zaužite hrane v enem letu (kg)							(m ³) voda
	zelenjava ¹	sadje ²	moka ³	meso ⁴	mleko _{LJ}	mleko _{KO}	mleko _{BB}	
dojenčki	22,5	22,5	11,0	7,5	199,4	199,4	199,4	0,165
7-12 let	76,3	37,6	55,8	71,9	73,0	73,0	73,0	0,465
odrasli	85,9	86,4	56,6	52,6	54,3	54,3	54,3	0,750
v mestu	77,3	77,7	56,6	52,6	48,9	48,9	48,9	0,750
na podeželju	94,5	95,0	56,6	52,6	59,7	59,7	59,7	0,900

¹ zelenjava vseh vrst ² sadje vseh vrst; sadni sokovi ³ riž; kruh in drugi pekovski izdelki; testenine in kuskus; moka vseh vrst, kosmiči in zdrob ⁴ meso in mesni izdelki; ribe (sveže in zamrznjene); jajca

Zaradi lokalnih posebnosti zaradi povišanih vrednosti Cs-137 kot posledica useda izpustov med černobilsko nesrečo smo naredili oceno doz zaradi ingestije mleka za tri lokacije, in sicer za Ljubljano (kot slovensko povprečje) ter za Kobarid in Bohinjsko Bistrico (povišane vrednosti).

Oceno doz opišemo tako za tri starostne skupine prebivalstva, upoštevamo različne lokacije zaradi ingestije mleka ter različne prehranjevalne navade prebivalcev v urbanem in ruralnem območju. Razdelitev skupin je shematsko predstavljena na spodnji sliki 6.2, kjer so posamezne podmnožice prebivalstva Slovenije označene z oznakami od A1 do E3 in za odrasle referenčne skupine zelo arbitrarно prikazane na zemljevidu Slovenije (prebivalci nimajo zelo ozkih prehranjevalnih navad).

6.2.5 Privzete koncentracije aktivnosti

Povprečne vrednosti koncentracij aktivnosti umetnih radionuklidov – Cs-137, Sr-90 in H-3 – v hrani, pitni vodi in zraku za leto 2020 so predstavljene v tabeli 6.2. Podatke za naravni radionuklid Pb-210 zgolj zaradi primerjave podajamo le informativno.

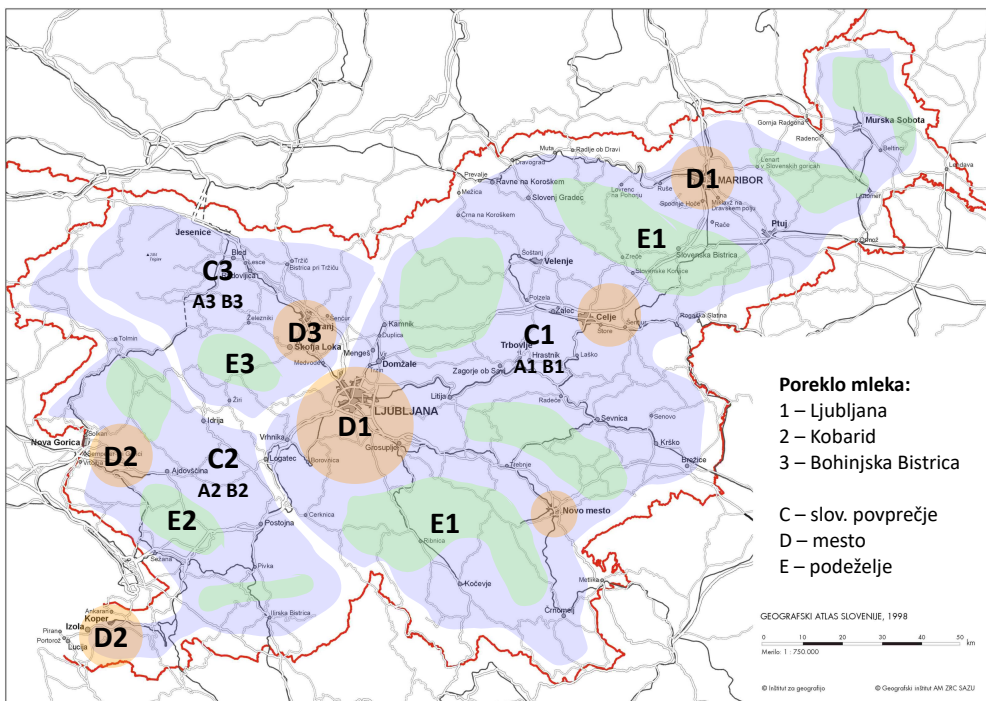
Tipično v povprečju za meso, sir in ostala živila živalskega izvora ne upoštevamo vrednosti za nekatero divjačino, v povprečju za sadje vrednosti za gozdne sadeže in v povprečju za zelenjavo vrednosti za gobe, v kolikor te vrednosti odstopajo od vrednosti siceršnjih vzorcev za en ali več velikostnih redov, saj teh živil povprečni prebivalec relativno malo zaužije v celotni prehrani, v samem povprečju koncentracij aktivnosti pa bistveno dvignejo vrednosti. Zato bi bili izračuni doz nerealni.

Za inhalacijo zraka v izračunih doz upoštevamo slovensko povprečje izmerjene vrednosti na vseh treh merskih lokacijah.

6.3 Doza zaradi ingestije in inhalacije

Pri oceni efektivne doze zaradi vnosa z ingestijo smo upoštevali enačbi 6.3 in 6.4, podatke o količini zaužite hrane za različne starostne skupine iz tabele 6.2 in povprečne vrednosti koncentracij aktivnosti radionuklidov v različnih vrstah hrane in pitne vode iz tabele 6.2, pri mleku smo upoštevali koncentracije aktivnosti za Ljubljano, Kobarid in

	Dojenčki	Otroci	Odrasli	Mesto	Podeželje
Ljubljana	A1	B1	C1	D1	E1
Kobarid	A2	B2	C2	D2	E2
Bohinjska Bistrica	A3	B3	C3	D3	E3



Slika 6.2 | Shematski prikaz določitve različnih starostnih in referenčnih skupin, ki so specifične bodisi zaradi lokacije bodisi prehranjevalnih navad.

Bohinjsko Bistrico. Vrednosti iz Ljubljane upoštevamo za slovensko povprečje, vrednosti iz Kobarida in Bohinjske Bistrice pa za lokalno posebnost zaradi povišanih vrednosti Cs-137 kot posledico černobilske nesreče. Upoštevali smo dozne pretvorbene faktorje iz uredbe UV2 oziroma zbirke ICRP 119 [4, 76].

6.3.1 Ingestija

V tabeli 6.3 so prikazane efektivne doze zaradi ingestije posamezne vrste hrane in vode ter zaradi inhalacije dolgoživih černobilskih cepitvenih produktov – Cs-137 in Sr-90

Tabela 6.2 | Povprečne koncentracije aktivnosti sevalcev gama in Sr-90 ter H-3 v hrani, pitni vodi in zraku za leto 2020

Izotop	Privzete koncentracije aktivnosti vzorcev						(Bq/kg) voda	(Bq/m ³) zrak	(mBq/m ³) zrak
	zelenjava	sadje	moka	meso	mleko _{LJ}	mleko _{KO}			
Cs-137	0,064	0	0,065	0,448	0,030	0,034	0,026	0,015	2,1E-03
Sr-90	0,050	0	0	0,061	0,019	0,025	0,024	0,586	0
H-3	0	0	0	0	0	0	0	497	0
Pb-210	0,473	0,208	0,032	0,315	0,125	0,137	0,194	1,68	0,582

Pb-210 – le informativno

(vpliv H-3 je zanemarljiv) – za dojenčke do 1 leta, otroke od 7 do 12 let in za odrasle za umetne radionuklide v hrani. Doza za odraslega prebivalca je v letu 2020 ocenjena na $0,7 \pm 0,4 \mu\text{Sv}$, za ostale skupine prebivalstva z upoštevanjem nekaterih posebnosti so doze višje, kot je razvidno iz omenjene tabele.

Efektivne doze v letu 2020 zaradi ingestije so primerljive s prejšnjimi leti (od 2003 dalje). V letu 2008 je opazna rahlo višja ocenjena vrednost, ki je posledica predvsem višje povprečne vrednosti Sr-90 v izbranih vzorcih zelenjave. V letu 2013 smo posodobili podatke o prehrani odraslih, kjer smo našli najnovejše podatke objavljene v letu 2006 [75], a se ti ne razlikujejo bistveno od starih. V letu 2019 smo ponovno posodobili podatke o prehrani [74], kjer so opazne razlike, predvsem manjše zaužite količine določenih vrst hrane. Zato je v letu 2020 v okviru statističnih odstopanj izbire in vzorčenja hrane pričakovano nižja ocenjena doza kot v letih pred 2019.

6.3.2 Inhalacija

Doze zaradi inhalacije dobimo ob upoštevanju koncentracij radionuklidov v zraku, izmerjenih v Ljubljani. Ocenjene efektivne doze zaradi inhalacije so za vse tri starostne skupine iz prebivalstva, dojenčke do enega leta, otroke od 7 – 12 let oziroma odrasle podobne kot v prejšnjih letih, in sicer $0,08 \text{ nSv}$, $0,11 \text{ nSv}$ oziroma $0,13 \text{ nSv}$. Izjema je leto 2017, ko so bile doze bistveno višje od prejšnjih let zaradi vdihavanja radioaktivnega oblaka z Ru-106 [77], in sicer $0,11 \pm 0,08 \mu\text{Sv}$, je pa bil takratni prispevek Cs-137 k tej dozi primerljiv z ostalimi leti. V letu 2020 je zaradi gozdnega požara v izključitveni coni okrog jedrske elektrarne v Černobilu bilo v prvi polovici aprila zaznano rahlo višja koncentracija Cs-137 v zraku, vendar to na letnem nivoju zanemarljivo prispeva k dozi.

6.3.3 Naravni radionuklidi (informativno)

Za naravne radionuklide v tabeli 6.4 le informativno podajamo efektivno dozo samo zaradi ingestije in inhalacije Pb-210, ki ima velik dozni pretvorbeni faktor. Najvišja vrednost je za dojenčke do enega leta starosti in znaša $368 \mu\text{Sv}$, za otroke od 7 do 12 let znaša $156 \mu\text{Sv}$ in za odrasle $66 \mu\text{Sv}$, kjer upoštevamo ingestijo mleka v Ljubljani.

6.3.4 Prispevki posameznih vrst hrane

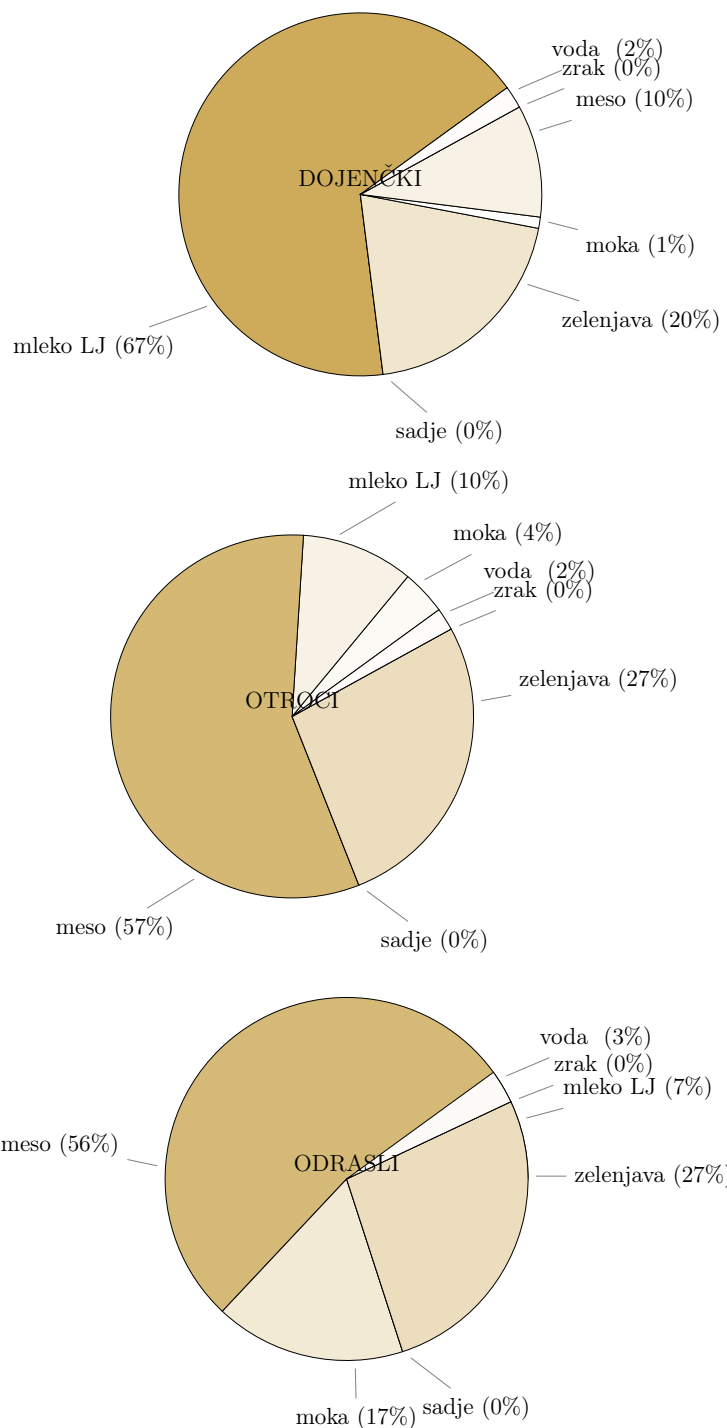
Na sliki 6.3 smo za primer vnosa ljubljanskega mleka analizirali relativne prispevke posameznih vrst hrane, vode in zraka k skupni dozi zaradi ingestije in inhalacije. Pri dojenčkih k dozi zaradi specifične prehrane prevladuje prispevek mleka (več kot polovico). Pri otrocih in odraslih v letu 2020 prevladuje prispevek mesa – posamezni prispevki k dozi delno variirajo z leti in je predvsem statistična posledica izbire različnih vzorcev po različnih lokacijah v Sloveniji.

Tabela 6.3 | Efektivne doze zaradi ingestije in inhalacije umeđenih radionuklidov za različne skupine prebivalstva v letu 2020.

Izotop	zelenjava	sadje	moka	meso	vrsta vzorca			
					mlekoLJ	mlekoKO	mlekOB	voda
Letna efektivna doza - ingestija in inhalacija - dojenčki (μSv)								
Cs-137	0,02	0	0,01	0,04	0,07	0,07	0,06	5,30E-05
Sr-90	0,26	0	0	0,11	0,87	1,14	1,12	2,22E-02
H-3	0	0	0	0	0	0	0	5,25E-03
Skupaj	0,27±0,34	0	0,01±0,05	0,14±0,23	0,93±0,45	1,21±0,81	1,17±1,43	0,03±0,02
Letna efektivna doza - ingestija in inhalacija - otroci (μSv)								
Cs-137	0,05	0	0,04	0,32	0,02	0,02	0,02	7,11E-05
Sr-90	0,23	0	0	0,26	0,08	0,11	0,11	1,63E-02
H-3	0	0	0	0	0	0	0	5,32E-03
Skupaj	0,28±0,31	0	0,04±0,07	0,59±0,79	0,10±0,04	0,13±0,08	0,13±0,14	0,02±0,01
Letna efektivna doza - ingestija in inhalacija - odrasli - splošno (μSv)								
Cs-137	0,07	0	0,05	0,31	0,02	0,02	0,02	1,49E-04
Sr-90	0,12	0	0	0,09	0,03	0,04	0,04	1,23E-02
H-3	0	0	0	0	0	0	0	6,71E-03
Skupaj	0,19±0,16	0	0,05±0,06	0,40±0,57	0,05±0,02	0,06±0,03	0,06±0,05	0,02±0,01
Letna efektivna doza - ingestija in inhalacija - odrasli - urbano okolje (μSv)								
Cs-137	0,06	0	0,05	0,31	0,02	0,02	0,02	1,49E-04
Sr-90	0,11	0	0	0,09	0,03	0,03	0,03	1,23E-02
H-3	0	0	0	0	0	0	0	6,71E-03
Skupaj	0,17±0,15	0	0,05±0,06	0,40±0,57	0,05±0,02	0,06±0,03	0,05±0,04	0,02±0,01
Letna efektivna doza - ingestija in inhalacija - odrasli - ruralno okolje (μSv)								
Cs-137	0,08	0	0,05	0,31	0,02	0,03	0,02	1,49E-04
Sr-90	0,13	0	0	0,09	0,03	0,04	0,04	1,23E-02
H-3	0	0	0	0	0	0	0	6,71E-03
Skupaj	0,21±0,18	0	0,05±0,06	0,40±0,57	0,06±0,02	0,07±0,03	0,06±0,05	0,02±0,01

Tabela 6.4 | Efektivne doze zaradi ingestije in inhalacije Pb-210 (je informativno) za različne skupine prebivalstva v letu 2020.

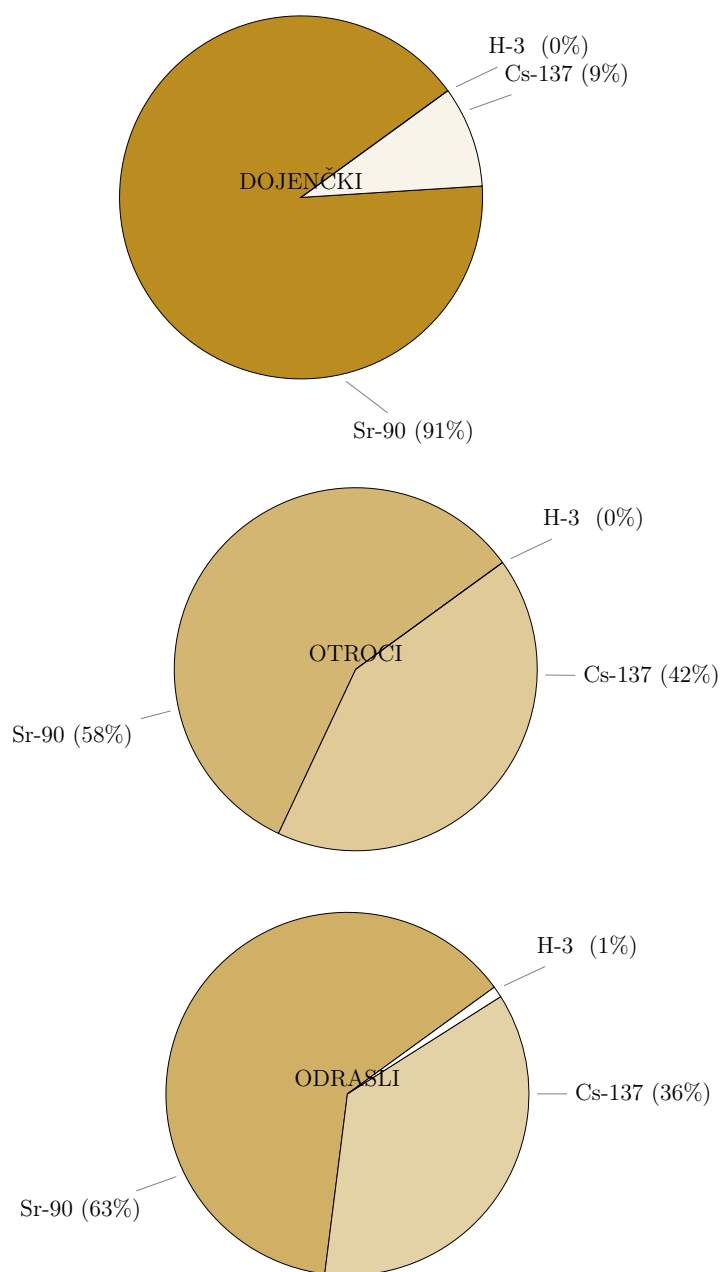
	vrsta vzorca								skupaj	skupaj	
	zelenjava	sadje	moka	meso	mlekoLJ	mlekoko	malekobB	voda	zrak	ingestija	ing. in inh.
<i>Izotop</i>											
Pb-210	89,4	39,3	3,0	19,9	208,8	230,0	325,1	2,3	5,6	362,6	368,2
<i>Izotop</i>											
Pb-210	68,6	14,8	3,4	43,1	17,3	19,0	26,9	2,3	6,4	149,5	155,9
<i>Izotop</i>											
Pb-210	28,0	12,4	1,2	11,4	4,7	5,1	7,3	0,9	7,4	58,7	66,1
<i>Izotop</i>											
Pb-210	25,2	11,1	1,2	11,4	4,2	4,6	6,5	0,9	7,4	54,1	61,6
<i>Izotop</i>											
Pb-210	30,8	13,6	1,2	11,4	5,1	5,7	8,0	0,9	7,4	66,0	73,5



Slika 6.3 | Relativni prispevki k dozi zaradi ingestije in inhalacije posameznih vrst hrane, vode in zraka za tri starostne skupine prebivalstva (ljubljansko mleko).

6.3.5 Prispevki posameznih izotopov

Če primerjamo prispevke po posameznih izotopih, k dozi največ prispeva Sr-90, delež H-3 je zelo majhen (pod 1%), preostalo gre na račun Cs-137. Prispevek Sr-90 k dozi zaradi ingestije in inhalacije za dojenčke znaša v letu 2020 ~91%, za otroke ~58% in za odrasle ~63%, kot je tudi prikazano na sliki 6.4.



Slika 6.4 | Relativni prispevki k dozi posameznih radionuklidov za tri starostne skupine prebivalstva (ljubljansko mleko)

6.4 Doza zaradi zunanjega sevanja

Povprečni letni okoliški ekvivalent doze $H^*(10)$ zaradi zunanjega sevanja v letu 2020 je bil $873 \mu\text{Sv}$. Ker je ocena černobilске doze zunanjega sevanja na osnovi meritev TL dozimetrov zelo konservativna in ker je negotovost podatkov izmerjenih pred letom 1986 velika, smo ocenili dozo zunanjega sevanja s pomočjo globinske porazdelitve černobilskega Cs-137 v zemlji [78]. Izotop v zemlji ni več porazdeljen eksponentno, kot v prvih letih po nesreči, pač pa se je vrh premaknil v globlje plasti. Globina vrha je odvisna od lastnosti zemlje. Porazdelitev tako lahko deloma opišemo z Gaussovo funkcijo [79]. Širina porazdelitve pa je prav tako odvisna od definicijskih lastnosti zemlje. S pomočjo

te metode smo iz meritev koncentracij Cs-137 v zemlji ocenili dozo zunanjega sevanja za različne starostne in referenčne skupine prebivalstva. Pri tem smo tudi upoštevali različne deleže zadrževanja na prostem ali v zaprtih prostorih ter faktorje ščitenja v zaprtih prostorih (v mestih večje, na deželi manjše - glej tabelo 6.5), zato analiziramo doze za več referenčnih skupin, med drugim tudi za ruralno oziroma urbano območje.

Tabela 6.5 | Predpostavke o deležih zadrževanja v zaprtih prostorih in na prostem za izračun doz zunanjega sevanja

Lokacija	delež časa zadrževanja v zaprtih prostorih	faktor ščitenja na prostem	faktor ščitenja v zaprtih prostorih
slovensko povprečje	0,8	0,2	0,9
urbana področja	0,8	0,2	0,95
ruralna področja	0,7	0,3	0,85

V tabeli 6.7 so prikazane izračunane efektivne doze prejete zaradi zunanjega obsevanja zaradi černobilskega Cs-137 v zemlji. Doza za odraslega prebivalca Slovenije je v letu 2020 ocenjena na $5,9 \pm 0,2 \mu\text{Sv}$, za ostale skupine prebivalstva z upoštevanjem nekaterih posebnosti so doze višje, kot je razvidno iz tabele 6.7. Upoštevali smo dozne pretvorbene faktorje med Gy in Sv za različne starostne skupine prebivalcev po UNSCEAR poročilu iz leta 2000, in sicer 0,91 za dojenčke, 0,79 za otroke in 0,69 za odrasle. Ti pretvorbeni faktorji so konservativni, saj temeljijo na naravnih radionuklidih K-40, Th-232 in U-238, ker pa v izračunu doz upoštevamo le Cs-137, bi bili ti faktorji v skladu s priporočili ICRU Report 57 lahko 20% nižji.

Doza za odraslega prebivalca ocenjena za pretekla leta je prikazana v tabeli 6.6, kjer so vrednosti primerljive med sabo po letih. Drugačni oceni doze v letih 2006 in 2008 sta posledica druge lokacije vzorčenja zemlje v Ljubljani in vzorčevalca, kot je bila pred letom 2006 in nato ponovno v 2007. V vseh teh letih je bilo mesto odvzema vzorcev na lokaciji ob Cesti dveh cesarjev, v letih 2006 in 2008 je bila lokacija vzorčenja na Reaktorskem izobraževalnem centru v Podgorici. Od leta 2009 dalje je lokacija ponovno ob Cesti dveh cesarjev. Koncentracije aktivnosti izmerjene v vzorcih zemlje iz lokacije na Reaktorskem centru so nekajkrat nižje od tistih iz lokacije ob Cesti dveh cesarjev. Primerjava ocenjenih doz v preteklih letih nam pokaže, da je bila černobilska kontaminacija precej neenakomerna in da je lahko Cs-137 zaradi razgibanosti terena ter difuzijskih lastnosti zemlje difundiral do različnih globin na posameznih lokacijah. Zato smo ocenili tudi dozo zunanjega sevanja na dveh ostalih lokacijah z lokalno višjimi vrednostmi Cs-137 - Kobarid in Bohinjska Bistrica (za slednjo privzamemo enako vrednost kot za Kobarid, saj tam zemlje ne vzorčimo). Rezultati prejetih letnih doz za vse referenčne skupine, prikazane na sliki 6.2, so navedene v tabeli 6.7.

6.5 Skupna ocena doze

Na osnovi povprečne vrednosti koncentracij aktivnosti dolgoživih umetnih radionuklidov v vzorcih zraka, vode in hrane, odvzetih v letu 2020, povprečnem letnem vnosu posameznih vrst hrane in pitne vode ter ob upoštevanju doznih pretvorbenih faktorjev v uredbi UV2 [4] smo ocenili pričakovano efektivno dozo:

- za dojenčke do enega leta starosti,
- za otroke od 7 do 12 let in
- za odrasle.

Izračun efektivnih doz smo naredili za različne referenčne skupine prebivalstva (slika 6.2), ki odražajo starostne skupine splošnih predstavnikov prebivalstva, kakor tudi

Tabela 6.6 | Ocjenjene doze zaradi zunanjega obsevanja odraslih prebivalcev v preteklih letih

Leto	Doza zaradi zunanjega obsevanja (μSv)
2003	6,5
2004	6,5
2005	4,8
2006	1,45
2007	4,8
2008	6,7
2009	7,6
2010	7,8
2011	7,0
2012	7,7
2013	6,2
2014	6,4
2015	6,0
2016	6,1
2017	5,5
2018	4,7
2019	5,6
2020	5,9

specifične skupine bodisi zaradi lokalnih posebnosti, načinov prehranjevanja, bivanja ipd. Aktivnosti, zaužite s prehrano in vnesene v telo z dihanjem, ocenimo na podlagi izmerjenih vzorcev v preteklem letu. To pomeni, da lahko koncentracije aktivnosti v različnih vzorcih bistveno variirajo. Za izračun doz uporabimo metodologijo in enačbe predstavljene v poglavju 6.1, pri čemer za vhodne podatke uporabimo statistično obdelane vrednosti oziroma povprečne vrednosti aktivnosti z določeno negotovostjo oziroma standardno deviacijo ensambla vrednosti ($a \pm \sigma_a$). Izračun prejetih doz opravimo tako s povprečnimi vrednostmi, ki odraža realno oceno, za primerjavo pa izračun opravimo še za t.i. *zgornjo mejo doze* oziroma *najvišjo pričakovano dozo*, kjer na ta način pokrijemo $\sim 95\%$ vseh možnih primerov (95 % verjetnost, da doza posameznika iz prebivalstva ne preseže te izračunane vrednosti). Namesto negotovosti ocene doze je v našem primeru bolj smiselno podati zgornjo mejo letne doze, saj je razpon vrednosti predvsem posledica povprečenja vrednosti radionuklidov v posameznih vrstah vzorcev.

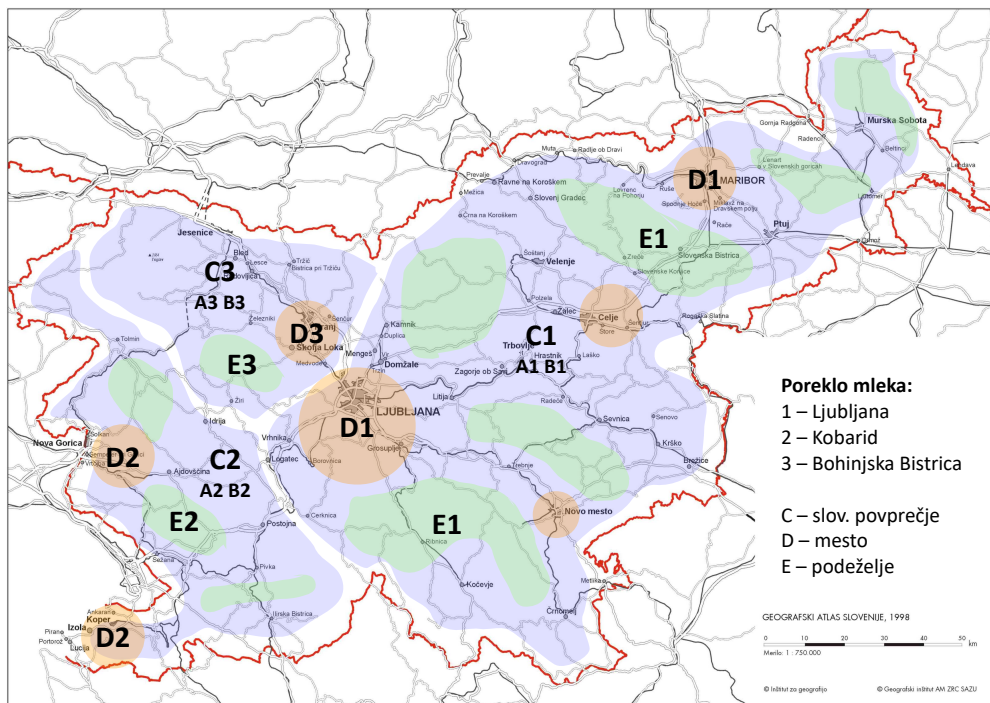
Rezultati ocjenjenih doz za preteklo leto so prikazani v tabeli 6.7.

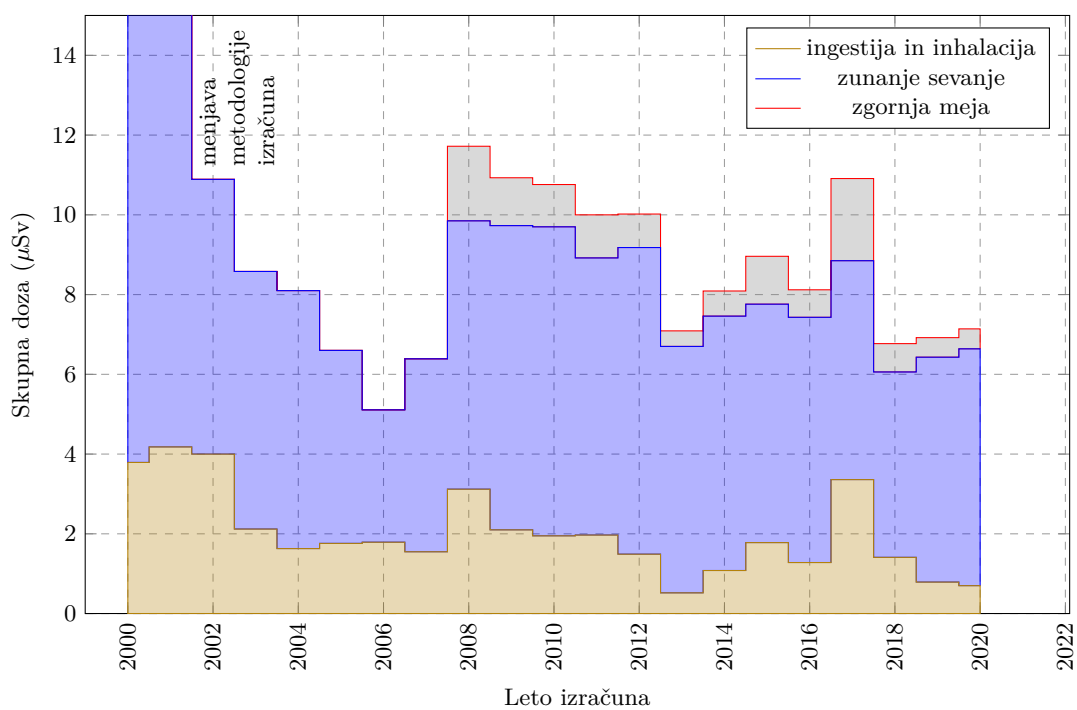
Skupna efektivna doza oziroma zgornja meja za odrasle zaradi vnosa umetnih radio-nuklidov v telo z ingestijo in inhalacijo ter zaradi zunanjega obsevanja tal znaša $6,6 \mu\text{Sv}$ oziroma $< 7,1 \mu\text{Sv}$ na leto za odrasle, $7,8 \mu\text{Sv}$ oziroma $< 8,5 \mu\text{Sv}$ na leto za otroke od 7. do 12. leta starosti in $9,2 \mu\text{Sv}$ oziroma $< 10,2 \mu\text{Sv}$ na leto za dojenčke. V hrani večji del doze prispeva Sr-90, k zunanjemu sevanju pa k dozi največ prispeva Cs-137. V letu 2020 je k dozi zaradi inhalacije največ prispeval Cs-137.

Na sliki 6.5 je prikazana časovna odvisnost ocjenjenih efektivnih doz za odraslega prebivalca Slovenije za obdobje od leta 2000 dalje. Na grafu je prikazana ločena doza zaradi prispevkov ingestije in inhalacije oziroma zunanjega sevanja. Padec doze zunanjega obsevanja v letu 2002 je posledica spremenjene metodologije vrednotenja doz. Do leta 2001 se je namreč dozo zunanjega sevanja zaradi černobilske kontaminacije ocenjevalo iz odčitkov TL dozimetrov, kar je bilo obremenjeno z veliko negotovostjo meritve (ocenjeni vrednosti dozi zunanjega sevanja sta znašali $53,7 \mu\text{Sv}$ in $50,0 \mu\text{Sv}$ v letih 2000 in 2001).

Tabela 6.7 | Obsevna obremenitev prebivalstva v letu 2020 zaradi kontaminacije okolja z dolgoživimi umetnimi radionuklidi

Starostna skupina	Prehramb. navade	Mleko	Ref. skupina	Prejeta letna ekvivalentna doza (μSv)			
				Ingestija in inhalacija	Zunanje sevanje	Skupna doza	Zgornja meja
dojenčki do 1 leta	Pediatrična klinika	LJ	A1	1,4 ± 1,0	7,8 ± 0,3	9,2	< 10,2
		KB	A2	1,7 ± 1,3	10,3 ± 0,3	12,0	< 13,3
		BB	A3	1,6 ± 1,2	10,3 ± 0,3	12,0	< 13,2
otroci od 7 do 12 let	IAEA podatki	LJ	B1	1,0 ± 0,7	6,8 ± 0,3	7,8	< 8,5
		KB	B2	1,1 ± 0,7	9,0 ± 0,2	10,0	< 10,7
		BB	B3	1,0 ± 0,7	9,0 ± 0,2	10,0	< 10,7
odrasli	statistični podatki	LJ	C1	0,7 ± 0,4	5,9 ± 0,2	6,6	< 7,1
		KB	C2	0,7 ± 0,4	7,8 ± 0,2	8,6	< 9,1
		BB	C3	0,7 ± 0,4	7,8 ± 0,2	8,6	< 9,0
	urbano okolje	LJ	D1	0,7 ± 0,4	5,1 ± 0,2	5,8	< 6,2
		KB	D2	0,7 ± 0,4	6,7 ± 0,2	7,4	< 7,9
		BB	D3	0,7 ± 0,4	6,7 ± 0,2	7,4	< 7,9
	ruralno okolje	LJ	E1	0,7 ± 0,5	8,6 ± 0,3	9,3	< 9,9
		KB	E2	0,7 ± 0,5	11,3 ± 0,3	12,1	< 12,6
		BB	E3	0,7 ± 0,5	11,3 ± 0,3	12,1	< 12,6





Slika 6.5 | Predvidena efektivna doza H_E zaradi kontaminacije okolja z dolgoživimi umetnimi radionuklidi za odrasle (slovensko povprečje) za obdobje od leta 2000 dalje

7 — Zaključki

7.1 Ugotovitve

V splošnem lahko rečemo, da je obremenitev prebivalca Slovenije zaradi prisotnosti umetnih radionuklidov v okolju kot posledica černobilske kontaminacije in bombnih poskusov nekaj μSv letno. Določene letne variacije v oceni doze so posledica posameznih vzorcev z večjimi ali manjšimi koncentracijami radionuklidov ter seveda negotovosti meritev. Ocenjene doze zaradi umetnih radionuklidov v letu 2020 so primerljive s preteklimi leti. Ocenjena doza po vseh prenosnih poteh, znaša v letu 2020 za dojenčke 9,2 μSv oziroma $< 10,2 \mu\text{Sv}$, za otroke od 7 do 12 let 7,8 μSv oziroma $< 8,5 \mu\text{Sv}$ in za odrasle 6,6 μSv oziroma $< 7,1 \mu\text{Sv}$. Ta vrednost predstavlja približno 1 % mejne letne doze za dolgoročno izpostavljenost posameznika iz prebivalstva ionizirajočemu sevanju.

Vpliv izpustov zaradi jedrske nesreče v Fukušimi 11. marca 2011 je bil v Sloveniji zanemarljiv. Nekaj mesecev po nesreči so bile merljive le vsebnosti izotopov I-131, Cs-134 in Cs-137 v zraku ter padavinah, in sicer v marcu, aprilu ter delno maju 2011. V letu 2017 je delno povisan prispevek k dozi zaradi prehoda radioaktivnega oblaka nad Evropo, ki je posledica izpusta zaradi nesreče v predelovalnem obratu izrabljenega jedrskega goriva nekje južno od Urala v Rusiji [80]. Ru-106 je bil merljiv v septembru, oktobru in delno v novembru 2017. Prispevek Ru-106 v letu 2017 k dozi zaradi ingestije in inhalacije je znašal okrog 3%, k skupni dozi (vključno z zunanjim obsevanjem) pa le okrog 1% [77]. V letu 2020 je v prvi polovici aprila dva tedna gorelo več gozdnih požarov v izključitveni coni okrog jedrske elektrarne v Černobilu. Upoštevajoč meritve v mesecih pred in po požaru ter meritve v prvi in drugi polovici aprila lahko zaključimo, da je bila v prvi polovici aprila zaznano rahlo višja koncentracija Cs-137 v zraku, vendar to na letnem nivoju zanemarljivo prispeva k dozi.

Na podlagi meritve radioaktivnosti življenjskega okolja Republike Slovenije v letu 2020 ugotavljamo, da so bile koncentracije aktivnosti umetnih radionuklidov v hrani in zraku okrog 1% od mejnih vrednosti, predpisanih v uredbi UV2 [4].

Letne efektivne doze zaradi ingestije umetnih radionuklidov in letne doze zaradi izpostavljenosti zunanjem sevanju so v okviru povprečnih svetovnih vrednosti, navedenih v poročilih UNSCEAR 2000 [65] in UNSCEAR 2006 [81].

7.2 Priporočila

V preteklih letih je bilo upoštevanih več naših predlogov:

- vzorčenje zemlje v plasteh do globin 50 cm,
- meritve vzorcev lesnih kuri,
- študija koncentracij K-40 in ostalih sevalcev gama na poljedeljsko intenzivnih območjih blizu slovenskih rek.

V letu 2017 je nad Evropo v septembру in oktobru prešel radioaktivni oblak, kjer je bil izmerjen izotop Ru-106 (v nekaterih državah tudi Ru-103). Po ocenah tujih inštitutov je bil izpust konec septembra, nekje v Rusiji [80, 82, 83]. Nad Evropo je bila glavnina oblaka ravno zadnje dneve septembra, zato so bili izpusti odkriti v začetku oktobra. V primeru zamika izpusta za nekaj dni bi v Sloveniji zaradi mesečne periodike vzorčenja in meritve zraka, radioaktivni oblak odkrili šele v začetku novembra. V aprilu 2020 je zaradi gozdnega požara v izključitveni coni okrog jedrske elektrarne v Černobilu bila z meritvami IJS v Ljubljani v prvi polovici aprila zaznano višja koncentracija Cs-137 v zraku kot v drugi polovici. Z meritvami ZVD v Murski Soboti, je bila za višja koncentracija zaznana šele na koncu meseca.

Priporočilo 7.1 Predlagamo, da se preide z mesečne frekvence vzorčenja zraka na vsaj dvotedensko ali pogostejšo, saj bi le v takem primeru dovolj hitro odkrili morebitno kontaminacijo v zraku in bi lahko v primeru večjih izpustov državni organi izdali pravočasne zaščitne ukrepe oziroma obvestili javnost. ■

Priporočilo 7.2 Izvajalcem meritve radioaktivnosti še naprej predlagamo, da vzorce zraka poletnih mesecev vzorčijo in merijo pod takšnimi pogoji, da so detekcijske meje Cs-137 precej znižane in na ta način dobljene vrednosti odražajo realnejše stanje spremjanja sezonskih variacij in dolgoročnih trendov. V prvi vrsti lahko pomeni daljši čas meritve, nato pa postopoma na primer optimalna izbira pri prihodnji zamenjavi iztrošene merske ali vzorčevalne opreme – občutljivost detektorja, znižanje ozadja, kapaciteta črpalke za čim večji vzorčeni volumen ipd. ■

V primeru izrednih dogodkov ali nesreč z večjim vplivom na okolje bodo izrednega pomena meritve na terenu. Ker se takšne meritve sicer redko izvajajo (z izjemo v okolici NEK), jih je smiselno vključiti v redni monitoring.

Priporočilo 7.3 Za pridobivanje novih podatkov o radioaktivnosti v okolju predlagamo vključitev rednih meritev zemlje z gama spektrometrijo in-situ. Lokacije bi se lahko vsako leto menjavale po različnih področjih Slovenije. ■

Priporočilo 7.4 Poleg stacionarnih meritve okoljskega doznega ekvivalenta s TL dozimetri predlagamo, da se začnejo izvajati tudi terenske sprotne meritve s sledenjem hitrostim doz po vnaprej izbrani poti. Lokacije oziroma poti bi se lahko vsako leto menjavale po različnih področjih Slovenije, lahko se tudi določijo kot del nacionalnega načrta za ukrepanje v primeru jedrske ali sevalne nesreče, kjer po teh poteh podrobno analiziramo stanje sevanja v okolju po regijah. ■

Pojasnila k tabelam
Zapisi meritev ZVD
Zapisi meritev IJS
Zrak
Lesna kuriva
Padavine
Tekoče vode
Zemlja
Morje - voda in sedimenti
Zunanje sevanje
Pitna voda
Hrana
Krmila

8 — Rezultati meritev

8.1 Pojasnila k tabelam

8.1.1 Zapisi meritev ZVD

Za vse rezultate koncentracij aktivnosti ali specifičnih aktivnosti v izmerjenih vzorcih velja:

- Koncentracije aktivnosti ali specifične aktivnosti so preračunane na datum vzorčenja, v kolikor ni posebej navedeno.
- Število podano za znakom \pm je skupna standardna negotovost in se nanaša na interval zaupanja z 68% zanesljivostjo (v kolikor ni drugače navedeno).
- Število podano za znakom $<$ je spodnja meja aktivnosti, ki jo lahko določimo za dani izotop in se nanaša na interval zaupanja z 68% zanesljivosti.
- Aktivnosti navedene v poročilu v poglavju 8 se nanašajo le na izmerjeni vzorec in ne na celotni vzorčeni material.
- Ekshalacija radona iz posode z vzorcem ni upoštevana.
- Ostale opombe so razložene ob vsaki tabeli.
- Izračun polletnih ali letnih povprečij poteka po internem navodilu ND-LMSAR-06 oziroma na naslednji način:

Neizmerjena vrednost v danem obdobju k povprečju prispeva vrednost 0

Poročana spodnja meja detekcije k povprečju prispeva polovico njene vrednosti, če je vsaj ena meritev v letu bila poročana nad mejo detekcije

Poročana spodnja meja detekcije k povprečju prispeva vrednost 0, če v letu ni bila poročana nobena vrednost nad mejo detekcije

8.1.2 Zapisi meritev IJS

Izmerki v tabelah so zapisani po naslednjih pravilih:

- Specifične aktivnosti in koncentracije aktivnosti sevalcev gama pri enkratno odvzetih vzorcih so preračunane na datum vzorčenja.
- Rezultati meritev z visokoločljivostno spektrometrijo gama so izraženi kot neposredni merski rezultati, $y \pm u(y)$, pri čemer je $u(y)$ združena standardna negotovost specifične aktivnosti in se nanaša na interval zaupanja z 68-odstotno zanesljivostjo (faktor pokritja $k = 1$). Združena standardna negotovost pri rutinskih meritvah na visokoločljivosti spektrometriji gama vključuje statistično negotovost števila

sunkov v vrhovih v spektru, negotovost metode določanja števila sunkov v vrhovih, ozadja, umeritve spektrometra, jedrskega podatkov in količine vzorca. Negotovosti, ki izvirajo iz vzorčevanja, razen količine vzorca, niso upoštevane.

- Če je pri detektirani prisotnosti radionuklida negotovost aktivnosti večja od 80 % vrednosti izmerka, poročamo neposredni merski rezultat, ki ga označimo z znakom ‡, pod tabelo pa dopišemo, da gre za merski rezultat pod mejo kvantifikacije; v prejšnjih poročilih se je vrednost izmerka prištela k razširjeni negotovosti ($k = 2$), rezultat pa smo označili kot manjši (<) od dobljene številčne vrednosti.
- Specifične aktivnosti in koncentracije aktivnosti sevalcev gama pri kontinuirano zbiranih vzorcih so izračunane pri predpostavki, da sta bili hitrost zbiranja vzorca in kontaminacija konstantni v času vzorčevanja.
- Poročane negotovosti so izračunane v skladu z vodili GUM [84].
- Spodnjo mejo aktivnosti se zaradi visoke detekcijske meje poroča le za Pb-210, ki je zaradi visokega doznega faktorja pomemben pri oceni doz. To se poroča kot mersko negotovost. Številska vrednost spodnje meje aktivnosti pri danih pogojih meritve se nanaša na interval zaupanja s 95 % zanesljivostjo.
- Pri ostalih nedetektiranih radionuklidih zaradi preglednosti njihove spodnje meje aktivnosti v tabele ne pišemo. Pri izračunih mesečnih povprečij se prazna polja upoštevajo kot ničle.
- V tabele ne pišemo spodnjih detekcijskih mej, ki so ocenjene iz velikosti ozadja, verjetnosti za detekcijo in količine vzorca.
- Aktivnost Ra-226 je določena iz aktivnosti kratkoživih radonovih potomcev (Pb-214 in Bi-214). Faktor, ki opisuje ravnovesje med radijem in radonovimi potomci smo izračunali iz ekshalacije in časovnega intervala med pripravo in meritvijo vzorca.
- Aktivnost urana je določena pri predpostavki, da je U-238 v ravnovesju s potomci Th-234 in Pa-234M, ter da sta koncentraciji izotopov U-235 in U-238 v naravnem razmerju.
- Označba Sr-90/Sr-89 pomeni, da ni bila narejena analiza na Y-90. Ločitev za Y-90 se izvede samo v primerih, ko iz ponovitev meritev Sr-90/Sr-89 ugotovimo, da je izmerjena hitrost štetja res manjša od predhodno določene in je ta razlika hitrosti štetja posledica radioaktivnega razpada Sr-89.
- Radiokemična analiza stroncija Sr-89/Sr-90 je bila narejena na Odseku O-2, na Odsek F-2 so bile specifične aktivnosti (koncentracije aktivnosti v Bq/m^3 za vodne in aerosolne vzorce) poročane v enotah Bq/kg suhe snovi. V tem poročilu je podan izračun specifične aktivnosti na dejanski vzorec (Bq/kg sveže snovi ali Bq/m^3 za vodne in aerosolne vzorce), ki je bil izведен na Odseku F-2.

8.2 Zrak

Nadaljevanje na naslednji strani 120.

Tabela 8.1 | Koncentracije aktivnosti izotopov v vzorcih zraka - Ljubljana - IJSS



Rezultati meritev

Tabela 8.2 | Koncentracije aktivnosti izotopov v vzorcih zraka v aprilu – Ljubljana ŠIJS

Vzorč. mesto	1. 4. 2020 - 16. 4. 2020	16. 4. 2020 - 4. 5. 2020	Mesečno povprečje aprila 2020
Datum vzor. Kol. vzorca (m ³) Oznaka vzorca	67195,4 RP20AE141	79050,2 RP20AE142	
IZOTOP			
Na-22	5,7E-07 ± 3E-07	1,4E-06 ± 7E-07	9,7E-07 ± 4E-07
U-238	1,1E-06 ± 6E-06	#	5,6E-07 ± 3E-06
Ra-226		3,4E-07 ± 4E-05	1,7E-07 ± 2E-05
Pb-210	7,3E-04 ± 4E-05	6,1E-04 ± 4E-05	6,7E-04 ± 3E-05
Ra-228			
Th-230			
Th-228	6,5E-06 ± 1E-06	2,8E-06 ± 9E-07	4,7E-06 ± 7E-07
K-40			
Be-7	7,3E-03 ± 5E-04	6,3E-03 ± 3E-04	6,8E-03 ± 3E-04
I-131			
Cs-134			
Cs-137	2,7E-06 ± 3E-07	1,6E-06 ± 3E-07	2,1E-06 ± 2E-07
Co-58			
Co-60			
Cr-51			
Mn-54			
Zn-65			
Nb-95			
Ru-106			
Sb-125			



Tabela 8.3 | Koncentracije aktivnosti izotopov v vzorcih zraka - Murska Sobotica ZWD

Oznaka vzorca	ZRMS0120	ZRMS0220	ZRMS0320	ZRMS0420	ZRMS0520	ZRMS0620	ZRMS0720	ZRMS0820	ZRMS0920	ZRMS1020	ZRMS1120	ZRMS1220	
Vzorec	Zračni filter												
Lokacija	Murska Sobota	letno povprečje											
Dat. vzorečenja	1.1.20-31.1.20	1.2.20-29.2.20	1.3.20-31.3.20	1.4.20-30.4.20	1.5.20-31.5.20	1.6.20-30.6.20	1.7.20-31.7.20	1.8.20-31.8.20	1.9.20-30.9.20	1.10.20-31.10.20	1.11.20-30.11.20	1.12.20-31.12.20	veh
Dat. meritev	10.2.20	11.3.20	8.4.20	8.5.20	5.6.20	1.7.20	10.8.20	7.10.20	13.11.20	7.12.20	7.1.21		vzorcev
Količinovzorca	37291 m ³	36450 m ³	40199 m ³	35092 m ³	41465 m ³	35202 m ³	41435 m ³	48576 m ³	37545 m ³	39054 m ³	37582 m ³	39829 m ³	
Izotop													
U-238													
Ra-226	*	1.2E-6 ± 3E-7	6.4E-7 ± 3E-7	3.8E-6 ± 3E-7	2.8E-6 ± 2E-7	2.1E-6 ± 3E-7	1.8E-6 ± 4E-7	1.8E-6 ± 3E-7	2.8E-6 ± 2E-7	1.6E-6 ± 5E-7	3.9E-6 ± 3E-7	7.9E-6 ± 2E-6	1.9E-6 ± 2E-6
Pb-210		7.5E-4 ± 4E-5	2.5E-4 ± 4E-5	2.9E-4 ± 1E-5	4.0E-4 ± 2E-5	2.4E-4 ± 1E-5	3.2E-4 ± 1E-5	3.3E-4 ± 2E-5	5.6E-4 ± 2E-5	3.9E-4 ± 2E-5	6.0E-4 ± 3E-5	5.1E-4 ± 2E-5	4.2E-4 ± 2E-4
Ra-228		6.0E-7 ± 7E-7	1.2E-6 ± 1E-6	1.3E-6 ± 5E-7	1.5E-6 ± 6E-7	1.8E-6 ± 7E-7	2.2E-6 ± 7E-7	2.8E-6 ± 1E-6	2.1E-6 ± 3E-7	3.1E-6 ± 1E-6	3.1E-6 ± 1E-6	1.2E-6 ± 1E-6	1.4E-5 ± 4E-5
Th-228		6.1E-7 ± 7E-7											
K-40		2.5E-4 ± 1E-5	2.5E-4 ± 7E-6	2.7E-4 ± 8E-6	2.5E-4 ± 6E-6	2.6E-4 ± 8E-6	2.5E-4 ± 9E-6	2.4E-4 ± 8E-6	1.9E-4 ± 8E-6	2.2E-4 ± 7E-6	6.5E-5 ± 1E-5	2.1E-4 ± 7E-6	2.3E-4 ± 6E-5
Be-7		2.0E-3 ± 8E-5	2.6E-3 ± 7E-5	3.9E-3 ± 1E-4	5.7E-3 ± 2E-4	3.9E-3 ± 1E-4	4.6E-3 ± 1E-4	4.7E-3 ± 1E-4	4.0E-3 ± 1E-4	2.3E-3 ± 6E-5	2.0E-3 ± 6E-5	1.2E-3 ± 3E-5	3.4E-3 ± 1E-3
Cs-134													
Gs-137													
I-131													
Sr-90		**											
H-3		**											

Izbiranje radona iz posodil pri izračunu ni upoštevano

** Meritev izotopa niv programu meritev

Tabela 8.4 | Koncentracije aktivnosti izotopov v vzorcih zraka - Predmeja ZWD

Oznaka vzorca	ZRPM0120	ZRPM0220	ZRPM0320	ZRPM0420	ZRPM0520	ZRPM0620	ZRPM0720	ZRPM0820	ZRPM0920	ZRPM1020	ZRPM1120	ZRPM1220	
Vzorec	Zračni filter												
Lokacija	Predmeja	letno povprečje											
Dat. vzorečenja	1.1.20-31.1.20	1.2.20-29.2.20	1.3.20-31.3.20	1.4.20-30.4.20	1.5.20-31.5.20	1.6.20-30.6.20	1.7.20-31.7.20	1.8.20-31.8.20	1.9.20-30.9.20	1.10.20-31.10.20	1.11.20-30.11.20	1.12.20-31.12.20	veh
Dat. meritev	10.2.20	11.3.20	8.4.20	8.5.20	5.6.20	7.7.20	10.8.20	7.10.20	13.11.20	7.12.20	5.1.21		vzorcev
Količinovzorca	7698 m ³	6669 m ³	7731 m ³	5324 m ³	4141 m ³	3768 m ³	4440 m ³	4725 m ³	4397 m ³	4605 m ³	4160 m ³	2963 m ³	
Izotop													
U-238													
Ra-226	*	7.2E-6 ± 4E-6	9.1E-6 ± 2E-6	1.2E-5 ± 2E-6	1.7E-5 ± 6E-6	2.0E-5 ± 4E-5	2.5E-5 ± 3E-6	3.2E-5 ± 2E-5	3.2E-5 ± 2E-5	1.6E-5 ± 2E-6	1.9E-5 ± 6E-6	1.9E-5 ± 9E-6	2.1E-5 ± 3E-5
Pb-210		4.4E-4 ± 2E-5	2.5E-4 ± 2E-5	3.3E-4 ± 2E-5	2.3E-4 ± 2E-5	4.4E-4 ± 5E-5	3.9E-4 ± 2E-5	5.7E-4 ± 4E-5	4.7E-4 ± 3E-5	4.6E-4 ± 2E-5	2.1E-4 ± 3E-5	3.9E-4 ± 1E-4	
Ra-228		4.1E-6 ± 5E-6	8.9E-6 ± 6E-6	6.5E-6 ± 5E-6	1.1E-5 ± 1E-5	4.8E-5 ± 3E-5	3.7E-5 ± 9E-6					9.8E-6 ± 2E-5	
Th-228		2.7E-6 ± 2E-6											
K-40		1.1E-3 ± 4E-5	1.1E-3 ± 4E-5	1.1E-3 ± 4E-5	1.1E-3 ± 4E-5	5.1E-4 ± 2E-4	2.1E-3 ± 6E-5	1.7E-3 ± 2E-5	1.7E-3 ± 2E-5	1.3E-5 ± 3E-6	1.9E-5 ± 6E-5	2.0E-3 ± 1E-4	1.9E-3 ± 1E-3
Be-7		4.1E-3 ± 1E-4	3.2E-3 ± 9E-5	2.8E-3 ± 8E-5	4.5E-3 ± 1E-4	8.9E-3 ± 3E-4	5.4E-3 ± 2E-4	5.8E-3 ± 2E-4	4.8E-3 ± 1E-4	2.8E-3 ± 8E-5	3.4E-3 ± 1E-4	7.4E-4 ± 4E-5	4.2E-3 ± 2E-3
Cs-134													
Gs-137													
I-131													
Sr-90		**											
H-3		**											

preverjanje na sredino intervala vzorca

* Izbiranje radona iz posodil pri izračunu ni upoštevano

** Meritev izotopa niv programu meritev

8.3 Lesna kuriva

Tabela 8.5 | Koncentracije aktivnosti izotopov v vzorcih lesa in lesnih kuriv ZVD ŠIJS

Oznaka vzorca	LES010220	LES020220	LES030220	LES040220	
Vzorec	Peleti (listavci)	Peleti (iglavci)	Peleti (listavci)	Peleti (listavci)	
Lokacija	Hruševje	Bosna in Hercegovina	Avstrija	Srbija	letno
Dat. vzorčenja	26.2.20	26.2.20	26.2.20	27.3.20-27.2.20	povprečje
Dat. meritve	11.3.20	3.3.20	3.3.20	11.3.20	vseh
Količina vzorca	2000 g	2000 g	2000 g	2000 g	vzorcev
Izotop	SPECIFIČNA AKTIVNOST (Bq/kg)		preračunana na datum vzorčenja		
U-238	2,8E+0 ± 1E-1		7,2E+0 ± 2E-1	3,8E-1 ± 7E-2	2,6E+0 ± 3E+0
Ra-226 *	9,3E-1 ± 3E-2	2,0E+0 ± 5E-2	1,8E+0 ± 5E-2	1,5E+0 ± 3E-2	1,6E+0 ± 5E-1
Pb-210	4,0E+0 ± 3E-1	2,4E+0 ± 3E-1	4,3E+0 ± 4E-1	3,6E+0 ± 3E-1	3,5E+0 ± 9E-1
Ra-228	3,9E-1 ± 3E-2	2,3E-1 ± 6E-2	6,7E-1 ± 6E-2	5,7E-1 ± 3E-2	4,6E-1 ± 2E-1
Th-228	3,8E-1 ± 3E-2	2,0E-1 ± 7E-2	7,3E-1 ± 6E-2	6,0E-1 ± 4E-2	4,8E-1 ± 2E-1
K-40	3,2E+1 ± 2E+0	2,7E+1 ± 2E+0	1,5E+1 ± 1E+0	3,5E+1 ± 2E+0	2,7E+1 ± 9E+0
Be-7	3,7E-1 ± 9E-2			4,6E-1 ± 7E-2	2,1E-1 ± 2E-1
Cs-134					
Cs-137	5,8E+0 ± 2E-1	4,7E+0 ± 1E-1	1,5E+0 ± 6E-2	3,2E+0 ± 9E-2	3,8E+0 ± 2E+0
I-131	**				
Sr-90	**				
H-3	**				

* Izhajanje radona iz posodice pri izračunu ni upoštevano

** Meritev izotopa ni v programu meritev

Vzorč. mesto	Ukrajina (Makarov)	Ukrajina (Žitomer)	Ljubljana - Črnuče (Soteška pot 21)	Sv. Lenart (Selca)
Vrsta vzorca	peleti	peleti	Peleti - smreka (Energija narave)	Peleti - smreka
Datum vzor.	3. 2. 2020	3. 2. 2020	23. 4. 2020	23. 4. 2020
Kol. vzorca (kg)	0,091	0,105	0,14	0,14
Odstotek suhe snovi	55,30	50,50	66,80	66,90
Oznaka vzorca	RP20LES8270UA21	RP20LES8270UA22	RP20LES1231SI41	RP20LES4227SI41
IZOTOP	SPECIFIČNA AKTIVNOST SUHE SNOVI (Bq/kg)			
U-238	3,5E+00 ± 2E+00	1,4E+00 ± 8E-01	2,7E+00 ± 1E+00	5,1E-01 ± 1E+00 ‡
Ra-226	1,6E+00 ± 2E+00 ‡	1,2E+00 ± 7E-01	1,8E+00 ± 1E+00	6,5E-01 ± 9E-01 ‡
Pb-210	4,1E-01 †	2,9E+00 ± 5E-01	2,7E+00 ± 6E-01	9,1E-01 ± 8E-01 ‡
Ra-228	1,8E-01 ± 2E-01 ‡	1,2E-01 ± 7E-02	4,6E-01 ± 1E-01	2,2E-01 ± 4E-01 ‡
Th-228			5,8E+00 ± 8E+00 ‡	6,1E-01 ± 1E-01
Th-230			2,1E+01 ± 2E+00	1,9E+01 ± 2E+00
K-40	1,3E+01 ± 3E+00	1,5E+01 ± 2E+00	4,8E-01 ± 8E-01 ‡	
Be-7				
I-131				
Cs-134				
Cs-137	2,5E+02 ± 7E+00	2,1E+01 ± 1E+00	4,8E+00 ± 3E-01	2,8E+00 ± 2E-01
Co-58				
Co-60				
Cr-51				
Mn-54				
Zn-65				
Nb-95				
Ru-106				
Sb-125				

8.4 Padavine

Tabela 8.6 | Specifične aktivnosti izotopov v vzorcih padavin - Novo mesto **ZVD**

Oznaka vzorca	FANMK120	FANMK220	FANMK320	FANMK420	
Vzorec	Padavine	Padavine	Padavine	Padavine	letna
Lokacija	Novo mesto	Novo mesto	Novo mesto	Novo mesto	količina
Dat. vzorčenja	1.1.20-31.3.20	1.4.20-30.6.20	1.7.20-30.9.20	1.10.20-31.12.20	padavin
Količ. padavin#	70,8 mm	246,2 mm	359,0 mm	181,3 mm	857,3 mm
Dat. meritve	11.5.20	22.10.20	23.11.20	28.1.21	letni used
Količina vzorca	18,15 L	64,05 L	95,45 L	87,45 L	radioaktivnosti
Izotop	SPECIFIČNA AKTIVNOST (Bq/m ²)		preračunana na sredino intervala vzorčenja		
U-238	7,0E+0 ± 1E-1	1,2E+0 ± 6E-1			8,2E+0 ± 6E-1
Ra-226 *	1,9E-1 ± 2E-2		1,7E-1 ± 5E-2	9,8E-2 ± 4E-2	4,7E-1 ± 6E-2
Pb-210	1,3E+1 ± 1E+0	1,2E+1 ± 1E+0	1,6E+1 ± 1E+0	1,2E+1 ± 1E+0	5,4E+1 ± 2E+0
Ra-228	6,4E-1 ± 5E-2		1,7E-1 ± 9E-2	3,6E-1 ± 9E-2	1,2E+0 ± 1E-1
Th-228	6,0E-1 ± 5E-2				6,0E-1 ± 5E-2
K-40	4,5E+0 ± 3E-1	1,1E+0 ± 7E-1	1,8E+0 ± 5E-1	2,8E+0 ± 5E-1	1,0E+1 ± 1E+0
Be-7	3,6E+1 ± 1E+0	7,2E+1 ± 2E+0	9,0E+1 ± 3E+0	6,2E+1 ± 2E+0	2,6E+2 ± 4E+0
Cs-134					
Cs-137	4,0E-2 ± 1E-2	7,2E-2 ± 5E-2	< 1,8E-1	5,4E-2 ± 2E-2	2,6E-1 ± 7E-2
I-131					
Sr-90	< 5,0E-2	< 7,1E-2	< 6,0E-2	< 6,2E-2	
H-3 **					

* Izračanje radona iz posodice pri izračunu ni upoštevano

** Meritev izotopa ni v programu meritve

meritev označene z # se nanašajo na neakreditirano dejavnost

Tabela 8.7 | Specifične aktivnosti izotopov v vzorcih padavin - Murska Sobota **ZVD**

Oznaka vzorca	FAMSK120	FAMSK220	FAMSK320	FAMSK420	
Vzorec	Padavine	Padavine	Padavine	Padavine	letna
Lokacija	Murska Sobota	Murska Sobota	Murska Sobota	Murska Sobota	količina
Dat. vzorčenja	1.1.20-31.3.20	1.4.20-30.6.20	1.7.20-30.9.20	1.10.20-31.12.20	padavin
Količ. padavin#	74,7 mm	169,3 mm	360,2 mm	121,6 mm	725,8 mm
Dat. meritve	11.5.20	22.10.20	23.11.20	28.1.21	letni used
Količina vzorca	20,45 L	26,70 L	54,15 L	65,40 L	radioaktivnosti
Izotop	SPECIFIČNA AKTIVNOST (Bq/m ²)		preračunana na sredino intervala vzorčenja		
U-238		1,4E+0 ± 3E-1		3,7E-1 ± 2E-1	1,8E+0 ± 4E-1
Ra-226 *	2,9E-2 ± 4E-2	7,7E-2 ± 5E-2	8,4E-2 ± 3E-2	9,9E-2 ± 3E-2	2,9E-1 ± 7E-2
Pb-210	3,4E+0 ± 3E-1	2,8E+1 ± 1E+0	2,8E+1 ± 2E+0	7,3E+0 ± 6E-1	6,6E+1 ± 3E+0
Ra-228	7,5E-3 ± 5E-2		2,4E-1 ± 1E-1		2,4E-1 ± 1E-1
Th-228		1,6E-1 ± 9E-2			1,6E-1 ± 9E-2
K-40		1,4E+1 ± 9E-1	5,4E+0 ± 5E-1	2,7E+0 ± 4E-1	2,2E+1 ± 1E+0
Be-7	1,1E+1 ± 4E-1	2,0E+2 ± 6E+0	2,0E+2 ± 6E+0	1,2E+0 ± 4E-2	4,2E+2 ± 8E+0
Cs-134					
Cs-137	< 7,4E-2	1,0E-1 ± 2E-2	1,1E-1 ± 2E-2	< 1,4E-1	3,2E-1 ± 4E-2
I-131					
Sr-90	< 2,4E-2	< 4,0E-2	< 4,6E-2	< 5,2E-2	
H-3 **					

* Izračanje radona iz posodice pri izračunu ni upoštevano

** Meritev izotopa ni v programu meritve

meritev označene z # se nanašajo na neakreditirano dejavnost

Tabela 8.8 | Specifične aktivnosti izotopov v vzorcih padavin - Bovec ZVD

Oznaka vzorca	FABOK120	FABOK220	FABOK320	FABOK420	
Vzorec	Padavine	Padavine	Padavine	Padavine	letna
Lokacija	Bovec	Bovec	Bovec	Bovec	količina
Dat. vzorčenja	1.1.20-31.3.20	1.4.20-30.6.20	1.7.20-30.9.20	1.10.20-31.12.20	padavin
Količ. padavin #	283,7 mm	511,7 mm	677,6 mm	978,8 mm	2451,8 mm
Dat. meritve	11.5.20	20.10.20	20.11.20	28.1.21	letni used
Količina vzorca	26,40 L	58,50 L	67,00 L	81,27 L	radioaktivnosti
Izotop	SPECIFIČNA AKTIVNOST (Bq/m ²)		preračunana na sredino intervala vzorčenja		
U-238	2,5E+1 ± 7E-1				2,5E+1 ± 7E-1
Ra-226 *	8,5E-1 ± 8E-2	6,5E-1 ± 3E-1		6,5E-1 ± 4E-1	2,2E+0 ± 5E-1
Pb-210	4,8E+1 ± 4E+0	4,4E+1 ± 4E+0	7,1E+1 ± 6E+0	5,6E+1 ± 5E+0	2,2E+2 ± 9E+0
Ra-228	2,7E+0 ± 2E-1		1,3E+0 ± 6E-1		4,0E+0 ± 6E-1
Th-228	2,7E+0 ± 2E-1	8,3E-1 ± 3E-1	3,9E-1 ± 4E-1	4,3E-1 ± 3E-1	4,4E+0 ± 6E-1
K-40	1,3E+1 ± 1E+0	5,8E+0 ± 2E+0	2,5E+0 ± 2E+0	6,5E+0 ± 2E+0	2,8E+1 ± 4E+0
Be-7	6,1E+1 ± 3E+0	1,2E+2 ± 4E+0	3,2E+2 ± 1E+1	3,5E+2 ± 1E+1	8,5E+2 ± 2E+1
Cs-134					
Cs-137	1,8E-1 ± 7E-2	5,6E-1 ± 1E-1	< 8,7E-1	< 7,7E-1	1,6E+0 ± 3E-1
I-131					
Sr-90	< 1,1E-1	< 1,4E-1	< 3,4E-1	< 3,4E-1	
H-3 **					

* Izhajanje radona iz posodice pri izračunu ni upoštevano ** Meritev izotopa ni v programu meritve # se nanašajo na neakreditirano dejavnost

Tabela 8.9 | Specifične aktivnosti izotopov v vzorcih padavin - Ljubljana ZWD

Oznaka vzorca	FALU120	FALU220	FALU320	FALU420	FALU520	FALU620	FALU720	FALU820	FALU920	FALU1020	FALU1120	FALU1220						
Vzorec	Padavine	Padavine	Padavine	Padavine	Padavine	Padavine	Padavine	Padavine	Padavine	Padavine	Padavine	Padavine	letrna					
Lokacija	Ljubljana	Ljubljana	Ljubljana	Ljubljana	Ljubljana	Ljubljana	Ljubljana	Ljubljana	Ljubljana	Ljubljana	Ljubljana	Ljubljana	količina padavin					
Dat.vzorečenja	1.1.20-31.12.20	1.2.20-29.2.20	1.3.20-31.3.20	1.4.20-30.4.20	1.5.20-31.5.20	1.6.20-30.6.20	1.7.20-31.7.20	1.8.20-31.8.20	1.9.20-30.9.20	1.10.20-31.10.20	1.11.20-30.11.20	1.12.20-31.12.20	1.265,2 mm					
Količ.padavin #	13,9 mm	42,0 mm	105,3 mm	25,0 mm	115,0 mm	147,1 mm	160,1 mm	86,9 mm	132,7 mm	202,6 mm	48,4 mm	183,2 mm	letni used					
Dat.meritve	24.4.20	21.4.20	21.4.20	2.6.20	24.6.20	20.7.20	6.10.20	20.10.20	27.11.20	28.12.20	19.1.21		radioaktivnosti					
Količina vzorca	2,80 L	5,75 L	13,50 L	1,78 L	23,95 L	41,33 L	26,50 L	31,94 L	22,06 L	40,36 L	12,90 L	40,72 L						
Izotop	SPECIFIČNA AKTIVNOST (Bq/m ²)																	
U-238	9,6E+0 ± 3E-1	8,5E+0 ± 2E-1	5,7E-1 ± 3E-1	4,6E-1 ± 3E-1	1,9E-1 ± 7E-2	6,3E-1 ± 3E-1	3,2E-1 ± 3E-1	4,4E-1 ± 3E-1	7,6E-2 ± 4E-2	7,6E-2 ± 4E-2	4,4E-1 ± 3E-1	2,0E+1 ± 8E-1						
Ra-226	***	2,5E-1 ± 3E-2	1,6E-1 ± 3E-2	1,8E-1 ± 3E-2	9,4E-0 ± 8E-1	4,3E+0 ± 5E-1	6,4E+0 ± 6E-1	6,8E+0 ± 6E-1	3,4E+0 ± 4E-1	1,4E+0 ± 4E-1	4,1E+0 ± 4E-1	4,5E+0 ± 4E-1	7,8E+1 ± 2E+0					
Pb-210	1,0E+1 ± 9E-1	1,1E+1 ± 9E-1	7,2E+0 ± 6E-1	9,6E+0 ± 9E-1	1,7E+1 ± 5E-2	5,0E-1 ± 2E-1	1,7E+1 ± 5E-1	1,4E+1 ± 1E-1	3,7E-1 ± 2E-1	4,5E+2 ± 1E-1	-1,9E+2 ± 9E-2	3,1E+0 ± 3E-1	1,8E+0 ± 2E-1					
Ra-228	9,6E-1 ± 7E-2	7,8E-1 ± 6E-2	7,5E-1 ± 7E-2	1,3E-1 ± 9E-2	1,4E-1 ± 4E-1	2,4E-1 ± 5E-1	6,0E-1 ± 5E-1	1,5E+0 ± 5E-1	1,4E+0 ± 5E-1	6,9E+1 ± 5E-1	1,8E+1 ± 6E-1	6,4E-1 ± 4E-1	1,8E+1 ± 2E+0					
Th-228	9,2E-1 ± 8E-2	7,5E-1 ± 7E-2	4,4E+0 ± 4E-1	4,5E+1 ± 2E+0	8,4E+1 ± 3E+0	4,2E+1 ± 2E+0	5,9E+1 ± 2E+0	3,7E+1 ± 1E+0	1,3E+1 ± 7E-1	1,7E+1 ± 7E-1	1,6E+1 ± 6E-1	3,5E+1 ± 1E+0	3,9E+2 ± 5E+0					
K-40	5,4E-1 ± 5E-1	1,1E+1 ± 9E-1	< 2,1E-1	< 2,1E-1	9,4E-2 ± 2E-2	< 2,1E-1	1,0E-1 ± 3E-2	< 2,1E-1	< 2,4E-1	< 1,9E-1	< 1,5E-1	< 1,8E-1	1,1E+0 ± 1E-1					
Be-7	Cs-134	Cs-137	I-131	Sr-90	H-3	* #	6,1E+0 ± 1E+0	1,5E+1 ± 2E+0	7,9E+0 ± 8E-1	8,4E+1 ± 7E+0	1,9E+2 ± 2E+1	1,2E+2 ± 1E+1	9,1E+1 ± 9E+0	4,7E+1 ± 7E+0	5,8E+1 ± 1E+1	2,9E+1 ± 4E+0	7,7E+1 ± 1E+1	8,0E+2 ± 3E+1
* izhajajoči iz posodbe pri izračunu in upoštevanju																		
** Meritev izotopa niv programu																		
* # Meritev izotopa niv programu																		
Oznaka vzorca	FALK120	FALK220	FALK320	FALK420														
Vzorec	Padavine	Padavine	Padavine	Padavine														
Lokacija	Ljubljana	Ljubljana	Ljubljana	Ljubljana														
Dat.vzorečenja	1.1.20-31.12.20	1.4.20-30.6.20	1.7.20-30.9.20	1.10.20-31.12.20														
Količ.padavin#	161,2 mm	287,1 mm	379,7 mm	434,2 mm	162,2 mm													
Dat.meritve	11.5.20	11.5.20	20.11.20	28.1.21	letri.used													
Količina vzorca	22,05 L	67,06 L	80,56 L	93,98 L	radioaktivnosti													
Izotop	SPECIFIČNA AKTIVNOST (Bq/m ²)																	
U-238	**																	
Ra-226	*																	
Pb-210	**																	
Ra-228	**																	
Th-228	**																	
K-40	**																	
Be-7	**																	
Cs-134	**																	
Cs-137	**																	
I-131	**																	
Sr-90																		
H-3	**																	
* izhajajoči iz posodbe pri izračunu in upoštevanju																		
** Meritev izotopa niv programu																		
* # Meritev izotopa niv programu																		
metritev oznake z letnimi meritev na neakreditirano delavnost																		

Tabela 8.10 | Koncentracije aktivnosti H-3 v vzorci padavin - Ljubljana plus

Vzorč. mesto	Ljubljana				
Datum vzorčevanja	11.2.2020 - 31.1.2020	12.2.2020 - 29.2.2020	1.3.2020 - 31.3.2020	14.4.2020 - 30.4.2020	15.5.2020 - 31.5.2020
Datum mervite	24.2.2020	21.4.2020	21.1.2020	24.6.2020	20.7.2020
Kol. vzorca (l)	1,00	1,00	1,00	1,00	1,00
Padavine (mm)***	13,9	42,0	105,3	25,6	147,1
Osnaka vzorca	FAL0120	FAL0220	FAL0320	FAL0420	FAL0520
IZOTOP					
H-3	4,1E+02 ± 7E+01	5,5E+02 ± 7E+01	1,2E+03 ± 9E+01	6,7E+02 ± 7E+01	8,4E+02 ± 7E+01
					1,1E+03 ± 1E+02
					8,0E+02 ± 3E+01

Vzorč. mesto	Ljubljana				
Datum vzorčevanja	1.7.2020 - 31.7.2020	18.2020 - 31.8.2020	1.9.2020 - 30.9.2020	1.10.2020 - 31.10.2020	1.11.2020 - 30.11.2020
Datum mervite	6.10.2020	6.10.2020	20.10.2020	27.11.2020	28.12.2020
Kol. vzorca (l)	1,00	1,00	1,00	1,00	1,00
Padavine (mm)***	160,1	86,9	132,7	202,6	183,2
Osnaka vzorca	FAL0720	FAL0820	FAL0920	FAL1020	FAL1120
IZOTOP					
H-3	1,1E+03 ± 9E+01	7,3E+02 ± 8E+01	5,1E+02 ± 7E+01	3,5E+02 ± 7E+01	5,2E+02 ± 7E+01
					4,4E+02 ± 7E+01
					7,1E+02 ± 2E+01

8.5 Tekoče vode

Tabela 8.11 | Koncentracije aktivnosti izotopov v vzorcih rek - Sava ŠIJS

Vzorč. mesto	Sava Laze (za Čistilno napravo Ljubljana)				Polletno povprečje (za celo leto)
	Datum vzor.	6. 2. 2020	11. 8. 2020	Kol. vzorca (L)	
Pretok (m ³ /s)***		52,8	38		
Kol. vzorca (L)		51,24	47,41		
Koda vzorca	RP20SN121	RP20SN181			
IZOTOP	KONCENTRACIJA AKTIVNOSTI (Bq/m ³)				
U-238	3,8E+00 ± 1E+00	2,3E+00 ± 8E-01	3,0E+00 ± 7E-01		
Ra-226	2,1E-01 ± 2E+00	3,6E+00 ± 6E-01	1,9E+00 ± 9E-01		
Pb-210	4,8E-01 ± 9E-01	7,3E+00 ± 7E-01	3,9E+00 ± 6E-01		
Ra-228	2,5E-01 ± 3E-01	1,9E+00 ± 3E-01	1,1E+00 ± 2E-01		
Th-228	3,6E-01 ± 4E-01	1,4E+00 ± 1E-01	8,7E-01 ± 2E-01		
Th-230					
K-40	3,4E+01 ± 8E+00	3,8E+01 ± 3E+00	3,6E+01 ± 4E+00		
Be-7	1,5E+00 ± 1E+00	6,7E+00 ± 9E-01	4,1E+00 ± 7E-01		
I-131	5,8E+00 ± 6E-01	1,0E+00 ± 1E-01	3,4E+00 ± 3E-01		
Cs-134					
Cs-137		5,6E-01 ± 1E-01	2,8E-01 ± 6E-02		
Co-58					
Co-60					
Cr-51					
Mn-54					
Zn-65					
Nb-95					
Ru-106					
Sb-125					
Sr-89/Sr-90	2,3E+00 ± 1E-01	2,3E+00 ± 1E-01	2,3E+00 ± 1E-01		
H-3	5,1E+02 ± 6E+01	6,0E+02 ± 6E+01	5,6E+02 ± 4E+01		

Vzorč. mesto	Sava Brežice				Polletno povprečje (za celo leto)
	Datum vzor.	11. 2. 2020	13. 8. 2020	Kol. vzorca (L)	
Pretok (m ³ /s)***		109	136		
Kol. vzorca (L)		50,76	54,22		
Koda vzorca	RP20SN82521	RP20SN82581			
IZOTOP	KONCENTRACIJA AKTIVNOSTI (Bq/m ³)				
U-238	4,9E+00 ± 2E+00	3,9E+00 ± 2E+00	4,4E+00 ± 1E+00		
Ra-226	2,6E+00 ± 4E-01	8,5E-01 ± 6E-01	1,7E+00 ± 4E-01		
Pb-210	2,8E-01	2,4E+00 ± 1E+00	1,3E+00 ± 1E+00	x	
Ra-228	1,3E+00 ± 4E-01	5,3E-01 ± 3E-01	9,0E-01 ± 3E-01		
Th-228	5,5E-01 ± 1E-01	4,2E-01 ± 2E-01	4,9E-01 ± 1E-01		
Th-230					
K-40	4,1E+01 ± 2E+00	3,8E+01 ± 2E+00	4,0E+01 ± 2E+00		
Be-7		4,3E+00 ± 8E-01	2,2E+00 ± 4E-01		
I-131	4,1E+00 ± 3E-01	1,5E+00 ± 3E-01	2,8E+00 ± 2E-01		
Cs-134					
Cs-137	4,3E-02 ± 7E-02	†		2,2E-02 ± 4E-02	
Co-58					
Co-60					
Cr-51					
Mn-54					
Zn-65					
Nb-95					
Ru-106					
Sb-125					
H-3	6,0E+02 ± 6E+01	4,0E+03 ± 3E+02	2,3E+03 ± 2E+02		

Tabela 8.12 | Koncentracije aktivnosti izotopov v vzorcih rek - Savinja 

Vzorč. mesto	Savinja Celje (za Čistilno napravo Pečovnik)		Polletno povprečje (za celo leto)
	30. 1. 2020	7. 9. 2020	
Datum vzor.			
Pretok (m ³ /s)***	16,9	36,7	
Kol. vzorca (L)	54,44	50,91	
Koda vzorca	RP20SN311	RP20SN391	
IZOTOP	KONCENTRACIJA AKTIVNOSTI (Bq/m ³)		
U-238	6,3E+00 ± 3E+00	1,1E+01 ± 2E+00	8,9E+00 ± 2E+00
Ra-226	2,1E+00 ± 9E-01	2,0E+01 ± 2E+00	1,1E+01 ± 1E+00
Pb-210	1,6E+01 ± 5E+00	5,5E+01 ± 3E+00	3,5E+01 ± 3E+00
Ra-228	4,8E-01 ± 4E-01	1,4E+01 ± 6E-01	7,5E+00 ± 4E-01
Th-228	7,2E-01 ± 3E-01	1,5E+01 ± 6E-01	8,0E+00 ± 3E-01
Th-230			
K-40	3,6E+02 ± 1E+01	4,7E+02 ± 2E+01	4,1E+02 ± 1E+01
Be-7	3,9E+00 ± 2E+00	6,1E+01 ± 4E+00	3,3E+01 ± 2E+00
I-131	1,4E+01 ± 6E-01	3,4E+00 ± 3E-01	8,6E+00 ± 4E-01
Cs-134			
Cs-137	4,6E-01 ± 1E-01	7,9E+00 ± 8E-01	4,2E+00 ± 4E-01
Co-58			
Co-60			
Cr-51			
Mn-54			
Zn-65			
Nb-95			
Ru-106			
Sb-125			

Tabela 8.13 | Koncentracije aktivnosti izotopov v vzorcih rek - Soča 

Vzorč. mesto	Soča Solkan (Plave)		Polletno povprečje (za celo leto)
	26. 2. 2020	9. 9. 2020	
Datum vzor.			
Pretok (m ³ /s)***	38,5	71	
Kol. vzorca (L)	54,79	55,05	
Koda vzorca	RP20SN521	RP20SN591	
IZOTOP	KONCENTRACIJA AKTIVNOSTI (Bq/m ³)		
U-238	5,1E-01 ± 6E-01 ‡	3,8E+00 ± 3E+00	2,2E+00 ± 1E+00
Ra-226	2,3E+00 ± 6E-01	2,7E-01 ± 8E-01 ‡	1,3E+00 ± 5E-01
Pb-210	1,4E+00 ± 7E-01	3,8E-01 ‡	8,8E-01 ± 5E-01 x
Ra-228	2,6E-01 ± 2E-01	8,4E-01 ± 5E-01	5,5E-01 ± 3E-01
Th-228	6,0E-01 ± 8E-02	6,3E-01 ± 2E-01	6,1E-01 ± 1E-01
Th-230			
K-40	1,2E+01 ± 1E+00	1,9E+01 ± 3E+00	1,6E+01 ± 2E+00
Be-7	3,1E+00 ± 1E+00	5,5E+00 ± 2E+00	4,3E+00 ± 1E+00
I-131			
Cs-134			
Cs-137		3,5E-01 ± 1E-01	1,8E-01 ± 7E-02
Co-58			
Co-60			
Cr-51			
Mn-54			
Zn-65			
Nb-95			
Ru-106			
Sb-125			

Tabela 8.14 | Koncentracije aktivnosti izotopov v vzorcih rek - Krka ŠIJS

Vzorč. mesto	Krka Otočec		Polletno povprečje (za celo leto)
	11. 2. 2020	13. 8. 2020	
Datum vzor.	11. 2. 2020	13. 8. 2020	
Pretok (m ³ /s)***	17	20,7	
Kol. vzorca (L)	48,36	52,63	
Koda vzorca	RP20SN82221	RP20SN82281	
IZOTOP	KONCENTRACIJA AKTIVNOSTI (Bq/m ³)		
U-238	3,5E+00 ± 1E+00	2,2E+00 ± 2E+00	2,8E+00 ± 1E+00
Ra-226	8,3E-01 ± 5E-01	1,6E+00 ± 4E-01	1,2E+00 ± 3E-01
Pb-210	3,6E-01 †	3,6E+00 ± 2E+00	2,0E+00 ± 2E+00 x
Ra-228	6,8E-01 ± 4E-01	1,1E+00 ± 3E-01	8,8E-01 ± 3E-01
Th-228	2,9E-01 ± 1E-01	4,9E-01 ± 2E-01	3,9E-01 ± 1E-01
Th-230			
K-40	3,4E+01 ± 2E+00	3,2E+01 ± 2E+00	3,3E+01 ± 2E+00
Be-7	8,3E-01 ± 2E+00	6,7E+00 ± 9E-01	3,8E+00 ± 1E+00
I-131			
Cs-134			
Cs-137			
Co-58			
Co-60			
Cr-51			
Mn-54			
Zn-65			
Nb-95			
Ru-106			
Sb-125			
H-3	4,6E+02 ± 7E+01	5,5E+02 ± 5E+01	5,1E+02 ± 4E+01

Tabela 8.15 | Koncentracije aktivnosti izotopov v vzorcih rek - Kolpa ŠIJS

Vzorč. mesto	Kolpa Vinica		Polletno povprečje (za celo leto)
	11. 2. 2020	13. 8. 2020	
Datum vzor.			
Pretok (m ³ /s)***	27	15,1	
Kol. vzorca (L)	49,84	55,18	
Koda vzorca	RP20SN83421	RP20SN83481	
IZOTOP	KONCENTRACIJA AKTIVNOSTI (Bq/m ³)		
U-238	1,9E+00 ± 1E+00	1,9E+00 ± 2E+00	1,9E+00 ± 1E+00
Ra-226	2,0E+00 ± 6E-01	1,7E+00 ± 5E-01	1,8E+00 ± 4E-01
Pb-210	5,5E-01 ± 7E-01	7,4E-01 †	6,5E-01 ± 1E-01 x
Ra-228	5,6E-01 ± 5E-01	7,7E-01 ± 4E-01	6,7E-01 ± 3E-01
Th-228	4,7E-01 ± 2E-01	2,0E-01 ± 2E-01	3,3E-01 ± 1E-01
Th-230			
K-40	1,1E+01 ± 2E+00	1,3E+01 ± 2E+00	1,2E+01 ± 1E+00
Be-7	2,4E+00 ± 1E+00	2,8E+00 ± 6E-01	2,6E+00 ± 6E-01
I-131			
Cs-134			
Cs-137			
Co-58			
Co-60			
Cr-51			
Mn-54			
Zn-65			
Nb-95			
Ru-106			
Sb-125			
	3,0E-03 ± 4E-02	‡	1,5E-03 ± 2E-02

Tabela 8.16 | Koncentracije aktivnosti izotopov v vzorcih rek - Drava ŠIJS

Vzorč. mesto	Drava Dravograd (Vrata)			Polletno povprečje (za celo leto)
	Datum vzor.	30. 1. 2020	7. 9. 2020	
Pretok (m ³ /s)***	200	563		
Kol. vzorca (L)	51,74	49,02		
Koda vzorca	RP20SN2311	RP20SN2391		
IZOTOP	KONCENTRACIJA AKTIVNOSTI (Bq/m ³)			
U-238	1,1E+01 ± 2E+00	8,1E+00 ± 3E+00	9,6E+00 ± 2E+00	
Ra-226	3,4E+00 ± 7E-01	1,5E+01 ± 4E+00	9,3E+00 ± 2E+00	
Pb-210	3,6E-01 ± 8E-01	1,1E+01 ± 3E+00	5,6E+00 ± 1E+00	
Ra-228	1,7E+00 ± 4E-01	1,1E+01 ± 1E+00	6,6E+00 ± 7E-01	
Th-228	4,3E-01 ± 2E-01	1,0E+01 ± 1E+00	5,4E+00 ± 5E-01	
Th-230		5,8E+00 ± 3E+01	2,9E+00 ± 1E+01	
K-40	4,6E+01 ± 2E+00	1,7E+02 ± 7E+00	1,1E+02 ± 4E+00	
Be-7	6,3E+00 ± 1E+00	1,8E+01 ± 2E+00	1,2E+01 ± 1E+00	
I-131				
Cs-134				
Cs-137	3,9E-01 ± 2E-01	6,4E+00 ± 8E-01	3,4E+00 ± 4E-01	
Co-58				
Co-60				
Cr-51				
Mn-54				
Zn-65				
Nb-95				
Ru-106				
Sb-125				
Sr-89/Sr-90	1,2E+00 ± 1E-01	2,1E+00 ± 1E-01	1,6E+00 ± 9E-02	
H-3	5,0E+02 ± 6E+01	8,7E+02 ± 1E+02	6,8E+02 ± 6E+01	

Tabela 8.17 | Koncentracije aktivnosti izotopov v vzorcih rek - Mura ŠIJS

Vzorč. mesto	Mura Petanjci			Polletno povprečje (za celo leto)
	Datum vzor.	30. 1. 2020	7. 9. 2020	
Pretok (m ³ /s)***	84,9	405		
Kol. vzorca (L)	51,96	51,45		
Koda vzorca	RP20SN911	RP20SN991		
IZOTOP	KONCENTRACIJA AKTIVNOSTI (Bq/m ³)			
U-238	4,0E+00 ± 2E+00	1,4E+01 ± 3E+00	8,8E+00 ± 2E+00	
Ra-226	4,9E-01 ± 6E-01	4,4E+01 ± 4E+00	2,2E+01 ± 2E+00	
Pb-210	4,7E-01 ± 2E+00	6,2E+01 ± 4E+00	3,1E+01 ± 2E+00	
Ra-228	1,3E+00 ± 3E-01	2,5E+01 ± 1E+00	1,3E+01 ± 5E-01	
Th-228	7,5E-01 ± 2E-01	2,4E+01 ± 1E+00	1,2E+01 ± 5E-01	
Th-230		1,6E+01 ± 8E+00	7,8E+00 ± 4E+00	
K-40	7,4E+01 ± 3E+00	3,4E+02 ± 2E+01	2,1E+02 ± 9E+00	
Be-7	1,2E+00 ± 7E-01	9,3E+01 ± 7E+00	4,7E+01 ± 4E+00	
I-131	6,6E-01 ± 4E-01	3,7E-01 ± 2E-01	5,2E-01 ± 2E-01	
Cs-134				
Cs-137	5,0E-01 ± 2E-01	9,6E+00 ± 8E-01	5,0E+00 ± 4E-01	
Co-58				
Co-60				
Cr-51				
Mn-54				
Zn-65				
Nb-95				
Ru-106				
Sb-125				
Sr-89/Sr-90	1,6E+00 ± 1E-01	2,3E+00 ± 1E-01	2,0E+00 ± 9E-02	
H-3	7,1E+02 ± 9E+01	9,0E+02 ± 1E+02	8,1E+02 ± 7E+01	

Tabela 8.18 | Koncentracije aktivnosti izotopov v vzorcih neobdelane zemlje na poljedeljsko intenzivnih področjih ZWD

Omaka vzorec	RV3080820	RV3090820	RV3100820	RV310820	RV2440820	RV2950820	RV3120820	RV3130820	RV3140820	RV2750820	RV3120820	RV3130820	RV2430820
Vzorec	Tla obdelana (0-15 cm)	Tla obdelana (0-15 cm)	Tla obdelana (0-15 cm)	Tla obdelana (0-15 cm)	Tla obdelana (0-15 cm)	Tla obdelana (0-15 cm)	Tla obdelana (0-15 cm)	Tla obdelana (0-15 cm)	Tla obdelana (0-15 cm)	Tla obdelana (0-15 cm)	Tla obdelana (0-15 cm)	Tla obdelana (0-15 cm)	Tla obdelana (0-15 cm)
Lokacija	Lendava	Petanjci (Tršina)	Ptuj	Laško	Blanca	Kostanjevica na Krki	Metlika	Radomlje (Zgornje Jarše)	Medvode (Zbilje)	Škofja Loka	Illiška Bistrica	Bilje pri Novi Gorici (Renče)	
Reka	Ledava	Mura	Drava	Savinja	Sava	Krka	Kopa	Kamniška Bistrica	Sava	Sora	Reka	Vipava	
Dat. vzorčenja	22.8.20	22.8.20	24.8.20	23.8.20	1.8.20	16.8.20	16.8.20	23.8.20	23.8.20	9.8.20	2.8.20	povprečje vseh vzorcev	
Dat. meritve	4.9.20	10.9.20	16.9.20	15.9.20	14.8.20	8.9.20	2.9.20	15.9.20	15.9.20	14.8.20	13.8.20		
Količina vzorca	973,2 g	996,9 g	997,0 g	726,2 g	1167,4 g	891,1 g	1180,6 g	707,9 g	654,7 g	1113,1 g	1158,7 g	1210,7 g	
Izotop	SPECIFIČNA AKTIVNOST (Bq/kg)												
U-238	3,8E+4 ± 9E-0	2,0E+1 ± 5E+0	5,2E+1 ± 1E+1	1,8E+1 ± 3E+0	2,8E+1 ± 6E+0	3,4E+1 ± 7E+0	4,6E+1 ± 9E+0	4,4E+1 ± 8E+0	3,3E+1 ± 7E+0	5,6E+1 ± 1E+1	3,2E+1 ± 7E+0	2,9E+1 ± 6E+0	3,6E+1 ± 1E+1
Re-226	*	3,3E+1 ± 1E+0	2,0E+1 ± 6E+1	4,6E+1 ± 1E+0	2,1E+1 ± 5E+1	3,1E+1 ± 7E+1	2,9E+1 ± 8E+1	4,6E+1 ± 9E+1	4,2E+1 ± 8E+1	3,8E+1 ± 9E+1	5,4E+1 ± 1E+0	2,8E+1 ± 6E+1	3,5E+1 ± 1E+1
Pb-210	4,9E+1 ± 8E+0	3,0E+1 ± 4E+0	6,1E+1 ± 7E+0	4,3E+1 ± 4E+0	4,0E+1 ± 5E+0	5,9E+1 ± 7E+0	7,1E+1 ± 7E+0	8,8E+1 ± 8E+0	6,5E+1 ± 7E+0	7,4E+1 ± 8E+0	5,3E+1 ± 6E+0	5,8E+1 ± 2E+1	6,0E+1 ± 6E+0
Ra-228	4,0E+1 ± 2E+0	2,5E+1 ± 1E+0	4,3E+1 ± 2E+0	2,2E+1 ± 8E+1	3,3E+1 ± 1E+0	4,1E+1 ± 1E+0	2,8E+1 ± 1E+0	4,1E+1 ± 1E+0	2,7E+1 ± 1E+0	5,8E+1 ± 2E+0	2,5E+1 ± 1E+0	3,4E+1 ± 1E+0	3,4E+1 ± 1E+1
Th-228	4,2E+1 ± 2E+0	2,0E+1 ± 1E+0	3,9E+1 ± 2E+0	2,0E+1 ± 9E+1	3,0E+1 ± 2E+0	2,8E+1 ± 2E+0	3,8E+1 ± 1E+0	3,4E+1 ± 1E+0	2,6E+1 ± 1E+0	5,0E+1 ± 2E+0	2,3E+1 ± 1E+0	3,1E+1 ± 1E+0	3,2E+1 ± 9E+0
K-40	6,0E+0 ± 3E+1	3,1E+2 ± 2E+1	5,4E+2 ± 3E+1	2,7E+2 ± 2E+1	3,5E+2 ± 2E+1	2,1E+2 ± 1E+1	4,3E+2 ± 2E+1	4,8E+2 ± 3E+1	2,3E+2 ± 1E+1	6,7E+2 ± 4E+1	3,4E+2 ± 2E+1	4,4E+2 ± 2E+1	4,1E+2 ± 1E+2
Be-7				2,8E+0 ± 9E-1				7,9E+0 ± 1E+0					8,9E-1 ± 2E+0
Cs-134													
Cs-137													
I-131	8,3E+0 ± 6E-1	6,8E+0 ± 4E-1	1,7E+1 ± 7E-1	7,8E+0 ± 3E-1	1,4E+1 ± 6E-1	5,3E+0 ± 5E-1	1,2E+1 ± 4E-1	3,4E+1 ± 9E-1	2,3E+1 ± 9E-1	1,8E+1 ± 7E-1	1,5E+1 ± 6E-1	5,8E+0 ± 3E-1	1,4E+1 ± 8E+0

* Izbrnjene rezultate iz posodice pri izračunu niso upoštevano

Tabela 8.19 | Koncentracije aktivnosti izotopov v vzorcih nefiltrirane rečne vode na poljedeljsko intenzivnih področjih ZD

Oznaka vzorca	RV3150820	RV3170820	RV3180820	RV3190820	RV2370820	RV2380820	RV2390820	RV3210820	RV22710820	RV2420820
Vzorec Rečna voda (nefiltrana)										
Lokacija	Lendava	Petanjci (Tisina)	Pluj	Laško	Bianca	Kostanjevica na Krki	Metlika	Radonjile (Zgorje Jarše)	Medvode (Zbilje)	Škofja Loka
Reka	Leđava	Mura	Drava	Savinja	Sava	Krka	Kolpa	Kamniška Bistrica	Sava	Sora
Dat. vzorčenja	22.8.20	22.8.20	22.8.20	23.8.20	1.8.20	16.8.20	16.8.20	23.8.20	15.9.20	17.9.20
Dat. meritve	14.9.20	12.9.20	16.9.20	17.7.20	17.8.20	12.9.20	12.9.20	17.9.20	17.9.20	17.8.20
Količina vzorca	50,00L	48,30L	48,05L	43,34L	48,60L	47,50L	47,50L	49,50L	48,35L	49,54L
Izotop				SPECIFIČNA AKTIVNOST (Bq/m^3)						
U-238	9.8E+0 ± 2E+0	3.0E+0 ± 3E+0	3.6E+0 ± 3E+0	2.5E+0 ± 2E+0	8.3E+0 ± 2E+0	2.7E+0 ± 2E+0	8.4E+0 ± 2E+0	1.1E+1 ± 2E+0	1.4E+0 ± 2E+0	4.1E+0 ± 4E+0
Ra-226 *	4.3E+0 ± 2E+1	3.8E+0 ± 3E+1	1.8E+0 ± 3E+1	2.7E+0 ± 2E+1	3.8E+0 ± 3E+1	2.7E+0 ± 2E+1	1.4E+0 ± 2E+1	2.7E+0 ± 2E+1	2.5E+0 ± 2E+1	2.5E+0 ± 2E+0
Pb-210	1.0E+1 ± 9E+1	8.1E+0 ± 9E+1	2.1E+1 ± 2E+0	1.7E+1 ± 3E+0	6.5E+0 ± 6E+1	2.4E+0 ± 2E+0	5.7E+0 ± 2E+0	6.1E+0 ± 2E+1	9.5E+0 ± 6E+1	8.1E+0 ± 6E+0
Ra-228	6.8E+0 ± 4E+1	3.9E+0 ± 5E+1	1.9E+0 ± 7E+1	4.3E+0 ± 5E+1	3.1E+0 ± 7E+1	2.2E+0 ± 2E+1	2.2E+0 ± 2E+1	1.4E+0 ± 2E+1	1.4E+0 ± 2E+1	2.2E+0 ± 2E+0
Th-228	1.3E+0 ± 6E+1	4.4E+1 ± 5E+0	6.9E+1 ± 4E+0	5.0E+1 ± 5E+0	4.4E+1 ± 2E+0	1.3E+0 ± 2E+1	2.2E+0 ± 6E+1	1.1E+0 ± 6E+1	1.6E+0 ± 2E+1	1.2E+0 ± 4E+0
K-40	4.4E+0 ± 3E+1	7.2E+1 ± 5E+0	1.2E+1 ± 9E+1	7.5E+0 ± 2E+0	1.3E+2 ± 5E+0	4.4E+1 ± 9E+1	1.6E+1 ± 5E+0	3.5E+1 ± 2E+0	5.5E+1 ± 1E+0	5.1E+1 ± 4E+0
Be-7	2.6E+1 ± 1E+0	1.5E+1 ± 1E+0	1.2E+1 ± 9E+1	<1.1E+0	1.4E+1 ± 2E+0	1.2E+1 ± 2E+0	1.4E+1 ± 1E+0	9.3E+0 ± 1E+0	2.2E+1 ± 9E+1	1.8E+1 ± 1E+0
Cs-134	8.3E+1 ± 1E+1	9.9E+1 ± 1E+1	<1.5E+0	2.1E+1 ± 6E+2	<1.1E+0	2.7E+1 ± 6E+2	<1.2E+0	2.9E+1 ± 7E+2	<7.8E+1	<5.0E+1
Cs-137	1-131			4.7E+0 ± 6E+1	2.4E+0 ± 6E+1					<6.5E-1
										5.9E-1 ± 1E+0

* Izvajajoči radona in posodice pri izračunu upoštevano

Tabela 8.20 | Koncentracije aktivnosti izotopov v vzorcih poljščin na poljedeljsko intenzivnih področjih ZWD

Ornaka vzorca	RV3010820	RV3020820	RV3030820	RV3040820	RV2450820	RV2230820	RV2240820	RV3050820	RV3060820	RV3070820	RV2220820	RV2460820
Vzorec	Bučke	Bučke	Kumare	Bučke	Bučke	Paprika	Bučke	Paradižnik	Paradižnik	Bučke	Bučke	Zelje
Lokacija	Lendava	Petanjci (Tisina)	Prnjavor	Laško	Blanca	Kostanjevica na Krki	Metlika	Radomlje (Zavonje [arše])	Melovočo (Zbilje)	Škofja Loka	Ilirska Bistrica	Bište pri Novi Gorici (Bente)
Reka	Lendava	Mura	Drava	Savinja	Sava	Krka	Kolpa	Kamniška Bistrica	Sava	Sora	Reka	Vipava
Dat.vzredenja	22.8.20	22.8.20	22.8.20	23.8.20	1.8.20	16.8.20	16.8.20	23.8.20	23.8.20	9.8.20	2.8.20	
Dat.meritve	3.9.20	3.9.20	4.9.20	11.9.20	28.8.20	1.9.20	27.8.20	12.9.20	11.9.20	25.8.20	25.8.20	
Količina vzorca	3238 g	3860 g	3666 g	2820 g	3410 g	2240 g	3670 g	2266 g	3708 g	4705 g	5464 g	
Izotop												
U-238	9.2E-2 ± 8E-2											
Ra-226	*	4.8E-2 ± 9E-3		3.2E-2 ± 4E-3	2.4E-2 ± 6E-3	3.4E-2 ± 2E-2	3.1E-2 ± 1E-2	4.4E-2 ± 1E-2	2.9E-2 ± 6E-3	7.4E-2 ± 2E-2	1.4E-2 ± 3E-2	1.4E-2 ± 3E-2
Pb-210	< 3.3E-1	1.2E-1 ± 8E-2		7.7E-2 ± 5E-2	< 4.0E-1	< 6.6E-1	< 3.3E-1	< 5.3E-1	< 4.5E-1	1.4E-1 ± 7E-2	9.4E-2 ± 6E-2	< 5.0E-1
Ra-228		6.4E-2 ± 2E-2		9.5E-2 ± 1E-2	3.5E-2 ± 2E-2	4.7E-2 ± 3E-3				5.8E-2 ± 3E-2	8.6E-2 ± 3E-2	3.2E-2 ± 4E-2
Th-228		4.4E-2 ± 2E-2		1.5E-2 ± 4E-2		4.3E-2 ± 2E-2				5.9E-2 ± 3E-2	4.5E-2 ± 3E-2	2.9E-2 ± 5E-2
K-40		5.1E-1 ± 3E-0	8.7E-1 ± 5E-0	6.3E-1 ± 3E-0	5.0E-1 ± 3E-0	1.2E-2 ± 7E-0	3.4E-1 ± 2E-0	7.8E-1 ± 4E-0	9.8E-1 ± 3E-0	8.8E-1 ± 4E-0	4.4E-1 ± 2E-0	6.5E-1 ± 3E-0
Be-7		3.3E-1 ± 5E-2								1.3E-1 ± 3E-2	1.3E-1 ± 3E-2	1.1E-1 ± 2E-1
Cs-134												
Cs-137		1.3E-2 ± 3E-3	< 5.6E-2	< 1.7E-2	< 2.6E-2	< 8.0E-2	< 3.4E-2	< 6.7E-2	< 3.1E-2	5.3E-2 ± 5E-3	< 3.3E-2	1.3E-2 ± 1E-2
I-131												2.3E-2 ± 2E-2

* Izbrnjene radionice prisotne v tem vzorcu

8.6 Zemlja

Nadaljevanje na naslednji strani 137.

Tabela 8.21 | Koncentracije aktivnosti izotopov v vzorcih zemlje - Ljubljana

Vzorč mesto	Ljubljana									
	Datum vzor.	trava	0-10	10-20	20-30	30-40	40-50	0-30	0-30 + trava	
Gl. vzor. (cm)	0,2	42,2	58,5	49,6	23,0	11,2	150,3	150,5		
Oznaka vzorca	RP20ZN1A61	RP20ZN1A61	RP20ZN1B61	RP20ZN1C61	RP20ZN1D61	RP20ZN1E61				
IZOTOP	KONCENTRACIJA AKTIVNOSTI [Bq/m ³]									
U-238	7,4E-01	±	7E-01	*	4,8E+03	±	3E+02	5,9E+03	±	4E+02
Ra-226	1,4E+00	±	7E-01		3,1E+03	±	3E+02	4,5E+03	±	4E+02
Ph-210	5,7E+00	±	1E+00		3,4E+03	±	8E+02	7,2E+03	±	4E+02
Ra-228	4,1E-01	±	2E-01		2,2E+03	±	7E+01	3,3E+03	±	1E+02
Th-228	4,1E-01	±	7E-02		2,3E+03	±	5E+01	3,2E+03	±	1E+02
Th-230	4,1E-01	±	7E-02		2,8E+03	±	9E+01	3,8E+03	±	1E+01
K-40	1,2E+02	±	4E+00		1,9E+04	±	6E+02	4,4E+03	±	1E+03
Mn-54	5,9E+01	±	2E+00		3,1E+04	±	1E+03	2,6E+04	±	8E+02
Zn-65					2,6E+04	±	8E+02	8,4E+03	±	2E+02
Nb-95					2,3E+02	±	1E+02	9,5E+01	±	8E+01
Ru-106								1,8E-01	±	6E+01
Sb-125										3,5E+02
Sr-89/Sr-90					2,1E+02	±	1E+01	2,2E+02	±	1E+01
Vzorč mesto	Ljubljana									
Datum vzor.	9.10.2020									
Gl. vzor. (cm)	9.10.2020									
Kol. vzor. (kg/m ³)	0,1									
Oznaka vzorca	RP20ZN1A1									
IZOTOP	KONCENTRACIJA AKTIVNOSTI [Bq/m ³]									
U-238	1,2E+00	±	4E-01		2,6E+03	±	2E+02	3,2E+03	±	4E+02
Ra-226	1,8E+00	±	7E-01		3,7E+03	±	3E+02	5,0E+03	±	5E+02
Pb-210	1,4E+01	±	9E-01		6,4E+03	±	3E+02	4,7E+03	±	8E+02
Ra-228	1,3E+00	±	1E-01		3,3E+03	±	1E+02	4,5E+03	±	2E+02
Th-228	1,1E+00	±	1E-01		3,2E+03	±	8E+01	4,4E+03	±	1E+02
Th-230					5,4E+03	±	1E+02	5,4E+03	±	1E+02
K-40	5,5E+01	±	2E+00		3,3E+04	±	1E+03	4,7E+04	±	3E+03
Be-7	1,0E+02	±	4E+00		6,4E+02	±	6E+01	6,0E+04	±	1E+03
I-131								6,7E+04	±	1E+03
Gs-134										7,4E+02
Cs-137	7,3E-01	±	4E-02		2,7E+03	±	1E+02	4,1E+02	±	3E+01
Co-58								8,8E+01	±	2E+01
Cr-51								4,2E+01	±	1E+01
Mn-54								5,4E+03	±	2E+02
Zn-65										5,4E+03
Nd-95										6,6E+02
Ru-106										6,6E+02
Sb-125										6,6E+02
Sr-89/Sr-90								2,2E+02	±	2E+01
								1,8E+02	±	1E+01
								1,0E+02	±	1E+01
								7,9E-01	±	1E-01
								6,6E-02	±	2E+01
								6,6E+02	±	2E+01

Tabela 8.22 | Specifične aktivnosti izotopov v vzorcih zemlje - Ljubljana ŠIUS

Vzorč. mesto		Ljubljana									
Datum vzor.	Gl. vzor. (cm)	trava	0-10	10-20	20-30	30-40	40-50	0-30	0-30 + travva		
Kol. vzor. (kg/m ²)	Oznaka vzorca	RP20ZN1T61	RP20ZN1A61	RP20ZN1B61	RP20ZN1C61	RP20ZN1D61	RP20ZN1E61	150,3	150,5		
Izotop											
U-238	3,3E+00 ± 3E+00	#	1,1E+02 ± 6E+00	1,0E+02 ± 7E+00	1,2E+02 ± 8E+00	1,1E+02 ± 6E+00	1,1E+02 ± 4E+00	1,1E+02 ± 4E+00	1,1E+02 ± 4E+00		
Ra-226	6,1E+00 ± 3E+00	7,3E+01 ± 5E+00	8,0E+01 ± 2E+01	7,8E+01 ± 1,5E+01	8E+00 †	4,6E+01 ± 5,4E+01	4,5E+01 ± 9,1E+01	4E+00 †	4E+00 †	7,3E+01 ± 6E+00	7,3E+01 ± 6E+00
Pb-210	2,5E+01 ± 5E+00	5E+01	5,3E+01 ± 1E+00	5,7E+01 ± 2E+00	5,7E+01 ± 2E+00	4,2E+01 ± 2E+00	3,3E+01 ± 3,5E+01	2E+01 †	2E+01 †	7,5E+01 ± 1E+00	7,5E+01 ± 1E+00
Ra-228	3,8E+00 ± 7E+01	3E+01	5,4E+01 ± 1E+00	5,5E+01 ± 2E+00	5,7E+01 ± 1E+00	5,7E+01 ± 1E+00	3,7E+01 ± 3,5E+01	1E+00 †	1E+00 †	5,6E+01 ± 1E+00	5,6E+01 ± 1E+00
Th-228	1,8E+00 ± 3E+00	3E+01	5,4E+01 ± 1E+00	7,5E+01 ± 2E+01	7,5E+01 ± 2E+01	3,7E+01 ± 3,5E+01	1E+00 †	1E+00	1E+00	5,5E+01 ± 1E+00	5,5E+01 ± 1E+00
Th-230	5,5E+02 ± 2E+02	2E+01	4,6E+02 ± 1E+01	5,2E+02 ± 1E+01	5,2E+02 ± 1E+01	3,7E+02 ± 3,5E+02	1E+01 †	1E+01	1E+01	2,9E+01 ± 9E+00	2,9E+01 ± 9E+00
K-40	1,1E+01 ± 1E+01	1E+00	4,0E+00 ± 2E+00	1,9E+00 ± 2E+00	1,9E+00 ± 2E+00	7,9E+01 ± 2E+00	7,9E+01 ± 2E+00	#	5,3E+00 ± 9E+01	5,0E+02 ± 1E+01	5,0E+02 ± 1E+01
Be-7	2,6E+02 ± 1E+02	1E+01	1,3E+02 ± 4E+00	1,1E+02 ± 5E+00	1,2E+01 ± 5E+00	1,5E+01 ± 7E+01	9,8E+00 ± 9,8E+00	#	9,5E+01 ± 2E+00	9,5E+01 ± 2E+00	9,5E+01 ± 2E+00
I-131	5,49E-90 ± 3E-01	3E+00	5,5E+00 ± 3E+01	5,5E+00 ± 3E+01	4,5E+00 ± 3E+01	4,5E+00 ± 3E+01	3,1E+00 ± 3E+01	2E+01	1,8E+00 ± 1E+01	5,0E+00 ± 2E+01	5,0E+00 ± 2E+01
Sr-89/Sr-90	5,49E-90 ± 3E-01	3E+00	5,5E+00 ± 3E+01	5,5E+00 ± 3E+01	4,5E+00 ± 3E+01	4,5E+00 ± 3E+01	3,1E+00 ± 3E+01	2E+01	1,8E+00 ± 1E+01	5,0E+00 ± 2E+01	5,0E+00 ± 2E+01
Izotop											
Vzorč. mesto	Datum vzor.	Gl. vzor. (cm)	trava	0-10	10-20	20-30	30-40	40-50	0-30 + travva		
Kol. vzor. (kg/m ²)	Oznaka vzorca	RP20ZN1TA1	RP20ZN1AA1	RP20ZN1BA1	RP20ZN1CA1	RP20ZN1DA1	RP20ZN1EA1	269,0	269,1		
Izotop											
U-238	9,9E+00 ± 3E+00	3E+00	3,8E+01 ± 3E+00	3,5E+01 ± 5E+00	4,7E+01 ± 5E+00	4,5E+01 ± 5E+00	4,3E+01 ± 4E+00	4E+00	4,0E+01 ± 3E+00		
Ra-226	3,5E+01 ± 6E+00	5,3E+01 ± 5E+00	5,3E+01 ± 5E+00	5,6E+00 †	4,4E+01 ± 4,3E+01	7E+00 †	5,7E+01 ± 5E+00	6E+00	5,1E+01 ± 4E+00		
Pb-210	1,1E+02 ± 7E+00	9,2E+01 ± 8E+01	9,2E+01 ± 8E+01	9E+00 †	4,3E+01 ± 5E+00	2E+01	4,4E+01 ± 5,2E+01	5E+00	4,2E+01 ± 8E+00		
Ra-228	1,1E+01 ± 8E+01	4,7E+01 ± 4,6E+01	4,9E+01 ± 4,8E+01	4,9E+01 ± 4,9E+01	5,0E+01 ± 5E+00	5,1E+01 ± 5E+00	5,2E+01 ± 5,3E+01	1E+00	5,0E+01 ± 9E+01		
Th-228	9,3E+00 ± 8E+01	4E+00	4,8E+02 ± 2E+01	5,1E+02 ± 2E+01	5,6E+02 ± 2E+01	5,6E+02 ± 2E+01	5,7E+02 ± 5,7E+02	1E+00	4,8E+01 ± 8E+01		
Th-230	4,5E+02 ± 2E+01	9,2E+00 ± 9E+01	4,8E+02 ± 2E+01	5,1E+02 ± 2E+01	5,6E+02 ± 2E+01	5,6E+02 ± 2E+01	5,7E+02 ± 5,7E+02	1E+00	4,2E+01 ± 2E+01		
K-40	8,4E+02 ± 3E+01	9E+01	8E+01	8E+01	8E+01	8E+01	8E+01	8E+01	5,2E+02 ± 1E+01		
Be-7	1,31	3E+01	3E+01	3E+01	3E+01	3E+01	3E+01	3E+01	2,6E+00 ± 2E+01		
I-131	6,0E+00 ± 4E+01	3,8E+01 ± 2E+00	2,5E+01 ± 2E+00	2,5E+01 ± 2E+00	3,8E+00 ± 3E+01	7,2E+01 ± 7E+01	3,3E+01 ± 3,3E+01	1E+01	2,2E+01 ± 8E+01		
Sr-89/Sr-90	3,2E+00 ± 2E+01	2,9E+00 ± 2E+01	2,9E+00 ± 2E+01	2,9E+00 ± 2E+01	1,6E+00 ± 1E+01	8E+02	6,1E+01 ± 8E+02	2,6E+00 ± 9E+02	2,6E+00 ± 9E+02		

Tabela 8.23 | Koncentracije aktivnosti izotopov v vzorcih zemlje - Kobarid ZWD

Osrednja vorteca	ZK0100520	ZK0200520	ZK0300520	ZK0400520	ZK0500520	ZK0100920	ZK0200920	ZK0300920	ZK0400920	ZK0500920	
Vzorec	Tla (0-10 cm)	Tla (10-20 cm)	Tla (20-30 cm)	Tla (30-40 cm)	Tla (40-50 cm)	Tla (0-10 cm)	Tla (10-20 cm)	Tla (20-30 cm)	Tla (30-40 cm)	Tla (40-50 cm)	
Lokacija	Kobarid	Kobarid	Kobarid	Kobarid	Kobarid	Kobarid	Kobarid	Kobarid	Kobarid	Kobarid	letno
Dat. vzorcev	9.5.20	9.5.20	9.5.20	9.5.20	9.5.20	19.9.20	19.9.20	19.9.20	19.9.20	19.9.20	povprečje
Dat. meritev	29.7.20	29.7.20	29.7.20	29.7.20	29.7.20	27.11.20	30.11.20	30.11.20	30.11.20	30.11.20	vseh
Količina vorteca	559,7 g	817,1 g	616,1 g	637,7 g	898,8 g	547,4 g	527,9 g	500,1 g	637,2 g	907,2 g	vzorev
Izotop						SPECIFIČNA AKTIVNOST (Bq/kg)					
U-238	3,3E+4 ± 2E+0	4,4E+4 ± 3E+0	3,9E+4 ± 7E+0	3,7E+4 ± 2E+0	4,6E+4 ± 1E+0	4,1E+4 ± 8E+0	2,0E+4 ± 6E+0	3,2E+4 ± 8E+0	3,3E+4 ± 8E+0	2,2E+4 ± 4E+0	3,2E+4 ± 1E+1
Ra-226	*	2,9E+4 ± 7E-1	2,8E+4 ± 7E-1	2,9E+4 ± 6E-1	3,1E+4 ± 6E-1	2,8E+4 ± 7E-1	1,6E+4 ± 6E-1	2,9E+4 ± 8E-1	2,6E+4 ± 9E-1	1,7E+4 ± 4E-1	2,6E+4 ± 5E+0
Pb-210	8,0E+1 ± 7E+0	1,3E+2 ± 1E+1	5,8E+1 ± 5E+0	4,0E+1 ± 4E+0	4,3E+1 ± 4E+0	1,5E+2 ± 1E+1	6,0E+1 ± 7E+0	5,0E+1 ± 7E+0	3,9E+1 ± 6E+0	2,5E+1 ± 4E+0	6,8E+1 ± 4E+1
Ra-228	3,8E+4 ± 1E+0	3,8E+4 ± 1E+0	4,1E+1 ± 1E+0	4,1E+1 ± 1E+0	4,0E+1 ± 1E+0	3,6E+1 ± 1E+0	2,2E+1 ± 1E+0	3,8E+1 ± 2E+0	3,8E+1 ± 2E+0	2,1E+1 ± 8E-1	3,2E+1 ± 8E-0
Th-228	3,5E+4 ± 1E+0	3,7E+4 ± 2E+0	3,6E+1 ± 1E+0	3,7E+1 ± 1E+0	3,1E+1 ± 2E+0	3,3E+1 ± 2E+0	2,1E+1 ± 1E+0	3,3E+1 ± 2E+0	3,6E+1 ± 2E+0	2,0E+1 ± 9E-1	3,2E+1 ± 7E+0
K-40	4,1E+2 ± 2E+1	4,3E+2 ± 2E+1	4,8E+2 ± 3E+1	5,7E+2 ± 3E+1	6,5E+2 ± 3E+1	4,3E+2 ± 2E+1	2,1E+2 ± 1E+1	4,3E+2 ± 3E+1	5,3E+2 ± 3E+1	3,2E+2 ± 2E+1	4,5E+2 ± 1E+2
Be-7		7,4E+0 ± 2E+0				2,4E+1 ± 2E+0					3,1E+0 ± 8E+0
Cs-134											
Cs-137	7,0E+1 ± 2E+0	1,2E+2 ± 3E+0	2,7E+1 ± 7E-1	1,2E+1 ± 4E-1	6,4E+0 ± 2E-1	1,0E+2 ± 3E+0	4,0E+1 ± 1E+0	2,0E+1 ± 8E-1	9,5E+0 ± 6E-1	1,8E+0 ± 2E-1	4,1E+1 ± 4E+1
I-131											
Sr-90	3,7E+0 ± 7E-1	2,4E+0 ± 5E-1	1,3E+0 ± 3E-1	7,6E-1 ± 4E-1	2,6E-1 ± 2E-1	2,4E+0 ± 5E-1	1,1E+0 ± 3E-1	6,5E-1 ± 3E-1	3,0E-1 ± 3E-1	2,9E-1 ± 3E-1	1,3E+0 ± 1E+0
H-3	**										

* Izračunje radona iz posodice pri izračunu ni upoštevan

** Meritev izvora ni v programu meritev

Tabela 8.24 | Koncentracije aktivnosti izotopov v vzorcih zemlje - Murska Sobota **ZD**

Oznaka vzorca	ZMS100520	ZMS200520	ZMS300520	ZMS400520	ZMS500520	ZMS100920	ZMS200920	ZMS300920	ZMS400920	ZMS500920
Vzorec	Tla (0-10 cm)	Tla (10-20 cm)	Tla (20-30 cm)	Tla (30-40 cm)	Tla (40-50 cm)	Tla (0-10 cm)	Tla (10-20 cm)	Tla (20-30 cm)	Tla (30-40 cm)	Tla (40-50 cm)
Lokacija	Murska Sobota	Murska Sobota	Murska Sobota	Murska Sobota	Murska Sobota	Murska Sobota	Murska Sobota	Murska Sobota	Murska Sobota	Murska Sobota
Dat. vzorčenja	16.5.20	16.5.20	16.5.20	16.5.20	16.5.20	13.9.20	13.9.20	13.9.20	13.9.20	13.9.20
Dat. meritve	29.7.20	3.8.20	3.8.20	31.7.20	31.7.20	27.11.20	27.11.20	27.11.20	27.11.20	27.11.20
Količina vzorca	905,1 g	994,9 g	1108,2 g	1175,7 g	1070,0 g	808,7 g	887,1 g	1019,2 g	1016,1 g	1142,1 g
Izotop				SPECIFIČNA AKTIVNOST (Bq/kg)						
U-238	5,3E+1 ± 3E+0	5,8E+1 ± 2E+0	5,8E+1 ± 2E+0	4,7E+1 ± 2E+0	5,9E+1 ± 1E+0	4,9E+1 ± 9E+0	3,1E+1 ± 7E+0	4,4E+1 ± 8E+0	2,0E+1 ± 8E+0	3,0E+1 ± 6E+0
Ra-226 *	3,3E+1 ± 7E-1	3,6E+1 ± 7E-1	3,7E+1 ± 7E-1	3,4E+1 ± 7E-1	3,6E+1 ± 6E-1	3,9E+1 ± 6E-1	2,1E+1 ± 6E-1	3,9E+1 ± 8E-1	2,0E+1 ± 4E-1	3,1E+1 ± 6E-1
Pb-210	6,7E+1 ± 6E+0	4,6E+1 ± 5E+0	4,8E+1 ± 4E+0	4,2E+1 ± 4E+0	4,6E+1 ± 4E+0	8,4E+1 ± 7E+0	3,2E+1 ± 5E+0	4,9E+1 ± 5E+0	2,4E+1 ± 3E+0	3,4E+1 ± 4E+0
Ra-228	4,8E+1 ± 2E+0	4,6E+1 ± 1E+0	4,9E+1 ± 1E+0	4,3E+1 ± 1E+0	4,6E+1 ± 1E+0	4,6E+1 ± 1E+0	2,8E+1 ± 1E+0	4,6E+1 ± 1E+0	2,3E+1 ± 7E-1	3,8E+1 ± 1E+0
Th-228	4,4E+1 ± 2E+0	4,4E+1 ± 1E+0	4,2E+1 ± 2E+0	4,4E+1 ± 2E+0	4,4E+1 ± 1E+0	2,4E+1 ± 1E+0	4,1E+1 ± 2E+0	2,4E+1 ± 1E+0	2,1E+1 ± 9E-1	3,3E+1 ± 1E+0
K-40	5,5E+2 ± 3E+1	5,2E+2 ± 3E+1	5,4E+2 ± 3E+1	4,6E+2 ± 3E+1	5,1E+2 ± 3E+1	5,3E+2 ± 3E+1	2,6E+2 ± 2E+1	5,2E+2 ± 3E+1	2,2E+2 ± 1E+1	4,0E+2 ± 2E+1
Be-7							8,0E+0 ± 1E+0			4,5E+2 ± 1E+2
Cs-134										8,0E-1 ± 3E+0
Cs-137	2,0E+1 ± 7E-1	1,4E+1 ± 5E-1	3,7E+0 ± 2E-1	9,7E-1 ± 2E-1	9,8E-1 ± 9E-2	3,1E+1 ± 8E-1	6,6E+0 ± 4E-1	2,6E+0 ± 3E-1	5,8E-1 ± 1E-1	5,5E-1 ± 1E-1
I-131										8,1E+0 ± 1E+1
Sr-90	4,1E-1 ± 2E-1	< 2,0E-1	< 1,6E-1	< 3,4E-1	< 3,0E-1	1,2E+0 ± 4E-1	7,9E-1 ± 3E-1	6,2E-1 ± 6E-1	< 2,6E-1	< 2,9E-1
H-3 **										3,8E-1 ± 4E-1

* Izrajanje radonih izotopov pri izračunu ni upoštevano

** Meritev izotopov niz programu meritav

8.7 Morje - voda in sedimenti

Tabela 8.25 | Koncentracije aktivnosti izotopov v vzorcih morja - vode in sedimentov 

Vzorč. mesto	Piranski zaliv	Vzorč. mesto	Morje - Piran
Datum vzor.	10. 10. 2020	Datum vzor.	26. 9. 2020
Kol. vzorca (L)	50,00	Kol. vzorca (kg)	0,43
Koda vzorca	RP20VM633A1	Koda vzorca	RP20SD63391
IZOTOP	KONCENTRACIJA AKTIVNOSTI (Bq/m ³)	IZOTOP	SPECIFIČNA AKTIVNOST (Bq/kg)
U-238		U-238	2,6E+01 ± 2E+00
Ra-226		Ra-226	2,6E+01 ± 2E+00
Pb-210		Pb-210	3,8E+01 ± 1E+01
Ra-228		Ra-228	2,2E+01 ± 6E-01
Th-228		Th-228	2,3E+01 ± 7E-01
Th-230		Th-230	
K-40		K-40	4,4E+02 ± 1E+01
Be-7		Be-7	
I-131		I-131	
Cs-134		Cs-134	
Cs-137	1,0E+00 ± 1E-01	Cs-137	2,9E+00 ± 2E-01
Co-58		Co-58	
Co-60		Co-60	
Cr-51		Cr-51	
Mn-54		Mn-54	
Zn-65		Zn-65	
Nb-95		Nb-95	
Ru-106		Ru-106	
Sb-125		Sb-125	

8.8 Zunanje sevanje

Tabela 8.26 | Izmerjene vrednosti zunanjega sevanja s TL dozimetri IJS

Št. TLD	Mesto postavitve	Izmerjena doza $H^{*}(10)$ (mSv) v obdobju				Letna doza $H^{*}(10)$ (mSv)		Povprečna mesečna doza $H^{*}(10)$ (mSv na mesec) v obdobju				Povprečna mesečna doza $H^{*}(10)$ (mSv na mesec)	
		od do	1. 1. 2020	od do	1. 7. 2020 1. 1. 2021	v 2020		od do	1. 1. 2020	od do	1. 7. 2020 1. 1. 2021	v 2020	
1	KOČEVJE	0,435	± 0,087	0,506	± 0,101	0,941	± 0,133	0,073	± 0,015	0,084	± 0,017	0,078	± 0,022
2	DVOR PRI ŽUŽEMBERKU	0,509	± 0,102	0,504	± 0,101	1,014	± 0,143	0,085	± 0,017	0,083	± 0,017	0,084	± 0,024
3	DOBILICE ČRNOMELJ	0,548	± 0,110	0,607	± 0,121	1,155	± 0,164	0,092	± 0,018	0,100	± 0,020	0,096	± 0,027
4	DRAŠIČI METLIKA	0,419	± 0,084	0,454	± 0,091	0,873	± 0,124	0,070	± 0,014	0,075	± 0,015	0,073	± 0,021
5	NOVO MESTO	0,327	± 0,065	0,366	± 0,073	0,693	± 0,098	0,055	± 0,011	0,061	± 0,012	0,058	± 0,016
6	MALKOVEC MOKRONOG	0,372	± 0,074	0,421	± 0,084	0,793	± 0,112	0,062	± 0,012	0,070	± 0,014	0,066	± 0,019
7	LISCA	0,380	± 0,076	0,420	± 0,084	0,800	± 0,113	0,063	± 0,013	0,069	± 0,014	0,067	± 0,019
8	CELJE	0,412	± 0,082	0,467	± 0,093	0,879	± 0,125	0,069	± 0,014	0,077	± 0,015	0,073	± 0,021
9	ROGAŠKA SLATINA	0,392	± 0,078	0,411	± 0,082	0,803	± 0,114	0,066	± 0,013	0,068	± 0,014	0,067	± 0,019
10	SLOVENSKE KONJICE	0,480	± 0,096	0,443	± 0,089	0,924	± 0,131	0,080	± 0,016	0,073	± 0,015	0,077	± 0,022
11	ROGLA	0,514	± 0,103	0,591	± 0,118	1,105	± 0,157	0,086	± 0,017	0,098	± 0,020	0,092	± 0,026
12	MARIBOR AERODROM	0,398	± 0,080	0,423	± 0,085	0,821	± 0,116	0,067	± 0,013	0,070	± 0,014	0,068	± 0,019
13	PTUJ	0,392	± 0,078	0,440	± 0,088	0,832	± 0,118	0,065	± 0,013	0,073	± 0,015	0,069	± 0,020
14	JERUZALEM ORMOŽ	0,370	± 0,074	0,374	± 0,075 *	0,745	± 0,105	0,062	± 0,012	0,062	± 0,012 *	0,062	± 0,018
15	LENDAVA	0,424	± 0,085	0,468	± 0,094	0,891	± 0,126	0,071	± 0,014	0,077	± 0,015	0,074	± 0,021
16	MURSKA SOBOTA	0,378	± 0,076	0,419	± 0,084	0,797	± 0,113	0,063	± 0,013	0,069	± 0,014	0,066	± 0,019
17	GORNJI PETROVCI	0,445	± 0,089 *	0,450	± 0,090	0,895	± 0,127	0,074	± 0,015 *	0,074	± 0,015	0,075	± 0,021
18	GORNJA RADGONA	0,392	± 0,078	0,399	± 0,080	0,790	± 0,112	0,065	± 0,013	0,066	± 0,013	0,066	± 0,019
19	SVEČINA PLAČ	0,454	± 0,091	0,509	± 0,102	0,963	± 0,136	0,076	± 0,015	0,084	± 0,017	0,080	± 0,023
20	RIBNICA NA POHORJU	0,432	± 0,086	0,442	± 0,088	0,873	± 0,123	0,072	± 0,014	0,073	± 0,015	0,073	± 0,021
21	KOTLJE	0,456	± 0,091	0,492	± 0,098	0,948	± 0,134	0,076	± 0,015	0,081	± 0,016	0,079	± 0,022
22	VELENJE	0,405	± 0,081	0,441	± 0,088	0,845	± 0,120	0,068	± 0,014	0,073	± 0,015	0,070	± 0,020
23	NAZARJE MOZIRJE	0,407	± 0,081	0,439	± 0,088	0,846	± 0,120	0,068	± 0,014	0,072	± 0,014	0,070	± 0,020
24	LUČE OB SAVINJI	0,412	± 0,082	0,460	± 0,092	0,871	± 0,123	0,069	± 0,014	0,076	± 0,015	0,073	± 0,021
25	VĀČE	0,419	± 0,084	0,481	± 0,096	0,899	± 0,127	0,070	± 0,014	0,079	± 0,016	0,075	± 0,021
26	LJUBLJANA BEŽIGRAD	0,367	± 0,073	0,406	± 0,081	0,773	± 0,109	0,061	± 0,012	0,067	± 0,013	0,064	± 0,018
27	BРNIK AERODROM	0,529	± 0,106	0,604	± 0,121	1,133	± 0,161	0,088	± 0,018	0,100	± 0,020	0,094	± 0,027
28	JEZERSKO	0,497	± 0,099	0,531	± 0,106	1,028	± 0,145	0,083	± 0,017	0,088	± 0,018	0,086	± 0,024
29	PODLJUBELJ	0,377	± 0,075	0,410	± 0,082	0,788	± 0,112	0,063	± 0,013	0,068	± 0,014	0,066	± 0,019
30	LESCE VRBNJE	0,341	± 0,068	0,373	± 0,075	0,714	± 0,101	0,057	± 0,011	0,062	± 0,012	0,059	± 0,017
31	PLANINA POD GOLICO	0,445	± 0,089	0,502	± 0,100	0,947	± 0,134	0,074	± 0,015	0,083	± 0,017	0,079	± 0,022
32	ZDENSKA VAS	0,446	± 0,089	0,504	± 0,101	0,950	± 0,135	0,075	± 0,015	0,083	± 0,017	0,079	± 0,022
33	RATEČE	0,479	± 0,096	0,491	± 0,098	0,970	± 0,137	0,080	± 0,016	0,081	± 0,016	0,081	± 0,023
34	TRENTA	0,286	± 0,057	0,315	± 0,063	0,601	± 0,085	0,048	± 0,010	0,052	± 0,010	0,050	± 0,014
35	LOG POD MANGARTOM	0,436	± 0,087	0,471	± 0,094	0,907	± 0,128	0,073	± 0,015	0,078	± 0,016	0,076	± 0,021
36	BOVEC	0,335	± 0,067	0,393	± 0,079	0,728	± 0,103	0,056	± 0,011	0,065	± 0,013	0,061	± 0,017
37	TOLMIN	0,343	± 0,069	0,399	± 0,080	0,742	± 0,105	0,057	± 0,011	0,066	± 0,013	0,062	± 0,017
38	BILJE NOVA GORICA	0,260	± 0,052	0,327	± 0,065	0,587	± 0,084	0,044	± 0,009	0,054	± 0,011	0,049	± 0,014
39	VEDRIJAN KOJSKO	0,380	± 0,076	0,450	± 0,090	0,830	± 0,118	0,064	± 0,013	0,074	± 0,015	0,069	± 0,020
40	LOKEV PRI LIPICI	0,447	± 0,089	0,496	± 0,099	0,943	± 0,134	0,075	± 0,015	0,082	± 0,016	0,079	± 0,022
41	SEČOVLJE AERODROM	0,370	± 0,074	0,353	± 0,071	0,723	± 0,102	0,062	± 0,012	0,058	± 0,012	0,060	± 0,017
42	KOZEZE IL. BISTRICA	0,359	± 0,072	0,401	± 0,080	0,760	± 0,108	0,060	± 0,012	0,066	± 0,013	0,063	± 0,018
43	ZALOG POSTOJNA	0,400	± 0,080	0,473	± 0,095	0,873	± 0,124	0,067	± 0,013	0,078	± 0,016	0,073	± 0,021
44	NOVA VAS NA BLOKAH	0,523	± 0,105	0,563	± 0,113	1,086	± 0,154	0,087	± 0,017	0,093	± 0,019	0,091	± 0,026
45	VRHNIKA	0,633	± 0,127	0,689	± 0,138	1,322	± 0,187	0,106	± 0,021	0,114	± 0,023	0,110	± 0,031
46	VOJSKO	0,442	± 0,088	0,440	± 0,088	0,882	± 0,125	0,074	± 0,015	0,073	± 0,015	0,074	± 0,021
47	SORICA	0,344	± 0,069	0,386	± 0,077	0,730	± 0,103	0,057	± 0,011	0,064	± 0,013	0,061	± 0,017
48	STARA FUŽINA	0,294	± 0,059	0,329	± 0,066	0,623	± 0,088	0,049	± 0,010	0,054	± 0,011	0,052	± 0,015
49	JELENJA VAS ISKRBA	0,623	± 0,125	0,698	± 0,140	1,321	± 0,187	0,104	± 0,021	0,115	± 0,023	0,110	± 0,031
50	KREDARICA	0,344	± 0,069	0,348	± 0,070 *	0,692	± 0,098	0,058	± 0,012 *	0,058	± 0,012	0,058	± 0,016
Število merilnih mest		50	st.	50	st.	50	st.	50	st.	50	st.	50	st.
Povprečje - merilna mesta		0,417	± 0,085	0,456	± 0,093	0,873	± 0,157	0,070	± 0,014	0,075	± 0,015	0,073	± 0,021
Najvišja doza		0,633	± 0,127	(45)	0,698	± 0,140	(49)	1,322	± 0,187	(45)	0,106	± 0,021	(45)
Najnižja doza		0,260	± 0,052	(38)	0,315	± 0,063	(34)	0,587	± 0,084	(38)	0,044	± 0,009	(38)

* Dozimeter je bil izgubljen, ukraden, oz. do priprave tega poročila še ni bil vrnjen v odčitavanje; če so bili podatki na voljo, so navedene vrednosti dobljene z ekstrapolacijo iz podatkov za prvo oz. drugo polletje.

** Negotovost rezultatov meritev podajamo za interval zaupanja 95 %.

8.9 Pitna voda

Tabela 8.27 | Koncentracije aktivnosti izotopov v vzorcih pitne vode P-IJS

Vzorč. mesto	Ljubljana Kleče	Logatec	Šemnik - Stahovlje (Zagorje ob Savi)	Trbovlje
Datum vzor.	22. 4. 2020	21. 4. 2020	11. 3. 2020	11. 3. 2020
Kol. vzorca (L)	52,01	50,88	51,81	52,50
Koda vzorca	RP20VD100041	RP20VD137041	RP20VD141031	RP20VD142031
IZOTOP	KONCENTRACIJA AKTIVNOSTI (Bq/m ³)			
U-238	4,0E+00 ± 1E+00	2,5E+00 ± 2E+00 ‡	6,4E+00 ± 7E+00 ‡	
Ra-226	3,3E-01 ± 3E-01	2,2E+00 ± 5E-01	3,4E+00 ± 8E-01	1,9E+01 ± 3E+00
Pb-210	1,6E+00	3,0E-01 †	7,8E-01	1,0E+01 ± 2E+00
Ra-228	7,1F-01 ± 5E-01	1,2F+00 ± 4E-01	3,9E-01 ± 3E-01	8,8F-01 ± 5F-01
Th-228	5,0E-01 ± 2E-01	5,8E-01 ± 2E-01	4,6E-01 ± 2E-01	9,4E-01 ± 3E-01
Th-230				2,6E+01 ± 2E+01 ‡
K-40	2,5E+01 ± 3E+00	7,4E+00 ± 2E+00	1,0E+01 ± 1E+00	1,2E+01 ± 3E+00
Be-7	1,2E+00 ± 9E-01			1,3E+00 ± 1E+00 ‡
I-131				
Cs-134				
Cs-137				4,6E-03 ± 5E-02 ‡
Co-58				
Co-60				
Cr-51				
Mn-54				
Zn-65				
Nb-95				
Ru-106				
Sb-125				
Sr-89/Sr-90	9,4E-02	4,2E-01 ± 7E-02	8,1E-02	4,9E-01 ± 7E-02
H-3	5,3E+02 ± 7E+01	4,0E+02 ± 6E+01	6,1E+02 ± 9E+01	7,5E+02 ± 7E+01

Vzorč. mesto	Ptuj (Žetale)	Maribor (Kamnica)	Muta - Gortina	Tabor (Gomilsko)
Datum vzor.	10. 4. 2020	10. 4. 2020	11. 3. 2020	11. 3. 2020
Kol. vzorca (L)	52,05	52,47	50,06	50,14
Koda vzorca	RP20VD228741	RP20VD235141	RP20VD236631	RP20VD330331
IZOTOP	KONCENTRACIJA AKTIVNOSTI (Bq/m ³)			
U-238		3,1E+00 ± 2E+00	6,0E-01 ± 6E-01 ‡	2,5E+00 ± 9E-01
Ra-226	9,0E+00 ± 2E+00	1,2E+01 ± 2E+00	7,8E-01 ± 5E-01	1,5E+00 ± 2E-01
Pb-210	7,7E-01	2,2E+00 ± 2E+00 ‡	2,4E+00 ± 4E-01	1,2E+00 ± 3E-01
Ra-228	1,9E+00 ± 3E-01	2,8E+00 ± 4E-01	3,5E-01 ± 2E-01	6,3E-01 ± 2E-01
Th-228	7,6E-01 ± 2E-01	2,2E+00 ± 2E-01	3,4E-01 ± 9E-02	3,9E-01 ± 6E-02
Th-230				
K-40	4,8E+01 ± 3E+00	1,0E+02 ± 4E+00	3,6E+01 ± 4E+00	8,5E+00 ± 9E-01
Be-7	7,9E+00 ± 1E+00	2,8E+00 ± 7E-01	1,8E-01 ± 6E-01 ‡	1,2E+00 ± 5E-01
I-131				
Cs-134				
Cs-137	3,2E-03 ± 5E-02 ‡	3,2E-03 ± 5E-02 ‡	2,6E-02 ± 8E-02 ‡	2,7E-02 ± 5E-02 ‡
Co-58				
Co-60				
Cr-51				
Mn-54				
Zn-65				
Nb-95				
Ru-106				
Sb-125				
Sr-89/Sr-90	7,7E-01 ± 9E-02	1,4E+00 ± 1E-01	8,1E-02	5,1E-01 ± 8E-02
H-3	9,9E+01 ± 2E+01	7,1E+02 ± 9E+01	6,7E+02 ± 8E+01	6,4E+02 ± 1E+02

Tabela 8.28 | Koncentracije aktivnosti izotopov v vzorcih pitne vode – nadaljevanje IJS

Vzorč. mesto	Trebija –Todraž (Gorenja vas)	Žegrnani studenec (Tržič)	Hubelj Ajdovščina	Ilirska Bistrica (Jelšane)
Datum vzor.	18. 5. 2020	18. 5. 2020	21. 4. 2020	21. 4. 2020
Kol. vzorca (L)	52,08	51,94	50,07	52,31
Koda vzorca	RP20VD422451	RP20VD429051	RP20VD529541	RP20VD625441
IZOTOP	KONCENTRACIJA AKTIVNOSTI (Bq/m ³)			
U-238	4,5E-01 ± 2E+00 ‡	6,8E-01 ± 7E-01 ‡	3,6E+00 ± 1E+00	2,3E+00 ± 1E+00
Ra-226	2,1E+00 ± 6E-01	2,5E+00 ± 4E-01	4,1E-01 ± 3E-01 ‡	2,0E+00 ± 1E+00
Pb-210	1,3E-01 ± 2E+00 ‡	2,4E-01 ± 6E-01 ‡	1,5E+00 †	3,1E-01 †
Ra-228	7,0E-01 ± 5E-01	6,6E-01 ± 3E-01	1,3E+00 ± 7E-01	
Th-228	3,4E-01 ± 4E-01 ‡	2,3E-01 ± 6E-02	3,6E-01 ± 1E-01	4,9E-01 ± 2E-01
Th-230				
K-40	1,2E+01 ± 2E+00	5,5E+00 ± 1E+00	5,6E+00 ± 2E+00	7,5E+00 ± 1E+00
Be-7				
I-131				
Cs-134				
Cs-137			8,5E-02 ± 9E-02 ‡	
Co-58				
Co-60				
Cr-51				
Mn-54				
Zn-65				
Nb-95				
Ru-106				
Sb-125				
Sr-89/Sr-90	4,6E-01 ± 7E-02	5,4E-01 ± 1E-01	1,2E+00 ± 1E-01	9,0E-01 ± 1E-01
H-3	4,0E+02 ± 6E+01	3,7E+02 ± 7E+01	3,3E+02 ± 6E+01	4,0E+02 ± 6E+01

Vzorč. mesto	Raka	Metlika Obrh	Gaberje (Kobilje)
Datum vzor.	12. 5. 2020	23. 4. 2020	10. 4. 2020
Kol. vzorca (L)	50,77	51,86	51,45
Koda vzorca	RP20VD827451	RP20VD833041	RP20VD922741
IZOTOP	KONCENTRACIJA AKTIVNOSTI (Bq/m ³)		
U-238	1,7E+00 ± 2E+00 ‡	1,9E+00 ± 7E-01	3,7E+00 ± 9E-01
Ra-226	1,1E+01 ± 2E+00	1,9E+00 ± 3E-01	7,0E-01 ± 3E-01
Pb-210	1,6E+00 †	2,4E-01 †	6,7E+00 ± 6E-01
Ra-228	1,2E+00 ± 5E-01	4,2E-01 ± 3E-01	7,2E-01 ± 2E-01
Th-228	4,3E-01 ± 3E-01	6,4E-01 ± 7E-02	7,1E-01 ± 7E-02
Th-230			
K-40	2,6E+01 ± 2E+00	3,1E+01 ± 2E+00	3,8E+01 ± 2E+00
Be-7		1,3E-01 ± 6E-01 ‡	3,0E+00 ± 4E-01
I-131			
Cs-134			
Cs-137		6,5E-02 ± 7E-02 ‡	
Co-58			
Co-60			
Cr-51			
Mn-54			
Zn-65			
Nb-95			
Ru-106			
Sb-125			
Sr-89/Sr-90	4,2E-01 ± 7E-02	8,2E-01 ± 1E-01	8,8E-02 †
H-3	3,6E+02 ± 6E+01	6,9E+02 ± 7E+01	3,6E+02 ± 4E+01

8.10 Hrana

Tabela 8.29 | Koncentracije aktivnosti izotopov v vzorcih mleka - Ljubljana ZVD

Oznaka vzorca	MLLJ0220	MLLJ0420	MLLJ0620	MLLJ0820	MLLJ1020	MLLJ1220	
Vzorec	Mleko (kravje)	Mleko (kravje)	Mleko (kravje)	Mleko (kravje)	Mleko (kravje)	Mleko (kravje)	
Lokacija	Ljubljana	Ljubljana	Ljubljana	Ljubljana	Ljubljana	Ljubljana	
Dat. vzorčenja	1.1.20-29.2.20	1.3.20-30.4.20	1.5.20-30.6.20	1.7.20-31.8.20	1.9.20-31.10.20	1.11.20-31.12.20	povprečje
Dat. meritve	30.4.20	3.6.20	21.8.20	20.10.20	4.1.21	22.1.21	vseh
Količina vzorca	10823 g	9278 g	10817 g	10816 g	10841 g	10534 g	vzorcev
Izotop	SPECIFIČNA AKTIVNOST (Bq/kg)					preračunana na datum vzorčenja	
U-238	8,3E-2 ± 6E-2					6,3E-2 ± 3E-2	2,4E-2 ± 4E-2
Ra-226 *	2,4E-2 ± 7E-3	2,8E-2 ± 9E-3	1,4E-2 ± 9E-3	5,7E-2 ± 1E-2	2,5E-2 ± 1E-2	2,3E-2 ± 3E-3	2,8E-2 ± 2E-2
Pb-210	1,3E-1 ± 6E-2	1,0E-1 ± 7E-2	1,1E-1 ± 8E-2	1,1E-1 ± 7E-2	< 4,4E-1	< 1,4E-1	1,2E-1 ± 8E-2
Ra-228	3,3E-2 ± 2E-2			2,3E-2 ± 2E-2	5,5E-2 ± 5E-2		1,9E-2 ± 3E-2
Th-228		8,5E-2 ± 2E-2		6,1E-2 ± 2E-2			2,4E-2 ± 4E-2
K-40	5,0E+1 ± 3E+0	5,0E+1 ± 3E+0	5,0E+1 ± 3E+0	5,0E+1 ± 3E+0	5,0E+1 ± 3E+0	5,2E+1 ± 3E+0	5,1E+1 ± 3E+0
Be-7							
Cs-134							
Cs-137	2,7E-2 ± 4E-3	2,7E-2 ± 6E-3	1,0E-2 ± 9E-3	4,3E-2 ± 5E-3	3,8E-2 ± 7E-3	3,7E-2 ± 3E-3	3,0E-2 ± 1E-2
I-131							
Sr-90	9,0E-3 ± 8E-3	1,6E-2 ± 8E-3	2,1E-2 ± 9E-3	2,7E-2 ± 8E-3	1,9E-2 ± 7E-3	2,2E-2 ± 7E-3	1,9E-2 ± 1E-2
H-3 **							

* Izhajanje radona iz posodice pri izračunu ni upoštevano

** Meritev izotopa ni v programu meritev

Tabela 8.30 | Koncentracije aktivnosti izotopov v vzorcih mleka - Kobarid ZVD

Oznaka vzorca	MLKO0220	MLKO0420	MLKO0620	MLKO0820	MLKO1020	MLKO1220	
Vzorec	Mleko (kravje)	Mleko (kravje)	Mleko (kravje)	Mleko (kravje)	Mleko (kravje)	Mleko (kravje)	
Lokacija	Kobarid	Kobarid	Kobarid	Kobarid	Kobarid	Kobarid	
Dat. vzorčenja	1.1.20-29.2.20	1.3.20-30.4.20	1.5.20-30.6.20	1.7.20-31.8.20	1.9.20-31.10.20	1.12.20-31.12.20	povprečje
Dat. meritve	30.4.20	17.8.20	21.8.20	20.10.20	4.1.21	22.1.21	vseh
Količina vzorca	10176 g	10106 g	10208 g	10214 g	10203 g	9966 g	vzorcev
Izotop	SPECIFIČNA AKTIVNOST (Bq/kg)					preračunana na datum vzorčenja	
U-238							
Ra-226 *	2,3E-2 ± 3E-3	5,4E-3 ± 5E-3	2,8E-2 ± 1E-2				9,4E-3 ± 1E-2
Pb-210	< 1,4E-1	8,1E-2 ± 4E-2	< 3,8E-1	1,0E-1 ± 7E-2	< 3,9E-1	< 3,8E-1	1,4E-1 ± 9E-2
Ra-228		6,3E-2 ± 3E-2	3,3E-2 ± 2E-2				1,6E-2 ± 3E-2
Th-228	3,8E-2 ± 6E-3	1,3E-2 ± 1E-2	3,2E-2 ± 2E-2	2,6E-2 ± 2E-2	8,9E-2 ± 3E-2		3,3E-2 ± 3E-2
K-40	5,1E+1 ± 3E+0	4,9E+1 ± 3E+0	4,4E+1 ± 2E+0	4,8E+1 ± 3E+0	5,0E+1 ± 3E+0	5,8E+1 ± 3E+0	5,0E+1 ± 6E+0
Be-7							
Cs-134							
Cs-137	4,2E-2 ± 3E-3	3,0E-2 ± 3E-3	1,9E-2 ± 5E-3	4,9E-2 ± 5E-3	2,2E-2 ± 3E-3	4,1E-2 ± 7E-3	3,4E-2 ± 1E-2
I-131							
Sr-90	2,8E-2 ± 9E-3	2,2E-2 ± 8E-3	< 8,5E-3	1,7E-2 ± 8E-3	2,7E-2 ± 1E-2	5,1E-2 ± 1E-2	2,5E-2 ± 2E-2
H-3 **							

* Izhajanje radona iz posodice pri izračunu ni upoštevano

** Meritev izotopa ni v programu meritev

Tabela 8.31 | Koncentracije aktivnosti izotopov v vzorcih mleka - Bohinjska Bistrica ZVD

Oznaka vzorca	MLBB0220	MLBB0420	MLBB0620	MLBB0820	MLBB1020	MLBB1220	
Vzorec	Mleko (kravje)	Mleko (kravje)	Mleko (kravje)	Mleko (kravje)	Mleko (kravje)	Mleko (kravje)	
Lokacija	Bohinjska Bistrica	Bohinjska Bistrica	Bohinjska Bistrica	Bohinjska Bistrica	Bohinjska Bistrica	Bohinjska Bistrica	
Dat. vzorčenja	1.1.20-29.2.20	1.3.20-30.4.20	1.5.20-30.6.20	1.7.20-31.8.20	1.9.20-31.10.20	1.11.20-31.12.20	povprečje
Dat. meritve	30.4.20	17.8.20	21.8.20	20.10.20	4.1.21	22.1.21	vseh
Količina vzorca	8958 g	8850 g	9544 g	9850 g	9124 g	10237 g	vzorcev
Izotop	SPECIFIČNA AKTIVNOST (Bq/kg)					preračunana na datum vzorčenja	
U-238	1,4E+0 ± 4E-2						2,4E-1 ± 6E-1
Ra-226 *	4,9E-2 ± 5E-3	1,6E-1 ± 9E-2					3,6E-2 ± 7E-2
Pb-210	6,7E-1 ± 7E-2	1,0E-1 ± 7E-2	8,6E-2 ± 7E-2	< 3,3E-1	9,2E-2 ± 6E-2	5,7E-2 ± 5E-2	1,9E-1 ± 2E-1
Ra-228	1,1E-1 ± 1E-2	3,8E-2 ± 2E-2			5,2E-2 ± 3E-2	2,4E-2 ± 1E-2	3,8E-2 ± 4E-2
Th-228	1,5E-1 ± 1E-2						2,5E-2 ± 6E-2
K-40	5,1E+1 ± 3E+0	4,9E+1 ± 4E+0	5,2E+1 ± 3E+0	4,6E+1 ± 2E+0	4,7E+1 ± 2E+0	4,9E+1 ± 3E+0	4,9E+1 ± 4E+0
Be-7							
Cs-134							
Cs-137	< 3,9E-2	< 4,8E-2	3,4E-2 ± 6E-3	1,9E-2 ± 4E-3	3,3E-2 ± 6E-3	2,7E-2 ± 5E-3	2,6E-2 ± 9E-3
I-131							
Sr-90	9,0E-3 ± 6E-3	< 7,4E-3	5,6E-2 ± 1E-2	< 1,0E-2	7,0E-2 ± 2E-2	< 5,0E-3	2,4E-2 ± 3E-2
H-3 **							

* Izhajanje radona iz posodice pri izračunu ni upoštevano

** Meritev izotopa ni v programu meritev

Tabela 8.32 | Koncentracije aktivnosti izotopov v vzorcih mleka - Murska Sobota ZVD

Oznaka vzorca	MLMS0220	MLMS0420	MLMS0620	MLMS0820	MLMS1020	MLMS1220	
Vzorec	Mleko v prahu (kravje)	Mleko v prahu (kravje)	Mleko v prahu (kravje)	Mleko v prahu (kravje)	Mleko v prahu (kravje)	Mleko v prahu (kravje)	
Lokacija	Murska Sobota	Murska Sobota	Murska Sobota	Murska Sobota	Murska Sobota	Murska Sobota	
Dat. vzorčenja	1.1.20-29.2.20	1.3.20-30.4.20	1.5.20-30.6.20	1.7.20-31.8.20	1.9.20-31.10.20	1.11.20-31.12.20	povprečje
Dat. meritve	30.4.20	27.7.20	17.8.20	20.10.20	4.1.21	22.1.21	vseh
Količina vzorca	500 g	576 g	500 g	500 g	550 g	500 g	vzorcev
Izotop	SPECIFIČNA AKTIVNOST (Bq/kg)						preračunana na datum vzorčenja
U-238	2,6E+0 ± 6E-1	1,4E+0 ± 7E-1					6,6E-1 ± 1E+0
Ra-226 *	2,0E-1 ± 9E-2	4,6E-1 ± 3E-1	7,5E-1 ± 1E-1	4,7E-1 ± 2E-1	4,2E-1 ± 1E-1		3,8E-1 ± 3E-1
Pb-210	< 4,2E+0	< 4,7E+0	1,3E+0 ± 1E+0	< 4,7E+0	2,5E+0 ± 2E+0	< 5,5E+0	2,2E+0 ± 1E+0
Ra-228	4,6E-1 ± 3E-1	5,2E-1 ± 3E-1	8,6E-1 ± 2E-1				4,3E-1 ± 4E-1
Th-228	2,7E-1 ± 2E-1		3,3E+0 ± 8E-1	4,3E-1 ± 3E-1	3,7E-1 ± 2E-1		7,4E-1 ± 1E+0
K-40	5,7E+2 ± 4E+1	5,4E+2 ± 4E+1	5,5E+2 ± 3E+1	5,7E+2 ± 4E+1	5,5E+2 ± 3E+1		5,5E+2 ± 4E+1
Be-7							
Cs-134							
Cs-137	3,5E-1 ± 5E-2	4,3E-1 ± 7E-2	5,9E-1 ± 8E-2	3,8E-1 ± 5E-2	< 6,1E-1	< 5,1E-1	3,8E-1 ± 1E-1
I-131							
Sr-90	2,6E-1 ± 1E-1	1,4E-1 ± 8E-2	1,8E-1 ± 1E-1	3,2E-1 ± 1E-1	2,5E-1 ± 8E-2	2,7E-1 ± 9E-2	2,4E-1 ± 1E-1
H-3 **							

* Izhajanje radona iz posodice pri izračunu ni upoštevano

** Meritev izotopa ni v programu meritve

Tabela 8.33 | Koncentracije aktivnosti izotopov v vzorcih živil živalskega izvora ZVD

Oznaka vzorca	MS010520	MS020520	MS030520	MS040520	MS050520	MS060520	MS070920	MS080920	
Vzorec	Jajca (kokošja)	Meso (piščanče)	Med	Meso (svinjina)	Meso (govedina)	Divjačina (srnjak)	Postrv	Sir (kravji)	
Lokacija	Pivka	Apače	Beltinci	Markovci	Sežana	Železniki	Podbočje	Kobarid	
Dat. vzorčenja	12.5.20	19.5.20	20.5.20	25.5.20	8.6.20	9.6.20	9.9.20	15.9.20	povprečje
Dat. meritve	17.8.20	17.8.20	19.8.20	19.8.20	28.8.20	28.8.20	26.10.20	26.10.20	vseh
Količina vzorca	1636 g	1498 g	1764 g	1508,0 g	1550 g	1060 g	1356,0 g	1070 g	vzorcev
Izotop	SPECIFIČNA AKTIVNOST (Bq/kg)						preračunana na datum vzorčenja		
U-238	4,5E-2 ± 3E-2				7,3E-1 ± 3E-1		9,1E-1 ± 2E-1		2,1E-1 ± 4E-1
Ra-226 *	8,5E-2 ± 2E-2	2,4E-2 ± 2E-2	1,3E-1 ± 5E-3	3,2E-2 ± 2E-2	3,9E-2 ± 3E-2		2,5E-1 ± 2E-2		7,0E-2 ± 9E-2
Pb-210	< 4,7E-1	< 4,2E-1	2,0E-1 ± 3E-2	< 5,6E-1	2,2E-1 ± 2E-1	< 8,9E-1	< 1,1E+0	3,9E-1 ± 8E-2	3,2E-1 ± 2E-1
Ra-228	1,5E-1 ± 3E-2		1,2E-2 ± 1E-2	6,8E-2 ± 4E-2		4,7E-1 ± 2E-1			8,8E-2 ± 2E-1
Th-228		5,8E-2 ± 3E-2	5,9E-2 ± 1E-2	6,6E-2 ± 4E-2		9,0E-2 ± 6E-2		2,2E-1 ± 3E-2	6,1E-2 ± 7E-2
K-40	4,1E+1 ± 2E+0	6,2E+1 ± 3E+0	2,6E+1 ± 1E+0	8,3E+1 ± 5E+0	7,7E+1 ± 4E+0	9,0E+1 ± 5E+0	1,2E+2 ± 7E+0	3,8E+1 ± 2E+0	6,7E+1 ± 3E+1
Be-7									
Cs-134									
Cs-137	< 7,7E-2	3,9E-2 ± 9E-3	9,9E-1 ± 3E-2	2,1E-2 ± 2E-3	8,6E-2 ± 1E-2	2,2E+0 ± 8E-2	1,4E-1 ± 2E-2	4,4E-2 ± 9E-3	4,5E-1 ± 8E-1
I-131									
Sr-90	< 2,5E-2	< 1,4E-2	< 4,0E-2	< 3,4E-2	< 3,8E-2	< 4,0E-2	< 4,1E-2	3,7E-1 ± 9E-2	6,1E-2 ± 1E-1
H-3 **									

* Izhajanje radona iz posodice pri izračunu ni upoštevano

** Meritev izotopa ni v programu meritve

Tabela 8.34 | Koncentracije aktivnosti izotopov v vzorcih kruha in žitaric ZVD

Oznaka vzorca	MO010520	MO020520	MO030620	MO040620	MO050920	MO060920	
Vzorec	Kruh (beli)	Moka (bela)	Kruh (polnozrnat)	Moka (bela)	Oves	Koruza	
Lokacija	Ljubljana	Ajdovščina	Nova Gorica	Ajdovščina	Slovenska Bistrica	Italija	
Dat. vzorčenja	26.5.20	26.5.20	3.6.20	3.6.20	3.9.20	7.9.20	povprečje
Dat. meritve	17.8.20	17.8.20	21.8.20	28.8.20	26.10.20	26.10.20	vseh
Količina vzorca	2864 g	3000 g	3300 g	3000 g	1522 g	1500 g	vzorcev
Izotop	SPECIFIČNA AKTIVNOST (Bq/kg)						preračunana na datum vzorčenja
U-238							
Ra-226 *	1,2E-1 ± 3E-2	2,4E-2 ± 1E-2	8,3E-2 ± 8E-3		7,0E-1 ± 9E-2	1,7E-2 ± 2E-2	1,6E-1 ± 3E-1
Pb-210	< 1,2E+0	1,6E-1 ± 9E-2	< 2,9E-1	< 8,0E-1	< 2,6E+0	< 7,7E-1	5,0E-1 ± 5E-1
Ra-228			1,1E-1 ± 2E-2	8,6E-2 ± 5E-2			3,2E-2 ± 5E-2
Th-228	2,1E-1 ± 7E-2		2,2E-2 ± 1E-2		2,9E-1 ± 2E-1		8,7E-2 ± 1E-1
K-40	3,6E+1 ± 2E+0	4,5E+1 ± 2E+0	7,7E+1 ± 4E+0	3,7E+1 ± 2E+0	1,4E+2 ± 8E+0	8,3E+1 ± 4E+0	6,9E+1 ± 4E+1
Be-7					1,7E+0 ± 4E-1		2,9E-1 ± 7E-1
Cs-134							
Cs-137	< 1,3E-1	< 6,9E-2	1,8E-2 ± 4E-3	< 1,0E-1	< 3,6E-1	4,2E-2 ± 9E-3	6,5E-2 ± 6E-2
I-131							
Sr-90	< 3,4E-2	< 1,4E-2	< 1,7E-2	< 3,1E-2	< 9,0E-2	< 1,6E-2	
H-3 **							

* Izhajanje radona iz posodice pri izračunu ni upoštevano

** Meritev izotopa ni v programu meritve

Tabela 8.35 | Koncentracije aktivnosti izotopov v vzorcih sadja ZVD

Oznaka vzorca	SS010520	SS020520	SS030720	SS040720	SS050720	SS060920	
Vzorec	Kivi	Grozđe	Breskev	Slove	Jabolka	Hruške	
Lokacija	Nova Zelandija	Egipt	Dornberk	Srbija	Koper	Malečnik	
Dat. vzorčenja	26.5.20	25.5.20	1.7.20	14.7.20	14.7.20	4.9.20	povprečje
Dat. meritve	19.8.20	21.8.20	24.8.20	24.8.20	24.8.20	26.10.20	vseh
Količina vzorca	3110 g	3920 g	4605 g	3514 g	3890 g	4019 g	vzorcev
Izotop	SPECIFIČNA AKTIVNOST (Bq/kg)					preračunana na datum vzorčenja	
U-238	9,9E-2 ± 5E-2				1,7E-1 ± 7E-2		4,5E-2 ± 8E-2
Ra-226 *	5,8E-2 ± 1E-2	5,6E-2 ± 2E-2	1,4E-2 ± 6E-3	2,4E-2 ± 5E-3	1,5E-1 ± 1E-2	1,1E-2 ± 5E-3	5,2E-2 ± 5E-2
Pb-210	< 4,0E-1	< 7,8E-1	2,3E-1 ± 5E-2	9,5E-2 ± 5E-2	< 3,7E-1	1,4E-1 ± 4E-2	2,1E-1 ± 1E-1
Ra-228					5,0E-2 ± 3E-2	3,5E-2 ± 2E-2	1,4E-2 ± 2E-2
Th-228					1,1E-1 ± 2E-2		1,8E-2 ± 4E-2
K-40	9,9E+1 ± 5E+0	6,8E+1 ± 4E+0	5,2E+1 ± 3E+0	4,8E+1 ± 2E+0	4,2E+1 ± 2E+0	3,2E+1 ± 2E+0	5,7E+1 ± 2E+1
Be-7			1,9E+0 ± 7E-2	2,0E-1 ± 2E-2	4,4E-1 ± 5E-2	5,3E-1 ± 4E-2	5,1E-1 ± 7E-1
Cs-134							
Cs-137	< 5,2E-2	< 1,1E-1	< 2,7E-2	< 1,9E-2	< 5,0E-2	< 2,7E-2	
I-131							
Sr-90	< 1,9E-2	< 1,5E-2	< 7,2E-3	< 9,1E-3	< 1,8E-2	< 8,6E-3	
H-3 **							

* Izhajanje radona iz posodice pri izračunu ni upoštevano

** Meritev izotopa ni v programu meritvev

Tabela 8.36 | Koncentracije aktivnosti izotopov v vzorcih zelenjave ZVD

Oznaka vzorca	SZ010520	SZ020520	SZ030620	SZ040720	SZ050720	SZ060920	
Vzorec	Solata	Krompir	Jurčki	Čebula	Paradižnik	Zelje	
Lokacija	Podbočje	Podbočje	Srbija	Orehovlje (Miren)	Šentjur	Maribor	
Dat. vzorčenja	25.5.20	25.5.20	1.6.20	1.7.20	14.7.20	4.9.20	povprečje
Dat. meritve	19.8.20	19.8.20	21.8.20	28.8.20	24.8.20	26.10.20	vseh
Količina vzorca	3642 g	3500 g	4162 g	3812 g	3843 g	3848 g	vzorcev
Izotop	SPECIFIČNA AKTIVNOST (Bq/kg)					preračunana na datum vzorčenja	
U-238	3,9E-2 ± 4E-2		2,5E-1 ± 1E-1	1,7E-1 ± 1E-1			7,7E-2 ± 1E-1
Ra-226 *	2,0E-2 ± 5E-3	4,4E-2 ± 2E-2	2,6E-2 ± 1E-2	9,4E-2 ± 2E-2	2,8E-2 ± 2E-2	2,0E-2 ± 9E-3	3,9E-2 ± 3E-2
Pb-210	1,3E+0 ± 1E-1	< 7,9E-1	< 6,7E-1	2,9E-1 ± 1E-1	< 6,3E-1	< 4,6E-1	4,7E-1 ± 4E-1
Ra-228		5,0E-2 ± 5E-2	8,9E-2 ± 4E-2	1,1E-1 ± 4E-2	1,1E-1 ± 5E-2	4,1E-2 ± 3E-2	6,6E-2 ± 5E-2
Th-228		7,0E-2 ± 4E-2					1,2E-2 ± 3E-2
K-40	8,1E+1 ± 4E+0	1,4E+2 ± 8E+0	9,4E+1 ± 5E+0	6,9E+1 ± 4E+0	7,7E+1 ± 4E+0	4,8E+1 ± 3E+0	8,5E+1 ± 3E+1
Be-7	1,6E+1 ± 5E-1			1,6E+0 ± 1E-1			2,9E+0 ± 6E+0
Cs-134							
Cs-137	2,6E-2 ± 4E-3	< 4,4E-2	2,1E+0 ± 6E-2	< 7,9E-2	< 6,8E-2	1,0E-1 ± 8E-3	3,8E-1 ± 8E-1
I-131							
Sr-90	< 1,2E-2	< 1,7E-2	< 1,5E-2	1,0E-1 ± 2E-2	< 2,6E-2	1,6E-1 ± 3E-2	5,0E-2 ± 7E-2
H-3 **							

* Izhajanje radona iz posodice pri izračunu ni upoštevano

** Meritev izotopa ni v programu meritvev

Tabela 8.37 | Koncentracije aktivnosti izotopov v vzorcih obroka hrane ZVD

Oznaka vzorca	OHMB0320	OHJL0520	OHNM0620	OHKR0620	OHKP0620	
Vzorec	Otroška hrana	Otroška hrana	Otroška hrana	Otroška hrana	Otroška hrana	
Lokacija	Maribor	Ljubljana	Novo mesto	Kranj	Koper	letno
Dat. vzorčenja	9.3.20-13.3.20	25.5.20-29.5.20	1.6.20-5.6.20	8.6.20-12.6.20	8.6.20-12.6.20	povprečje
Dat. meritve	15.5.20	21.8.20	21.8.20	24.8.20	24.8.20	vseh
Količina vzorca	4520 g	9075 g	5790 g	4392 g	3528 g	vzorcev
Izotop	SPECIFIČNA AKTIVNOST (Bq/kg)					preračunana na datum oz. sredino intervala vzorčenja
U-238	8,6E-2 ± 5E-2	6,0E-2 ± 5E-2	1,8E-2 ± 1E-2		5,2E-2 ± 3E-2	4,3E-2 ± 5E-2
Ra-226 *	1,2E-2 ± 1E-2		2,9E-2 ± 5E-3	2,8E-2 ± 7E-3	5,4E-2 ± 5E-3	2,4E-2 ± 2E-2
Pb-210	2,1E-1 ± 7E-2	1,1E-1 ± 5E-2	< 1,5E-1	2,3E-1 ± 8E-2	1,0E-1 ± 6E-2	1,5E-1 ± 9E-2
Ra-228	1,1E-1 ± 2E-2			2,8E-2 ± 2E-2	8,0E-2 ± 2E-2	4,4E-2 ± 5E-2
Th-228		1,6E-2 ± 1E-2		2,9E-2 ± 2E-2	1,4E-2 ± 1E-2	1,2E-2 ± 1E-2
K-40	4,3E+1 ± 2E+0	4,5E+1 ± 2E+0	3,3E+1 ± 1E+0	4,7E+1 ± 2E+0	5,6E+1 ± 2E+0	4,5E+1 ± 8E+0
Be-7		1,6E-1 ± 4E-2				3,2E-2 ± 7E-2
Cs-134						
Cs-137	< 4,9E-2	2,1E-2 ± 4E-3	< 2,2E-2	5,4E-2 ± 5E-3	1,8E-2 ± 3E-3	2,6E-2 ± 2E-2
I-131						
Sr-90	< 9,0E-3	< 9,0E-3	< 1,5E-2	< 1,1E-2	< 1,4E-2	
H-3 **						

* Izhajanje radona iz posodice pri izračunu ni upoštevano

** Meritev izotopa ni v programu meritvev

8.11 Krmila

Nadaljevanje na naslednji strani 148.

Tabela 8.38 | Koncentracije aktivnosti izotopov v vzorcih krme ZVD

Omaka vzorca	RV1730620	RV1810620	RV2120620	RV2140720	RV2170720	RV2290720	RV2300820	RV2558920	RV355920
Vzorec	Krnika	Krnika	Seno	Seno	Trava	Slaža (travna)	Seno	Slaža (travna)	Slaža (koruzna)
Lokacija	Pivka	Ljubljana	Gorenja Dobrava	Boršt (RUŽ)	Sevnica	Slovenj Gradec	Gorenjskem (Zapuže)	Ig	Grosuplje
GPS koordinate	45°40'12.4"N 14°10'33.8"E	46°03'49.2"N 14°32'08.4"E	46°03'18.5"N 14°09'26.4"E	46°05'59.6"N 15°05'28.3"E	46°00'49.7"N 15°48'35.2"E	46°29'53.5"N 15°03'41.7"E	45°21'33.4"N 14°11'51.2"E	45°57'49.7"N 14°31'36.8"E	45°56'57.0"N 14°40'37.1"E
Dat. vzorčenja	3-6.2.0	15.6.20	30.6.20	6.7.20	8.7.20	26.7.20	20.8.20	21.8.20	10.9.20
Dat. meritev	22.9.20	28.8.20	22.9.20	22.9.20	22.9.20	22.9.20	6.10.20	6.10.20	6.10.20
Količina vzorca	1000 g	1010 g	900 g	900 g	650,0 g	610,0 g	940,0 g	400,0 g	2500 g
Izotop									
U-238	2,0E+1 ± 4E+0	6,5E-1 ± 4E-1	2,1E+0 ± 5E-1	9,5E-1 ± 3E-1	1,5E+0 ± 8E-1	1,7E+0 ± 1E+0	3,8E+0 ± 7E-1	8,2E+0 ± 2E+0	2,7E-1 ± 2E-1
U-234									2,5E-1 ± 2E-1
Th-230									4,0E+0 ± 6E+0
Th-226 *	9,5E+0 ± 1E+0	3,9E-1 ± 5E-2	4,9E-1 ± 3E-2	3,9E-1 ± 5E-2	1,4E+0 ± 1E-1	1,5E+0 ± 8E-2	1,5E+0 ± 1E-1	2,4E+0 ± 3E-1	3,7E+0 ± 1E-1
Ph-210									1,8E+1 ± 1E+0
Rs-228		7,1E-1 ± 5E-2	3,2E-1 ± 1E-1	2,3E-1 ± 5E-2	2,4E-1 ± 1E-1	9,4E-1 ± 2E-1	4,5E-1 ± 1E-1	3,3E+1 ± 3E+0	5,3E+1 ± 5E+0
Th-228									2,8E+1 ± 2E+0
Rs-224									3,0E+0 ± 1E-1
Ph-212									7,0E+0 ± 5E-1
U-235									2,1E+0 ± 1E-1
K-40									6,0E+0 ± 5E-1
Be-7									
G-134									
G-137	3,3E-2 ± 2E-2	1,7E-1 ± 3E-2	9,5E-1 ± 8E-2	3,3E-1 ± 5E-2	3,4E-1 ± 9E-2	5,9E+0 ± 3E-1	3,8E+0 ± 1E-1	7,6E+0 ± 5E-1	3,3E-2 ± 9E-3
I-131									1,3E-1 ± 2E-2
Sr-90	< 6,9E-2	< 8,0E-2	6,4E+0 ± 1E+0	1,7E-1 ± 8E-2	2,7E-1 ± 9E-2	5,3E-1 ± 1E-1	1,4E+0 ± 3E-1	6,9E-1 ± 3E-1	< 3,8E-2
H-3	**								1,0E+0 ± 2E+0

* Izhajanje radona iz posodice pri izračunu ni upoštevano

** Meritev izotopa ni v programu meritev



Literatura

- [1] Državni zbor RS. Zakon o varstvu pred ionizirajočimi sevanji in jedrski varnosti. Ur. list RS št. 76/2017 in 26/2019, 2019.
- [2] Ministrstvo za okolje in prostor. Pravilnik o monitoringu radioaktivnosti. Ur. list RS št. 27/2018, 2018.
- [3] Ministrstvo za zdravje. Pravilnik o posebnih zahtevah varstva pred sevanji in načinu ocene doz. Ur. list RS št. 47/2018, 2018.
- [4] Vlada RS. Uredba o mejnih dozah, referenčnih ravneh in radioaktivni kontaminaciji. Ur. list RS št. 18/2018, 2018.
- [5] ZVD. Sistem evidentiranja vzorcev za gamaspektrometrične in radiokemijske meritve ter spremjanje vzorcev. delovni postopek številka DP-LMSAR-01, zadnja veljavna revizija.
- [6] ZVD. Vzorčenje, pakiranje in pošiljanje vzorcev iz biosfere, hrane in drugih bioloških vzorcev. delovni postopek številka DP-LMSAR-02, zadnja veljavna revizija.
- [7] ZVD. Priprava bioloških in nebioloških vzorcev za gamaspektrometrično in radiokemijsko analizo. delovni postopek številka DP-LMSAR-03, zadnja veljavna revizija.
- [8] ZVD. Izračun aktivnosti in napaka meritve. delovni postopek številka DP-LMSAR-07, zadnja veljavna revizija.
- [9] ZVD. Metoda visokoločljivostne gamaspektrometrije. delovni postopek številka DP-LMSAR-09, zadnja veljavna revizija.
- [10] ZVD. Določitev specifične aktivnosti I-131 v mleku. delovni postopek številka DP-LMSAR-16, zadnja veljavna revizija.
- [11] ZVD. Kalibracije beta števca za določitev specifične aktivnosti I-131. delovni postopek številka DP-LMSAR-18, zadnja veljavna revizija.

- [12] ZVD. Opis metode za določitev aktivnosti Sr-89/90 v vzorcih iz okolja. delovni postopek številka DP-LMSAR-4.01, zadnja veljavna revizija.
- [13] ZVD. Kemijska obdelava vzorcev in merjenje aktivnosti Sr-89/90. delovni postopek številka DP-LMSAR-4.02, zadnja veljavna revizija.
- [14] ZVD. Izračun specifične aktivnosti Sr-89/90 in merilna negotovost. delovni postopek številka DP-LMSAR-4.03, zadnja veljavna revizija.
- [15] IJS. Visokoločljivostna spektrometrija gama v laboratoriju. delovni postopek številka LMR-DN-10, zadnja veljavna revizija.
- [16] IJS. Določanje stroncija z beta štetjem. delovni postopek številka SDN-O2-STC(01), zadnja veljavna revizija.
- [17] IJS. Navodilo za uporabo proporcionalnega števca. delovni postopek številka DP-O2-STC(01), zadnja veljavna revizija.
- [18] IJS. Meritev, analiza in izračun vsebnosti tritija. delovni postopek številka LSC-DN-07, zadnja veljavna revizija.
- [19] IJS. Določanje tritija s tekočinskim scintilacijskim štetjem. delovni postopek številka SDN-O2-SZC(02), zadnja veljavna revizija.
- [20] ZVD. Poročilo o izvajanju monitoringa radioaktivnosti v življenjskem okolju v Republiki Sloveniji v 2020. Poročilo LMSAR-20200007-D-MG, ZVD Zavod za varstvo pri delu, 2021.
- [21] IJS. Letno poročilo o opravljenih meritvah aktivnosti sevalcev gama in beta, Monitoring radioaktivnosti v življenjskem okolju v Republiki Sloveniji za leto 2020. Poročilo 62/2020, Institut "Jožef Stefan", 2021.
- [22] IJS. Ovrednotenje merskih podatkov o radioaktivnosti v življenjskem okolju v Republiki Sloveniji v letu 2020. Poročilo IJS-DP-13436, Institut "Jožef Stefan", 2021.
- [23] ZVD. Poročilo o izvajanju monitoringa radioaktivnosti živil v Republiki Sloveniji v 2020. Poročilo LMSAR-20200008-3-MP, ZVD Zavod za varstvo pri delu, 2021.
- [24] IJS. Letno poročilo o opravljenih meritvah aktivnosti sevalcev gama in beta, Monitoring radioaktivnosti pitne vode za leti 2020 in 2021. Poročilo 42/2020, Institut "Jožef Stefan", 2020.
- [25] ZVD. Poročilo o izvedbi vzorčenja in preiskav krme na aktivnost sevalcev gama in beta za leto 2020. Technical Report LMSAR-20200042-A-PJ, ZVD Zavod za varstvo pri delu, 2020.
- [26] ZVD. Poročilo o meritvah radioaktivnosti; koncentracije radionuklida K-40 in drugih gama sevalcev na poljedelskih območjih. Poročilo LMSAR-20200031-MG, ZVD Zavod za varstvo pri delu, 2020.
- [27] ZVD. Poročanje posameznih in povprečnih vrednosti nizkih aktivnosti radionuklidov. navodilo za delo številka ND-LMSAR-06, zadnja veljavna revizija.
- [28] Ukrainian arborist. Forest fires in the ukraine chernobyl exclusion zone. http://www.fire.uni-freiburg.de/GFMCnew/2016/07/20161707_ua-chernobyl.htm, 2016.

- [29] State agency of Ukraine on Exclusion Zone management. Fire in the Chernobyl Exclusion Zone, Photo from the plane, april 2020. <http://dazv.gov.ua/en/news-and-media.html>, 2020.
- [30] The Guardian Andrew Roth. 'Bad news': radiation 16 times above normal after forest fire near Chernobyl, 06.04.2020. <https://www.theguardian.com/environment/2020/apr/06/bad-news-radiation-spikes-16-times-above-normal-after-forest-fire-near-chernobyl>, 2020.
- [31] Emergency Management Service Mapping COPERNICUS. EMSR435: Fire in Chernobyl, Ukraine, 02.05.2020. <https://emergency.copernicus.eu/mapping/list-of-components/EMSR435>, 2020.
- [32] S. Stoulos, A. Ioannidou, E. Vagena, P. Koseoglou, and M. Manolopoulou. Post-Chernobyl Cs-137 in the atmosphere of Thessaloniki: a consequence of the financial crisis in greece. *Journal of Environmental Radioactivity*, 128:68–74, 2014.
- [33] M. Hus, Košutić. K., and S. Lulić. Radioactive contamination of wood and its products. *Journal of Environmental Radioactivity*, 55(2):179–186, 2001. ISSN 0265-931X. doi: [http://dx.doi.org/10.1016/S0265-931X\(00\)00191-0](http://dx.doi.org/10.1016/S0265-931X(00)00191-0). URL <http://www.sciencedirect.com/science/article/pii/S0265931X00001910>.
- [34] I. Suchara, P. Rulík, J. Hůlka, and H. Pilátová. Retrospective determination of Cs-137 specific activity distribution in spruce bark and bark aggregated transfer factor in forests on the scale of the Czech Republic ten years after the Chernobyl accident. *Science of the Total Environment*, 409(11):1927–1934, 2011.
- [35] I. Lovrenčić, M. Volner, D. Barišić, M. Popijac, N. Kezić, I. Seletković, and S. Lulić. Distribution of Cs-137 , K-40 and Be-7 in silver fir-tree (*abies alba l.*) from gorski kotar, croatia. *Journal of Radioanalytical and Nuclear Chemistry*, 275(1):71–79, 2008. ISSN 0236-5731. doi: 10.1007/s10967-007-7009-2. URL <http://dx.doi.org/10.1007/s10967-007-7009-2>.
- [36] A. H. Rantavaara, L. J. Aro, A. H. Rantavaara, and L. J. Aro. Radiological impact of using forest tree biomass for energy and recycling the ash. *Radioprotection*, 44:927–932, 1 2009. ISSN 1769-700X. doi: 10.1051/radiopro/20095165. URL http://www.radioprotection.org/article_S0033845109051655.
- [37] Constantin Cosma, Andra Rada Iurian, Reka Incze, Tibor Kovacs, and Zora S. Žunić. The use of tree bark as long term biomonitor of ¹³⁷cs deposition. *Journal of Environmental Radioactivity*, 153:126–133, 3 2016. ISSN 0265-931X. doi: 10.1016/j.jenvrad.2015.12.019.
- [38] ZVD. Poročilo o obsevanosti prebivalcev slovenije v letu 2013. Poročilo LMSAR-20140003-MG, ZVD Zavod za varstvo pri delu, 2014.
- [39] ZVD. Poročilo o obsevanosti prebivalcev slovenije v letu 2014. Poročilo LMSAR-20150005-MG, ZVD Zavod za varstvo pri delu, 2015.
- [40] ZVD. Poročilo o obsevanosti prebivalcev slovenije v letu 2015. Poročilo LMSAR-20160009-MG, ZVD Zavod za varstvo pri delu, 2016.

- [41] ZVD. Letna poročila o radioaktivnosti v življenjskem okolju Slovenije. Poročilo od 1964 dalje, ZVD Zavod za varstvo pri delu, 1964-.
- [42] IJS. Letna poročila o nadzoru radioaktivnosti v okolici Nuklearne elektrarne Krško. Poročilo od 2003 dalje, Institut "Jožef Stefan", 2003-.
- [43] Agencija RS za okolje. Državne evidence izpustov onesnaževal zraka, agencija rs za okolje, 2018; air pollutant emissions data viewer (LRTAP convention), Evropska okoljska agencija, 2018, preglednica ZR15-2: Struktura izpustov delcev, po sektorjih, slovenija in eu-28, 2016. <http://kazalci.ars.si/sl/content/izpusti-delcev-v-zrak-6?tid=2>, 2018.
- [44] Agencija RS za okolje. Povprečna mesečna koncentracija delcev PM10 v letu 2013. http://www.ars.si/zrak/kakovost%20zraka/podatki/PM10_dec013_slo.pdf, 2014.
- [45] Agencija RS za okolje. Povprečna mesečna koncentracija delcev PM10 v letu 2014. http://www.ars.si/zrak/kakovost%20zraka/podatki/PM10_dec2014_slo.pdf, 2015.
- [46] Agencija RS za okolje. Povprečna mesečna koncentracija delcev PM10 v letu 2015. http://www.ars.si/zrak/kakovost%20zraka/podatki/PM10_dec2015_slo.pdf, 2016.
- [47] Agencija RS za okolje. Povprečna mesečna koncentracija delcev PM10 v letu 2016. http://www.ars.si/zrak/kakovost%20zraka/podatki/PM10_dec16_slo.pdf, 2017.
- [48] Agencija RS za okolje. Povprečna mesečna koncentracija delcev PM10 v letu 2017. http://www.ars.si/zrak/kakovost%20zraka/podatki/PM10_jan18_slo.pdf, 2018.
- [49] Agencija RS za okolje. Povprečna mesečna koncentracija delcev PM10 v letu 2018. http://www.ars.si/zrak/kakovost%20zraka/podatki/PM10_dec18_slo.pdf, 2019.
- [50] Agencija RS za okolje. Povprečna mesečna koncentracija delcev PM10 v letu 2019. https://www.ars.si/zrak/kakovost%20zraka/podatki/PM10_dec19_slo.pdf, 2020.
- [51] Agencija RS za okolje. Povprečna mesečna koncentracija delcev PM10 v letu 2020. https://www.ars.si/zrak/kakovost%20zraka/podatki/PM10_dec20_slo.pdf, 2021.
- [52] Agencija RS za okolje. Kazalci okolja v sloveniji, EN18 obnovljivi viri energije, preglednica EN18-3: Raba obnovljivih virov energije. http://kazalci.ars.si/xml_table?data=graph_table&graph_id=13179&ind_id=643, 2014.
- [53] EUROSTAT. Energy from renewable sources, SHARES summary results 2019. <https://ec.europa.eu/eurostat/en/web/energy/data/shares>, 2020.
- [54] Agencija RS za okolje. Kazalci okolja v sloveniji, EN18 obnovljivi viri energije. http://kazalci.ars.si/?data=indicator&ind_id=643, 2014.

- [55] Statistični urad RS. Podatkovni portal SI-STAT - končna poraba energije po vrsti energetskega vira (naravne enote), gospodinjstva, Slovenija, letno. <https://pxweb.stat.si/SiStatData/pxweb/sl/Data/Data/1815404S.px/>, 2021.
- [56] IJS. Ovrednotenje merskih podatkov o radioaktivnosti v življenjskem okolju v Republiki Sloveniji v letu 2019. Poročilo IJS-DP-12748, Institut "Jožef Stefan", 2020.
- [57] European Space Agency. The force that protects our planet. http://www.esa.int/spaceinimages/Images/2014/05/The_force_that_protects_our_planet, 2014.
- [58] M. Yoshimori. Atmospheric transport inferred from seasonal variations in cosmogenic Be-7 concentrations. In *Proceedings of the 30th International Cosmic Ray Conference*, July 3–11, 2007 2007. Mérida, Yucatán.
- [59] H. W. Feely, R. J. Larsen, and C. G. Sanderson. Factors that cause seasonal variations in Beryllium-7 concentrations in surface air. *Journal of Environmental Radioactivity*, 9(3):223–249, 1989.
- [60] K. Tokieda, T. Yamanaka, K. Harada, and S. Tsunogai. Seasonal variations of residence time and upper atmospheric contribution of aerosols studied with Pb-210, Bi-210, Po-210 and Be-7. *Tellus B*, 48(5):690—702, 1996.
- [61] National Academy of Sciences Space Studies Board, National Research Council. *Exploration of the Outer Heliosphere and the Local Interstellar Medium: A Workshop Report*. The National Academies Press, Washington, D.C., USA, 2004.
- [62] Brussels WDC-SILSO, Royal Observatory of Belgium. Total sunspot number. <http://sidc.oma.be/silso/datafiles>, 2019.
- [63] National Aeronautics and Space Administration. Sunspots and solar flares. https://www.nasa.gov/multimedia/imagegallery/image_feature_2201.html, 2017.
- [64] L. Lebaron-Jacobs, J. Garnier-Laplace, B. Lopez, C. Adam-Guillermin, I. Dublineau, S. Roussel-Debet, C. Antonelli, B. Fievet, P. Bailly du Bois, and M. Masson. *Tritium*, volume 30 of *Toxicologie nucléaire environnementale et humaine*. Lavoisier, 2009.
- [65] UNSCEAR. *Sources and Effects of Ionizing Radiation, Volume I – Annex A: Dose Assessment Methodologies*. UNSCEAR Report 2000. United Nations Scientific Committee on the Effects of Atomic Radiation, Vienna, Austria, 2000.
- [66] P. Guétat, C. Douche, and J.C. Hubinois. Le tritium et l'environnement: sources, mesures et transferts. *Radioprotection*, 43:547–569, 2008.
- [67] World Nuclear Association. World nuclear power reactors and uranium requirements. <http://www.world-nuclear.org/information-library/facts-and-figures/world-nuclear-power-reactors-and-uranium-requireme.aspx>, 2016.
- [68] IAEA. *Heavy water reactors: status and projected development*. IAEA Technical Reports Series 407. International Atomic Energy Agency, Vienna, Austria, 2002.
- [69] ZVD. Poročilo o meritvah radioaktivnosti koncentracije radionuklida K-40 in drugih gama sevalcev na poljedelskih območjih. Poročilo LMSAR-20200031-MG, ZVD Zavod za varstvo pri delu, 2020.

- [70] DJ. Kang, H. Tazoe, and Y. Ishii. Effect of Fertilizer with Low Levels of Potassium on Radiocesium-137 Decontamination. *Journal of Crop Science and Biotechnology*, 21:113–119, 2018.
- [71] W. G. Alberts, P. Ambrosi, J. Böhm, G. Dietze, K. Hohlfeld, and W. Will. New dose quantities in radiation protection. Poročilo PTB-Dos-23e, PTB Physikalisch-Technische Bundesanstalt, 1995.
- [72] P. Jovanovič. Radioaktivna kontaminacija alpskega predela slovenije kot posledica černobilske nesreče in jedrske poskusov. Poročilo, ZVD Zavod za varstvo pri delu, 2004.
- [73] IAEA. *Assessment of doses to the public from ingested radionuclides*. IAEA Safety Reports Series 14. International Atomic Energy Agency, Vienna, Austria, 1999.
- [74] Statistični urad RS. Količine doma porabljenih živil in pijač na člana gospodinjstva, slovenija, večletno, ID tabele H155. https://pxweb.stat.si/SiStatDb/pxweb/s1/HITRE_Repozitorij/HITRE_Repozitorij/H155S.px/, 2020.
- [75] Statistični urad RS. Anketa o porabi v gospodinjstvih, slovenija, 2004 - količina porabljenih živil in pijač na člana gospodinjstva, letno povprečje, 2004. <http://www.stat.si/PrikaziDatoteko.aspx?id=247>, 2006.
- [76] International Commission on Radiological Protection. *Compendium of Dose Coefficients based on ICRP Publication 60*, volume ICRP Publication 119. Ann. ICRP 41(Suppl.) of *Annals of the ICRP*. Elsevier, Amsterdam, Netherlands, 2012.
- [77] ZVD. Poročilo o obsevanosti prebivalcev slovenije v letu 2017. Technical Report LMSAR-20180005-MG, ZVD Zavod za varstvo pri delu, 2018.
- [78] A. Likar, T. Vidmar, and B. Pucelj. Monte Carlo determination of gamma-ray dose rate with the GEANT system. *Health Physics*, 75(2):165–169, 1998.
- [79] A. Likar, G. Omahen, M. Lipoglavšek, and T. Vidmar. A theoretical description of diffusion and migration of Cs-137 in soil. *Journal of Environmental Radioactivity*, 57:191–201, 2001.
- [80] P. Bossew, F. Gering, E. Petermann, T. Hamburger, C. Katzlberger, M.A. Hernandez-Ceballos, M. De Cort, K. Gorzkiewicz, R. Kierepko, and J.W. Mietelski. An episode of ru-106 in air over europe, september–october 2017 – geographical distribution of inhalation dose over europe. *Journal of Environmental Radioactivity*, 205-206:79 – 92, 2019. ISSN 0265-931X. doi: <https://doi.org/10.1016/j.jenvrad.2019.05.004>. URL <http://www.sciencedirect.com/science/article/pii/S0265931X18306039>.
- [81] UNSCEAR. *Effects of ionizing radiation, Volume I – Annex A: Epidemiological studies of radiation and cancer*. UNSCEAR Report 2006. United Nations Scientific Committee on the Effects of Atomic Radiation, Vienna, Austria, 2008.
- [82] Institut de Radioprotection et de Sûrete Nucléaire. Report on the IRSN's investigations following the widespread detection of Ru-106 in Europe early October 2017. http://www.irsn.fr/FR/Actualites_presse/Actualites/Documents/IRSN_Report-on-IRSN-investigations-of-Ru-106-in-Europe-in-october-2017.pdf, 2018.

- [83] SCK-CEM Belgian Nuclear Research Centre. SCK-CEN publishes study on the presence of radioactive ruthenium-106 together with the RMI. http://www.sckcen.be/en/News/20171221_Ruthenium, 2018.
- [84] Joint Committee for Guides in Metrology. Evaluation of measurement data — guide to the expression of uncertainty in measurement. http://www.bipm.org/utils/common/documents/jcgm/JCGM_100_2008_E.pdf, 2008.

V pričujočem poročilu so zbrani, analizirani in komentirani rezultati meritev radioaktivnosti antropogenih umetnih in naravnih radionuklidov v vzorcih biosfere, kakor tudi v posameznih členih prehrambne verige. Umetna radioaktivnost okolja je posledica človekove dejavnosti, t.j. globalnega onesnaženja zaradi poskusnih jedrskeh eksplozij v ozračju in jedrskih nesreč v Černobilu in Fukušimi (prispevek slednje je v Sloveniji zanemarljiv). Na podlagi rezultatov meritev radioaktivnosti v okviru različnih monitoringov, ki se izvajajo v Sloveniji pod okriljem Ministrstva za zdravje in Ministrstva za okolje in prostor, smo izdelali oceno doz prebivalstva zaradi izpostavljenosti dolgoživim umetnim radionuklidom (naravni so izvzeti). Ocenili smo doze sevanja po različnih ekspozicijskih prenosnih poteh. Ocenjena doza zaradi izpostavljenosti umetnim radionuklidom po vseh prenosnih poteh, znaša v letu 2019 za dojenčke $9,2 \mu\text{Sv}$ oziroma $< 10,2 \mu\text{Sv}$, za otroke od 7 do 12 let $7,8 \mu\text{Sv}$ oziroma $< 8,5 \mu\text{Sv}$ in za odrasle $6,6 \mu\text{Sv}$ oziroma $< 7,1 \mu\text{Sv}$. Ta vrednost predstavlja približno 1 % mejne letne doze za dolgoročno izpostavljenost posameznika iz prebivalstva ionizirajočemu sevanju.

